

**YILDIZ TEKNİK ÜNİVERSİTESİ  
FEN BİLİMLERİ ENSTİTÜSÜ**

**128687**

**ACCROPODE VE CORE-LOC DALGAKIRANLARIN  
STABİLİTELERİNİN İNCELENMESİ**

**İnş. Müh. M. Özgür ZENGİN**

**F.B.E. İnşaat Mühendisliği Anabilim Dalı Hidrolik Programında  
Hazırlanan**

**YÜKSEK LİSANS TEZİ**

*TC YÜKSEKÖĞRETİM KURULU  
DOKTORANTURASI MERKEZİ*

**Tez Danışmanı: Prof. Dr. Yalçın YÜKSEL**

**Prof. Dr. Yalçın YÜKSEL Doc. Dr. Ahmet Cevdet YALGINER Doc. Dr. Esin GEVİCİ**

*Yalçın YÜKSEL*

*Evin*

**İSTANBUL, 2002**

*128687*

## **İÇİNDEKİLER**

	Sayfa
<b>SİMGE LİSTESİ.....</b>	<b>iv</b>
<b>ŞEKİL LİSTESİ.....</b>	<b>vi</b>
<b>ÇİZELGE LİSTESİ.....</b>	<b>ix</b>
<b>ÖNSÖZ.....</b>	<b>x</b>
<b>ÖZET.....</b>	<b>xi</b>
<b>ABSTRACT .....</b>	<b>xi</b>
<b>1            GİRİŞ .....</b>	<b>1</b>
1.1      Düzenli Yerleştirme.....	1
1.2      Düzensiz Yerleştirme.....	3
<b>2            DALGAKIRANLAR ve STABİLİTE.....</b>	<b>5</b>
2.1      Giriş.....	5
2.2      Stabilite Kavramı .....	5
2.3      Tasarım Aşamasında Dikkate Alınması Gereken Dalga Özellikleri .....	9
2.3.1      Dalga Karakteristikleri.....	9
2.3.2      Dalga Tırmanması, Aşması ve Enerji Aktarımı .....	11
2.3.2.1      Dalga Tırmanması.....	11
2.3.2.2      Dalga Aşması.....	11
2.3.2.3      Dalga Enerjisinin Aktarımı .....	12
2.3.3      Dalga Kırılması.....	12
2.4      Taş Dalgakırınlarının Yapısal Tasarım Kriterleri .....	18
2.4.1      Beton Kaplama Malzemelerinin Özellikleri .....	18
2.4.2      Stabilite Kriterleri .....	18
<b>3            ACCROPODE ve CORE-LOC DALGAKIRANLAR.....</b>	<b>37</b>
3.1      Accropode Blokların Genel Özellikleri .....	37
3.1.1      Accropode Blokların Avantajları.....	37
3.1.2      Accropode Blokların Dezavantajları .....	38
3.1.3      Tasarım İçin Ön Hazırlık Evresi .....	38
3.1.4      Accropode'nin Şekli .....	39
3.1.5      Accropode İmalatı.....	40
3.1.6      Accropode Kalıbı.....	40
3.1.7      Taşıma ve Depolama .....	40
3.1.8      Yerleştirme .....	41
3.1.9      Accropode Blokların Diğer Bloklarla Karşılaştırması.....	43
3.2      Core-Loc Blokların Genel Özellikleri .....	49
3.2.1      Core-Loc Bloklarının Performanslarının Karşılaştırılması .....	49
3.2.2      Core-Loc Bloklarının Ekonomik Açıdan Karşılaştırılması.....	50
3.2.3      Core-Loc Geometresi .....	50

<b>3.3</b>	<b>Tek Sıra Bloklu Dalgakırınlarla İlgili Çalışmalar.....</b>	<b>54</b>
<b>4</b>	<b>DENEY SİSTEMİ ve HİDROLİK MODEL TASARIMI.....</b>	<b>60</b>
<b>4.1</b>	<b>Deney Sistemi ve Ölçüm Yöntemleri .....</b>	<b>60</b>
<b>4.1.1</b>	<b>Dalga Kanalı.....</b>	<b>60</b>
<b>4.1.2</b>	<b>Dalga Ölçümleri .....</b>	<b>60</b>
<b>4.2</b>	<b>Hidrolik Model Tasarımı ve Boyut Analizi .....</b>	<b>62</b>
<b>4.3</b>	<b>Deney Düzeneğinin Hazırlanması .....</b>	<b>67</b>
<b>4.4</b>	<b>Çalışmada İzlenen Yöntem .....</b>	<b>67</b>
<b>4.5</b>	<b>Hasarın Hesaplanması.....</b>	<b>73</b>
<b>5</b>	<b>DENEYSEL ÇALIŞMA ve SONUÇLARIN DEĞERLENDİRİLMESİ .....</b>	<b>75</b>
<b>6</b>	<b>SONUÇLAR ve ÖNERİLER.....</b>	<b>94</b>
<b>6.1</b>	<b>Sonuçlar.....</b>	<b>94</b>
<b>6.2</b>	<b>Öneriler .....</b>	<b>97</b>
<b>KAYNAKLAR .....</b>		<b>98</b>
<b>EKLER .....</b>		<b>100</b>
Ek 1 Accropode Blokların Özellikleri ve Tasarım Dalgasının Hesaplanması .....	101	
Ek 2 Core-Loc Blokların Özellikleri ve Tasarım Dalgasının Hesaplanması .....	102	
Ek 3 Hasarın Hesaplanması .....	103	
Ek 4 Accropode İçin Porozitenin Hesaplanması .....	104	
Ek 5 Core-Loc İçin Porozitenin Hesaplanması .....	105	
Ek 6 Accropode İçin Dalga Şartları .....	106	
Ek 7 Core-Loc İçin Dalga Şartları .....	112	
Ek 8 Accropode İçin Tırmanma ve Geri Çekilme Değerleri.....	118	
Ek 9 Core-Loc İçin Tırmanma ve Geri Çekilme Değerleri.....	123	
Ek 10 Accropode İçin Tırmanma ve Geri Çekilme Grafikleri .....	128	
Ek 11 Core-Loc İçin Tırmanma ve Geri Çekilme Grafikleri .....	136	
Ek 12 Accropode İçin Hasar Grafikleri .....	144	
Ek 13 Core-Loc İçin Hasar Grafikleri.....	155	
Ek 14 Accropode İçin $K_d$ Hesaplamaları .....	165	
Ek 15 Core-Loc İçin $K_d$ Hesaplamaları .....	166	
Ek 16 Accropode İçin $H_0/d$ ve $\xi$ Tabloları .....	167	
Ek 17 Core-Loc İçin $H_0/d$ ve $\xi$ Tabloları .....	173	
Ek 18 Accropode ve Core-Loc'un Hacimsel Karşılaştırılması.....	179	
Ek 19 Accropode ve Core-Loc'un Ağırlık Olarak Karşılaştırılması.....	180	
<b>ÖZGEÇMİŞ .....</b>		<b>181</b>

## SİMGE LİSTESİ

$K_D$	Stabilite katsayısı	(-)
$H$	Dalga yüksekliği	(m)
$\Delta$	Rölatif kütle yoğunluğu	(-)
$D$	Yapının kaplama tabakasındaki, taşın, çakılın veya kumun karakteristik çapı	(m)
$T_s$	Belirgin dalga periyodu	(sn)
$u_c$	Kırılma dalga tepesindeki akışkan partikülünün yatay yörungesel hızı	(m/s)
$c$	Dalga yayılma hızı	(m/s)
$w$	Yüzeyde partiküllerin sahip olduğu düşey hız	(m/s)
$t$	Zaman	(s)
$g$	Yerçekimi ivmesi	(m/s <sup>2</sup> )
$H_b$	Kırılan dalganın yüksekliği	(m)
$d_b$	Kırılma derinliği	(m)
$L_b$	Kırılan dalganın boyu	(m)
$d$	Derinlik	(m)
$L$	Dalga boyu	(m)
$T$	Periyot	(s)
$m$	Kıyı eğimi	(-)
$L_0$	Derin deniz dalga boyu	(m)
$x_p$	Kırılma mesafesi	(m)
$\tau_p$	Boyutsuz kırılma uzunluğu(plunge mesafesi)	(-)
$\xi_b$	Kırılan dalga yüksekliği kullanılarak elde edilen surf parametresi	(-)
$W$	Kaplama tabakası elemanı ağırlığı	(kg)
$K$	Iribarren'in verdiği stabilite formülündeki stabilite katsayısı	(-)
$\alpha$	Dalgakıran şev açısı	(derece)
$\gamma_s$	Taşın özgül ağırlığı	(N/m <sup>3</sup> )
$H_{topuk}$	Dalgakıran topuğundaki dalga yüksekliği	(m)
$K$	Iribarren ile Hudson'un verdiği stabilite formülündeki stabilite katsayısı	(-)
$\gamma_r$	Taşın özgül ağırlığı	(N/m <sup>3</sup> )
$\gamma_w$	Suyun özgül ağırlığı	(N/m <sup>3</sup> )
$\mu$	Sürtünme katsayısı	(-)
$N_s$	Stabilite sayısı	(-)
$D_n$	Nominal taş çapı	(m)
$H_{1/10}$	Aşma olasılığı %10'u geçen dalgaların ortalama yüksekliği	(m)
$\Psi$	Stabilite fonksiyonu	(-)
$\xi$	Surf parametresi veya Iribarren sayısı	(-)
$H_s$	Belirgin dalga yüksekliği	(m)
$D_{n50}$	%50' sinin geçtiği elek çapı nominal çapı olan değer	(m)
$P$	Porozite	(-)
$S$	Hasar	(-)
$N$	Dalga adedi	(-)
$\xi_m$	$T_m$ kullanılarak elde edilen surf parametresi	(-)
$T_m$	Ortalama periyot	(s)
$tan\alpha$	Şev eğimi	(-)
$N_0$	Rölatif hasar	(-)
$S_z$	Dalga dikliği	(-)
$T_m$	Sıfırı yukarı kesme dalga periyodu	(s)
$N_\Delta$	Hasar parametresi	(-)
$A$	Erezyona uğramış alan	(m <sup>2</sup> )

$\rho_b$	Malzemenin eğime yerleştirildiği şekildeki boşluklu yoğunluğu	(kg/m <sup>3</sup> )
$\rho_s$	Taşın özgül kütlesi	(kg/m <sup>3</sup> )
$D_{50}$	Taşın çapı	(m)
$W_{50}$	Medyan taş kütlesi	(kg)
$h$	Kaplama tabakasına yerleştirilen elemanın yüksekliği	(m)
$N_0$	Rölatif hasar	(-)
$R_c$	Kret hava payı	(m)
$\Phi$	Sıklık katsayısı	(-)
$N_a$	Blok sayısı	(-)

## ŞEKİL LİSTESİ

Şekil 1.1a Accropode için düzenli yerleştirmenin görünümü .....	2
Şekil 1.1b Core-Loc için düzenli yerleştirmenin görünümü .....	2
Şekil 1.2a Accropode için düzenli yerleştirmenin plan görünüsü .....	3
Şekil 1.2b Core-Loc için düzenli yerleştirmenin plan görünüsü .....	3
Şekil 1.3a Accropode için düzensiz yerleştirmenin görünümü .....	3
Şekil 1.3b Core-Loc için düzensiz yerleştirmenin görünümü .....	4
Şekil 1.4a Accropode için düzensiz yerleştirmenin plan görünüsü .....	4
Şekil 1.4b Core-Loc için düzensiz yerleştirmenin plan görünüsü .....	4
Şekil 2.1 Stabilitelerine Göre Yapılar (Van der Meer, 1988a).....	7
Şekil 2.2a Spilling tipi kırılmanın şematik gösterimi .....	16
Şekil 2.2b Plunging tipi kırılmanın şematik gösterimi .....	17
Şekil 2.2c Surging tipi kırılmanın şematik gösterimi .....	17
Şekil 2.3 Koruyucu tabaka oluşturmaya yarayan çeşitli bloklar .....	19
Şekil 2.4 Rezonans koşulu (Günbak, 1979) .....	23
Şekil 2.5 Düz yüzeyli şevelerdeki tırmanma (Günbak, 1979) .....	24
Şekil 2.6 Düz yüzeyli şevelerde geri çekilme (Günbak, 1979).....	24
Şekil 2.7 Eddy benzeri çevriler (Günbak, 1979) .....	25
Şekil 2.8 Tetrapod için stabilite formülü (Van der Meer, 1999) .....	32
Şekil 2.9 Kret yüksekliğinin tetrapod'un stabilitesine etkisi (Van der Meer, 1999) .....	33
Şekil 2.10 Çeşitli sıklık katsayıları için tetrapod'un stabilitesi (Van der Meer , 1999).....	34
Şekil 2.11 Sıklık katsayısının tetrapodların stabilitesine etkisi (Van der Meer , 1999).....	35
Şekil 3.1 Accropode'un şekli ve geometrisi (Sogreh, 1998) .....	39
Şekil 3.2 Accropode kalıbı (Sogreh, 1998) .....	41
Şekil 3.3 Dalgakırandan Accropode Blok Yerleştirilmesi (Sogreh, 1998) .....	42
Şekil 3.4 Mavnadan Accropode Blok Yerleştirilmesi (Sogreh, 1998).....	43
Şekil 3.5 Küp Blokların Stabilitesi ( $N=3000 \cot \alpha=1.5$ ) .....	44
Şekil 3.6 Tetrapod Blokların Stabilitesi ( $N=3000 \cot \alpha=1.5$ ).....	44
Şekil 3.7 Accropode Blokların Stabilitesi ( $N=3000 \cot \alpha=1.33$ ).....	45
Şekil 3.8 Hacim Bakımından Karşılaştırma (Sogreh, 1998) .....	47
Şekil 3.9 Kafa ve Gövde Açılarından Hacimsel Karşılaştırma (CERC, 1998).....	47
Şekil 3.10 Core- Loc'un geometrik özellikleri (CERC, 1998).....	51
Şekil 3.11 Core-Loc'un boyutları (CERC, 1998) .....	52
Şekil 3.12 Core-Loc yüzey alanları (CERC, 1998) .....	53
Şekil 3.13 Accropode'nin stabilité grafiği (Van der Meer, 1999).....	56
Şekil 3.14 Küp blok için stabilité (Van der Meer, 1999) .....	58
Şekil 4.1 Dalga kanalının görünüsü .....	61
Şekil 4.2a Accropode için topuk oluşumları .....	69
Şekil 4.2b Core-Loc için topuk oluşumları .....	70
Şekil 4.3 Düzenli yerleştirme yöntemi için dalgakıran kesiti.....	71
Şekil 4.4 Düzensiz yerleştirme yöntemi için dalgakıran kesiti .....	72
Şekil 4.5 Dalgakıran kesitinde tırmanma ve geri çekilme ölçümlerinin yapıldığı noktalar(A,B,C,D).....	73
Şekil 4.6 Tam hasar.....	74
Şekil 5.1 Accropode için $T=1.50$ sn, $d=0.20m$ için düzenli (1) ve düzensiz (2) diziliş hallerinde 1000 ve 3000 dalga sonucu görülmüş hasarlar.....	75
Şekil 5.2 Accropode için $T=1.50$ sn, $d=0.25m$ için düzenli (1) ve düzensiz (2) diziliş hallerinde 1000 ve 3000 dalga sonucu görülmüş hasarlar.....	76
Şekil 5.3 Accropode için $T=1.65$ sn, $d=0.20m$ için düzenli (1) ve düzensiz (2) diziliş hallerinde 1000 ve 3000 dalga sonucu görülmüş hasarlar.....	76

Şekil 5.4 Accropode için $T=1.65$ sn, $d=0.25m$ için düzenli (1) ve düzensiz (2) diziliş hallerinde 1000 ve 3000 dalga sonucu görülmüş hasarlar.....	77
Şekil 5.5 Core-Loc için $T=1.35$ sn, $d=0.25m$ için düzenli (1) ve düzensiz (2) diziliş hallerinde 1000 ve 3000 dalga sonucu görülmüş hasarlar .....	77
Şekil 5.6 Core-Loc için $T=1.50$ sn, $d=0.20m$ için düzenli (1) ve düzensiz (2) diziliş hallerinde 1000 ve 3000 dalga sonucu görülmüş hasarlar .....	78
Şekil 5.7 Core-Loc için $T=1.50$ sn, $d=0.25m$ için düzenli (1) ve düzensiz (2) diziliş hallerinde 1000 ve 3000 dalga sonucu görülmüş hasarlar .....	78
Şekil 5.8 Core-Loç için $T=1.65$ sn, $d=0.20m$ için düzenli (1) ve düzensiz (2) diziliş hallerinde 1000 ve 3000 dalga sonucu görülmüş hasarlar .....	79
Şekil 5.9 Core-Loc için $T=1.65$ sn, $d=0.25m$ için düzenli (1) ve düzensiz (2) diziliş hallerinde 1000 ve 3000 dalga sonucu görülmüş hasarlar .....	79
Şekil 5.10 Accropode için $T=1.50$ sn, $d=0.20m$ için düzenli (1) ve düzensiz (2) diziliş hallerinde Van der Meer hasar parametresinin topuktaki dalga yüksekliği ile değişimi .....	82
Şekil 5.11 Accropode için $T=1.50$ sn, $d=0.25m$ için düzenli (1) ve düzensiz (2) diziliş hallerinde Van der Meer hasar parametresinin topuktaki dalga yüksekliği ile değişimi .....	82
Şekil 5.12 Accropode için $T=1.65$ sn, $d=0.20m$ için düzenli (1) ve düzensiz (2) diziliş hallerinde Van der Meer hasar parametresinin topuktaki dalga yüksekliği ile değişimi .....	83
Şekil 5.13 Accropode için $T=1.65$ sn, $d=0.25m$ için düzenli (1) ve düzensiz (2) diziliş hallerinde Van der Meer hasar parametresinin topuktaki dalga yüksekliği ile değişimi .....	83
Şekil 5.14 Core-Loc için $T=1.35$ sn, $d=0.25m$ için düzenli (1) ve düzensiz (2) diziliş hallerinde Van der Meer hasar parametresinin topuktaki dalga yüksekliği ile değişimi .....	84
Şekil 5.15 Core-Loc için $T=1.50$ sn, $d=0.20m$ için düzenli (1) ve düzensiz (2) diziliş hallerinde Van der Meer hasar parametresinin topuktaki dalga yüksekliği ile değişimi .....	84
Şekil 5.16 Core-Loc için $T=1.50$ sn, $d=0.25m$ için düzenli (1) ve düzensiz (2) diziliş hallerinde Van der Meer hasar parametresinin topuktaki dalga yüksekliği ile değişimi .....	85
Şekil 5.17 Core-Loc için $T=1.65$ sn, $d=0.20m$ için düzenli (1) ve düzensiz (2) diziliş hallerinde Van der Meer hasar parametresinin topuktaki dalga yüksekliği ile değişimi .....	85
Şekil 5.18 Core-Loc için $T=1.65$ sn, $d=0.25m$ için düzenli (1) ve düzensiz (2) diziliş hallerinde Van der Meer hasar parametresinin topuktaki dalga yüksekliği ile değişimi .....	86
Şekil 5.19 Accropode ve Core-Loc için her iki diziliş için de stabilité grafiği .....	87
Şekil 5.20 Accropode ve Core-Loc için Van der Meer ve bu çalışma için stabilité grafiği ....	87
Şekil 5.21 $T=1.65$ s periyodu için Accropode üzerinde tırmanma grafiği.....	89
Şekil 5.22 $T=1.65$ s periyodu için Accropode üzerinde tırmanma grafiği.....	89
Şekil 5.23 $T=1.65$ s periyodu için Accropode üzerinde geri çekilme grafiği .....	90
Şekil 5.24 $T=1.65$ s periyodu için Accropode üzerinde geri çekilme grafiği .....	90
Şekil 5.25 $T=1.65$ s periyodu için Core-Loc üzerinde tırmanma grafiği .....	91
Şekil 5.26 $T=1.65$ s periyodu için Core-Loc üzerinde tırmanma grafiği .....	91
Şekil 5.27 $T=1.65$ s periyodu için Core-Loc üzerinde geri çekilme grafiği.....	92
Şekil 5.28 $T=1.65$ s periyodu için Core-Loc üzerinde geri çekilme grafiği.....	92

## **ÇİZELGE LİSTESİ**

Çizelge 2.1 K' nün eğimle değişimi (Hedar 1986).....	20
Çizelge 2.3 Koruyucu tabakadaki hasar ile koruyucu bloklar arasındaki $H/H_{D=0}$ fonksiyonu	22
Çizelge 3.1 Accropode'un boyalarının H'a göre oranları (Sogreah, 1998).....	39
Çizelge 3.2 Bazı blokların özelliklerinin karşılaştırılması (Sogreah, 1998) .....	46
Çizelge 3.3 Blokların $K_D$ Sayılarına Göre Karşılaştırma Tablosu (CERC, 1998) .....	48
Çizelge 3.4 Core-Loc yüzey alanlarının C cinsinden ifadeleri.....	53
Çizelge 3.5 Blokların genel karşılaştırması (Van der Meer,1999).....	59
Çizelge 4.1 Etkili Büyüklükler .....	64
Çizelge 4.2 Değişken boyutları.....	65
Çizelge 4.3 Boyutsuz büyüklüklerin üstel değerleri .....	65
Çizelge 5.1 $K_d$ değerleri .....	88

## **ÖNSÖZ**

Bütün çalışmalarım sırasında benden yakın ilgi ve desteğini esirgemeyen tez danışmanım Sayın Prof. Dr. Yalçın Yüksel' e en içten teşekkürlerimi sunarım.

Bütün çalışmalarım esnasında benimle yakından ilgilenen, her zaman bilgi ve tecrübelerinden faydalandığım Sayın Doç. Dr. Esin Özkan Çevik'e teşekkürlerimi sunarım.

Hayatım boyunca bana destek olan babam İhsan Zengin'e, annem Naciye Zengin'e ve kardeşim Özlem Zengin'e teşekkür ederim.

Bu tezin yazım aşamasında yardımcı olan tüm arkadaşlarına teşekkür ederim.

Deney çalışmalarım esnasında bana yardımcı olan Yıldız Teknik Üniversitesi Hidrolik ve Kıyı-Liman Laboratuvarı personeline teşekkür ederim.

Burada adını anamadığım ve bu tezin oluşmasında katkısı bulunan herkese teşekkür ederim.

## **ÖZET**

Dalgakırınlar limanları açık denizden gelen etkilere karşı korumak için inşa edilen deniz yapılarıdır. Bu yapılar yapılış tiplerine göre taş dolgu, monolitik, yüzen ve özel tipli olmak üzere sınıflandırılmaktadır.

Dalgakırınların koruyucu tabakalarında çok büyük ağırlıklı taş elemanlarının kullanılması hem ekonomik hem de çevresel açıdan uygun olmadığından çoğu zaman beton elemanlar kullanılmaktadır. Bu elemanlardan en önemli ikisi Accropode ve Core-Loc'dur.

Bu iki blok rasgele dizilmektedirler. Bu tezde bu dizilişe alternatif oluşturabilecek bir düzenli dizilişe de yer verilmektedir.

Bu tezin amacı; yapı üzerinde Accropode ve Core-Loc dalgakırınlarının, her iki tip yerleştirme yöntemi için stabilitelerinin incelenmesidir. Hazırlanmış olan bu tez, Yıldız Teknik Üniversitesi Hidrolik ve Kıyı-Liman Laboratuvarında bulunan düzenli dalga kanalında, 1.10, 1.20, 1.35, 1.50 ve 1.65 sn periyotlarında, farklı dalga şartları elde edebilmek için dalgakıran topuğundaki su derinliği, 0.15, 0.20 ve 0.25 m olan, yapı üzerinde kırılan dalga şartında, Accropode ve Core-Loc'un her iki yerleştirme yöntemi için gerçekleştirilen deneyleri ve sonuçlarını kapsamaktadır.

**Anahtar Kelimeler:** Dalgakırınlar, Accropode, Core-Loc, Kırılan dalga, Stabilite

## **ABSTRACT**

Breakwaters are structures built to protect the harbors against wave action coming from offshore. These structures are classified rubble mound, monolithic, floating and other types.

Due to difficulty in economically obtaining large size armour rocks and due to their environmental impacts, concrete armour units are used as breakwater armor unit. Tetrapod is one of the most preferred concrete armor units. Most important ones of these are Accropode and Core-Loc.

These two armour structures are placed in a random way. In the tests an other way of placing called regular placing used in case of being an alternative way for the random placing.

The aim of this thesis is to investigate the stabilities of the two methods under regular breaking and nonbreaking wave conditions.

The test were performed in the regular wave channel in the Yildiz Technical University Hydraulic and Coastal-Harbor Laboratory. The periods were 1.10, 1.20, 1.35, 1.50, 1.65 s. and in order to obtain different breaking wave heights, the depth were changed as 0.15, 0.20, 0.25 m. at toe of the breakwater. The thesis contains the stability tests and their results.

**Keywords:**Breakwaters, Accropode, Core-Loc, Breaking wave, Stability

## 1 GİRİŞ

İnsanoğlu ile denizin etkileşimi insanlık tarihi kadar eskidir. İnsanlar deniz kenarına yerleşmeyi bir çok ekonomik ve sosyolojik sebeplerden tercih etmiştirler. Bu sebepten dolayı denizden gelen dalgaların etkilerini engellemeye yarayan dalgakıranlar, eski çağlardan beri inşa edilen yapılar olmuşlardır.

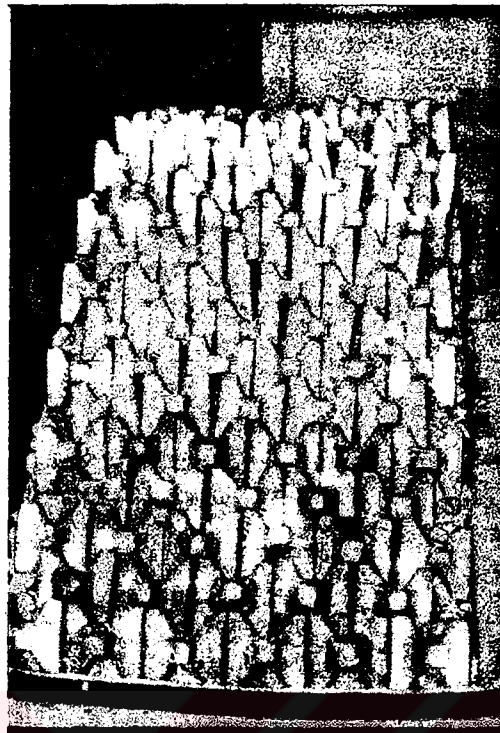
Günümüzde, limanlar uluslararası ticaretin belkemiği şeklini almıştır. Büyük hacim ve ağırlıktaki yüklerin taşınmasında çok etkin bir ulaşım biçimini olan denizyolu ulaşımının önemi gün geçtikçe artmaktadır.

Dalgakıran projelendirilmesinde ekonomik çözüm arayışları hız kazanmaktadır. Dalgakıranın ekonomik bir maliyete sahip olabilmesi için koruyucu kaplama tabakasının tipinin seçimi, ve boyutlandırılması çok büyük önem taşır. Bu gelişmeler ışığında yapılan çalışmalar sonucu yirminci yüzyılın ikinci yarısında ikinci kuşak dalgakıran koruyucu tabakalarının öncüsü olan Accropode ve Core-Loc geliştirilmiştir.

Bu iki tip beton blok da gerek kilitlenme özellikleri gerek yerleştirme şekilleri ile benzerlikler göstermektedirler. Her iki tip beton blok da taş dolgu dalgakıranların koruma tabakasına düzensiz olarak yerleştirilmektedir. Bu tezde düzensiz dizilişin yanısıra ikinci bir alternatif olarak düzenli diziliş de uygulanmıştır.

### 1.1 Düzenli yerleştirme

Bu dizilişte bloklar top (cannon) dizilişi adı verilen; 3 ayağı şeve oturacak bir bacağı açık deniz diğer iki bacağı yukarı bakacak şekildedir (Şekil 1.1 ve Şekil 1.2).

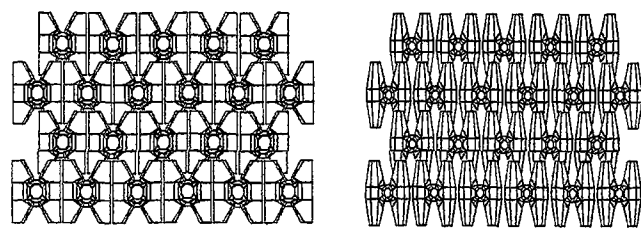


(a)Accropode



(b)Core-loc

Şekil 1.1 Düzenli yerleştirmenin görünümü



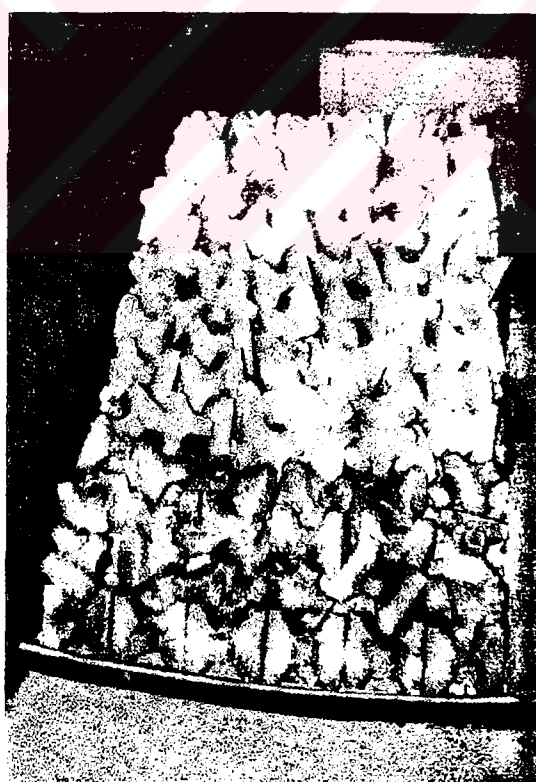
(a)Accropode

(b)Core-loc

Şekil 1.2 Düzenli yerleştirme plan görünüsü

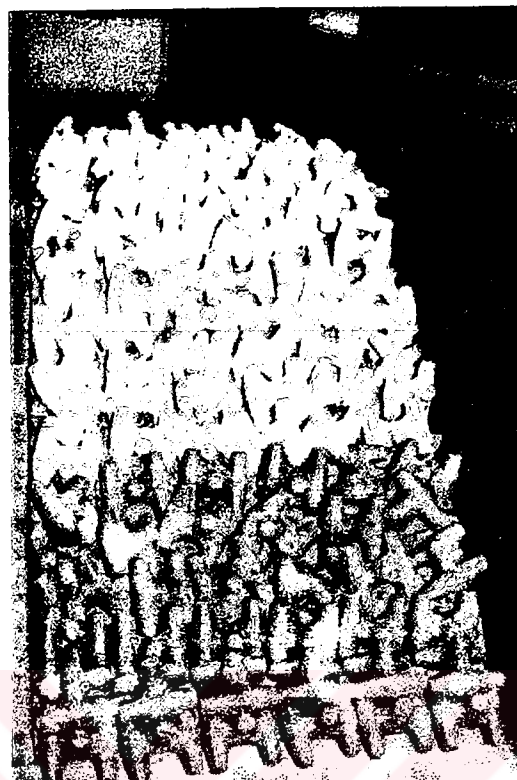
## 1.2 Düzensiz yerleştirme

Her iki blok da önceden tayin edilen yerlerine rasgele duruş ile yerleştirilirler (Şekil 1.3 ve Şekil 1.4).



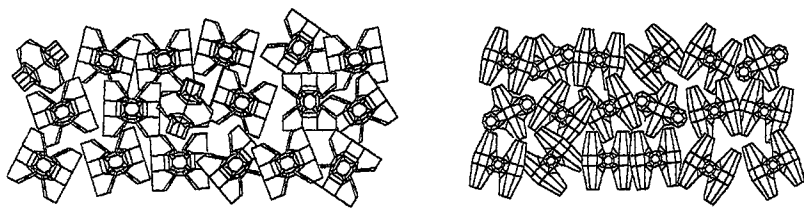
(a)Accropode

Şekil 1.3 Düzensiz yerlestirmenin görünümü



(b)Core-loc

Şekil 1.3 Devam



(a)Accropode

(b)Core-loc

Şekil 1.4 Düzensiz yerleştirme plan görünüsü

Bu çalışmada, yukarıda anlatılan iki tip yerleştirme şartları altında koruma tabakalarının stabiliteleri incelenecaktır. Böylece düzenli ve düzensiz yerleştirme şartları ile kırılan, kırılmayan dalga koşullarında 1/1.5 şev eğimli dalgakıranlar için Accropode ile Core-loc blokların stabiliteleri düzenli dalga şartları altında belirlenmeye çalışılacaktır.

## **2 DALGAKIRANLAR ve STABİLİTE**

### **2.1 Giriş**

En genel anlamıyla, dalgakıran dalga enerjisini sönümleyerek kıyı morfolojisi ve limanların korunması vb gibi amaçlarla inşa edilen deniz yapılarıdır.

Dalgakırınlar inşa edildikleri su derinliği, zemin koşulları ve çevresel etkenlere bağlı olarak aşağıdaki tiplerde inşa edilirler (Yüksel ve diğerleri, 1998).

#### **1)Taş dolgu dalgakırınlar**

- a) Taş dolgu dalgakırınlar
- b) Yapay bloklu dalgakırınlar

#### **2)Düşey Yüzlü (Monolitik) dalgakırınlar**

Ağırlık beton blok ve keson gibi masiv elemanlardan oluşturulan dalgakırınlardır.

#### **3)Yüzen dalgakırınlar**

Genellikle çevresel yada zemin şartları nedenlerinden dolayı deniz tabanına bağlanmış yüzey elemanlarından oluşturulmuş dalgakırınlardır.

### **2.2 Stabilite Kavramı**

Deniz yapıları hizmet sürelerince ya hiç hasar görmeyecek ya da çok az hasar görecek şekilde tasarlanmaktadır. Ancak yapıyı hiç hasar görmeyecek şekilde tasarlamak maliyet açısından ekonomik olmamaktadır. Bu nedenle maliyet ile kalite arasında optimum bir çözüm bulunmalıdır. Bu dengeyi sağlamak için yeni malzeme ve malzeme biçimleri üzerine çalışmalar hız kazanmıştır. Deniz yapılarının tasarımında belli bir hasar riski göz önüne alınırsa ekonomik çözüm sağlanabilmektedir. Hasar, yapının tamamının veya kaplama tabakalarını oluşturan elemanların yer değiştirmesi şeklinde tanımlanmaktadır. Kıyı ve liman koruma yapıları dalga etkisine karşı "H/ΔD" ile tanımlanan stabilite parametresine göre sınıflandırılabilir (Şekil 2.1).

Burada (Van der Meer, 1988 a)

$H$	: Dalga yüksekliği
$\Delta$	: Rölatif özgül kütle ( $\Delta = \frac{\rho_s - \rho_w}{\rho_w}$ )
$\rho_s$	: Kaplama tabakasında kullanılan elemanın özgül kütlesi
$\rho_w$	: Suyun özgül kütlesi
D	: Yapının kaplama tabakasındaki, taşın, çakılın veya kumun karakteristik çapı

Kesonların veya kaplama tabakalarında büyük elemanlara sahip yapıların  $H/\Delta D$  parametresi değeri küçüktür (Şekil 2.1). Stabilite parametresine göre koruma yapıları aşağıdaki gibi sınıflandırılmıştır.

#### **$H/\Delta D < 1$ Kesonlar ve Kıyı Duvarları:**

Bu sabit yapılarda hiçbir hasara izin verilmemektedir. Burada D çapı yapının genişliği veya yüksekliği olabilir.

#### **$H/\Delta D = 1-4$ Stabil Dalgakırınlar:**

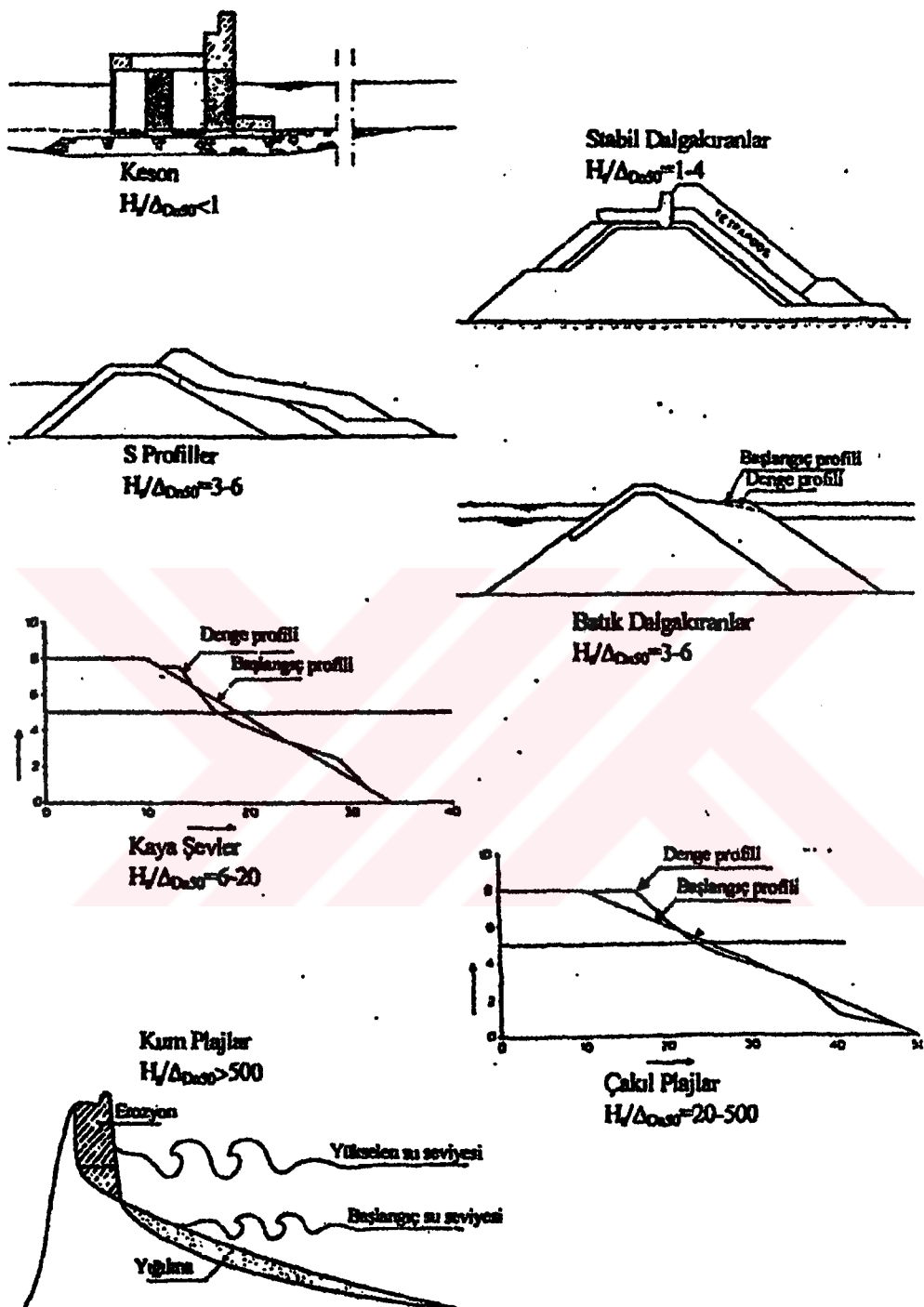
Genellikle ağır yapay kaplama elemanları ve doğal kaya ile üniform eğimler için uygulanır. Sadece ciddi tasarım koşulları altında çok az miktarda hasara izin verilmektedir. Çap, nominal çap gibi, her bir elemanın karakteristik çapıdır.

#### **$H/\Delta D = 3-6$ S-Şekilli ve Basamaklı Dalgakırınlar:**

Bu tür yapılar sakin su seviyesi üzerinde ve altındaki farklı eğimlerin yumuşak bir geçiş bölümü ile birleşmesinden oluşur. Bu yumuşak eğim kaplama tabakası üzerine etkiyen dalga kuvvetini azaltmaktadır. Basamaklı dalgakırınlar deniz tarafında daha dik bir eğim ve sakin su seviyesi üzerinde yatay bir basamak ile tasarılmaktadır. İlk fırtınadan sonra benzer veya daha büyük dalgalarla değişimyecek olan daha yumuşak bir profil gelişir. Profillerde meydana gelecek değişiklikler önem taşır.

#### **$H/\Delta D = 6-20$ Kaya Eğimli Kıyılar:**

Kayanın çapı rölatif olarak küçüktür. Yapı, malzeme yer değişimi olmadan ciddi dalga etkisine karşı durulmaz. Çeşitli dalga sınır koşulları altında gelişecek olan profil tasarımının amacıdır.



Sekil 2.1 Stabilitelerine Göre Yapılar (Van der Meer, 1988a)

### **H/ $\Delta$ D=15-500 Çakıl Kıyıları:**

Tane büyüklükleri 4mm-10cm arasında kalan malzeme çakıl olarak tanımlanmaktadır. Oluşacak su seviyesi değişimlerinde (gelgit) ve dalga koşullarında çakıl kıyıları sürekli değişim göstermektedir. Profilin gelişimi, burada da tasarım amacıdır.

### **H/ $\Delta$ D>500 Kumul ve Kum Tepeleri:**

Çok küçük çaplı malzemeler ciddi dalga etkilerine karşı oldukça dayanıklıdır. Hollanda kıyıları kısmi olarak kum tepeleri ile korunur. Fırtına esnasındaki kum tepelerinin erozyonu sonucu oluşan profil gelişimi temel tasarım parametresidir.

Bu yapılar tasarım koşulları altındaki davranışlarına bağlı olarak statik veya dinamik olarak stabil yapılar diye sınıflanabilir(Van deer Meer,1988 a). Statik olarak stabil yapılarda tasarım şartları altında hiç hasar olmaması ya da hasarın çok az olması istenir. Hasar , koruyucu kaplama tabakası elemanlarının yer değiştirmesi olarak tanımlanır. Kaplama tabaksının her bir elemanın dalga etkilerine karşı koyabilecek dayanıklılıkta ve büyülüklükte olması istenir. Kesonlar ve geleneksel dalgakırınlar statik olarak stabil yapı grubuna dahil edilirler. Tasarım aşamasında dikkat edilecek husus izin verilebilen hasar inşaa ve bakım onarım maliyetleri arasında optimum çözüme ulaşabilmektir. Statik stabilite tasarım parametresi olarak “hasar” ile karakterize edilir ve kabaca  $H/\Delta D < 4$  olarak tanımlanabilir(Van deer Meer,1988 a).

Statik olarak stabil olan şevardeki taşların stabiliteleri

$H_s$ :Belirgin dalga yüksekliği

$T_{\text{ort}}$ :Ortalama dalga periyodu

N:Dalga sayısı

d:Su derinliği

$D_n$ :Nominal taş çapı

$\Delta$ :Rölatif özgül ağırlık

$\alpha$ :Şevin yatayla yaptığı açı

P:Yapının geçirgenliği

gibi pek çok değişkene bağlıdır.

Dinamik olarak stabil yapılarda kıyı profillerine benzer profil değişiminin kabul edilmesi söz konusudur. Taş, çakıl ve kum taneleri gibi elemanlar dalganın tırmanma ve çekilme etkisiyle

belli bir dengeye ulaşınca kadar hareket eder. Dinamik stabilite tasarım parametresi “profil” ile karakterize edilir ve kabaca  $H/\Delta D > 6$  değeri ile sınırlanmaktadır(Van deer Meer,1988 a).

## **2.3 Tasarım aşamasında dikkate alınması gereken dalga özellikleri**

### **2.3.1 Dalga Karakteristikleri**

#### **1.Tasarım kriteri:**

Kıyı yapıları yapısal stabilite, fonksiyonel performans, çevresel etki gibi zıt kriterlerin en iyi şekilde birleştirilmesinin gereği yapılardır. Yapısal stabilite kriteri yapının karşılaşacağı ekstrem koşullarda, yapının önemli hasar görmemesi esasına göre belirlenir tasarım koşulları 50 ile 100 yıl dönüş periyotlu dalga şartları, sismik olaylar ve su seviyesindeki değişimlere göre belirlenir (CERC,1984).

#### **2.Dalga şartlarının temsili:**

Yapılara en büyük kuvveti sismik dalgaların dışında rüzgar dalgaları uygulamaktadır. Dalga karakteristikleri genellikle derin deniz şartı için belirlenir ve yapıya doğru analitik olarak kıyı yönünde olan değişimi hesaplanır. Dalga kayıtlarının bulunmadığı durumda feç, rüzgar hızı ve süresi bilindiği taktirde derin deniz belirgin dalga yüksekliği  $H_s$  ve belirgin dalga periyodu  $T_s$  bulunabilmektedir (CERC,1984).

Yapı önündeki dalga koşulları; yapı önündeki su derinliğine kritik bir şekilde bağlıdır. Su seviyesinin değişmesi ile yapıya etkiyen dalga hareketleri oldukça önemli ölçüde değişiklik gösterebilmektedir. Gel-git hareketinin değişik aşamalarında yapı kırılan, kırılmış veya kırılmayan dalga şartlarının tesirinde kalabilmektedir. Dalga hareketi yapının uzunluğu boyunca da değişebilmektedir (CERC,1984).

Proje sahasındaki bütün dalga verileri belirlenmelidir. Fırtına dalgalarının görsel olarak izlenmesi dalga yüksekliği, periyodu, yönü, fırtına süresi ve dönüş aralığını belirlemeye yarayabilir. Belirli bir noktada dalga yüksekliğini, periyodunu ve yönünü belirlemek için çeşitli araçlar geliştirilmiştir. Dalga yönü genellikle tasarım analizi için gereklidir, eğer dalga yönünün fiziksel olarak ölçümü mümkün değilse, yönel rüzgar verilerinden tahmin edilebilir. Ekstrem olaylardaki dalgaların gözlenmesi rüzgar verilerinden yapılan tahminlerin kontrollü

**ZC TÜRKİYE KARASU DAİMİ KURUM  
DESTEKLEME İSTASYONU MERKEZİ**

açısından önemlidir. Sığ su dalga verilerinin belirlenebilmesi için güvenli derin deniz dalga verileri gereklidir (CERC,1984).

### **3.Tasarım dalgalarının seçilmesi:**

Yapısal stabilité için dalga koşullarının seçimi fonksiyonel performans kadar yapının kırılmayan, kırılan, kırılmış dalgalara maruz kalmasına ve yapının geometrisi ile porozitesine bağlıdır. Dalga karakteristiklerinin belirlenmesinden sonraki aşama, proje sahasındaki dalga yüksekliğinin su derinliği ile kontrol edilip edilmediğidir. Dalga hareketi yapı boyunca ve yapının bir kesitinde su seviyesine ve zamana bağlı olarak değişir. Bu yüzden dalga koşulları yapı boyunca çeşitli yerlerde ve çeşitli su seviyelerinde belirlenmelidir. Örneğin mahmuz gibi yapılarda, maksimum kuvveti veren kritik dalga yapının en derinde bulunan kesiti yerine başka bir yerdeki kesitini etkiliyor olabilmektedir. Tasarım dalgası ve su seviyesi koşullarının belirlenmesinde bu olasılık göz önünde tutulmalıdır (CERC,1984).

Eğer sığ sudaki kırılma, dalga yüksekliğini sınırlamıyorsa, kırılmayan dalga koşulu söz konusudur. Kırılmayan dalgalar için tasarım dalga yüksekliği istatistiksel dalga yüksekliği dağılımından seçilir. Seçilen dalga yüksekliği yapının rıjıt, yarı-rıjıt veya fleksibil olmasına göre değişir. Rıjıt yapılar için (çelik palplanş duvarları gibi) dalga katarı içindeki yüksek bir dalga yapının tamamını hasara uğratabilir. Bu tip yapılar için tasarım dalga yüksekliği  $H_1$  (aşma olasılığı %1'i geçen dalgaların ortalama yüksekliği), yarı rıjıt yapılar için tasarım dalgası  $H_{10}$  (aşma olasılığı %10'u geçen dalgaların ortalama yüksekliği) olarak seçilebilir. Hücresel çelik palplanşlı yapılar yarı-rıjittirler ve dalga kuvvetlerini soğurabilirler, bu yüzden genellikle tasarım dalgası olarak  $H_{10}$  seçilmelidir. Taş dolgu dalgakırınlar veya riprap yapılar gibi fleksibil yapılar için genellikle  $H_5$  (aşma olasılığı %5'i geçen dalgaların ortalama yüksekliği) ile  $H_s$  (aşma olasılığı %30'u geçen dalgaların ortalama yüksekliği) arasında bir değer seçilir.  $H_5$  ve  $H_s$  arasındaki dalgayı belirlemek aşağıdaki faktörlere bağlıdır (CERC,1984).

- a)Kabul edilebilir hasar miktarı, işletme ve bakım masrafları,
- b)Kullanılan malzeme ve ekipmanın temini,
- c>Dalga koşullarının belirlenmesi için izlenen yöntemin geçerliliği

## **2.3.2 Dalga tırmanması, aşması ve enerji aktarımı**

### **2.3.2.1 Dalga tırmanması**

Yapıya tesir eden dalganın sahip olduğu enerji ile yapı üzerinde yükselmesine dalga tırmanması denir (CERC,1984).

#### **a)Düzenli dalgaların tırmanması:**

Yapı üzerinden dalga aşmasına izin verilmeyen durumlarda, dalganın etkidiği yapı üzerinde düşeyde kat ettiği mesafe tırmanma yüksekliğini verir buna göre yapı yüksekliği belirlenir. Tırmanma yapının şecline, pürüzlülüğüne, yapı topuğundaki su derinliğine, yapı önungündeki taban eğimine ve gelen dalganın karakteristiklerine bağlıdır. Tırmanma ile ilgili değişken sayısının çok olması bu olayın bütün geometrik değişkenler ve dalga koşulları için tam anlamıyla tanımını mümkün kılamamaktadır (CERC,1984).

#### **b) Düzensiz dalgaların tırmanması:**

Değişik yapılardaki düzensiz dalgaların tırmanması ile ilgili çok daha fazla bilgi mevcut değildir. Ancak Ahrens (1977) yapmış olduğu deneysel çalışmalar sonucunda, her bir dalganın tırmanmasının da dalga yükseklikleri gibi Rayleigh dağılımına uyduğunu bulmuştur Günbak (1979) Saville'in (1962) düzensiz dalgaların tırmanma yüksekliklerinin de düzensiz dalgaların kendileri gibi Rayleigh dağılımına uyduklarını belirlemiştir.

### **2.3.2.2 Dalga aşması**

#### **a)Düzenli dalgalar:**

Yapıyı dalga spektrumundaki en büyük dalgayı dikkate alarak, aşılamayacak şekilde tasarlamak ekonomik olmayan bir yöntemdir. Aşan su miktarı yapının yüksekliğine, yapı topuğundaki suyun derinliğine, yapı eğimine ve eğimin düz, basamaklı veya pere kaplamalı olmasına bağlıdır (CERC,1984).

#### **b)Düzensiz dalgalar:**

Düzensiz dalgaların tırmanmasında olduğu gibi kıyı yapılarına etkiyen rüzgar dalgalarının ortalama ve ekstrem aşma miktarları tam olarak bilinmemektedir (CERC,1984).

### **2.3.2.3 Dalga enerjisinin aktarımı**

Dalga enerjisinin yapı üzerinden veya içinden yapı arkasına iletilmesine dalga enerjisinin aktarımı (transmisyonu) denir. Dalgalar dalgakırana tesir ettiklerinde enerjileri kısmen veya tamamen ya yansır, ya harcanır, ya da yapı üzerinde veya içerisinde iletişimden iletilir. Gelen dalganın dalgakırana olan etkileşimiyle nasıl bir değişime uğrayacağı gelen dalganın karakteristiklerine, yapının geometresine ve dalgakırnanın tipine bağlıdır. Liman koruyan dalgakırınlar, liman içerisinde hasara ve salınıma yol açmamaları için dalga enerjisini yansıtarak veya harcayarak enerji aktarımını minimize etmelidirler (CERC, 1984).

### **2.3.3 Dalga Kırılması**

Kırılan dalga etkisindeki kıyı yapılarının hasar görme riski oldukça yüksektir. Örneğin bloklu ve keson tipindeki dalgakırınların zayıf bir noktasından başlayacak hasar yapının tamamında deplasmana neden olacak zarara sebep olabilir (Qumeraci, 1994; Allsop ve diğerleri, 1996). Genellikle duvar tipi yapılarda oluşan çatlaklar üzerindeki dalga basıncı hasar oluşumunu başlatmaktadır.

Laboratuvar ve nümerik simülasyon çalışmaları içi su dolu çatlaklar üzerinde basınç dalgalarının 80-100m/s hızla yayıldıklarını göstermiştir. Bu basınçların neden oldukları kuvvetler büyük blokları yerlerinden hareket ettirebilecek şiddete sahiptirler (Müller 1997, Müller ve dig. , 1999). Simülasyon modelleri akışkan hava karışımının sıkışabilirlüğünü de dikkate alarak tuzlu sudaki hava düzeyi belirleyebilmektedir. Kırılmadaki hava karışımı için sınırlı veri nedeniyle, çatlaklılardaki suyun özelliklerine bunun nasıl etkisi olduğu henüz bilinmemektedir.

Kanal adalarında mevcut bir dalgakırana (Bird ve diğerleri, 1998) yerleştirilen transducerler yardımıyla 2.6m yüksekliğinde dalganın 396kPa büyüklüğünde basınçca neden olduğu belirlenmiştir (Bullock ve dig. , 2000). Çarpma basıncının yükselme süresini 0.01s ve ortalama hızını 20m/s olarak ölçmüştür. Bullock ve diğerleri (2001) yüksek basınç ve kısa yükselme zamanı giren hava hacminin önemli miktarda olmasıyla meydana geldiğini göstermiştir.

Basınç ve hava miktarı değerleri laboratuvara 1/25 ölçekli modelde tatlı ve tuzlu su şartlarında da ölçülmüştür (Bullock ve diğerleri, 2000). Farklı fiziksel, kimyasal ve biyolojik koşullar nedeniyle tuzlu sudaki hava miktarı tatlı suya göre çok daha fazla olmaktadır. Bu durum, hava su karışımında farklı sıkışabilirliğe neden olmaktadır, böylece tuzlu suda tatlı suya göre daha düşük pik basıncı ve daha uzun basınç artış zamanı söz konusu olmaktadır.

Bir kıyı üzerinde kırılan dalgalar, kırıldıkları yerde tamamıyla farklı bir çevre yaratırlar. Dalgaların kırılmaya başladıkları derinlikten kıyıya kadar olan bölge surf bölgesi olarak bilinir ve dalga, enerjisinin tamamını burada sönümlendirir. Bu bölge plunging jetinin çarptığı derinliğe kadar olan dış ve sonrası iç bölge olmak üzere iki kısma ayrılmaktadır.

Dalga kırılması dalga teorileri ile yeterince açıklanamamaktadır. Ancak dalga kırılmasının başlaması ile ilgili "iki teorik kriter" şartları belirler. Kinematik stabilité, dalga kretindeki akışkan partikülünün yatay orbital hızının dalga yayılma hızını geçmesi durumunda kırılmanın olduğunu kabul eder ve  $u_c > c$  dir. Dinamik stabilité; ise yüzeydeki akışkan partikülünün maksimum düşey ivmesinin yerçekimi ivmesine eşit olduğunda kırılmanın olduğunu kabul eder ve  $\frac{d\omega}{dt} \geq g$  olarak gösterilebilir (Yüksel ve diğerleri, 1998).

Dalga kırılması, dalga dikliğinin kritik dalga dikliğini aşması ile olur. Kırılma işlemi iki farklı şekilde incelenmektedir. Biri derin denizde dalgaların süper pozisyonu ile veya rüzgar veya ters akıntı nedeniyle. Diğer dalga kırılması ise derinlik etkisi nedeniyle sığ suda dalga kırılmasıdır.

Derin suda bir dalganın maksimum yüksekliği dalga formunun kararlı kalabileceği dalga formu için maksimum dalga dikliği ile limitlidir. Limit diklige ulaşan dalgalar kırılmaya başlayarak enerjilerini kaybederler. Kret açısı minimum 120 derece olur. Bu limit dikliğinden dalga kretindeki su partiküllerinin hızı dalga yayılma hızına eşitlenir, dikliğin daha da artışı ile akışkan partikül hızı dalga yayılma hızını aşar ve stabilitesini kaybeder (Yüksel ve diğerleri, 1998).

Miche dalga kırılmasını dalga dikliğinin aşılması olarak aşağıdaki ifade ile tanımlamıştır.

$$\frac{H_b}{L_b} = 0.14 \tanh\left(\frac{2\pi d_b}{L_b}\right) \quad (2.1)$$

Sığ su şartlarında dalgaların nerede ve nasıl kırıldığını tanımlayan parametre ise kırılma indeksidir ( $H_b/d_b$ ). Eğer dalga sığ suda ilerliyorsa limit diklik hem rölatif derinlik  $d/L$  hem de kıyı eğimi etkisiyle azalmaya başlar.

Solitary dalga teorisi kinematik stabilite kriterini kullanarak kırılma indeksini, aşağıdaki gibi vermiştir;

$$\frac{H_b}{d_b} = 0.78 \quad (2.2)$$

dalga kırılmasını su derinliğinin dalga yüksekliğini limitlemesi olarak tanımlamıştır, ancak bu ifade tüm kırılmaların spilling türünde olduğu yatay kıyılar için uygulanabilmektedir.

Daha kompleks ampirik kriterlerde geliştirilmiştir, örneğin CERC (1984);

$$\frac{H_b}{d_b} = (c_1 - c_2 \frac{H_b}{gT^2}) \quad (2.3)$$

$$c_1 = 43.75(1 - e^{-19m}) \quad (2.4)$$

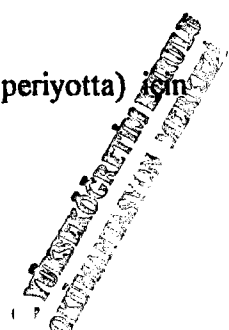
$$c_2 = \frac{1.56}{(1 + e^{-19.5m})} \quad (2.5)$$

burada  $m$  kıyı eğimidir.

Goda (1970) ise aşağıdaki ifadeyi geliştirmiştir.

$$\frac{H_b}{d_b} = 0.17 \frac{L_0}{d_b} \left[ 1 - e^{-\left\{ \frac{1.5m d_b}{L_0} (1 + 15m^{4/3}) \right\}} \right] \quad (2.6)$$

Yukarıdaki kırılma kriteri düzenli dalgalar (tüm dalgalar aynı yükseklik ve periyotta) için geliştirilmiştir.



Dalgaların kırılması esnasında kat ettiğleri yatay mesafeye kırılma mesafesi denilmektedir ve bu kavram dalga kırılması olayında son derece önemlidir. Açık kanal akışlarındaki hidrolik sıçrama uzunluğuna benzeyen bu mesafeyi belirleyen faktörler henüz tam olarak anlaşılamamıştır. Dik şevli mühendislik yapıları üzerinde plunging türü kırılmada bu kırılma mesafesi oldukça önemlidir. Bu durumda kırılan dalganın etki bölgesinin mesafesinin belirlenmesi yapı açısından önem taşımaktadır. Çünkü yapıya en büyük darbe yapıdan belli bir uzaklıkta kırılma işlemine başlayıp tam yapıya vuran dalgalar oluşturmaktadır. Galvin (1969) yapmış olduğu deneysel çalışmalar sonucunda kırılma noktasının başlangıcı ile plunging noktası arasındaki mesafenin kırılma yüksekliğinin 2 ile 4 katı mertebelerinde olduğunu belirtmiştir. Bununla birlikte kırılma mesafesinin yapı eğiminin artmasıyla azaldığını belirterek aşağıdaki ifadeyi vermiştir:

$$\frac{x_p}{H_b} = 4.0 - 9.25m \quad (2.7)$$

$$x_p = \tau_p \cdot H_b \quad (2.8)$$

Yüksel ve Narayanan (1994) plunging noktasının derinliğinin dalga dikliğinden bağımsız olduğunu ve plunging noktasındaki dalga yükseklığının kırılan dalga yüksekliğinin %60'ı kadar olduğunu gözlemlemişlerdir.

Burada;

$H_b$ : Kırılan dalga yüksekliği,

$m$ : taban eğimi,

$\tau_p$ : boyutsuz kırılma uzunluğu (plunge mesafesi).

Surf bölgesi içerisindeki enerji kaybı işlemi dalgaların kırılma şekillerine göre değişmektedir. Dalgalar kırılırken çeşitli şekillere sahip olabilirler. Bu tipler kuyu eğiminin ve dalga dikliğinin fonksiyonudur. Bu etkiler surf benzerlik parametresi olarak adlandırılan parametrede birleştirilmiştir. Bu parametre

$$\xi_b = \frac{m}{\sqrt{H_b / L_0}} \quad (2.9)$$

dir. Parametrenin aldığı değerlere göre kırılan dalgalar dört sınıfa ayrılırlar (Yüksel ve diğerleri, 1998):

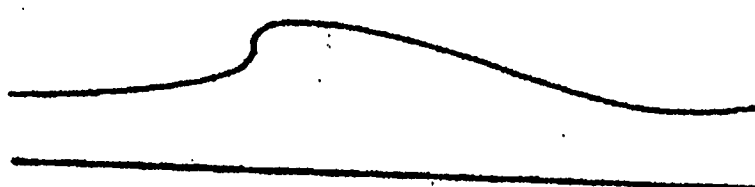
*Spilling kırılma*  $\xi_b < 0.4$  olduğunda meydana gelir. Rölatif olarak dik dalgalar ve/veya rölatif olarak daha yatık bir taban halinde meydana gelen kırılma tipidir. Su derinliğinin azalması ile dalga tepesi sivrileşir, su yüzeyi köpürür. Kırılma henüz dalga tepesinin simetrik olduğu, kıyıdan daha açık mesafede meydana gelir ve dalga cephesinde oluşan köpürme ile birlikte vorteks oluşur. Ancak bu durumda cepheden ön tarafında bulunan çukurda bozulma meydana gelmez. Derin su dalga kırılması da spilling tipi kırılmaya benzer bir davranış gösterir (Şekil 2.2 (a)).

$0.4 < \xi_b < 2$  değerleri arasında *plunging kırılma* meydana gelmektedir. Taban eğimi rölatif olarak biraz daha büyütür ve dalga dikliği spilling tipi dalgalara göre daha küçüktür. Kırılmıştan sonra kıvrılarak dalga cephesinin önündeki çukura serbest düşen bir jet biçiminde çarpar (*plunging jet*) ve dalga cephesinde büyük ölçekli vorteksler meydana gelir. Plunging noktasından sonra kıyı çizgisine doğru "bore" olarak adlandırılan dalgalar meydana gelir ancak bunlar periyodik karakterde değildir (Şekil 2.2 (b)).

$\xi_b > 2.0$  durumunda *collapsing kırılma* meydana gelir. İri malzemeden oluşan büyük kıyı eğiminde oluşur. Bu dalga genellikle *plunging* tipi kırılmıştan *surging* türü kırılmaya geçer.

*Surging* tipi kırılma çok çok büyük eğimli taban üzerinde basık diklige sahip dalganın yaklaşması durumunda meydana gelir. Kırılma miktarı küçüktür ve kıyı çizgisine yakın oluşur (Şekil 2.2 (c)). Bu tip kırımlarda yansıtma miktarı büyümektedir.

*Surging* ve *collapsing* türünde kırılmanın meydana geldiği kıyılar genellikle yansıtan kıyılar olarak adlandırılırlar.



(a) Spilling tipi kırılmanın şematik gösterimi.



(b) Plunging tipi kırılma şematik gösterimi.



(c) Surging tipi kırılma şematik gösterimi.

Şekil 2.2 Kırılma tipleri (Yüksel ve diğerleri, 1998)

Dalga kırılması deniz yapıları üzerinde etkili olacak kuvvetler açısından oldukça önemlidir. Özellikle plunging tipi kırılmada, dalga kırılma noktasından sonra ön tarafındaki dalga çukuruna doğru bükülerek düşey bir jet görünümünde çarparak oldukça şiddetli türbülanslı akım yapısına neden olur. Bu çarpma noktası plunging noktası olarak isimlendirilir. Bu anda dalga, enerjisinin büyük bir kısmını harcar. İşte bu nedenden dolayı plunging tipi kırılmalar dalga enerjisinin en fazla harcadığı dalgalardır. Dalga kırılması deniz taban hareketinde ve kıyı yapılarında son derece önemli bir olgudur.

Enerjinin en fazla harcandığı ve deniz yapıları üzerinde şok kuvvetler uygulayan plunging tipi kırılma araştırmacıların ilgisini çekmiş ve Basco (1985), Nadaoka ve Kondoh (1982), Nadaoka et al. (1988) gibi araştırmacılar tarafından detaylı bir biçimde incelenmeye çalışılmıştır. Plunging tipi kırılma, su kütlesinde oldukça şiddetli çalkantı meydana getirmektedir. Kırılma sırasında meydana gelen plunging jet dalga cephesinin önündeki çukura çarparak bir seri vorteksin oluşmasına neden olur, böylece dalga yüksekliği hızla azalır.

Dalga kırılma işlemi dalgakıranların stabilitesi açısından oldukça önemlidir. Araştırmalar

- a)dalgaların yapıya kırılmadan gelmesi,
- b)yapıya gelmeden kırılması,
- c)yapı üzerinde kırılması halleri için farklı stabilité koşulları yarattığını göstermiştir. Eğer dalgalar dalgakırandan yeterince uzakta kırılıyorsa o halde dalgakıran *kırılmış dalga etkisine* maruzdur denilebilir. Eğer dalgalar yapı önünde öyle bir mesafede kırılabilirki kırılan dalga tepesi dalgakıran eğimi üzerine çarpar o halde bu dalgakıran *kırılan dalga etkisindedir* denilir. Eğer dalgalar yapıya kırılmadan ulaşıyorsa o halde *kırılmayan dalgalara* maruzdur denir.

## **2.4 Taşdolgu Dalgakıranların Yapısal Tasarım Kriterleri**

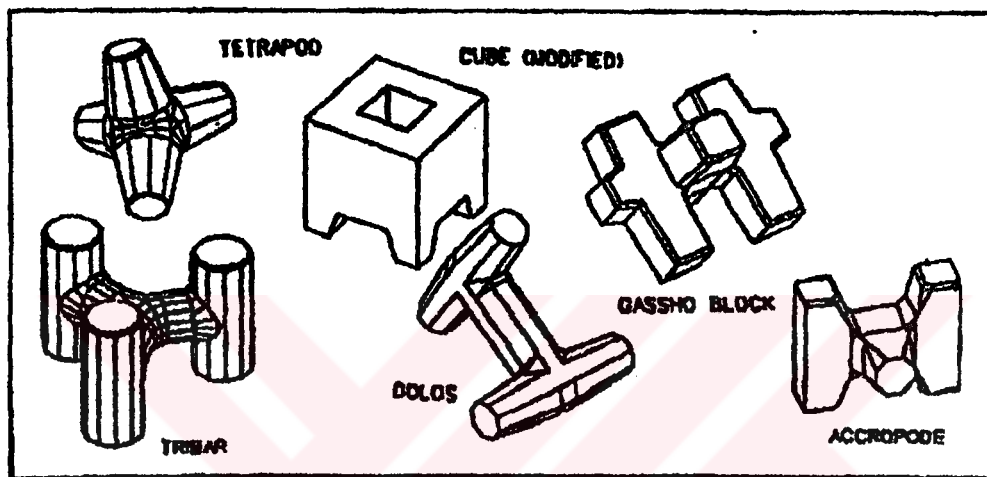
### **2.4.1 Beton kaplama malzemelerinin özelliklerı**

Koruyucu kaplama olarak kullanılacak eleman (Şekil 2.3) aşağıdaki özelliklere sahip olmalıdır(Sogreah,1998):

- a)Herhangi bir şev açısından, tekil bloklardan oluşan bir tabaka şeklinde yerleştirildiğinde hidrolik olarak yeterli stabiliteye sahip olmalıdır.
- b)Tasarım dalga ve özelliklerini aşan durumlarda stabilitelerini korumalıdır.
- c)Koruyucu tabaka, şev üzerinde sallanmaya eğilimleri dikkate alınmalıdır.
- d)Bloklardaki kırılma sonucu yerel stabilitenin bozulması durumunda ve kırılmayı izleyen oturma sürecinde tabaka stabilitesini korumalıdır.
- e)Maksimum dalga enerjisini sönmeyebilmek için yeterli porozite ve şev pürüzülüğüne sahip olmadırlar.
- f)Minimum beton koruma tabakası hacmiyle maksimum performans göstermelidirler.
- g)Diğer bir çeşit koruma tabakası üzerine onarım için yerleştirildiklerinde hidrolik açıdan stabil olmalıdır.
- h)İç gerilimi düşük olmalı böylece donatısız olarak imal edilebilirler.
- i)Beton döküm ve kalıp işleri kolay olmalıdır.
- j)Görüş niteliğinin düşük olduğu sularda bile koruyucu tabakayı oluşturmak kolay olmalıdır.
- k)Üretim yeri ve yükleme alanı olarak çok az yer işgal etmelidirler.
- l)Geleneksel inşaa yöntemleri ve gereçlerinden faydalana bilmelidir.

## 2.4.2 Stabilite kriterleri

Taş dolgu dalgakıran dizayının temel prensibi en içte çekirdek onun üzerinde bir filtre tabakası ve en üstte ise koruyucu tabaka olmak üzere üç tabaklı bir yapı teşkil etmektir. Iribarren (1938) taş dolgu dalgakıran için ilk stabilite formülünü tamamlamıştır. Daha sonra 1951 yılında Hudson, Iribarren' in vermiş olduğu ifadeyi geliştirmiştir.



Şekil 2.3 Koruyucu tabaka oluşturmaya yarayan çeşitli bloklar

Günümüzde kullanılan en popüler formül her bir taş ağırlığını veren Hudson (1959) formülüdür. Hudson bu formülü küçük ölçekli deneylere dayanarak vermiştir. Hudson' in ifadesi aşağıdaki gibi verilmiştir.

### 1) Iribarren formülü (1938)

$$W = \frac{\gamma_w K H_b^3}{\left( \frac{\gamma_w}{\gamma_r} - 1 \right)^3 (\cos \alpha - \sin \alpha)^3} \quad (2.10)$$

burada

K: 0.015 (kaya dolgu için)

K: 0.018 (beton blok için)

H<sub>b</sub>: Kırılan dalga yüksekliği

$\gamma_w$ : Suyun özgül ağırlığı

$\gamma_r$ : Taşın özgül ağırlığı

### 2) Iribarren-Hudson formülü (1951)

$$W = \frac{\gamma_w K' \mu^3 H_{topuk}}{\left(\frac{\gamma_w}{\gamma_r} - 1\right)^3 (\mu \cos \alpha - \sin \alpha)^3} \quad (2.11)$$

Çizelge 2.1  $K'$ 'nın eğimle değişimi (Hedar 1986)

Eğim	$K'$
1:1,25	0,0035
1:1,5	0,0085
1:2	0,0175
1:2,5	0,0285
1:3	0,0365
1:4	0,0325
1:5	0,0300

burada

$\mu$ : sürtünme katsayısı (=1)

$H_{topuk}$ : dalgakıran topuğunda tasarım dalga yüksekliği

$K'$ : boyutsuz katsayı (Çizelge 2.2)

### 3) Hudson (1959)

$$W = \frac{\gamma_r H^3}{K_D \left( \frac{\gamma_r}{\gamma_w} - 1 \right)^3 \cot \alpha} \quad (2.12)$$

$W$ : her bir taşın ağırlığı

$\gamma_r$ : taşın özgül ağırlığı

$\gamma_w$ : suyun özgül ağırlığı

$H$ : dizayn dalga yüksekliği

$K_D$ : stabilite katsayısı

$\alpha$ : dalgakıran şevinin yatayla yaptığı açı

Bu formül aşağıdaki gibi yazılarak stabilite sayısı ifade edilebilir.

$$(K_D \cot \alpha)^{1/3} = \frac{H}{\left( \frac{\gamma_r}{\gamma_w} - 1 \right) D_n} = N_s \quad (2.13)$$

$N_s$ : stabilité sayısı

$D_n$ : nominal taş çapı

Stabilité katsayısı  $K_D$  koruyucu tabakada kullanılan elemanın şecline, yüzey pürüzlülüğüne, kenarların keskinliğine, kenetlenme derecesine bağlıdır.  $K_D$  katsayısının doğru seçimi oldukça zordur.  $K_D$  değerleri hiç hasar olmama şartına göre elde edilmiştir. Hiç hasar olmama şartı Hudson tarafından şöyle tanımlanmıştır. Koruyucu tabakada hareket eden eleman sayısının toplam eleman sayısına oranının % (0-5) olmasıdır. Daha büyük hasarı seçtiğimizde başka bir deyişle bakım masraflarını arttırdığımızda daha küçük bloklar elde edebiliriz. Bu ilk yatırım maliyetinin azaltılması demektir. Böyle bir seçim için proje dalga yüksekliğinde yapılacak azaltma Çizelge 2.1' de görülmektedir.

Çizelge 2.1'de öngörülen değerler proje dalga yüksekliğinin aşılmaması, dalgaların kırılmaması ve dalganın dalgakıranın üzerinden aşmaması durumu için geçerlidir.

Hudson deneylerini dalga cephelerinin dalgakırana paralel gelmesi ve kırılmayan dalga şartlarında gerçekleştirmiştir. Ancak laboratuvar deneyleri (kırılmakta olan dalga şartlarında yapılan) dalga kırılmasının yapının stabilitesi üzerinde oldukça önemli olduğunu göstermiştir.

Taş ağırlığının hesaplanmasıında tasarım dalga yüksekliği olarak belirgin dalga yüksekliği kullanılmaktadır. Ancak CERC (1984) de dizayn dalga yüksekliği için  $H_{1/10}$  kullanımını önermektedir. Laboratuvara  $K_D$  katsayısı bulunurken stabilité sayısından faydalанılır.

**Çizelge 2.2 Koruyucu tabakadaki hasar ile koruyucu bloklar arasındaki  $H/H_{D=0}$  fonksiyonu (CERC, 1984)**

Malzeme	$H/H_{D=0}$	% HASAR						
		0-5	5-10	10-15	15-20	20-30	30-40	40-50
Ocaktaşı (pürüzsüz)	$H/H_{D=0}$	1.00	1.08	1.14	1.20	1.29	1.41	1.54
Ocaktaşı (pürüzlü)	$H/H_{D=0}$	1.00	1.08	1.19	1.27	1.37	1.47	1.56
Tetrapod Quadripod	$H/H_{D=0}$	1.00	1.09	1.17	1.24	1.32	1.41	1.50
Tribar	$H/H_{D=0}$	1.00	1.11	1.25	1.36	1.50	1.59	1.64
Dolos	$H/H_{D=0}$	1.00	1.10	1.14	1.17	1.20	1.24	1.27

4) Losada ve Gimenez-Curto (1979) yaptıkları deneysel çalışmalar sonucunda koruyucu tabakadaki taş ağırlığı için aşağıdaki ifadeyi elde etmişlerdir;

$$W = \frac{\gamma_s}{\left(\frac{\gamma_s}{\gamma_w} - 1\right)^3} H^3 \Psi \quad (2.15)$$

W: Taş ağırlığı

$\gamma_s$ : Taşın özgül ağırlığı

$\gamma_w$ : Suyun özgül ağırlığı

H: Dalga yüksekliği

$\Psi$ : Stabilite fonksiyonu

dır. Formüldeki  $\Psi$  aşağıda belirtilen değişkenlerin fonksiyonudur.

$\Psi$ :  $\Psi(H/L, \alpha, \text{kaplama tipi}, \text{pürüzlülük}, \text{geçirimsizlik}, \text{hasar kriteri})$

Bu ifade Hudson formülü ile karşılaştırıldığında:

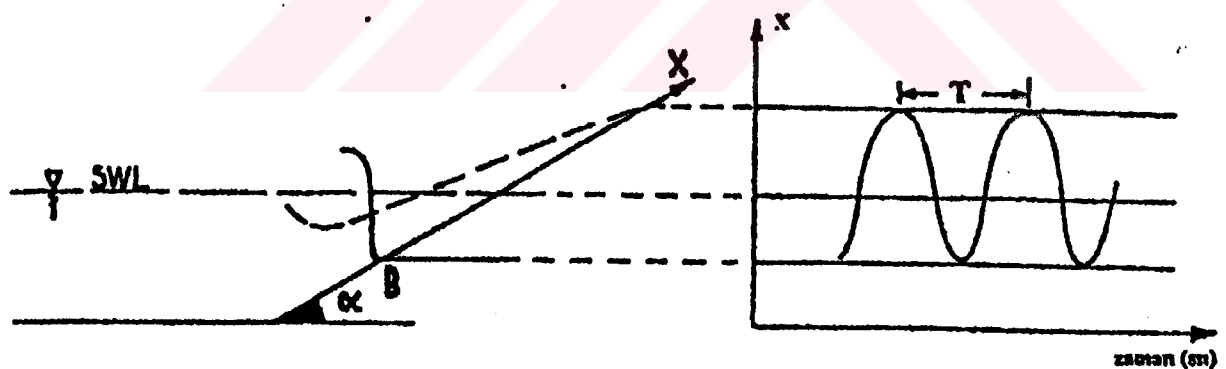
$$\Psi = \frac{1}{K_D \cot \alpha} \quad (2.16)$$

olduğu görülmektedir.

Bruun ve Günbak (1976) tarafından yapılan araştırmalar sonucu yapıdaki en büyük stabilitesizliğin İribarren sayısının küçük bir aralığında ortaya çıktığı görülmüştür. Bu aralık rezonans koşullarının oluşmasını sağlayan  $2.0 < \xi < 3.0$  (düzenli dalgalar için) aralığıdır (Losada ve ark., 1986). Bu aralıkta geri çekilen dalga ile kırılan dalga, kırılma noktasında karşılaşmaktadır. Burada kullanılmış olan surf parametresi veya İribarren sayısı aşağıdaki gibidir.

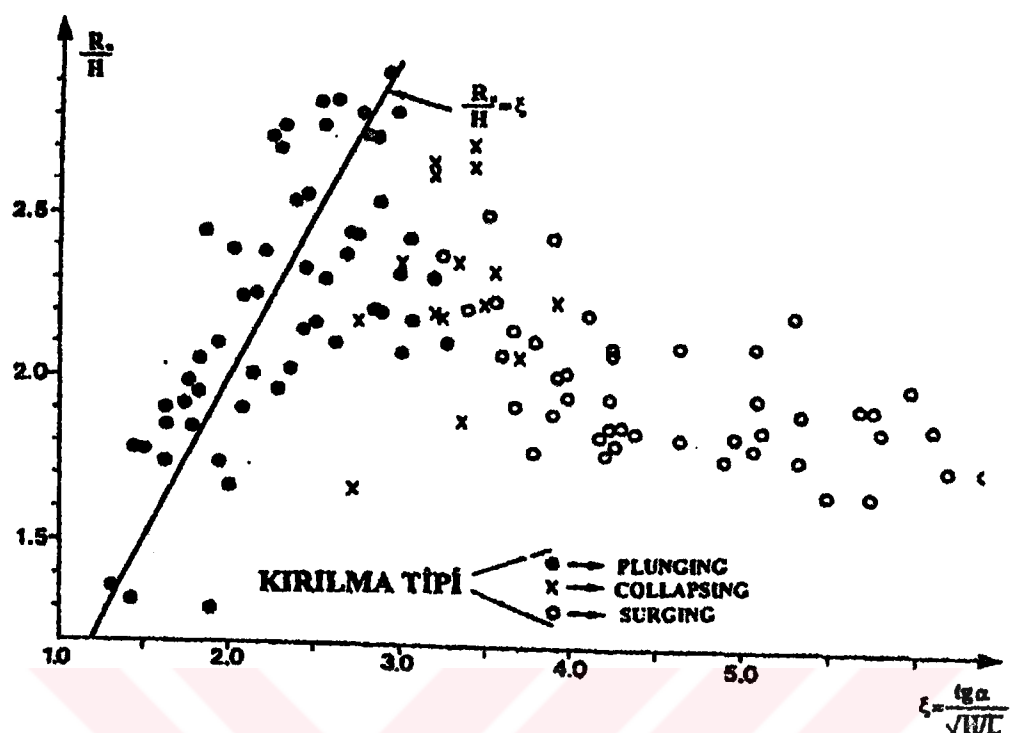
$$\xi = \frac{\tan \alpha}{\sqrt{(H/L_0)}} \quad (2.17)$$

Bu aralıkta geri çekilme, Şekil 2.4' den de görülebileceği gibi yeni gelen kırılacak dalganın tam topuğunda biter. Yani kırılan dalga kuru eğime çarpar ve tırmanır (Günbak, 1979).

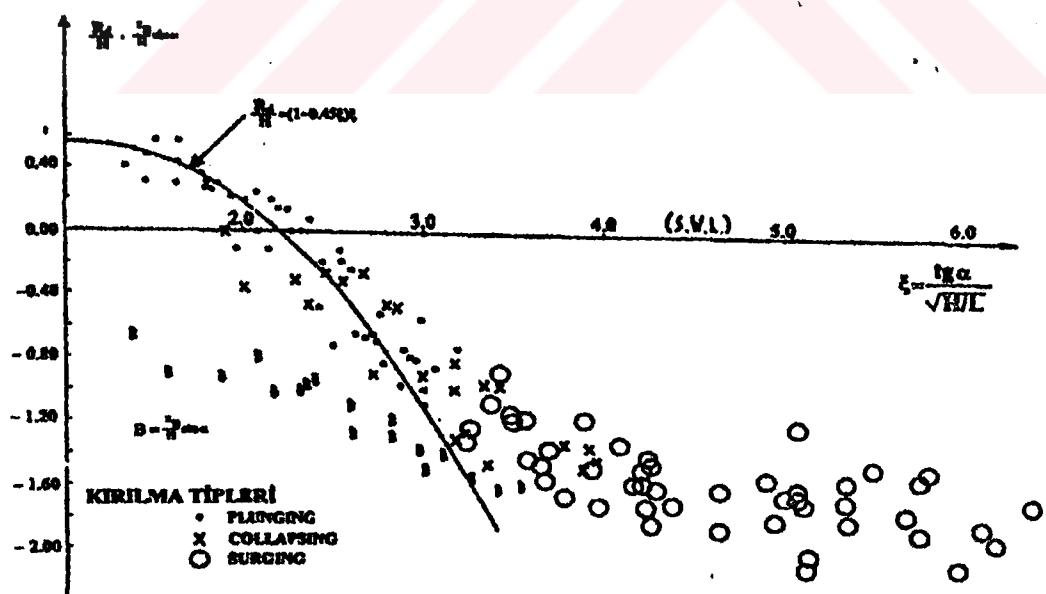


Şekil 2.4 Rezonans koşulu (Günbak, 1979)

Bu durumun stabilité açısından önemi, Sigurdsson (1962) ve Sandström (1974) tarafından yapılan deneylerden kırılan bir dalganın yarattığı kaldırma kuvvetinin ve kırılan dalgaların doğrudan kuru yüzeye çarparak etki ettirdikleri çarpma kuvvetinin maksimum değerine çıkışlarıyla açıklanmıştır.



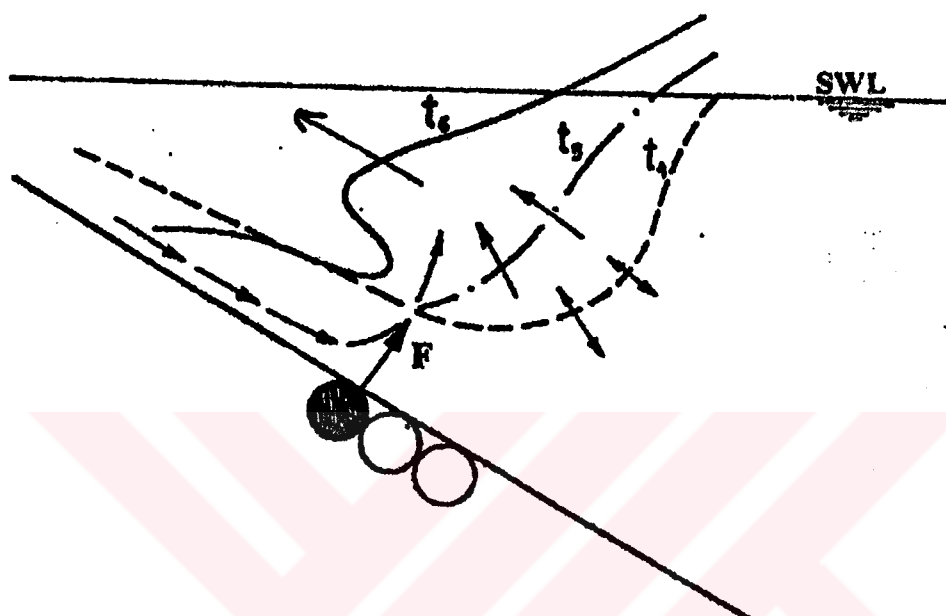
Şekil 2.5 Düz yüzeyli şevlerdeki tırmanma (Günbak, 1979)



Şekil 2.6 Düz yüzeyli şevlerde geri çekilme (Günbak, 1979)

Şekil 2.5 ve Şekil 2.6'dan da görüldüğü gibi tırmanma ve geri çekilme surf parametresinin üçten daha büyük değerleri için çok fazla artmamaktadır. Üçe yakın değerlerde dalga çekilmesi sonucunda suyun geri çekilme hızı büyük olur ve bu büyük hız da elemanları

yerlerinden sökebilecek yüksek sürükleme kuvvetine neden olmaktadır. Bu büyük geri çekilme hızı ile dalga topuğundaki yüksek hızın karşılaşması, elemanların yerlerinden ayrılmamasına sebep olan büyük hız ve ivmeye sahip şebe dik eddy benzeri çevriler oluşturmaktadır. Bu durum Şekil 2.7'den görülebilir (Günbak, 1979).



Şekil 2.7 Eddy benzeri çevriler (Günbak, 1979)

Losada ve Gimenez-Curto (1979) kaplama tipini, pürüzlülüğü, geçirimsizliği ve hasar kriterini sabit tuttuklarında  $\Psi'$  nin İribarren sayısının ( $\xi$ ) fonksiyonu olduğunu bulmuşlardır.

$$\Psi(H/L, \alpha) = \Psi(\xi)$$

Losada ve Gimenez-Curto (1979-1980) *pürüzlü ve geçirimli şevlerdeki* (dolos, tetrapod ve uniform ocak taşı) stabiliteyi çalışmışlardır. Bu araştırmacılar Bruun ve Günbak (1976)'ın çalışmalarına benzer olarak minimum stabiliteyi veren bir  $\xi$  aralığını bulmuşlardır, ancak porozite ve pürüzlülük arttıkça bu minimum değer daha az belirgin hale gelmektedir.

Sawaragi ve ark. (1982) *düz ve geçirimli şevlerde* tırmanma hızlarını ve ivmelerini ölçmüştür. Bu araştırmacılar belirli bir  $\xi$  sayısı için bir maksimum tırmanma hız ve ivmesi belirlemiştir. Aynı durum tırmanma ve geri çekilme içinde tanımlanabilir. Fakat pürüzlü ve geçirgen eğimlerde maksimum tırmanma hız ve ivme için daha az belirgindir ve bu kesin bir

Iribarren sayısına karşılık gelmemektedir. Sawaragi ve ark. (1983) daha sonra rezonans ile ilgili sonuçlarını taş kaplama dalgakıran stabilitesine uygulamışlardır (Losada ve ark., 1986).

Yukarıda belirtilen araştırmacıların yaptıkları çalışmalar sonucunda şu önemli sonuç elde edilmiştir. Stabilite koşullarının minimum olduğu bir surf parametresi (Iribarren) ( $\xi$ ) aralığı vardır, ve bu aralık geçirimsiz düz yüzeyler için dar olmasına rağmen geçirimsiz pürüzlü yüzeyler için daha genişir.

Van der Meer (1988a) yaptığı çalışmalar sonucunda, taş dolgu yüzeyler için kırılan dalgaların tiplerine göre stabilite ifadelerini aşağıdaki gibi elde etmiştir.

Plunging tipi kırılan dalgalar için;

$$\frac{H_s}{\Delta D_{n50}} = \frac{6.2 P^{-0.13} (S / \sqrt{N})^{0.2}}{\sqrt{\xi_m}} \quad (2.18)$$

Surging tipi kırılan dalgalar için;

$$\frac{H_s}{\Delta D_{n50}} = 1.0 P^{0.31} (S / \sqrt{N})^{0.2} \sqrt{\cot \alpha} \xi_m^P \quad (2.19)$$

burada;

$H_s$ : belirgin dalga yüksekliği,

$\Delta$ : rölatif özgül kütle,

$D_{n50}$ : % 50'sinin geçtiği elek çapı nominal çapı olan değer,

$P$ : porozite,

$S$ : hasar,

$N$ : dalga adedi,

$\xi_m$ :  $T_m$  kullanılarak elde edilen surf parametresi

$T_m$ : ortalama periyot,

$\tan \alpha$ : şev eğimi.

## Hasar ifadeleri

Hasar parametresinin bir fonksiyonu olarak yazılabilen Hudson formülü (Van der Meer, 1999):

$$H_s/\Delta D_n = K_D(\cot\alpha)^{1/3} = f(\cot\alpha) \quad (2.20)$$

şeklinde tanımlanmaktadır.

Van der Meer (1988a) hasar parametresini porozite, dalga sayısı, hasar seviyesi ve surf parametresi ile yapı eğimi ve dalga dikliğinin bir fonksiyonu olarak belirlemiştir.

Taş kaplama için Van der Meer (1988 a, b)'de verilen stabilité formülü bağıntısı aşağıdaki gibidir (Van der Meer, 1999):

$$H_s/\Delta D_{n50} = f(\cot\alpha, T_m(\text{veya } \xi_m), N, P, S) \quad (2.21)$$

burada:

$H_s$ : yapı öndeeki belirgin dalga yüksekliği

$\Delta$  : rölatif özgül kütle

$D_{n50}$ : nominal çap (kübik boyutlarda)

$\alpha$ : şev eğimi

$T_m$ : ortalama periyot

$\xi_m$ : surf parametresi

$N$ : dalga adedi

$P$ : porozite

$S$ : hasar (taş için)dır.

Van der Meer (1988a)' in formülünde kullandığı hasar seviyesini birçok araştırmacı kendine göre tanımlamıştır. Örneğin Thompson ve Shuttler (1975) hasar parametresini,  $N_\Delta$ , aşağıdaki ifadeyle vermişlerdir (Van der Meer 1988 a);

$$N_\Delta = A \rho_b 9 D_{50} / (\rho_s D_{50}^3 \pi / 6) \quad (2.22)$$

burada

$N_\Delta$ : hasar parametresi

$A$ : erozyona uğramış alan

$\rho_b$ : malzemenin eğime yerleştirildiği şekildeki boşluklu yoğunluğu

$\rho_s$ : taşın özgül kütlesi

$D_{50}$ : taşın çapı

Buradaki hasar şevin  $9D_{50}$  genişliğindeki parçasından erozyona uğramış alanın (A), malzemenin dalgakıran şevine serilmiş durumundaki boşluklu yoğunluğu, ( $\rho_b$ ) ile çarpımının,  $D_{50}$  çapındaki küre hacmine oranı ile elde edilen  $D_{50}$  çapındaki taşların sayısıdır (Van der Meer 1988 a).

Taş kaplamadaki hasar hesaplanırken su seviyesi etrafındaki hasar (erozyon) alanı dikkate alınmaktadır. Beton kaplama tabakaları için profil ölçmek olağan değildir. Çok seyrek olarak hasar, blokların güncel sayısına dayandırılır. Bundan dolayı beton bloklardaki hasarı bulmak için başka bir tanımlama ileri sürülmektedir. Hasar rölatif hasar  $N_0$  olarak tanımlanmakta ve bir  $D_n$  nominal çapta yer değiştiren blok sayısı olarak tanımlanmaktadır. Küp için  $D_n$  nominal çap bir kenarının uzunluğu, tetrapod için  $D_n=0.65D$  (burada D bloğun boyudur), Accropode için  $D_n=0.7D$ , Core-Loc için  $D_n=0.7D$  ve dolos için  $D_n=0.54D$ 'dir (Van der Meer, 1999).

Boşluklu yoğunluğu koruyucu tabakanın porozitesini hesaba katmak için kullanılmaktadır. Broderick (1984) boşluklu yoğunlığını hesaptan çıkarıp hasarı, S, erozyona uğramış alanın, taş ağırlığına (çapın medyanı dikkate alınmış),  $W_{50}$ , özgül kütleye,  $\rho_s$ , oranı olarak tanımlamıştır (Van der Meer 1988 a).

$$S = A / (W_{50} / \rho_s)^{2/3} \quad (2.23)$$

Gerçekte hasar, S, doğrudan kullanılan taşın çapı ile ilgilidir. Nominal çap

$$D_{n50} = (W_{50} / \rho_s)^{1/3} \quad (2.24)$$

tanımı verilerek hasar şöyle değiştirilebilir:

$$S = A / D_{n50}^2 \quad (2.25)$$

Burada S' in fiziksel anlamı, erozyona uğramış alana uyan, bir kenarı  $D_{n50}$  olan karelerin adedidir. Başka bir deyişle derinliği  $D_{n50}$  olan A kesit alanına sığabilen kenarının uzunluğu  $D_{n50}$  olan küplerin adedidir (Van der Meer, 1988 a).

Accropode ve Core-Loc için  $D_n=0.7$  h olup, h elemanın yüksekliğidir. Genelde S,  $N_0$ 'ın iki katı kadardır (Van der Meer, 1988 b).

Broderick (1984)'e göre hasarın minimum değeri S=2 olarak elde edilirken Thompson ve Shuttler (1975) 0.5'den daha küçük S değerleri saptamışlardır. Kaplama tabakasının ölçüsüne ve tanımına bağlı olarak Hudson (1959) ve Ahrens (1975) '0 hasar' kriterini S=1-3 arasında kabul etmişlerdir. Broderick (1984) ise sıfır hasar kriterini S=2 olarak almıştır (Van der Meer 1988 a).

Van der Meer'in (1988 a)'de yaptığı çalışması taş kaplama dalgakırınlar içindir. Bu çalışmadan elde ettiği çalışmalar üzerine benzer bir çalışmayı yapay bloklar için yapmıştır. Fakat bu çalışma sadece bir kesit için yapılmış olduğundan yapay elemanlar için geliştirdiği formülde eğim, surf parametresi ve porozite değerleri ihtiva edilmemiştir.

Çoğunlukla  $N_0$  tanımı ile S tanımı karıştırılmaktadır. S tanımının içinde yer değiştirme ve oturma bulunmakta iken porozite ve tabaka sayısı dikkate alınmamaktadır. Genellikle S,  $N_0$ 'ın iki katı kadardır.  $N_0$ 'ın kolaylıkla hasar yüzdesiyle ilişkisi kurulabilir. Bir kesitteki blok sayısı ve  $D_n$  bilinirse; hasar yüzdesi basitçe  $N_0$ 'ın ve bu sayının oranıdır.  $N_0$  güncel (actuel) hasarı vermektedir. Bundan dolayı değişik kesitlerdeki benzer hasarlar değişik hasar yüzdeleri vermektedir (Van der Meer, 1999).

Bunu bir örnekle gösterecek olursak;

$D_n = 1.84\text{m}$ , 100m uzunluğunda ve 15 ton ağırlığındaki küp bloklardan oluşan bir dalgakırını gözönüne alırsak;

Hasar $N_0$	100m'ye düşen adet blok sayısı
0.2	11 adet
0.5	27 adet
1.0	54 adet
2.0	109 adet

Eğer bir nominal çap genişliğinde ve 20 adet blok bulunan bir kesit seçilirse  $N_0=0.5$  bize  $0.5/20*100\% = 2.5\%$  hasarı vermektedir. 40 blok bulunan daha uzun bir kesit seçilmesi halinde hasar sadece 1.25% olmaktadır (Van der Meer, 1999).

Sadece bir şev eğimi araştırılmışından dolayı, periyodun etkisi  $\xi_m$ 'e bağlı bir formül olarak verilememektedir. Çünkü bu parametre hem periyoda (dalga dikliğine) hem de şev açısına bağlıdır. Dolayısı ile periyodun etkisi dalga dikliğine bağlı olarak verilebilmektedir (Van der Meer, 1999):

$$s_z = 2\pi H_s / (g T_p^2) \quad (2.26)$$

Beton blokların genel stabilité formülü;  $N_0$  rölatif hasar,  $N$  dalga sayısını,  $s_z$  dalga dikliğini kapsamaktadır ve:

$$H_s / \Delta D_n = f(s_z, N, N_0)$$

olarak gösterilebilmektedir.

Kilitlenme özelliğine sahip tetrapod ve küp gibi yapay elemanlarla oluşturulan dalgakırınlar genelde 1:1.5 gibi dik eğimlerde uygulandıklarından Van der Meer (1988)'de bu eğimi kullanmıştır. Accropode için ise deneylerde 1:1.33 eğim kullanılmıştır.

Van der Meer (1988, b) bütün deneylerde 1:30 deniz taban eğimi kullanmıştır. Dalgalar 0.90 m su derinliğinde üretilmiş ve yapı ise su derinliğinin 0.40 m olduğu yerde oluşturulmuştur. Kaya dolgu yapılar için hasar,  $S$ , erozyona uğramış alanın nominal çapa oranı olarak ifade edilmiştir. Yapay bloklar için hasar genelde bir çap mesafesinden daha fazla yer değiştirmiş elemanların sayısı olarak ifade edilmiştir. Bu hasar ifadesi yüzde olarak belirtilmesine rağmen kaplama tabakasındaki toplam blok sayısı ve eğime bağlı olduğundan başka çalışmalarla kıyaslanması son derece güçtür. Bu yüzden yapay bloklar için başka bir hasar ifadesi önerilmiştir. Bu tip hasar, rölatif hasar, olarak tanımlanmıştır. Rölatif hasar,  $N_0$ , bir nominal çap genişliğindeki bölgeden ayrılmış olan (boyuna eksen boyunca) blokların sayısı ile ifade edilmiştir.

Van de Meer (1988, b) küp bloklar için  $N_0$  rölatif hasar,  $N$  dalga sayısı ve  $s_z$  dalga dikliğine bağlı olarak stabiliteyi aşağıdaki gibi ifade etmiştir

$$\frac{H_s}{\Delta D_n} = (6.7 N_0^{0.4} / N^{0.3} + 1.0) s_z^{-0.1} \quad (2.27)$$

Tetrapod için;

$$\frac{H_s}{\Delta D_n} = (3.75 N_0^{0.5} / N^{0.25} + 0.85) s_z^{-0.2} \quad (2.28)$$

Accropode için;

$$N_0=0 \text{ hasar başlangıcında } H_s/\Delta D_n=3.7 \quad (2.29)$$

$$N_0>0.5 \text{ hasarda } H_s/\Delta D_n=4.1 \quad (2.30)$$

ifadelerini vermiştir.

Sıfır hasar için  $N_0=0$ , (2.27) ve (2.28) denklemleri aşağıdaki denklemlere dönüşür (Van der Meer, 1999):

$$\frac{H_s}{\Delta D_n} = 1.0 s_z^{-0.1} \quad (2.31)$$

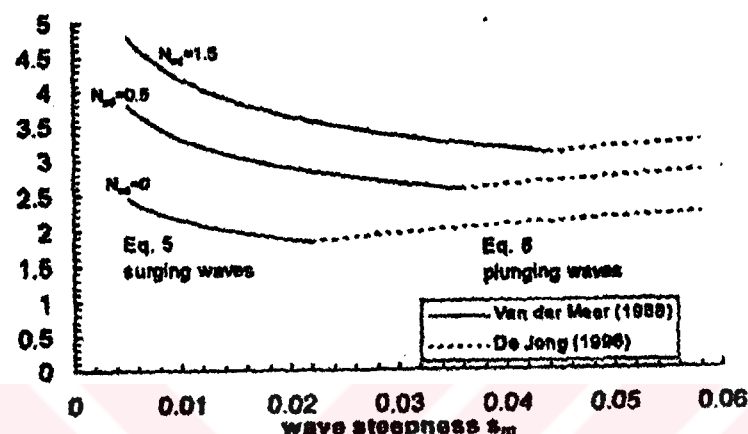
$$\frac{H_s}{\Delta D_n} = 0.85 s_z^{-0.2} \quad (2.32)$$

Sıfır hasar kriteri sağlanması zor bir kriterdir ve bu kriterde göre tasarlanan koruma tabakalarında fazla sayıda blok kullanılması gerekmektedir. Taş bloklarda hasarın başlangıcında bazı oturmalar ve ufak çapta yer değiştirmeler gözlenmektedir  $N_0=0.5$  için benzer bir durum bulunmaktadır ve bu durum sıfır hasar durumuna göre daha ekonomiktir (Van der Meer, 1999).

(2.27) ve (2.28) denklemlerinden dalga dikliği arttığında stabilitenin azaldığı görülmektedir. Taş kaplama için plunging bölgesinde de benzeri durum görülmektedir. Kullanılan dik şevden dolayı, plunging dalgasına geçiş bulunmamaktadır. De Jong (1996) Delft hidrolik laboratuvarlarında tetrapod dalgakırınları üzerine deneyler yapmış ve taşinkine benzer bir geçiş olduğunu bulmuştur. De Jong (1996)'un plunging dalgalar için bulduğu ifade (2.27) denklemiyle birlikte düşünüldüğünde (Van der Meer, 1999):

$$\frac{H_s}{\Delta D_n} = \left( 8.6 \left( \frac{N_0}{\sqrt{N}} \right)^{0.5} + 3.94 \right) s_z^{0.2} \quad (2.33)$$

denklemi elde edilmektedir. Bu denklem sadece surging dalgaları için kullanılabilmektedir. Şekil 2.8'de (2.27) ve (2.33) denklemlerinin değişimi  $N_0$ 'ın üç değişik hasar seviyesi için görülmektedir. Küp için de benzeri bir geçiş bulunması mümkündür. Bununla beraber bu görüş üzerinde veri bulunmamaktadır (Van der Meer, 1999).



Şekil 2.8 Tetrapod için stabilité formülü (Van der Meer, 1999)

### Kret yüksekliğinin etkisi

De Jong (1996) aynı zamanda kret yüksekliğinin ve sıkılığın tetrapod'un stabilitesi üzerindeki etkilerini de araştırmıştır. (2.27) ve (2.33) denklemleri hemen hemen yapıdan aşma olmaması (Aşmanın %15'den az olması) durumunu dikkate almaktadır. Kret yüksekliği düşünce stabilité artmaktadır. De Jong (1996) (2.27) ve (2.33) denklemlerini bir  $f(R_e/D_n)$  katsayısı ile çarparak daha düşük ve güvenli bir kret yüksekliği elde edilebileceğini bulmuştur.  $R_e$  kret hava payı olarak tanımlanmaktadır. Böylelikle kret yüksekliği sakin su seviyesinin altında ve üzerinde kalan nominal çap sayısı ile tanımlanabilmektedir. Bu bilgiler ışığında tetrapod için stabilité formülü aşağıdaki şekli almaktadır (Van der Meer, 1999):

Surging için:

$$\frac{H_s}{\Delta D_n} = \left( 3.75 \left( \frac{N_0}{\sqrt{N}} \right)^{0.5} + 0.85 f(\Phi) \right) R_s^{-0.2} f(R_e/D_n) \quad (2.34)$$

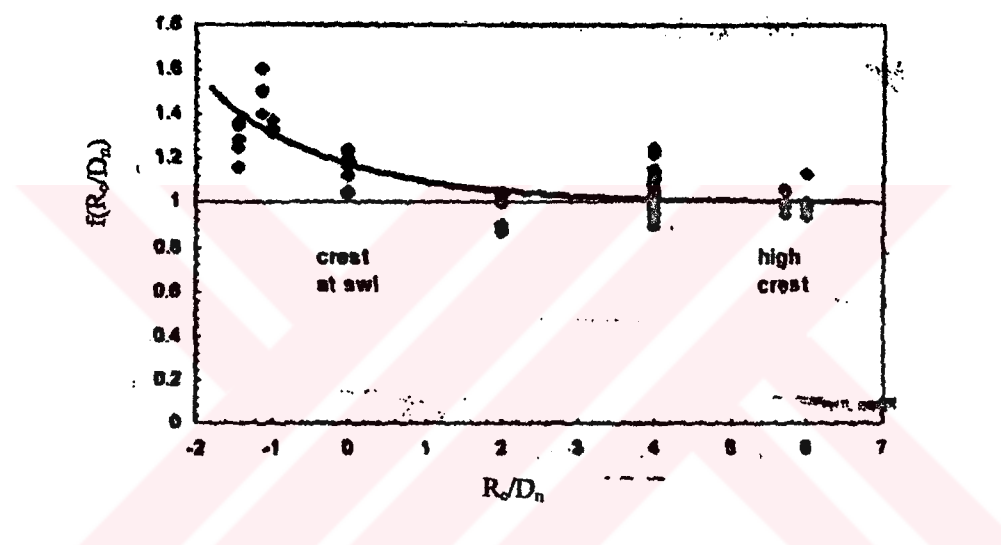
*Plunging için:*

$$\frac{H_s}{\Delta D_n} = \left( 8.6 \left( \frac{N_o}{\sqrt{N}} \right)^{0.5} + 3.94 f(\Phi) \right) s^{0.2} f(R_o/D_n) \quad (2.35)$$

Şekil 2.9'da  $f(R_o/D_n)$  katsayısı kret yüksekliği  $R_o/D_n$ 'nin fonksiyonu olarak görülmektedir. Bu katsayı :

$$f(R_o/D_n) = 1 + 0.17 \exp(-0.61 R_o/D_n) \quad (2.36)$$

şeklinde tanımlanabilmektedir (Van der Meer, 1999).



Şekil 2.9 Kret yüksekliğinin tetrapod'un stabilitesine etkisi (Van der Meer, 1999)

Eğer kret yüksekliği sakin su seviyesinde ise  $R_o/D_n=0$ , ve  $f(R_o/D_n)=1.17$ 'dir. Bu da demektir ki *stabilité sayısı* 1.17 katsayısı kadar artırılmaktadır veya nominal çap  $1/1.17=0.85$  kadar düşürülmektedir. Gerekli ağırlık için bu katsayı  $0.85^3=0.62$ 'dir. Van der Meer (1993) tarafından taş için benzer katsayılar bulunmuştur. Nominal çap için bu katsayı 1.25 ve ağırlık için 0.51'dir (Van der Meer, 1999).

#### Sıklığın etkisi

*Sıklık:* en basit şekilde her nominal çap kareye yerleştirilen blok sayısı olarak tanımlanmaktadır (Van der Meer, 1999):

$$\frac{N_o}{A} = \frac{\Phi}{D_n^2} \quad (2.37)$$

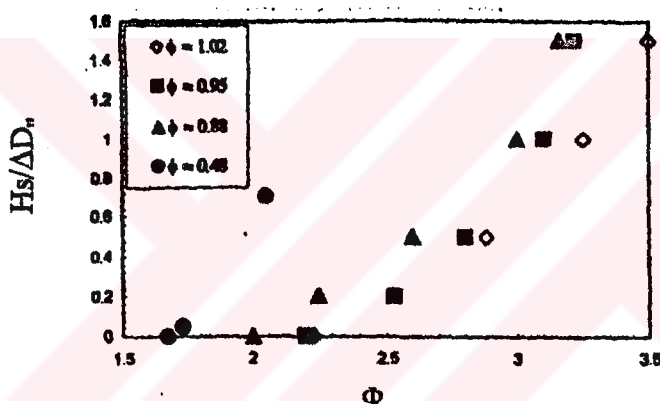
burada

$N_a$ : blok sayısı

$A$ : kaplama alanı

$\Phi$ : sıkılık katsayısıdır.

Sıkılık katsayıları CERC (1984) tarafından verilmiştir. Deneylerde kullanılan sıkılık katsayısı  $\Phi=1.02$ 'ye kadardır. Düşük sıkılık katsayıları  $\Phi=0.95$  ve  $\Phi=0.88$  sıkılığın etkisini araştırmak için kullanılmaktadır. CERC (1984) tarafından tetrapod için  $\Phi=1.04$  ve küp için  $\Phi=1.17$  olarak verilmektedir. Şekil 2.10'da görüldüğü gibi; düşük sıkılık katsayısı düşük stabiliteye neden olmaktadır. Hasar seviyesi stabilite sayısının bir fonksiyonu olarak verilmektedir. Dalga dikliği bütün deneylerde aynıdır. Van der Meer (1988c)'e göre her nokta bağımsız bir deneydir (Van der Meer ,1999).

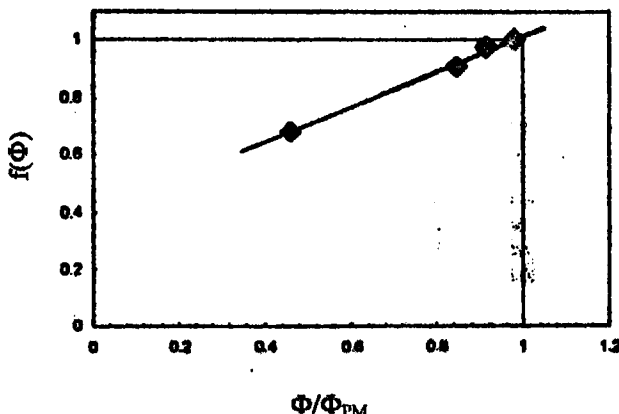


Şekil 2.10 Çeşitli sıkılık katsayıları için tetrapod'un stabilitesi (Van der Meer , 1999)

D'Angremond ve arkadaşları (1999) tek tabakalı bloklar üzerinde yaptıkları deneyler sonucu Şekil 2.10'a üç nokta eklemiştir. Kullanılan bu blokların bir tanesi de tetrapod'dur. Bu deneyler tek tabaka halinde kullanılan tetrapod blokların o kadar da stabil olmadığını göstermiştir. Stabilite sonuçları şekil 2.10'da gösterilmiştir. Sıkılık katsayısı sadece  $\Phi=0.48$ 'dir. Bununla beraber, bu deney sonuçları sıkılığın ve sıkılık katsayısının stabilité üzerindeki etkisi hakkında fikir elde etmek için faydalı olmaktadır (Van der Meer , 1999).

Şekil 2.10'daki noktalardan geçirilen eğriler az ya da çok birbirleriyle aynıdır. Sıkılığı tarif etmek için hasar olmama durumu  $N_0=0$ 'a yapılacak ortalama kaydırma dikkate alınmaktadır. Denklem (2.34) ve (2.35)'daki  $f(\Phi)$ 'nin önündeki 0.85 ve 3.94 katsayılarının sebebi bundan dolayı olduğu bilinmektedir. Sonuç olarak; CERC (1984) tarafından verilen sıkılık katsayıları:  $\Phi_{SPM}$  referans olarak alınmaktadır. Gerçek sıkılık katsayısı  $\Phi/\Phi_{SPM}$  olarak tariflenmektedir.

Bu da CERC (1984)'deki sıkılık katsayıları kullanıldığında birimi vermektedir (Van der Meer , 1999).



Şekil 2.11 Sıkılık katsayısının tetrapodların stabilitesine etkisi (Van der Meer , 1999).

Şekil 2.11 sonuçları göstermektedir.  $f(\Phi)$  katsayısı  $\Phi/\Phi_{SPM}$ 'in fonksiyonu olarak verilmektedir. Tetrapod için yapılan deney sonuçları da dahil olmak üzere düz bir çizgi sonuçların sadece yorumu olmaktadır. Sıkılık katsayısının stabiliteye etkisi aşağıdaki denklemlle tariflenebilmektedir (Van der Meer , 1999).

$$f(\Phi)=0.40+0.61\Phi/\Phi_{SPM} \quad (2.38)$$

Özetlenirse; (2.34), (2.35) denklemleri (2.36) ve (2.38) denklemleriyle birleştirildiğinde kret yüksekliği ve sıkılık katsayısının tek tabaklı tetrapod'un stabilitesi üzerindeki etkisini vermektedir (Van der Meer , 1999).

(2.36) ve (2.38) denklemlerinin küp'ün stabilité formülü olan (2.24) denklemi üzerinde uygulanması mümkün olabilir, ancak bunu ispatlamak için daha fazla araştırma yapılması gerekmektedir. Bu denklemler kret yüksekliği ve sıkılık katsayısının stabilité üzerindeki etkisi hakkında bir fikir edinme için denklem (2.18)'e uygulanırsa

$$\frac{H_s}{\Delta D_n} = \left( 6.7 \frac{N_0^{0.4}}{N^{0.3}} + 1.0 f(\Phi) \right) S_{0m}^{-0.1} f(R_c / D_n) \quad (2.39)$$

denklemi elde edilmektedir (Van der Meer , 1999).

### Kümülatif hasar

Birbiri ardına firtinaların kümülatif etkisini dikkate alırken yukarıda tariflenen her bir deney için eğim her deneyden sonra yeniden düzenlenmektedir. Farklı dalga yükseklikleri için kümülatif hasar ölçülmemiştir. Pratikte dalga havuzunda dalgakıran gibi bir yapı çok seyrek olarak artan dalga yükseklikleriyle deneye tabi tutulmuştur. Belli bir dalga yüksekliğinde hasar başlarsa, bir sonraki deney hasarı artırmaktadır (Van der Meer , 1999).

Van der Meer (1999) kümülatif hasarın ölçülmesinde aşağıdaki işlemin kullanılabileceğini belirtmiştir:

- İlk dalga koşulları için hasar ölçülür.
- İkinci dalga koşulları için hasar ölçülür ve birinci dalga tarafından oluşan hasarın aynısının oluşması için gerekli gerekli dalga sayısı bulunur.
- Bu dalgaların sayısı ikinci dalga koşulu altındaki dalga sayısına eklenir.
- Arttırılmış dalga sayısı ile ikinci dalga koşulu altındaki hasar ölçülür.
- Üçüncü dalga koşulları için hasar ölçülür ve ikinci dalga tarafından oluşan hasarın aynısının oluşması için gerekli gerekli dalga sayısı bulunur ve böyle devam eder.

Dalga sayılarının stabilité üzerindeki etkisi basit bir yolla tanımlanmaktadır. Bu formül sadece 700 ila 5000 dalga arasında geçerli olmaktadır. Van der Meer (1988a)'in de taş şev eğimi üzerinde yaptığı deneylerle birlikte bir şekilde bu sayı artırılmıştır yukarıda tanımlanan formülde dalga sayısı  $N=1000-7000$  dalga içindir.  $N=0-1000$  dalga için hasar 0'dan  $N=1000$  dalgada bulunan hasara kadar doğrusal artmaktadır. Ayrıca  $N>7000$  için hasar  $N=7000$  için bulunan hasarla sınırlanmaktadır. Bu işlem yukarıdaki işlem ile birleştirilip kümülatif hasar ölçülmektedir (Van der Meer , 1999).

Gürer (2000)'de tetrapod dalgakıran üzerinde düzenli dalga şartları altında iki farklı tip diziliş için aynı dalga koşullarında  $\cot \alpha=1.5$  şev eğiminde stabilité dencyleri yapmıştır.

Tümer (2001) yine tetrapod dalgakıranların iki farklı tip diziliş için kırılan dalga koşullarında stabilitelerini belirlemiştir.

### **3 ACCROPODE ve CORE-LOC DALGAKIRANLAR**

#### **3.1 Accropode blokların genel özelliklerı**

Accropode kıyı yapıları ve dalgakırınları korumak için özel olarak imal edilmiş donatısız beton bloklarıdır. İlk defa 1981 yılında Sogreah (Fransa) laboratuvarlarında patentli olarak kullanıma açılan Accropode tek tabakada sağladığı sağlamlık ve stabilité ile güvenilir bir koruma yapısı olduğunu ispatlamıştır. Bu blok tipi halen Avrupada yaygın olarak kullanılmaktadır.

İkinci kuşak blokların öncüsü olan Accropode imal etme kolaylığı, depolama ve yerleştirme rahatlığıyla da öne çıkmaktadır. Laboratuvar deneyleriyle de güvenliği test edilmiştir. Bugüne kadar 75'den fazla projede kullanılmıştır.

#### **3.1.1 Avantajları**

Accropode kalite ve maliyet gibi iki etken arasında dengeli bir çözüm sağlamakta ve böylece tasarıma bazı avantajlar kazandırmaktadır(Sogreah, 1998).Bunlar;

- Güvenlik**
- Maliyette tasarruf**
- Geniş tecrübe ve referans**
- Bakım imkanı sağlayan çözümler**

#### **Proje aşamasındaki avantajlar**

- Blokların tek sıra dizilmesi**
- Dizayn dalgası için %0 hasar**
- Çeşitli eğimlere uygunluk**
- Birbirine kilitlenme kabiliyeti**
- Kırılan dalgalar için  $K_D=12$**
- Kırılmayan dalgalar için  $K_D=15$**
- Güvenlik katsayısı birim ağırlık için 1.7**
- Derin deniz uygulamaları için ideal**
- Uluslararası laboratuvarlarda test güvenliği**
- Uluslararası standartlarda kabul edilmesi**

### **İnşaa aşamasındaki avantajlar**

- İmal edilmesi kolay
- Kullanımı rahat
- Depolanması rahat
- Yerleştirilmesi hızlı
- Dayanma gücü yüksek ve sağlam

### **3.1.2 Accropode Blokların Dezavantajları**

- 1-Tek tabaka olmasından dolayı dalga tırmanması yüksek olmaktadır.
- 2-Zamanla oluşan çökme ve yerleşmeden dolayı ayrılmalar meydana gelebilmektedir.
- 3-Dinamik stabiliteye göre projelendirilemez.
- 4-Kullanan beton hacminin %8'i patent ücreti olarak ödendiği için maliyeti artmaktadır.

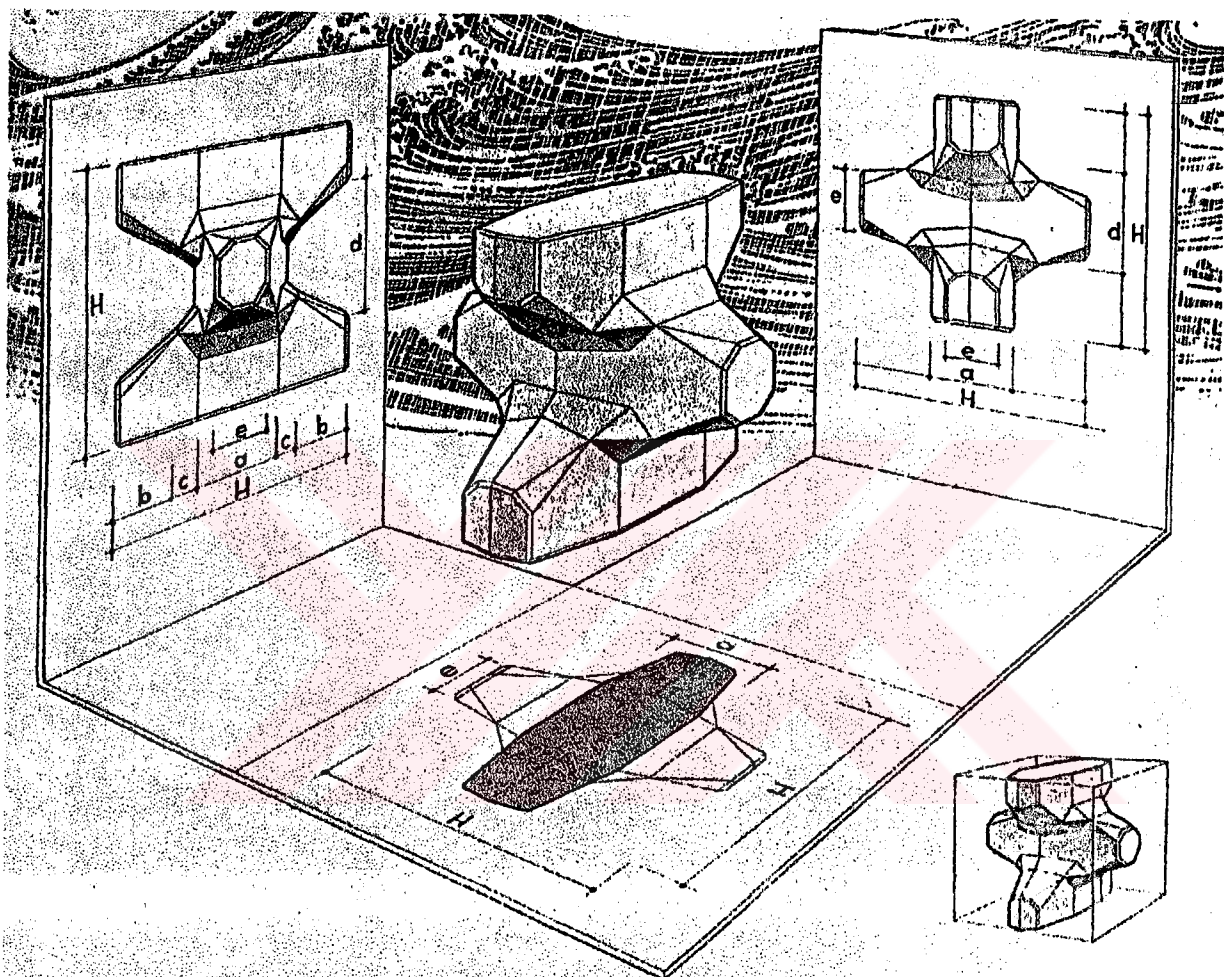
### **3.1.3 Tasarım İçin Ön Hazırlık Evresi**

Accropode'un boyutları ve dalgakıran projesi için gerekli bazı bilgilere ihtiyaç vardır. Bunlar;

- Dalga karakteristikleri ( $H_{max}$ ,  $H_s$ ,  $T$ , Dönüş aralığı)
- Su seviyesi değişimleri
- Üstten aşmanın belirlenmesi
- Beton özgül ağırlığı
- Taş özgül ağırlığı
- Zemin bilgisi, deniz tabanı tipi
- Hidrografik bilgi
- Yerel harita
- Enkesit
- Projenin planı

### 3.1.4 Accropode'nin şekli

Accropode Şekil 3.1'de görülen şekli sayesinde kolay taşınma, kolay üretim gibi bazı avantajlara sahiptir.



Şekil 3.1 Accropode'nin şekli ve geometrisi (Sogreah, 1998)

Çizelge 3.1. Accropode'nin boyalarının H'a göre oranları (Sogreah, 1998)

Boyutlar	a	b	c	d	e	H
Boyutları elde etmek için H ile çarpım değerleri	0.370	0.222	0.093	0.555	0.259	1

### **3.1.5 Accropode İmalatı**

Accropode'un imalat kolaylığı kalıp sisteminin basitliğinden ileri gelmektedir (Sogrehah,1998).

#### **Çimento kalitesi**

Tavsiye edilen çimento içeriği  $300\text{-}350 \text{ kg/m}^3$  tür.

#### **Donatısız beton**

Beton için 28 gün süre gerekli olmaktadır. Basınç mukavemeti de minimum  $29\text{N/mm}^2=29\text{Mpa}$  olmalıdır.

#### **Basit kalıp sistemi**

Tabanda kalıp levhasına gerek yoktur. Malzemeler yukarıdaki geniş boşluktan rahatlıkla doldurulur. Boyuta göre betonun ayırmaması için huni de kullanılabilir. Malzeme dökülürken aynı zamanda dikkatlice vibrasyon yapılmalıdır. Bloklar döküldükleri yerde kalabilir veya depolanacakları yere taşınırlar.

### **3.1.6 Accropode kalıbü**

Şekil 3.2'de görülen kalıp kolay ve hızlı sökülebilmesinin yanısıra

- Taşıma kolaylığı
- Sağlam ve güvenli oluşu
- Bir çok defa kullanmaya uygun oluşu ile yapım aşamasında kolaylık sağlanmaktadır.

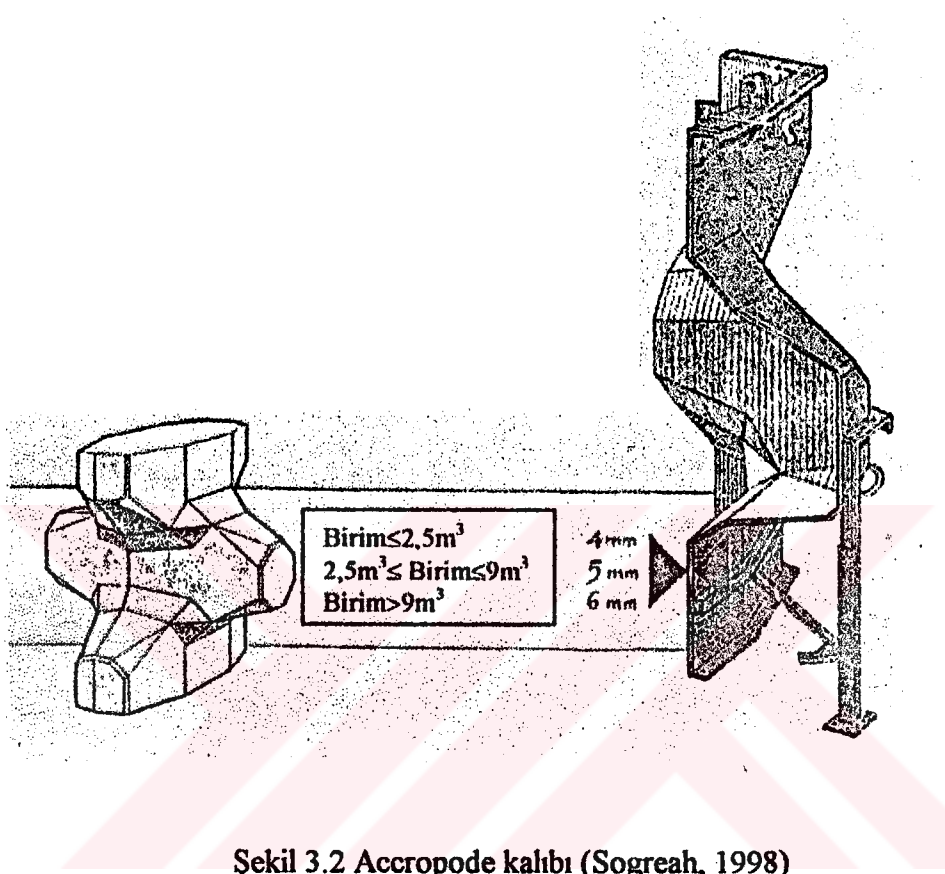
Kalıbü sökmek için bloğun basınç mukavemetinin  $7\text{MPa}$  olması beklenilmelidir. Accropode'un standart serisinde 16 boyda kalıp mevcuttur.

### **3.1.7 Taşıma ve Depolama**

Çoğu inşaat alanı sınırlı alana sahiptir. Accropode depolama alanını en ekonomik kullanacak şekilde yerleştirilebilir. Zemin koşulları uygunsa üstüste istiflenmek suretiyle de depolanabilir. Beton döküldükten sonra blokların taşınabilmesi için basınç mukavemetlerinin  $15\text{MPa}'a$  çıkması beklenmelidir.

Eğer yeterli depolama alanı mevcutsa Accropode bloklar doğrudan yerinde dökülüp, beton dökülen yerde depolanırsa ikinci bir taşıma işini engelleyip zaman ve enerji tasarrufu sağlanabilir.

Accropode şekli itibariyle kolay ve güvenli bir şekilde halat ve vinçler yardımıyla taşınabilmektedir.



Şekil 3.2 Accropode kalıbı (Sogreah, 1998)

### 3.1.8.Yerleştirme

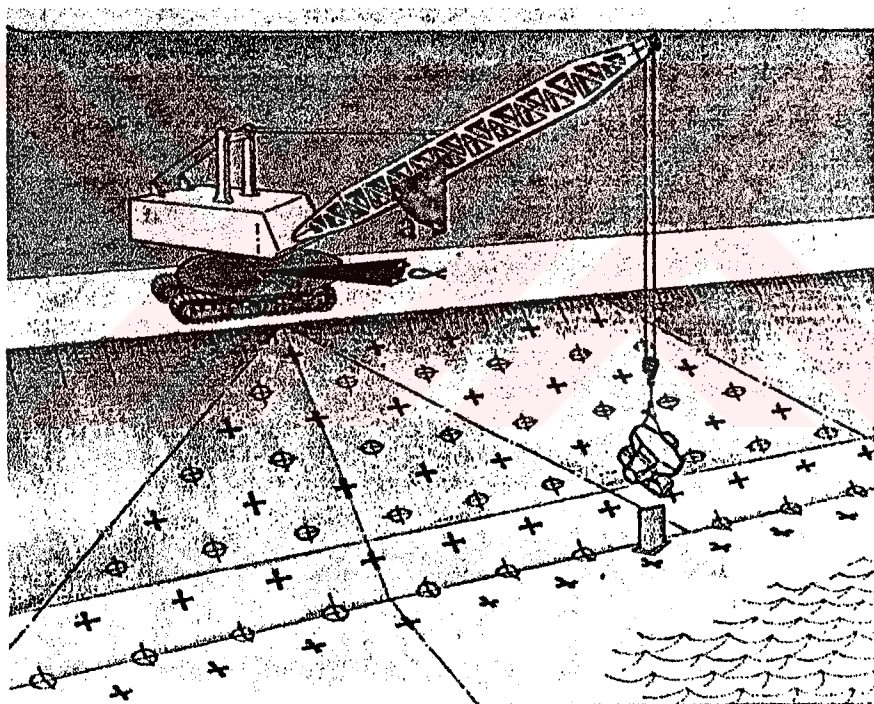
Accropode'ler önceden tayin edilen yerlerine rasgele duruş ile yerleştirilirler. Halatla kolayca taşınması kişisel güvenlik için önem taşır. İpin çıkma olasılığı azdır ve bloklar yerleştirildikten sonra diğer bloklara kolayca kilitlenmektedir. Accropode blokları geçici olarak yerleştirilebilir daha sonra projedeki değişikliklere göre bir çok kez kolaylıkla yer değiştirilebilmektedir. Uzak mesafelere yerleştirilirken güvenlik ve hız için özel bir kanca tavsiye edilmektedir.

### Dalgakırandan Yerleştirme

İnşaatlarda genelde Şekil 3.3'de görüldüğü gibi karadan yüklenen araçlar kullanılır. Bu durumda kutupsal koordinatlarla ilişkili olarak vincin üst yapısının dönüşü blokların yerlerini belirler (Sogreah, 1998).

Yerleştirmedeki doğruluk :

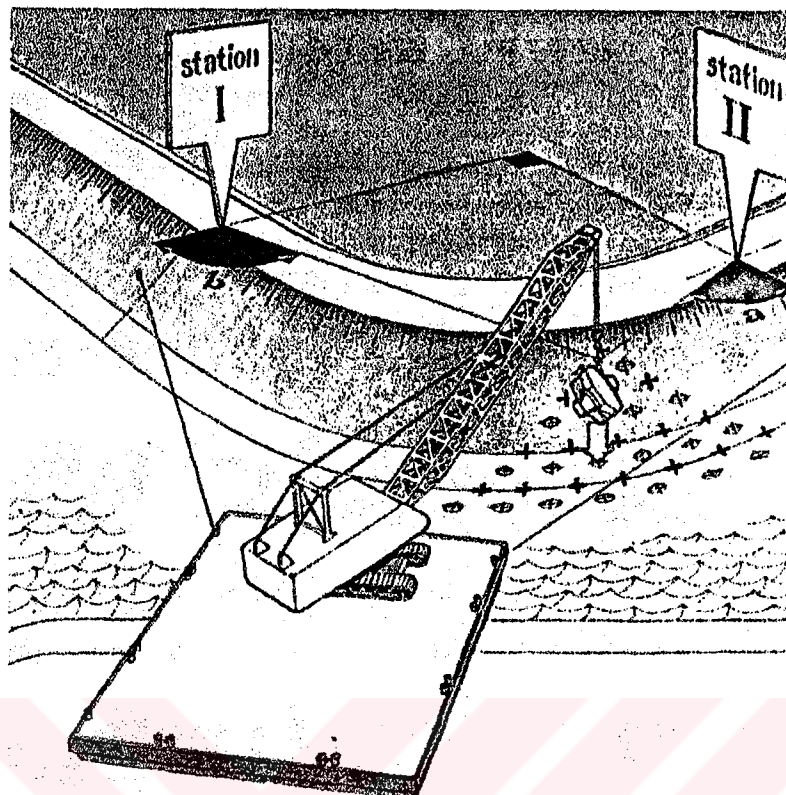
- Koordinat sisteminin doğruluğuna
- Vinç konumunun doğruluğuna
- Vinç platformunun düz oluşuna
- Vincin üst yapı milindeki oynamalara
- Deniz ve rüzgar koşullarına bağlıdır.



Şekil 3.3 Dalgakırandan Accropode yerleştirilmesi (Sogreah, 1998)

### Mavnadan Yerleştirme

Şekil 3.4'de görüldüğü gibi bloklar mavnadan yerleştirilirken yerlerine karar vermek için bloğun asılı olduğu halat veya vincin ucuna göre belirlenen x-y koordinatları ve üçgenlere bölme esası kullanılır.



**Şekil 3.4 Mavnadan Accropode yerleştirilmesi (Sogreah, 1998)**

### 3.1.9 Accropode Blokların Diğer Bloklarla Karşılaştırılması

#### Stabilite Açılarından Karşılaştırma

Şekil 3.5, Şekil 3.6, Şekil 3.7'de küp, tetrapod ve Accropode blokların stabilitesi gösterilmiştir (Van der Meer, 1988b). Bu şekillerde;

$H_s$  : Belirgin dalga yüksekliği (m)

$\Delta$  : Rölatif özgül kütle (-)

$D_n$  : Nominal taş çapı (m)

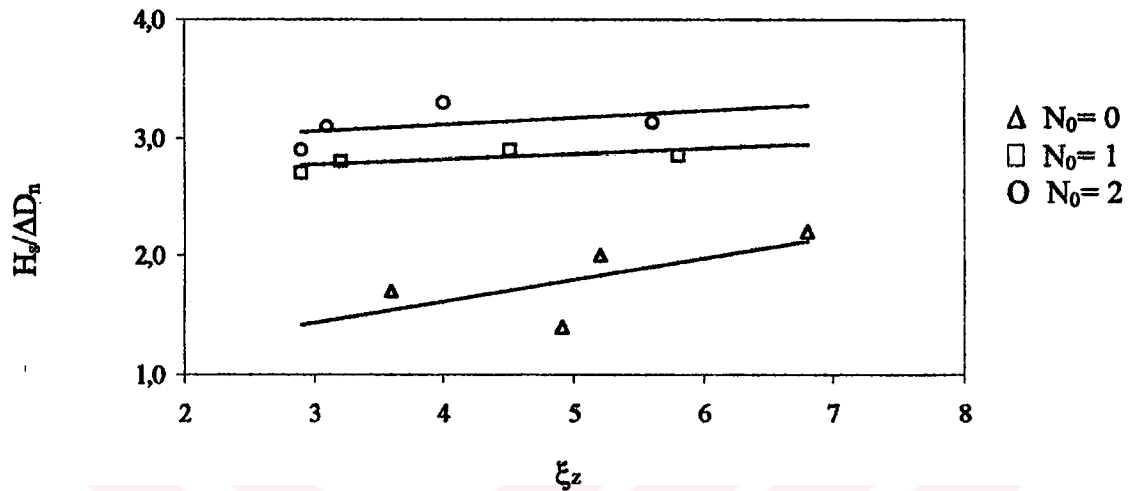
$\xi_z$  : Surf parametresi  $\xi_z = \tan\alpha / \sqrt{s_z}$  (-)

$s_z$  : Dalga dikliği  $= 2\pi H_s / gT^2$  (-)

$T$  : Dalga peryodu (s)

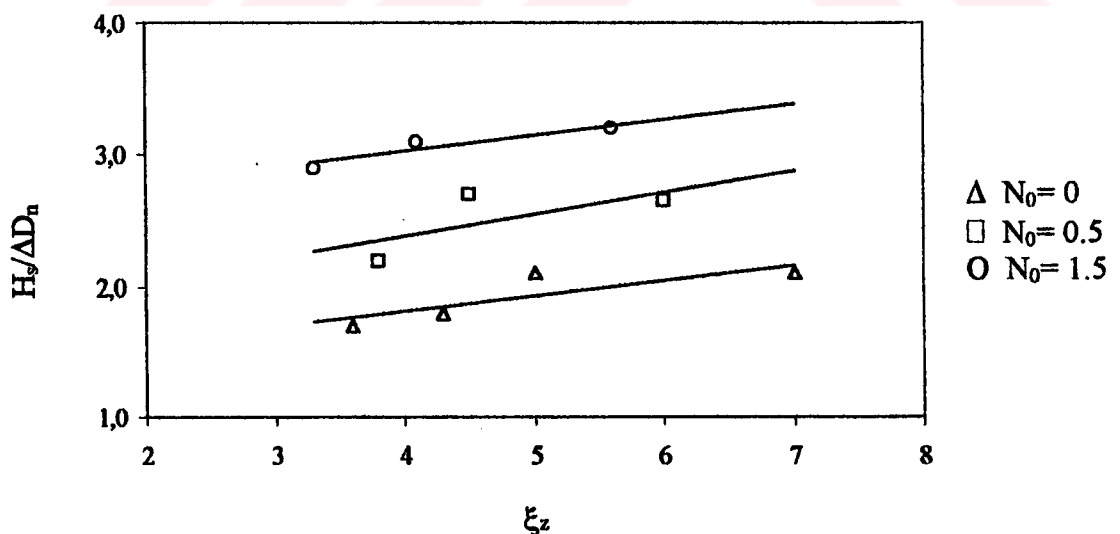
dir. Şekil 3.5'e göre  $N_0=0$  sıfır hasar için fırtına süresinin etkisi ihmali edilebilecek mertebededir. Eğer 1000 dalga herhangi bir bloğun yerini değiştirmemişse sonraki 1000 ve 2000 dalgada da bloklar yer değiştirememektedir. Bir miktar hasar gözleendiğinde ise, bu hasarın fırtına süresinin fonksiyonu olmaktadır.

Şekil 3.5 dalga periyodunun da stabilité üzerinde etkisi olduğunu göstermektedir. Büyük dalga periyotlarında (büyük  $\xi_z$  değerlerinde) eğime bağlı olarak artmaktadır.



Şekil 3.5 Küp blokların stabilitesi ( $N=3000 \cot \alpha=1.5$ )

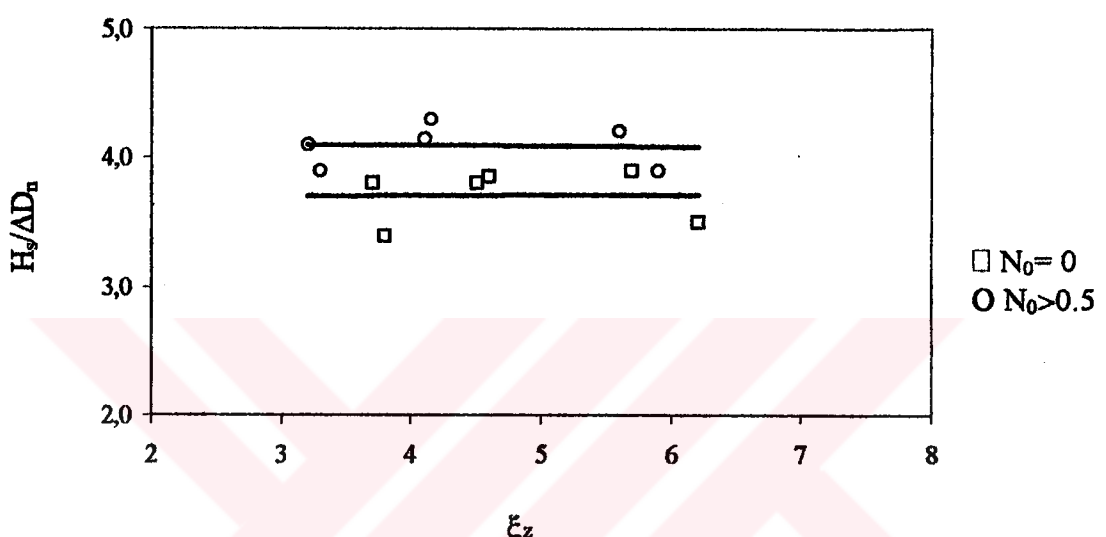
Şekil 3.6 Tetrapod için  $H_s/\Delta D_n$  grafiği görülmektedir. Dalga periyodunun etkisi küp'e göre daha fazladır. Fırtına süresi için küp'e benzer sonuçlar elde edilmiştir.



Şekil 3.6 Tetrapod blokların stabilitesi ( $N=3000 \cot \alpha=1.5$ )

Şekil 3.7'de Accropode için hasar olmayan durum ( $N_0=0$ ) ve hasar ( $N_0>0.5$ ) olduğu hal görülmektedir. Eğriler görüldüğü gibi yatay şekildedirler yani fırtına süresi ve dalga

periyodunun etkisi belirlenmemiştir. Ayrıca hasarın başlangıcı için Accropode'nin stabilité küp ve tetrapoda göre çok yüksektir. Bu dik eğimlerde ( $\cot \alpha=4/3$ ) düşük dalgalarda oturmaya sebep olmaktadır. Hasarın başlangıcıyla ( $N_0=0$ ), hasar ( $N_0>0.5$ ) birbirine çok yakındır. Bunun anlamı Accropode'nin başlangıç stabilitesinin çok yüksek olduğu ancak hasar başladığında tam hasara çok hızlı ulaşmaktadır. Bu nedenle hasar başlangıcı tasarım değeri olarak kullanılmamalıdır.



Şekil 3.7 Accropode Blokların Stabilitesi ( $N=3000 \cot \alpha=1.33$ )

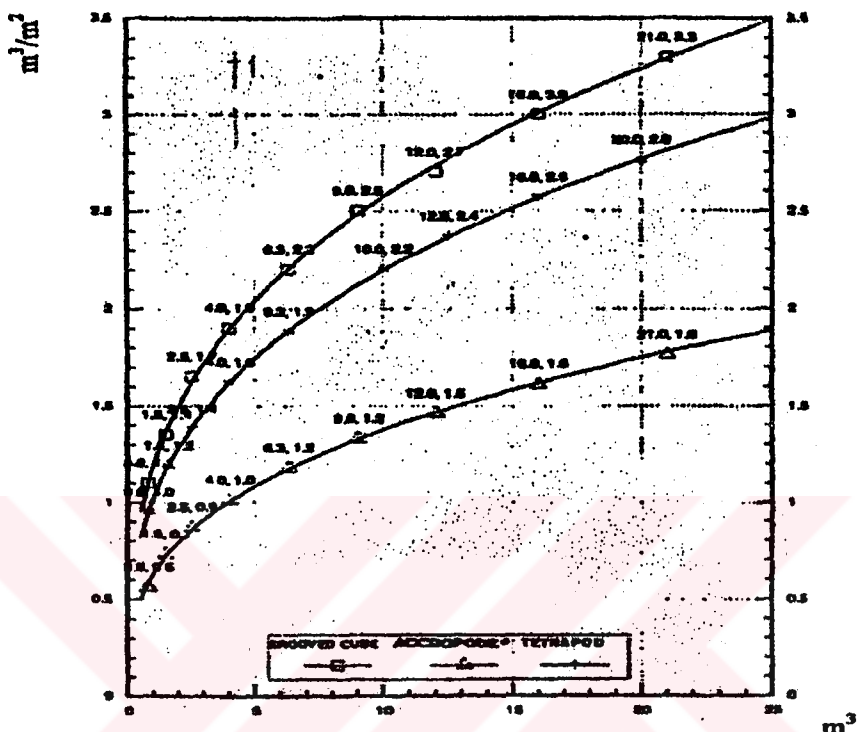
Çizelge 3.2'de bazı kaplama bloklarının stabiliteleri açısından önemli özellikleri gösterilmiştir.

Çizelge 3.2 Bazı blokların özelliklerinin karşılaştırılması (Sogreah, 1998)

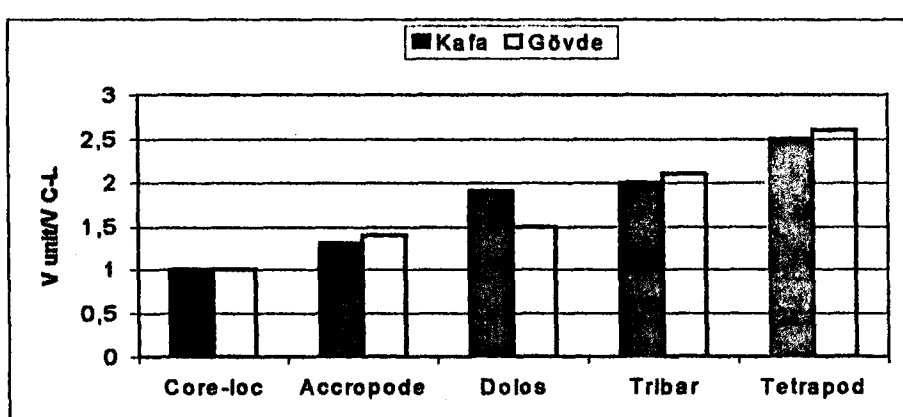
Blok	ACCROPODE	TETRAPOD	DOLOS	ANTİFER KÜP
Tabaka sayısı	1	2	2	2
Eğim	4/3	3/2	2/1	3/2
Porozite %	52	50	56	45
K <sub>D</sub> (Kırılan dalga)	12	7	15.6/2	9
Hasar %	0	5	5	5
Kaplama beton hacmi	Eğim üzerinde $m^2$ 'ye düşen beton hacmi 0.2H <sub>S</sub>	0.35H <sub>S</sub>	0.25H <sub>S</sub>	0.38H <sub>S</sub>
	Kaplama betonunun rölatif miktarı 1.0	1.9	1.5	2.0

### Hacim Açılarından Karşılaştırma

Şekil 3.8 ve Şekil 3.9'dan Accropode bloklarda kullanılan beton hacminin iki tabakalı yapay bloklara göre çok daha az olduğu görülmektedir.



Şekil 3.8 Hacim Bakımından Karşılaştırma (Sogreah, 1998)



Şekil 3.9 Kafa ve Gövde Açılarından Hacimsel Karşılaştırma (CERC, 1998)

## K<sub>D</sub> Katsayılarına Göre Karşılaştırma

Çizelge 3.3.Blokların K<sub>D</sub> Sayılarına Göre Karşılaştırma Tablosu (CERC, 1998)

Blok	Eğim cotα	Φ	Kırılan Dalga Şartı	
			K <sub>D</sub> (Kafa)	K <sub>D</sub> (Gövde)
Core-Loc	1.5	0.580	13	16
Core-Loc	2	0.580	13	16
Tribar	2	0.599	7	12
Tribar	5	0.499	7.5	12
Tribar	1.5	0.938	8.3	9
Tribar	2	0.938	7.8	9
Tribar	3	0.938	6	9
Dolos	1.5	0.827	7	16
Dolos	2	0.827	8	15.8
Dolos	3	0.827	7	16
Accropode	1.5	0.650	10	10
Accropode	2	0.650	10	10
Tetrapod	1.5	1.040	5	7
Tetrapod	2	1.040	4.5	7
Tetrapod	3	1.040	3.5	7
Taş	2	1.260	1.6	2
Taş	3	1.260	1.3	2

Çizelge 3.3'de tanımlanan sıkılık (packing density) katsayısı ( $\Phi$ ) blokların kilitlenmesini tanımlamaktadır, yani dalgakırın yüzeyinin kaplanması için gerekli blok sayısıdır. O halde blok sayısı (CERC, 1998)

$$\frac{N_a}{A} = nk_{\Delta}(1 - P/100)(\gamma_a/W_a)^{2/3} \quad (3.1)$$

veya

$$\frac{N_a}{A} = \Phi V^{-2/3} \quad (3.2)$$

dir .Burada

$N_a$ :blok sayısı

A: kaplama alanı

$\Phi$ : sıklık katsayısı

V:Herbir bloğun hacmi

P: kaplama tabakasının porozitesidir.

### 3.2 Core-Loc blokların genel özellikleri

Core-Loc bloğu, bu özel blok üzerinde yapılan geniş kapsamlı çalışmaları takiben Amerika Birleşik Devletleri tarafından 1996 da tanıtılmıştır. Tek tabakadan oluşan bu koruma sistemi var olan teknolojinin en iyi özelliklerinden yararlanırken; önceki sistemlerin kritik özelliklerini en uygun hale getirmektedir (CERC, 1998).

Core-Loc bloğunun Soreagh laboratuarları tarafından geliştirilen Accropode ile şeiksel ve davranışsal bir çok benzerlikleri vardır. Bu nedenle Core-Loc'u Accropode'nin geliştirilmiş bir sürümü olarak kabul edilmektedir.

Bu kabulle dünya üzerinde birçok başarılı uygulaması bulunan, kısa bir maziye sahip Accropode sayesinde, Accropode'nin geliştirilmiş bir sürümü olan Core-Loc hakkında bir ön bilgi edinilmektedir.

#### 3.2.1 Core-Loc Bloklarının Performanslarının Karşılaştırması:

Aşağıda Core-Loc'u özellikleri bakımından diğer bloklarla karşılaştırılması özetlenmiştir (CERC, 1998).

- Yapılan yüzlerce model deneyi ve hakkında çıkan yazılar Core-Loc'un son derece zorlu dalga koşullarında Accropode'ye göre yerinden oynamaya karşı daha fazla bir güvenlik faktörüne sahip olduğunu göstermektedir.

- Core-Loc, yükleme altında Accropode'ye göre daha düşük bir iç direnç göstermektedir. Bu da kırılma riskini artırmaktadır.
- Core-Loc, dünyada kıyı mühendisliğinde kendini kanıtlamış bir kuruluş olan US Corps of Engineers tarafından desteklenmektedir. Bu destek müteahhide inşaat aşamasında da öneriler yönüyle devam etmektedir. Buna karşın Accropode'nin özel girişim ürünü olduğu belirtilmektedir.
- Core-Loc ABD hükümeti tarafından liman projelerinde kullanılmak üzere önerilmektedir.

Yapısal geometri bakımından üstün özellikler gösteren Core-Loc, yüksek porozitesi ve pürüzlülüğüyle, aynı dalgakıran dış geometrisinde diğer bloklara göre iyi bir performans sağladığı belirtilmektedir (CERC, 1998).

### **3.2.2 Core-Loc Bloklarının Ekonomik Açıdan Karşılaştırması**

Koruma bloklarının 40 yıllık geçmişinde, araştırmaların amacı performansları artırarak blokların maliyetini azaltma yönündedir. Eğer dalgakıran görevini başarıyla yerine getirir, dalga etkisi karşısında stabil kalır, liman içi çalkantıyı azaltırsa bu en az maliyetli yapı için iyi bir seçimdir demektir. Bu sistem genellikle hacim olarak en az betona sahip olandır ve en kolay inşa edilendir. Hacimsel olarak diğer bloklarla karşılaştırıldığında;

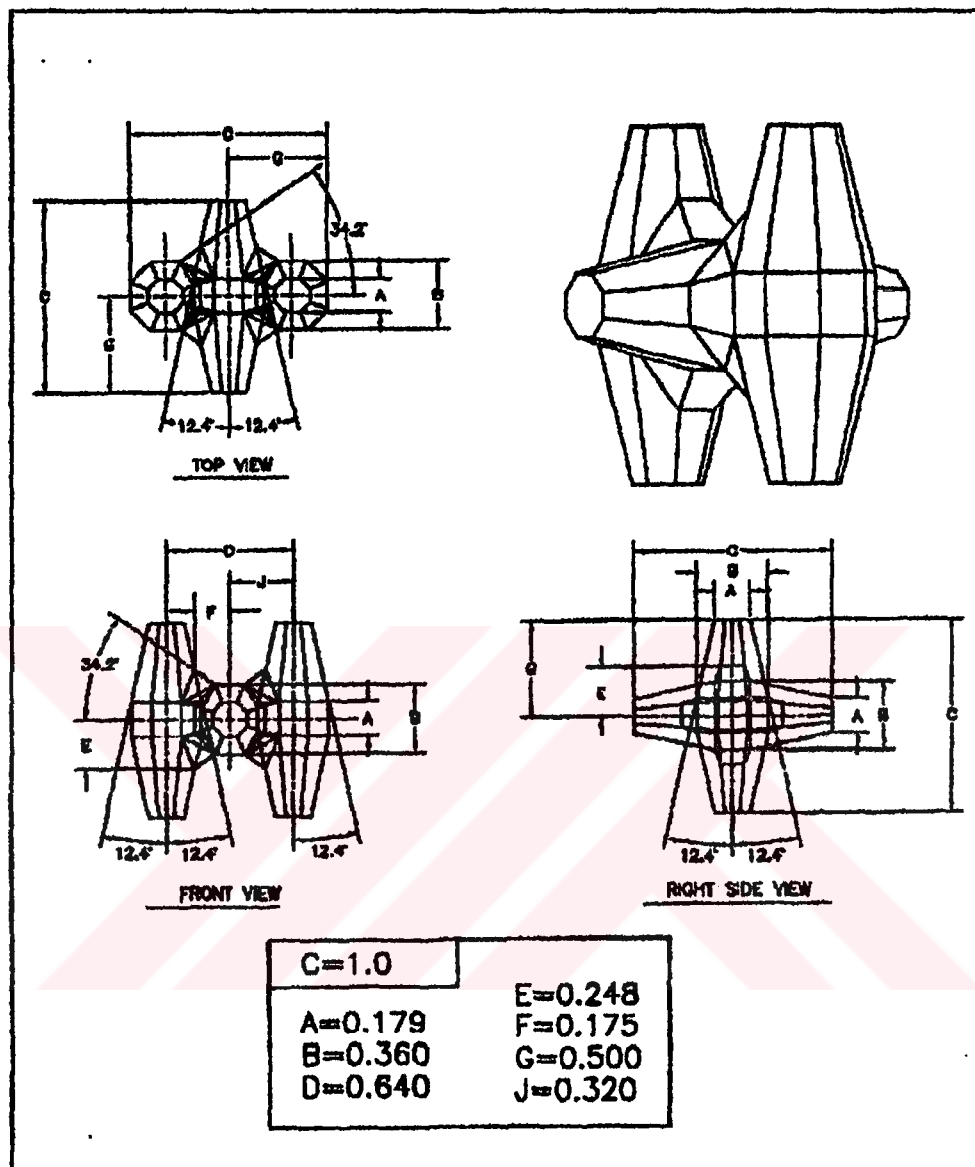
- Accropode sistemi Core-Loc'a göre % 15 – 17 arası daha fazla betona ihtiyaç duymaktadır.
- Core-Loc yüksek üretim ve döküm verimliliği için tasarlanmıştır. Bu özellik düşük maliyet anlamına gelir ve zaman kazandırdığından proje verimini artırmaktadır.

### **3.2.3 Core-Loc Geometrisi**

Core-Loc'un en dıştaki ölçüsü C olarak tanımlanırsa bloğun hacmi

$$V_{CL} = 0,2236 C^3 \quad (3.3)$$

olarak verilmiştir (CERC, 1998). Bu tanımlamaya göre diğer ölçüler Şekil 3.10'da gösterilmiştir.

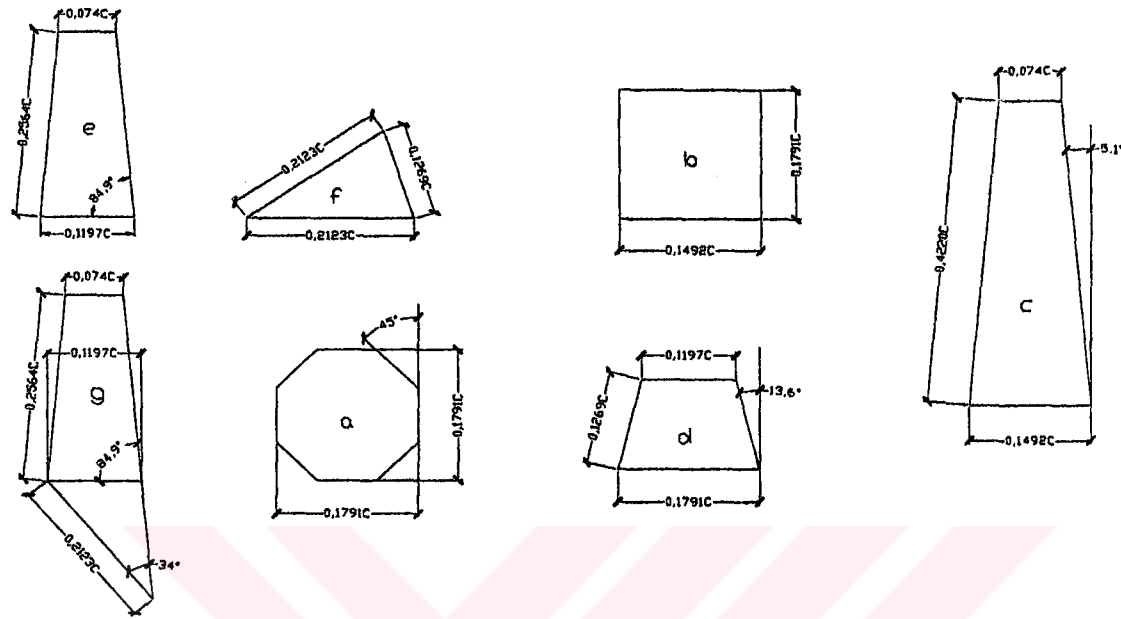


Şekil 3.10 Core- Loc'un geometrik özellikleri (CERC, 1998)

Diğer önemli bir geometrik parametre de blok alanıdır., Core-Loc'u oluşturan yüzeylerin alanları ve bunların C'ye bağlı ölçülerini Şekil 3.11 ve Şekil 3.12'de verilmiştir. Core-Loc'un toplam alan ifadesini veren C' ye bağlı denklem ise

$$S_{CL} = 2,7 C^2 \quad (3.4)$$

olarak yazılabilir (CERC, 1998).



Şekil 3.11 Core-Loc'un boyutları (CERC, 1998).

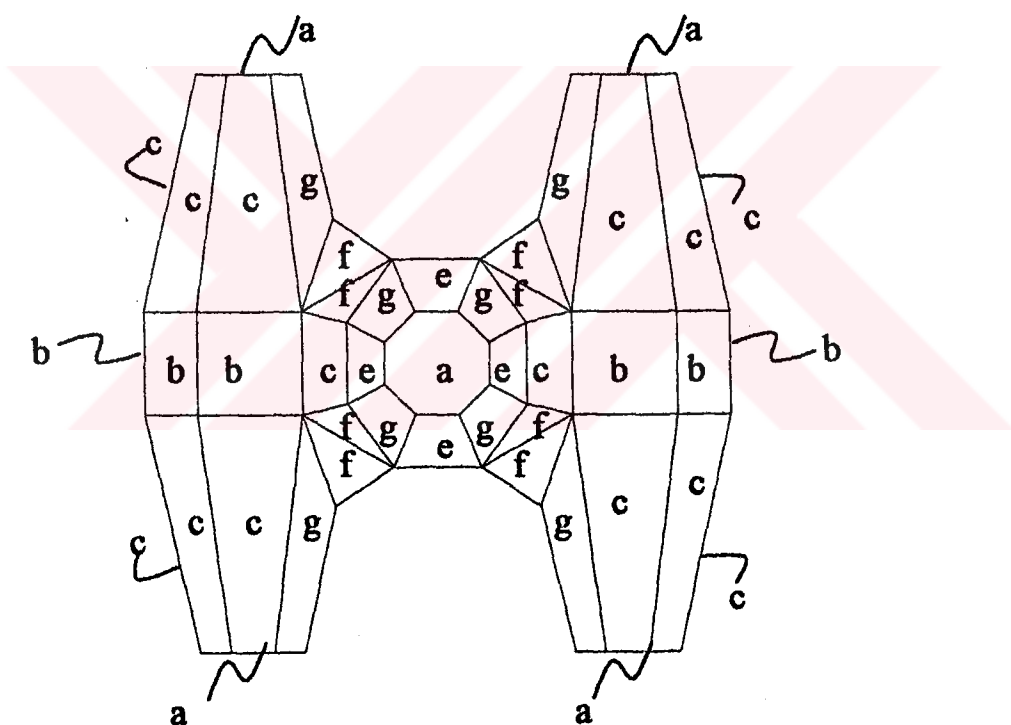
Core-Loc'un toplam alanını onu oluşturan yüzeyler cinsinden yazmak istersek

$$S_{CL} = 6(a) + 12(b) + 24(c) + 8(d) + 8(e) + 16(f) + 16(g) \quad (3.5)$$

şeklinde yazılabilir. Aynı zamanda Core-Loc'u oluşturan yüzeylerin alanlarının C cinsinden ifadesi ise Çizelge 3.4'de sunulmuştur.

Çizelge 3.4 Core-Loc yüzey alanlarının C cinsinden ifadeleri

<b>a</b>	$0,0250C^2$
<b>b</b>	$0,0267C^2$
<b>c</b>	$0,0469C^2$
<b>d</b>	$0,0184C^2$
<b>e</b>	$0,0247C^2$
<b>f</b>	$0,0129C^2$
<b>g</b>	$0,0346C^2$



Şekil 3.12 Core-Loc yüzey alanları (CERC, 1998)

### **3.3 Tek Sıra Bloklu Dalgakırınlarla İlgili Çalışmalar**

Bu tip bloklarla ilgili çalışma literatürde, blokların üreticilerinin verdikleri kullanım bilgilerinin dışında yok gibidir. En detaylı çalışma ise Van der Meer (1999) tarafından verilmiştir.

Kilitlenme özelliğine sahip bloklar genellikle 1:1.5 gibi dik eğimlerde kullanılmaktadır. Bundan dolayı küp ve tetrapod için deneylerde kullanılacak olan eğim 1:1.5 olarak seçilmektedir. Accropode ise genellikle 1:1.33 eğimde yapılmaktadır, ve Van der Meer (1999)'in deneylerinde de aynı eğim seçilmiştir. Küp hacimli ve darbelere karşı dirençli olması sebebiyle tercih edilmektedir. Tetrapod dünya üzerinde geniş kullanım alanına sahiptir ancak düşük bir kilitlenmeye sahiptir. Accropode ise yüksek kilitlenmeye sahip olması, tek tabaka olması yüzünden seçilmektedir. Van der Meer (1999)'in bu bloklarla ilgili yaptığı bütün deneylerde 1:30 taban eğimi kullanılmıştır ve oluşturulan en yüksek dalga yüksekliklerinden sadece bazları derinlik koşullarından dolayı kırılmıştır (Van der Meer, 1999).

İki sıra bloklu dalgakırınlar yıllardır kullanılmıştır ve hala popüler durumdadırlar. Bir sıra bloğun üzerine diğer bir sıra gelecek şekilde yerleştirilirler. Bloklar şekillerine göre az ya da çok kilitlenmeye sahiptirler. Böyle bir sıranın stabilitesi blokların tek tek stabilitesine bağlıdır. Hasar başladıkten sonra dalga yüksekliği arttıkça hasar artar. 20-30 tondan ağır bloklarda bu tip yerleştirmede kırılmalar oluşabilmekte sonuç olarak da yapıda büyük hasarlar meydana gelebilmektedir. Dolos ve tetrapod eğer yeterince büyük boyutlarda ise bu kırılma durumuna karşı oldukça hassas olabilmektedirler (Van der Meer, 1999).

Tek sıra bloklu dalgakırınlar arasında en bilineni Accropode'dir. Son yıllarda bulunan Core-Loc'da diğer bir tek sıra blok tipidir. Genel olarak aynı özelliklerini göstermelerine rağmen aralarında bazı farklar mevcuttur. Accropode tek sıra halinde rasgele yerleştirilir ancak çok sıkı bir yerleştirme yöntemine tabidir. Bloklar mümkün olduğunda birbirine yakın yerleştirilir. Core-Loc'da ise yerleştirme şekli o kadar kesin değildir hatta dolos bloklu dalgakırınların tamiri için dahi önerilmektedir. Hem Accropode hem de Core-Loc her ikisi de kuvvetli bloklardır. Bir ayaklarının kırılması durumunda bile ağırlıklarının %90'ına sahiptirler ve kilitlenme özelliklerini fazla azalmamaktadır (Van der Meer, 1999).

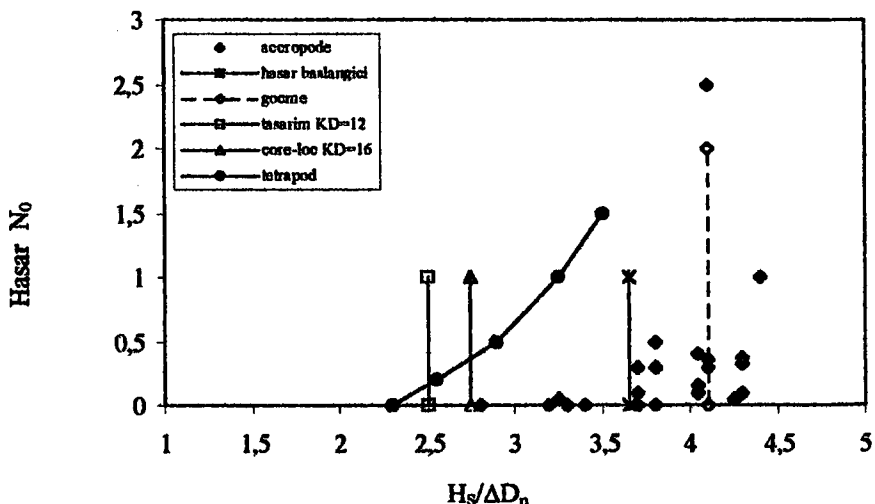
Blokların tek sıra kullanılması durumunda dalga etkileri karşısında gösterdikleri davranışlar iki sıra olarak kullanılan bloklardan farklıdır. İlk dalga etkisinden sonra biraz oturma oluşmaktadır. Bu da her bloğun bir diğerileyle temasına sebep olur. Blok kaybı oluşmaz ve sallanma nadiren gözlenmektedir. Tek sıra bloklu sistemler bir bütün halinde reaksiyon gösterirken iki sıralı sistemler tek tek blokların stabilitesine göre reaksiyon vermektedirler (Van der Meer, 1999).

Stabilite deneylerine göre Accropode ve Core-Loc yüksek dalgalara karşı stabil kalabilmektedir. Bu büyük dalga yüksekliklerinde hasar başladıkta sonra oldukça ani bir şekilde yapının tamamında hasar meydana gelmektedir. Bu ani hasar oldukça tehlikeli olabilmektedir. Ancak tasarım aşamasında kullanılacak uygun bir güvenlik katsayısı ile bu dezavantaj avantaja dönüştürülebilmektedir. Başlangıç hasarı için olan stabilite parametresinde 1.3 gibi bir güvenlik faktörü kullanılrsa, tasarım dalga yüksekliğinin %10 veya 20 fazlasında bile hiçbir hasar görülmemektedir. Bu da dalga büyündükçe hasarın arttığı iki sıralı bloklara ters bir durum oluşturmaktadır (Van der Meer, 1999).

Tek sıra bloklu sistemlerin tercih edilmesinin temel sebebi bu sistemin ekonomik olduğunu. Tek sıralı bir sistem, betondan çok büyük tasarruf sağlamaktadır. Dikkat edilmesi gereken her iki sistemde gerekli beton hacmindeki farkın maliyette gerçek tasarrufa neden olmayabilmesidir. Çünkü aynı boyutta bir dalgakıran için betonda yapılacak tasarrufa karşın taş koruma tabakasında daha ucuz maliyetin ortaya çıkmasıdır.

Her yeni kullanılan blokta olduğu gibi bu bloklarda da temel tartışma konusu deneyim eksikliği olmuştur. Ancak yüze yakın dalgakıranda kullanılan Accropode için bu artık geçerli bir tartışma konusu değildir. Core-loc ile yapılan dalgakıran sayısı fazla olmamakla birlikte, davranış olarak Accropode'ye benzerdir (Van der Meer, 1999).

Şekil 3.13 Van der Meer (1988b) tarafından Accropode için elde edilen deney sonuçları diğer bloklarla bir arada göstermektedir. Deneyler 1:1.33 eğiminde yapılmıştır ancak 1:1.5 eğimde de benzer davranışlar olacağı beklenilmiştir. Accropode'nin stabilitesinde fırtına süresi ve periyot etki göstermemektedir, ve hasar olmama durumu ile tam hasar durumu çok yakındır (Van der Meer, 1999).



Şekil 3.13 Accropode'nin stabilite grafiği (Van der Meer, 1999)

Accropode için stabilité iki formülle tariflenebilir (Van der Meer, 1999);

Hasar başlangıcı,  $N_0=0$ :

$$\frac{H_s}{\Delta D_n} = 3.7 \quad (3.6)$$

Tam hasar durumu,  $N_0>0.5$ :

$$\frac{H_s}{\Delta D_n} = 4.1 \quad (3.7)$$

3.6 ve 3.7 denklemleri hasarın başlaması ile tam hasar durumlarının birbirine yakın olduğunu göstermektedir, ve her ikisi de yüksek  $H_s/\Delta D_n$  değerleridir. Diğer bir deyişle Accropode büyük dalga yüksekliklerine kadar tamamen stabil kalabilmekte ancak bu yüksek dalgalarda hasar başladıkten sonra yapıda tam hasar durumu oluşabilmektedir. Bu sonuçlar göz önüne alınarak tasarım aşamasında kullanılmak üzere bir güvenlik katsayısı önerilmiştir, bu da  $H_s/\Delta D_n$  sayısının yaklaşık 1.5 katıdır. Buna göre tasarım aşamasında kullanılacak formül aşağıdaki gibidir (Van der Meer, 1999):

Tasarım için (Van der Meer, 1999):

$$\frac{H_s}{\Delta D_n} = 2.5 \quad (3.8)$$

Bu da küp ve tetrapod için kullanılan değere yakın bir değerdir. Accropode için önerilen  $K_D=12$ 'dir.

Core-loc ise yine Accropode'ye benzer bir stabilité davranışına sahiptir. Core-loc için önerilen  $K_D=16$  değeri Accropode'ninkinden biraz yüksektir. 1:1.33 eğim için hasar parametresi Şekil 3.13'den (Van der Meer, 1999):

Tasarım için (Van der Meer, 1999):

$$\frac{H_s}{\Delta D_n} = 2.78 \quad (3.9)$$

3.9 ile 3.8 denklemleri arasındaki fark az gibi gözükse de Core-loc'da tasarruf sağlanan ağırlık oranının %27 olması göz ardı edilmeyecek bir değerdir.

Accropode'nin temel avantajı bir çok dalgakıranda kullanılmış olması dolayısı ile de hakkında geniş bilgi imkanı olmasıdır. Core-loc ile yapılan yapı sayısı çok daha azdır. Core-Loc'un avantajlarından birisi de oluşacak hasarlar için tamir imkanının daha kolay olmasıdır (Van der Meer, 1999).

Küp iki tabaklı rasgele yerleştirilen blok tipidir. Ancak tek tabaka olarak da test edilmiştir. İlk sonuçlar tek tabaka olarak da yeterince stabil olduğunu göstermektedir. Üstten aşmanın %10'dan az olmasıyla sınırlanan tek tabaka küp bloklar göz önüne alınması gereği belirtilmiştir (Van der Meer, 1999). Sonuçlar Şekil 3.14'de gösterilmiştir. Diğer tek tabaka blokların davranışına benzer davranışa sahip olduğu belirlenmiştir. Küp blok için aşağıdaki ifadeler verilmiştir (Van der Meer, 1999).

Hasar başlangıcı için:

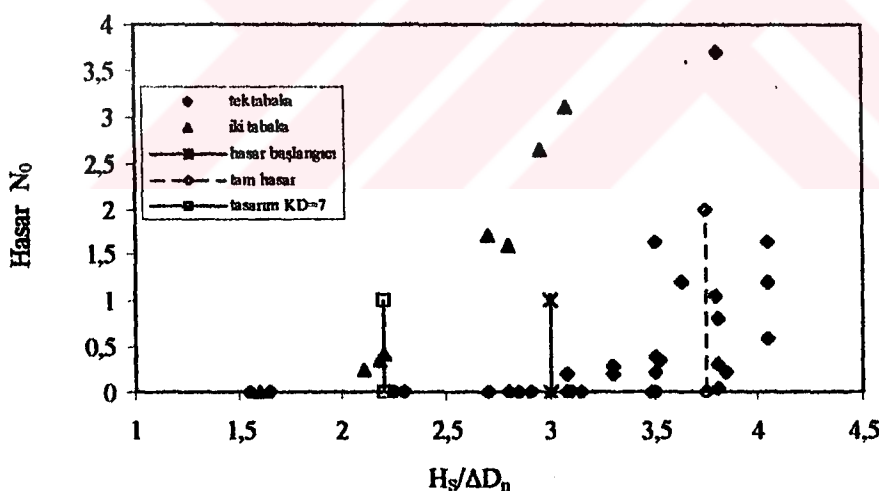
$$\frac{H_s}{\Delta D_n} = 3.00 \quad (3.10)$$

Hasar için:

$$\frac{H_s}{\Delta D_n} = 3.75 \quad (3.11)$$

Geleneksel çift tabakalı küp limit hasar için tasarılanır ( $N_0=0.5$ ). Şekil 3.14 bu  $H_s/\Delta D_n=2.2$  dir, benzer olarak  $K_D=7$ 'dir. Eğer tek tabaka küp bu değer için tasarılanacaksa, bunun anlamı geleneksel çift ve tek tabakalar aynı ağırlığa gereksinim duyacaktır. Tek tabaka küp için hasar başlangıcında emniyet faktörü  $3.0/2.2=1.36$ 'dır. Bu Accropode için verilen 1.5 faktöründen azdır. Hasar için emniyet faktörü  $3.75/2.2=1.7$ 'dir, bu da Accropode için verilenden biraz büyütür ( $4.1/2.5=1.64$ ). Ortalama olarak aynı emniyet faktörü bulunmaktadır, bunun için küp için Accropode'ye benzer emniyet faktörü kullanılabilir. O halde tasarım için (Van der Meer, 1999) aşağıdaki ifade verilebilir.

$$\frac{H_s}{\Delta D_n} = 2.2 \quad (3.12)$$



Şekil 3.14 Küp blok için stabilité (Van der Meer, 1999)

Çizelge 3.5 yaklaşık 30 ton ağırlığındaki blokların dalga etkisi karşısındaki hareketlerine göre düzenlenmiştir (Van der Meer, 1999).

Çizelge 3.5'de iki sıra blokların belli bir hasara göre tasarılanmasına karşın ve tek sıra blokların 0 hasara göre tasarlandığı görülmektedir. Diğer taraftan tek sıra bloklarda olusabilecek az hasar da kabul edilebilmektedir.

Sıklık  $\phi$  ile eğim üzerindeki  $m^2$ 'ye gereken hacim  $H_s$ , belirgin dalga yüksekliğinin fonksiyonu olarak hesaplanabilmektedir. Burada beton özgül ağırlığı  $2400\text{kg/m}^3$ 'tür (Van der Meer, 1999).

Çizelge 3.5'de ayrıca core-loc ve accropode'un hacimsel avantajları da görülebilmektedir.

Çizelge 3.5 Blokların genel karşılaştırması (Van der Meer, 1999)

	<b>Accropode</b>	<b>Core-Loc</b>	<b>Tetrapod</b>	<b>Küp</b>	<b>Küp</b>
<b>Kaplama tabaka sayısı</b>	1	1	2	2	1
<b>Eğim</b>	1:4/3	1:4/3	1:1,5	1:1,5	1:1,5
<b><math>K_D</math> (Kirılan dalga için)</b>	12	16	7	7	7
<b><math>H_s/\Delta D_n = N_s</math></b>	2,5	2,8	2,2	2,2	2,2
<b>Hasar <math>N_0</math></b>	0	0	0,5	0,5	0
<b>Hasar %</b>	0	0	5	5	0
<b>Sıklık <math>\phi</math></b>	0,61	0,56	1,04	1,17	0,70
<b>Eğim üzerinde <math>m^2</math>'ye düşen beton hacmi</b>	$0,182H_s$	$0,148 H_s$	$0,350 H_s$	$0,370 H_s$	$0,236 H_s$
<b>Hacim karşılaştırması</b>	100%	81%	208%	220%	140%

Diğer bir çalışma da 2002 yılında Ivano Melito ve Jeffrey A. Melby tarafından Core-Loc bloklarda dalga tırmanması, dalga geçişleri ve dalga yansımaları üzerine yapılmıştır.

## **4 DENEY SİSTEMİ VE HİDROLİK MODEL TASARIMI**

### **4.1 Deney sistemi ve ölçüm yöntemleri**

#### **4.1.1 Dalga kanalı**

İki boyutlu stabilite deneylerinde kullanılan dalga kanalı YTÜ Hidrolik ve Kıyı-Liman Laboratuvarı'nda bulunmaktadır. Bu kanal 1m yüksekliğinde 1m genişliğinde ve kanalın 14m uzunluğu boyunca her iki kenarı da camdır (Şekil 4.1).

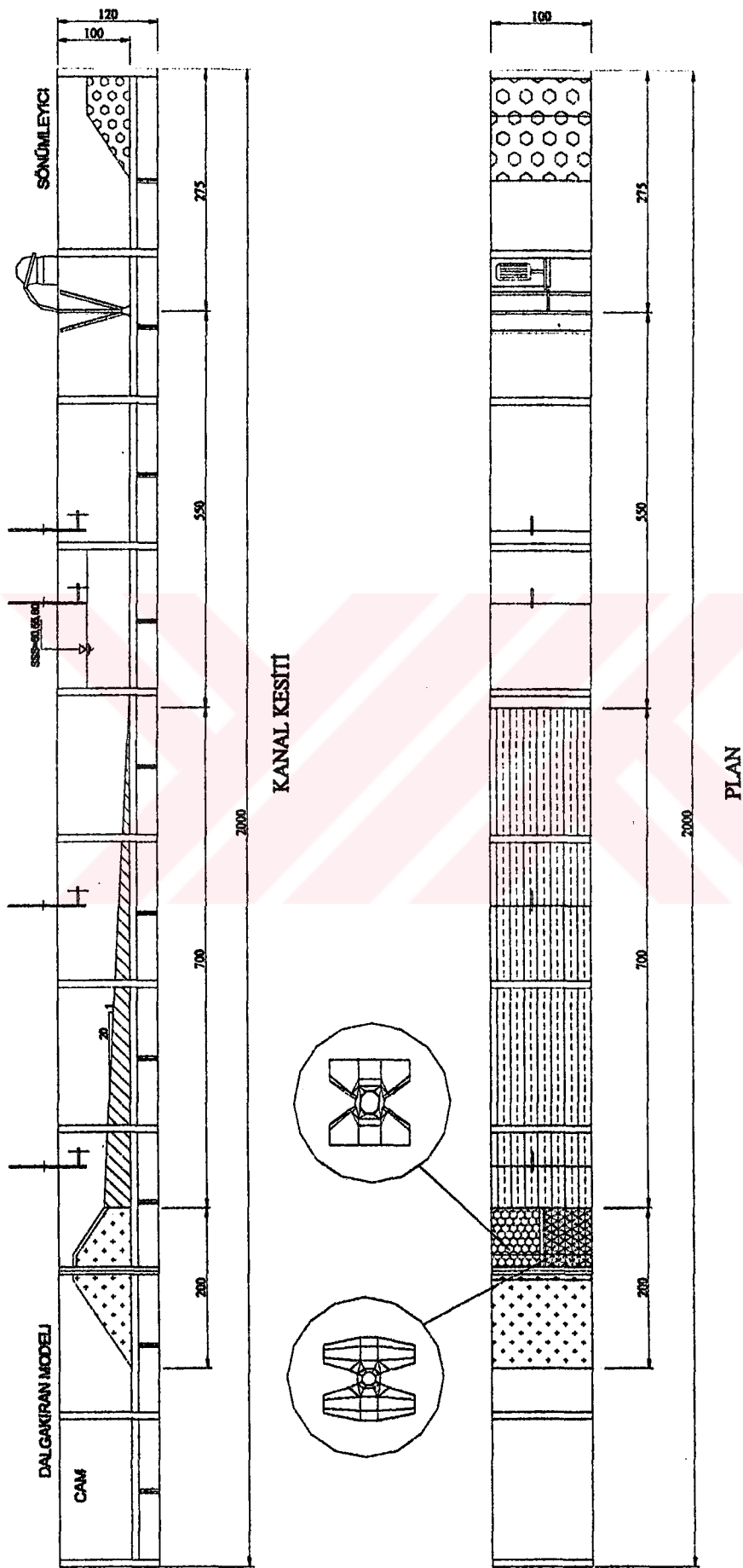
Dalgalar, 1/20 eğimli tabanın bitiminden 9.5 m mesafede olan ve bir eksantrik yardımıyla doğru akım motorunun miline bağlanan tabana mafsallı bir palet ile üretilmiştir. İstenilen yükseklik ve periyottaki dalgalar, bu doğru akım motoruna giden akımı düzenleyen ve kumanda eden redresör ve eksantrik yardımıyla üretilmiştir.

#### **4.1.2 Dalga ölçümleri**

Dalga kanalında üretilen dalga yükseklikleri ikiz çubuk elektroldü bir sistem yardımıyla ölçülmüştür. Bu sistemin çalışması elektroldar arasındaki suyun devreyi tamamlaması ve su seviyesinin alçalıp yükselmesi sırasında direncin değişmesi prensibine dayanmaktadır. HR Waves programı kullanılarak kalibrasyonlar yapılmıştır ve buna bağlı olarak dalga karakteristikleri gene bu program sayesinde elde edilmiştir. Ayrıca video kayıt ile görüntü işleme tekniği yardımıyla bu değerler karşılaştırılmıştır. Her deneyden önce sakin su durumunda sistemin direnci dengeye getirilerek kalibrasyonu yapılmıştır.

Dalga ölçümlerinde kullanılan problardan birincisi topuktan L/4 m aşağı, ikincisi geçiş bölgesine diğer bir deyişle şev bölgesine, üçüncüsü derin deniz bölgesine ve dördüncüsü sistemdeki yansımaya miktarının hesaplanabilmesi için üçüncü probdan L/4 mesafe aşağı yerleştirilmiştir.

Deneylerde 1.10 s ile 1.65 s arasında 5 farklı dalga periyodu ve 0.035-0.250 m dalga yükseklikleri dikkate alınmıştır. Kanal taban eğimi 1/20 olarak seçilmiştir. Farklı kırılan dalga yükseklikleri elde edebilmek için açıktaki su derinliği 50-60 cm arasında değiştirilmiştir. Deneyler her iki farklı diziliş için 15 set halinde yapılmıştır. Her set, sonucusu kırılan dalga



Şekil 4.1 Dalga kanalının görünüşü

yüksekliği olmak üzere en az 5 en fazla 9 farklı dalga yüksekliğine sahip düzenli dalgalarдан oluşmaktadır ve mümkün olduğunca fazla dalga yüksekliği seçilmeye çalışılmıştır. Bu dalga yükseklikleri seçilip uygulanırken herhangi bir hasar oluşturmayacak küçük bir dalgadan başlayarak dalga yükseklikleri giderek artırılmış ve nihayetinde kırılan dalga son dalga olarak seçilmiştir.

Dalga kanalında meydana gelebilecek yansımaları belirlemek amacıyla çift prob yöntemi kullanılmıştır. Buna göre açığa yerleştirilen probun L/4 açığına ikinci bir prob yerleştirilip buradaki derin deniz dalga yüksekliği bu iki probun ortalaması olarak tesbit edilmiştir. Deneylerde dikkate alınmak üzere üretilen dalgalara ait özellikler Ek 6 ve Ek7'de özetlenmiştir.

Ayrıca kırılan dalga yüksekliğinin belirlenmesi amacıyla görüntü işleme sistemleri kullanılmıştır. Bunun için S-VHS kamera kullanılmıştır. Bu kamerada S-VHS kaset kullanılarak görüntü kalitesi arttılmıştır. Bir sehpaya üzerine oturtulan kameradan alınan görüntülerin netliği için bir seri netlik ayarı yapılmıştır. Bu ayarlardan biri beyaz ayarıdır, bu ayar yardımıyla görüntüden istenen renkler oluşturulmuştur. Arzu edilen net görüntünün elde edilebilmesi için dalga kanalı üzerinde üç ayrı sabit ışık kaynağı, ölçüm bölgelerini aydınlatmıştır. Her ışık kaynağı HBID 400/T/A şiddetindedir. Kamera ölçüm kesitine dik yerleştirilerek üçüncü boyut etkisi minimuma indirilmiştir. Bunun için odak ayarları hassas biçimde yapılmıştır.

Elde edilen görüntüler bir bilgisayarda bir görüntü işleme programı yardımıyla istenen görüntüler saniyenin yirmibeşte biri aralıklarında resimlere ayrılarak izlenmiş ve incelenmiştir.

Kırılan dalga yüksekliği olarak dalgakırının topuğunda elde edilen görüntüde dalganın ulaştığı minimum ve maksimum su derinlikleri arasındaki düşey fark dikkate alınmıştır.

#### **4.2 Hidrolik model tasarımları ve boyut analizi**

Kıyı yapılarının planlanması ve tasarımındaki problemlerin teorik çözümlerinin tam olarak yapılabilmesinin neredeyse imkansız olmasından dolayı hidrolik modelleme bu tip yapıların tasarım ve planlanması için bir çözüm yöntemidir.

Hidrolik modellemede amaç, modeli yapılan elemanların doğada gösterdikleri davranışlarının aynısını laboratuvar ortamında oluşturup, gözlemlemektir. Model ve prototip arasındaki benzerlik üç şartın sağlanması ile mümkündür. Bunlar; geometrik, kinematik ve dinamik benzerliklerdir. Geometrik benzerlik modeldeki ve prototipteki karşılıklı uzunlıkların belirli oran veya oranlarda olmasıdır. Kinematik benzerlikte ise model ve prototip etrafındaki akışkanın veya katı cisimlerin, homolog noktalardaki hız ve ivmelerinin belirli oranlarda olması gereklidir. Ancak bir problemdeki bütün dinamik kuvvetlerin aynı orana sahip olması neredeyse imkansızdır. Bu nedenle modelde hakim olan kuvvetlere bağlı olarak çeşitli modelleme kuralları geliştirilmiştir.

Bir modelde benzeşim koşullarının sağlanması üç farklı yöntemle gerçekleştirilmektedir (Yüksel, 2000). Bunlar;

### **1-Dinamik metot**

Akışkanlar mekaniği ile ilgili benzeşim çalışmaları genelde bu metot kullanılarak yapılır. Bu metodda esas, model ve prototipte etkili olan kuvvetlerin oranlarının aynı olmasıdır (Yüksel, 2000).

Kıyı hidroloji ve kıyı yapıları gibi problemlerde viskozite ve yüzey gerilimi etkin rol oynamadığından nispeten büyük modeller için atalet ve ağırlık kuvvetleri dikkate alınmaktadır. Bu koşullarda en uygunu Froude benzeşimidir. Buna göre zaman ve hız ölçüği, uzunluk ölçüğünün kareköküne eşittir. Froude benzeşiminde modeldeki ağırlık kuvvetlerinin atalet kuvvetlerine oranı prototipteki bu kuvvetlerin oranına eşit olmalıdır.

Model çalışmalarında ölçek ne kadar büyürse, sonuçlardaki hassasiyet de o derece fazla olur. Fakat büyük ölçekli modellerin de bazı dezavantajları söz konusudur. Bunlar işletme ve inşaat masraflarının artması ve gerekli sürenin uzamasıdır. Diğer taraftan ölçüğin çok küçük olması durumunda yüzey gerilimi ve sürtünme kuvvetleri dalga hareketini etkileyebilir. Bu nedenle model ölçüği prototipin boyutlarına ve mümkün olan deney ekipmanlarının hassasiyetine göre belirlenmelidir. Hidrolik modeller için kesin ölçekler olmamasına karşı dalgakırın stabilitesi için genelde seçilen ölçekler 1/10 ile 1/50 arasında değişmektedir.

## 2-Boyut analizi metodu

Probleme etkili parametrelerin boyutsuz büyüklükler cinsinden yazılmış olması, bu  $\Pi$  boyutsuz büyüklüklerin model ve prototipte aynı değerlerde olması demektir (Yüksel, 2000).

Çizelge 4.1'de tanımlanan probleme etkili büyülüklere ait boyutsuzlar Langhaar Metodu yardımıyla elde edilmiştir (Çizelge 4.2).

**Çizelge 4.1 Etkili Büyüklükler**

	Büyüklük	Sembol	Birim	Boyut
Akışkanı karakterize eden değişkenler	Akışkanın özgül kütlesi	$\rho_w$	kg/m <sup>3</sup>	ML <sup>-3</sup>
Akımı karakterize eden değişkenler	Dalga yüksekliği Dalga periyodu Fırtına süresi	H T N	m sn sn	L T T
Dalgakırarını karakterize eden değişkenler	Şev eğimi Porozite Hasar	s P S	° % %	- - -
Bloğu karakterize eden değişkenler	Bloğun özgül kütlesi Nominal çap	$\rho_r$ $D_n$	kg/m <sup>3</sup> m	ML <sup>-3</sup> L
Diger değişkenler	Yerçekimi ivmesi	g	m/s <sup>2</sup>	LT <sup>-2</sup>

**Çizelge 4.2 Değişken boyutları**

	$k_1$	$k_2$	$k_3$	$k_4$	$k_5$	$k_6$	$k_7$	$k_8$	$k_9$	$k_{10}$
Sembol	$\rho_w$	H	T	N	s	P	S	$D_n$	$\rho_r$	g
M	1	0	0	0	0	0	0	0	1	0
L	-3	1	0	0	0	0	0	1	-3	1
T	0	0	1	1	0	0	0	0	0	2

$$\sum M=0, \sum L=0, \sum T=0$$

$$k_1+k_9=0 \Rightarrow k_9=-k_1$$

$$-3k_1+k_2+k_8-3k_9+k_{10}=0 \Rightarrow k_8=k_2-k_{10}$$

$$k_5+k_4-2k_{10}=0 \Rightarrow k_{10}=(k_3+k_4)/2$$

**Çizelge 4.3 Boyutsuz büyüklüklerin üstel değerleri**

	$k_1$	$k_2$	$k_3$	$k_4$	$k_5$	$k_6$	$k_7$	$k_8$	$k_9$	$k_{10}$
$\pi_1$	1	0	0	0	0	0	0	0	-1	0
$\pi_2$	0	1	0	0	0	0	0	-1	0	0
$\pi_3$	0	0	1	0	0	0	0	-1/2	0	1/2
$\pi_4$	0	0	0	1	0	0	0	-1/2	0	1/2
$\pi_5$	0	0	0	0	1	0	0	0	0	0
$\pi_6$	0	0	0	0	0	1	0	0	0	0
$\pi_7$	0	0	0	0	0	0	1	0	0	0

Çizelge 4.3'den boyutlar aşağıdaki gibi elde edilir

$$\pi_1 = \frac{\rho_w}{\rho_r} = \Delta$$

$$\pi_2 = \frac{H}{D_n}$$

$$\pi_3 = \frac{Tg^{1/2}}{D_n^{1/2}}$$

$$\pi_4 = \frac{Ng^{1/2}}{D_n^{1/2}}$$

$$\pi_5 = s$$

$$\pi_6 = P$$

$$\pi_7 = S$$

O halde boyutsuz fonksiyon;

$$F_1(\pi_1, \pi_2, \pi_3, \pi_4, \pi_5, \pi_6, \pi_7) = 0$$

dir, boyutsuzlar arasında aşağıda yapılan işlemler sonucunda dalgakırın stabilitesi için anamlı olan boyutsuzlar elde edilir.

$$\pi_2 = \frac{\pi_2}{\pi_1} = \frac{H}{\Delta D_n} \text{ Hasar parametresi}$$

$$\pi_3 = \frac{\pi_2}{(\pi_3)^2} = \frac{H}{\frac{D_n}{T^2 g}} = \frac{H}{g T^2} \text{ Dalga dikliği}$$

elde edilmektedir. O halde boyutsuz fonksiyon;

$$F_2(\pi_1, \pi_2, \pi_3, \pi_4, \pi_5, \pi_6, \pi_7) = 0$$

şeklini alır. Bu fonksiyon deneylerde  $\rho_w/\rho_r$ ,  $s$  ve  $Ng^{1/2}/D_n^{1/2}$  ve fırtına süresinin sabit tutulması nedeniyle

$$F_3(\pi_2, \pi_3, \pi_6, \pi_7) = 0$$

haline indirgenir.

### 3-Diferansiyel denklem metodu

Problemin diferansiyel denklemi bilindiği taktirde, bu diferansiyel denklem boyutsuz hale getirilir ve elde edilen boyutsuz sayıların model ve prototipte aynı değerde olması sağlanır.

Bu metodun bir avantajı geometrik benzeşim şartının gerekli olmayacağıdır, buna karşın dezavantajı zaten oldukça karmaşık olan olayların mükemmel bir diferansiyel denklem ile ifade edilmesindeki güçlüğündür (Yüksel, 2000).

#### **4.3 Deney düzeneğinin hazırlanması**

Test edilecek olan dalgakırın modeli, 1 m. genişliğindeki dalga kanalının cam kenarlı kısmına yerleştirilmiştir (Şekil 4.1). Dalgakırın modelinin çekirdek bölümü, küçük kırma taşlarından oluşturulmuştur. Kaplama tabakası ile çekirdek arasına ise küçük olan çekirdek malzemesinin kaplama arasından kaçmasını engellemek için çekirdekte kullanılan malzemeden daha iri malzemeden oluşturulmuş bir filtre tabakası serilmiştir. Bu çalışmada Sogreah (1999)'a göre Accropode için topuk oluşturulurken, Core-Loc için özel bir topuk hazırlanmamıştır. Core-Loc'un topuğu kendi özel dizilişi ile (cannon fashion) ile oluşturulmuştur (Şekil 4.2). Filtre tabakasının üzerine koruyucu blok olan Accropode ve Core-Loc düzenli ve düzensiz olmak üzere yerleştirilmiştir (Şekil 4.3 ve Şekil 4.4). Tüm deney koşulları her iki tip yerleşim için aynı olmasına rağmen iki tip yerleşimin poroziteleri birbirlerinden farklıdır. Accropode için düzenli dizilişte porozite %58 ve düzensiz dizilişte %60'dır aynı şekilde Core-Loc için düzenli dizilişte porozite %61 iken düzensiz dizilişte %63'dür. Bu çalışmada kullanılan malzemedeki bozulma nedeniyle ortaya çıkan stabilitesizlik dikkate alınmamıştır.

Dalgakırının şev eğimi 1:1.5 ve kıyı eğimi ise 1:20 olarak seçilmiştir. Ayrıca yansımayı en aza indirmek için dalga üreticinin arkasına dalga sönümleme cihazı yerleştirilmiştir.

#### **4.4 Çalışmada izlenen yöntem**

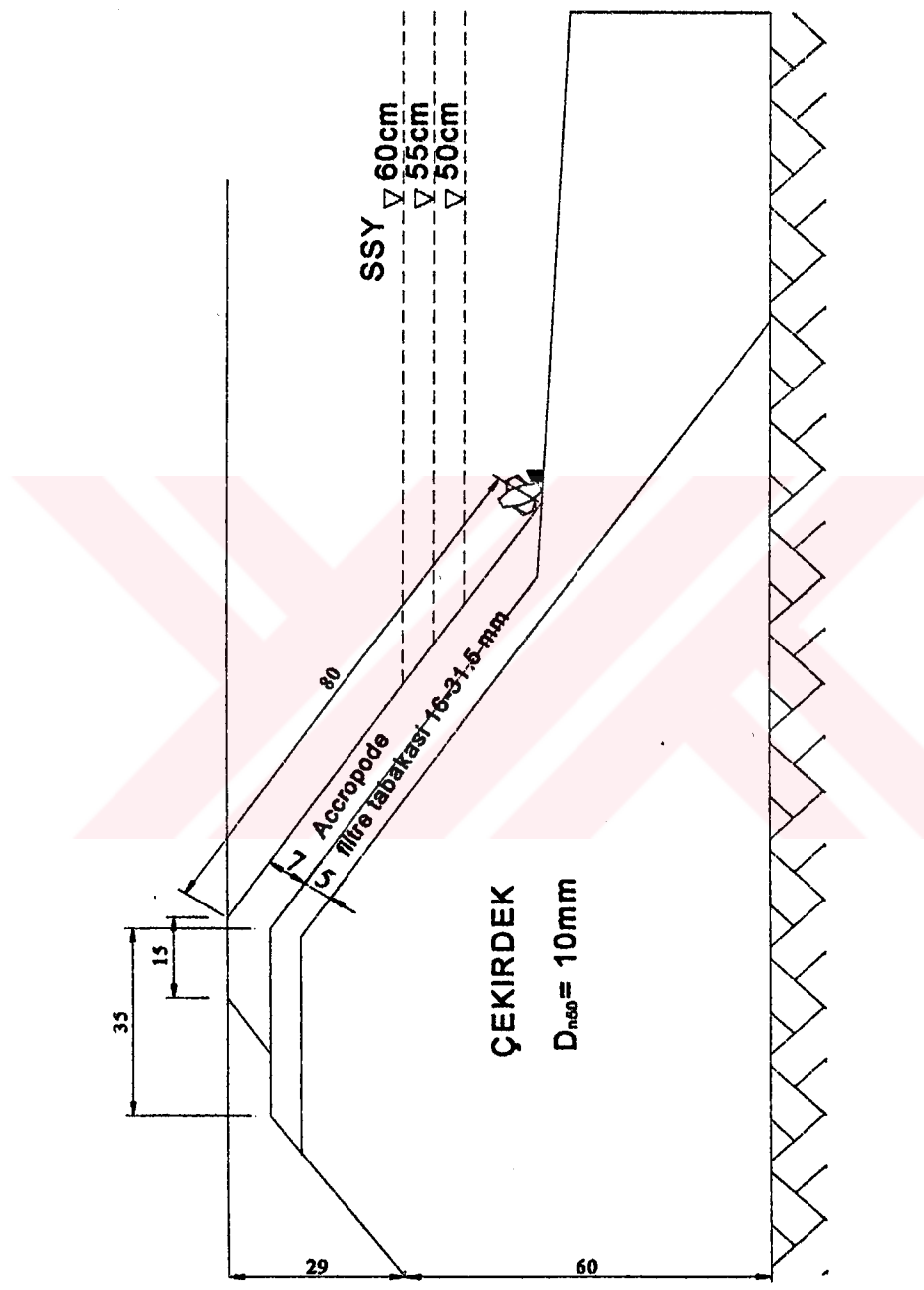
Deneyler, her iki diziliş için toplam 30 set halinde yapılmış olup, her bir set deney şartlarını oluşturan bir su derinliğinde ve seçtiğimiz bir periyodu sağlayan düzenli dalgalarдан oluşmaktadır. Deneyde kullanılan dalgaların periyotları 1.10s, 1.20s, 1.35s, 1.50s, 1.65s olarak belirlenmiştir. Farklı kırılan dalga yükseklikleri elde edebilmek amacıyla her periyotta ve her iki diziliş için; açıkta 50, 55 ve 60 cm ve topukta ise sırasıyla 15, 20 ve 25 cm olan sakin su seviyelerinde deneyler tekrarlanmıştır. Her sette sonucusu kırılan dalga olmak üzere en az 5 en fazla 9 farklı yükseklikte dalga yapıya etki ettilmiştir. Her set içerisinde bir önceki deneyde; kesitte oluşan hasar sürekli korunmuş ve daha sonra uygulanacak olan daha büyük dalganın bir önceki deneyde ortaya çıkışmış olan hasarı zaten oluşturacağı varsayımlıyla,

hasar sürekli üst üste eklenerek kaydedilmiştir, her setin her deneyinin sonunda böylece kümülatif hasar elde edilmiştir.

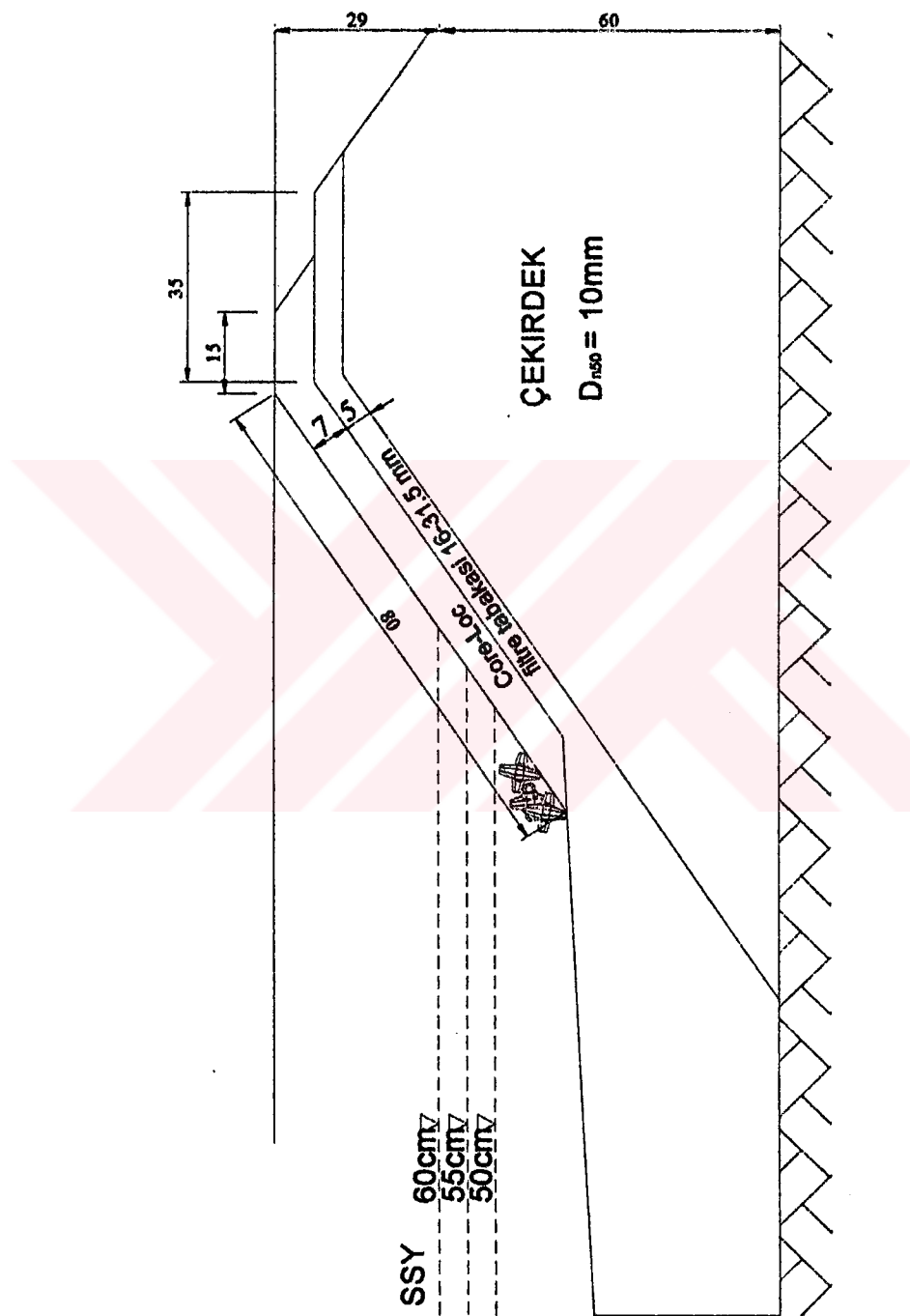
Dalgakıran topuğundaki dalgaların hesaplarda kullanılması gereken dalgalar olması nedeniyle dalga kayıtlarının alınacağı problardan birincisi topuktan  $L/4$  mesafe açığa yerleştirilmiştir. Ayrıca aynı noktadaki dalga yükseklikleri S-VHS kamera yardımıyla da okunmuş ve hesaplarda bu gözlem değerleri dikkate alınmıştır. Dalga yüksekliklerinin kanal içindeki gelişimini takip etmek için 2. prob geçiş bölgesinde, 3. prob açık deniz koşullarında olmak üzere dalga üreticinden etkilenmeyecek bir yere ve 4. prob ise kanal içindeki gelen ve yansıyan dalgaların ayırt edilebilmesi için 3. prob dan  $L/4$  mesafe açığına yerleştirilmiştir. Bu çalışmadaki deneylerde yansımadan arınmış dalga yükseklikleri ise 3. ve 4. probdan okunan değerlerin ortalaması olarak dikkate alınmıştır.

Çalışma, yapı üzerinde kırılan dalga koşullarının yapıda oluşturduğu hasarın tespiti amacıyla yapıldığı için, hesaplarda dalgakıran üzerinde bulunan tüm Accropode ve Core-Loc'lar dikkate alınmıştır.

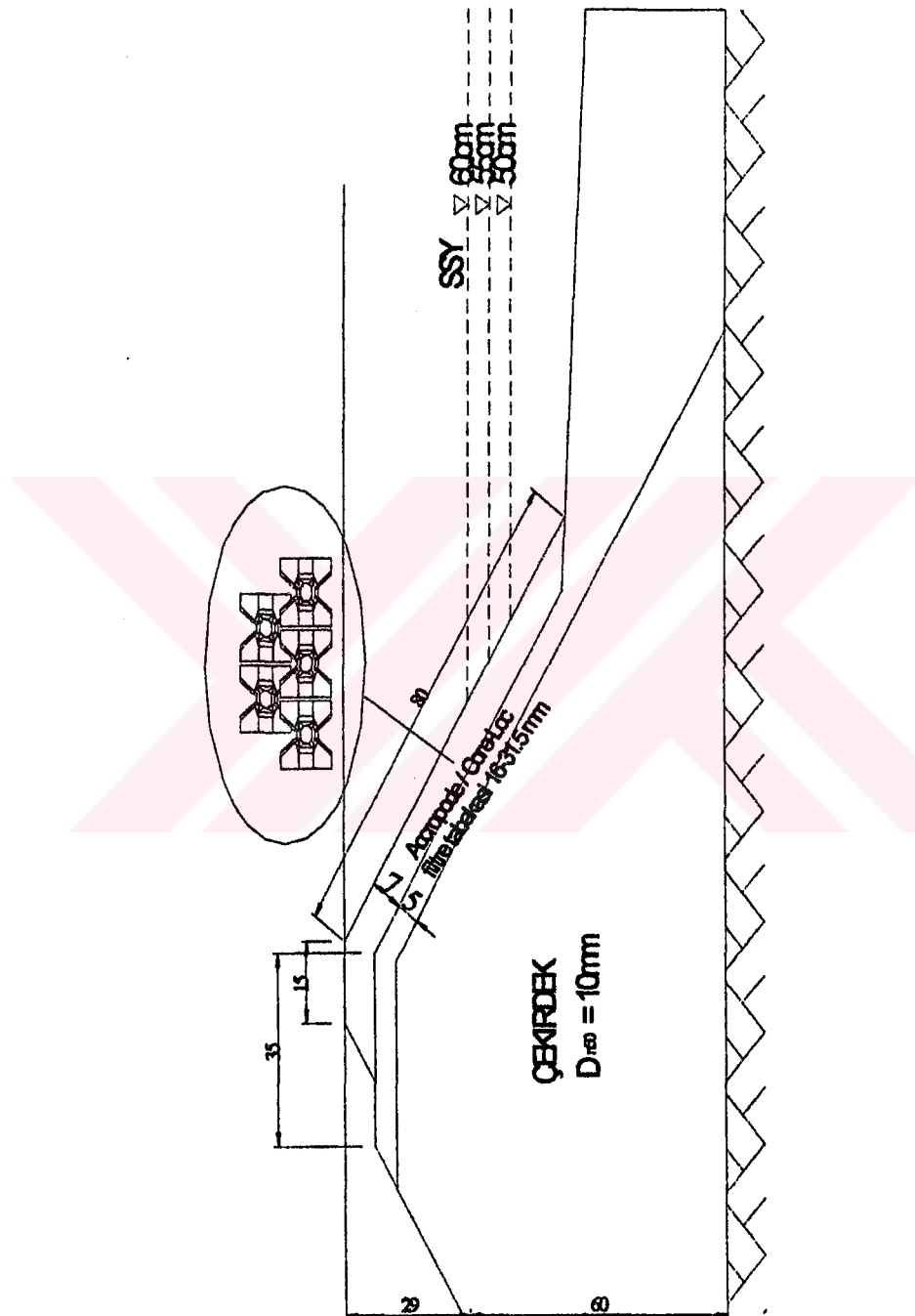
Deneylerde hasara ek olarak yerinde sallanan bloklar ile dalga tırmanması ve geri çekilmesi olayları gözlemlenmiştir. Tırmanma ve geri çekilme mesafeleri bloklar üzerinde (A), bloklarla filtre tabakası arasındaki yüzeyde (B), filtre tabakası ile çekirdek tabakası arasındaki yüzeyde (C) ve çekirdek tabakası içinde (D) ölçülmüştür (Şekil 4.5). Tırmanma ve geri çekilme değerleri Ek 8 ve Ek 9'da verilmiştir.



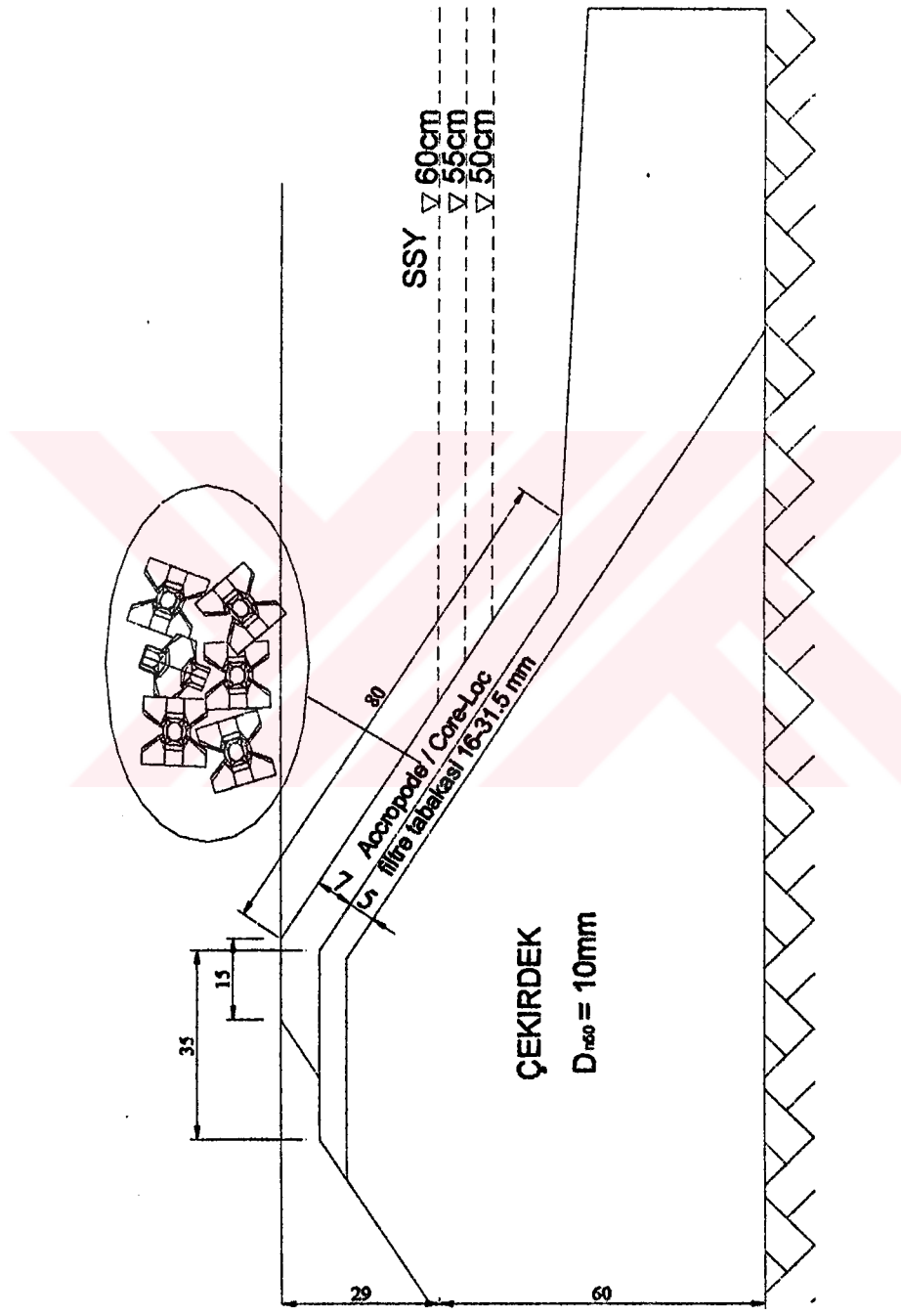
Şekil 4.2 (a) Accropode için topuk oluşturan



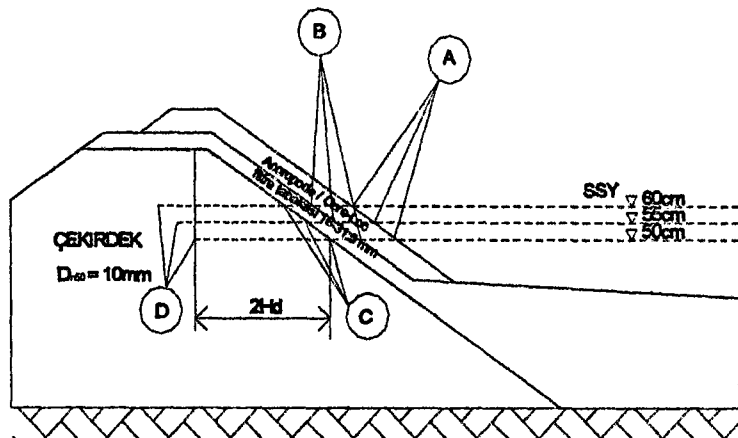
Sekil 4.2 (b) Core-Loc için topuk oluşturan



Şekil 4.3 Düzenli yerleştirme yöntemi için dalgakırpan kesiti



Şekil 4.4 Düzensiz yerleştirme yöntemi için dalgakırın kesiti



**Şekil 4.5 Dalgakıran kesitinde tırmanma ve geri çekilme ölçümlerinin yapıldığı noktalar(A,B,C,D)**

Bu gözlemler ve ölçümler için esas alınan  $H_D$  'tasarım dalga yüksekliği' Ek 1 ve Ek 2' de gösterildiği gibi Hudson formülüne CERC (1984) deki Accropode stabilite katsayısı olan  $K_D=12$  ve Core-Loc stabilite katsayısı olan  $K_D=16$  değerleri alınarak belirlenmiştir (Van der Meer, 1999).

#### 4.5 Hasarın hesaplanması

Deneyler sırasında ortaya çıkan hasar, hem yüzde olarak (% S) ifade edilmiş, hem de Meer' in (1988 b) önerdiği yönteme (N) (Ek 12 ve Ek 13), göre hesaplanmıştır. Hasar hesaplanırken dalgakıranın koruyucu tabakasını oluşturan bütün bloklar dikkate alınmıştır.

Hasarın yüzde miktarı aşağıdaki gibi ifade ile hesaplanmıştır.

$$\%S = \frac{\text{Yerinden ayrılan blok adedi}}{\text{Şevdeki toplam blok adedi}} \times 100 \quad (4.1)$$

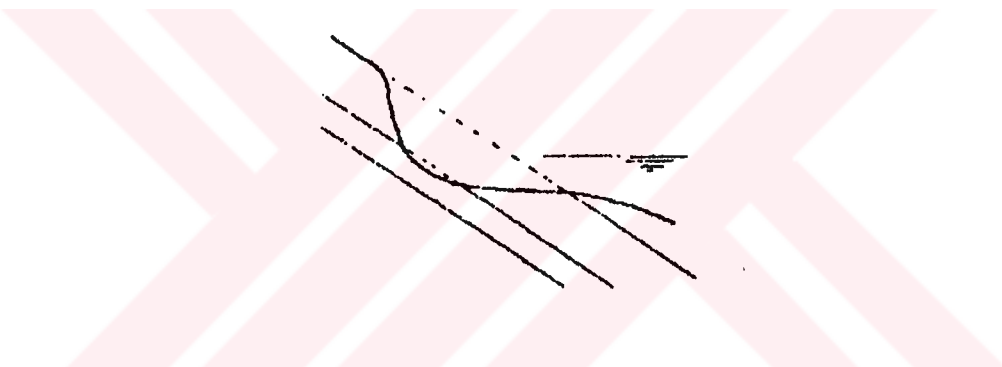
Van der Meer (1988b)'e göre hasar:

$$N_0 = \frac{D_{n50} \times \text{Yerinden ayrılmış blok adedi}}{\text{Toplam genişlik}} \quad (4.2)$$

Deneysel çalışmalar sırasında her dalga periyodunda birbiri ardına üretilen dalgaların bir sonraki dalganın yüksekliğinin bir öncekinden yüksek olması nedeniyle, küçük olan dalganın meydana getirdiği hasarlı kesitte daha büyük dalga ile çalışmaya devam edilmiştir. Böylece küçük olan dalganın yarattığı hasar büyük olan dalgaya olduğu gibi nakledilmiştir. *Tam hasar gözlemlendiği andan itibaren deney sonlandırılmıştır ve bu durumda hasar %100 kabul edilmiştir.*

Ek 3' de hasar miktarının her iki yöntemle hesaplanması bir örnekle gösterilmiştir.

**Tam hasar (tahrip):** Bu tip hasarda koruyucu bloklar sırasıyla kümeden ayrırlırlar ve dalga durdurulmazsa eğer bütün kesit yeterli uzunluktaki periyottan sonra tamamen tahrip olacaktır (Şekil 4.6).

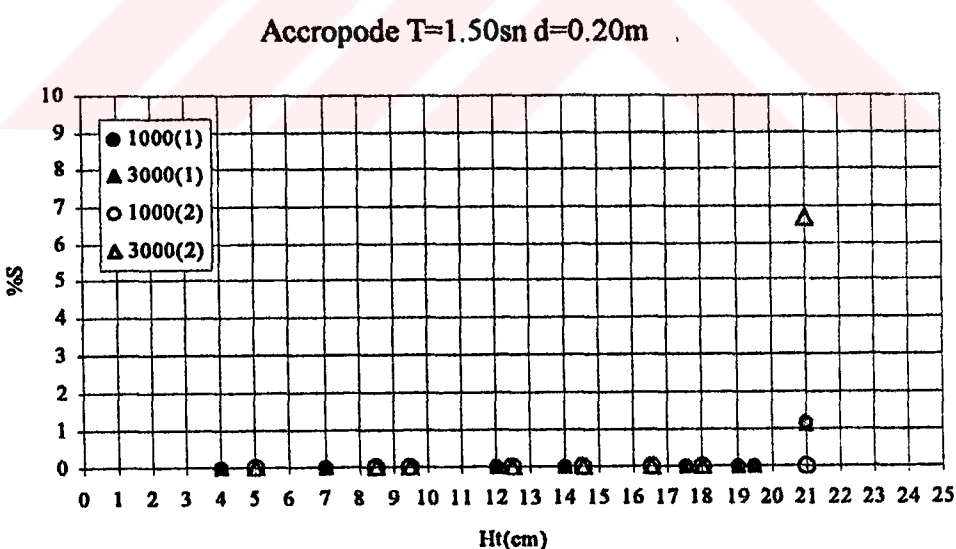


Şekil 4.6 Tam hasar

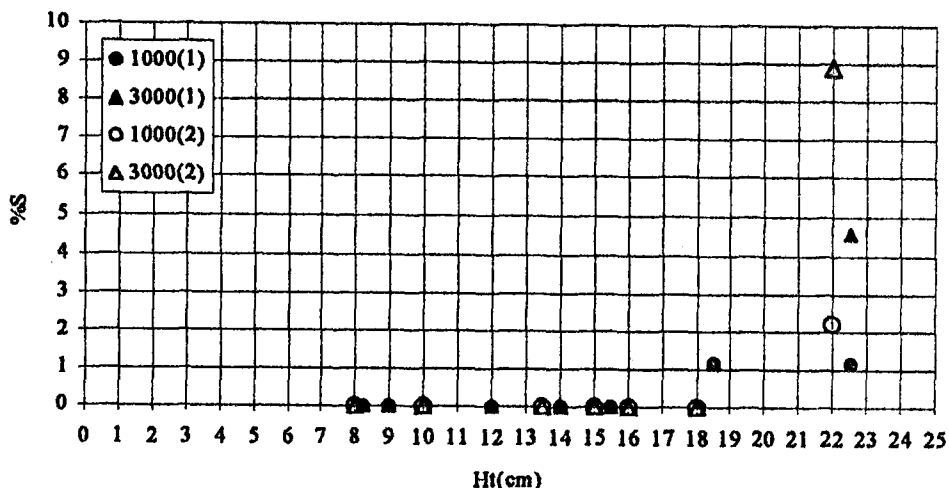
## 5. DENEYSEL ÇALIŞMA ve SONUÇLARIN DEĞERLENDİRİLMESİ

Bu çalışmanın amacı; dalgakırzanın koruyucu tabakasına, iki farklı şekilde yerleştirilen Accropode ve Core-Loc blokların, yapı üzerinde kırılan ve kırılmayan dalga şartları altında stabilitelerinin araştırılmasıdır. Bu nedenle deneyler; yapı şev eğimi ile taban eğimi sabit tutularak ve farklı kırılan dalga şartları yaratıbmek amacıyla üç farklı su derinliğinde yürütülmüştür. Dolayısıyla tüm deneylerde yaratılan tek farklılık, Accropode ve Core-Loc blokların yerleştirme şekli nedeniyle oluşan porozite farklılığıdır. Accropode için düzenli yerleştirmede porozite %58 iken Accropode için düzensiz yerleştirmede %60 aynı şekilde Core-Loc için düzenli yerleştirmede porozite %61 iken Core-Loc için düzensiz yerleştirmede %63 olarak elde edilmiştir.

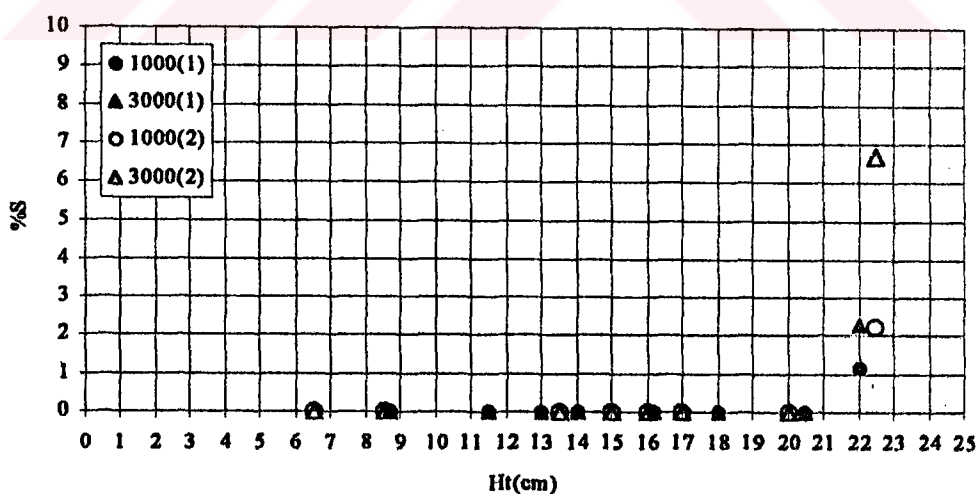
Düzenli dalga şartları altında, dalga yüksekliğine göre hasar grafikleri, Şekil 5.1 ile 5.9'da gösterilmiştir. Burada yer verilen grafikler hasarın meydana geldiği deney şartlarını kapsamaktadır, hasar oluşmamasına ait grafikler Ek 8'de gösterilmektedir.



Şekil 5.1 T=1.50 sn, d=0.20m için düzenli (1) ve düzensiz (2) diziliş hallerinde 1000 ve 3000 dalga sonucu görülmüş hasarlar

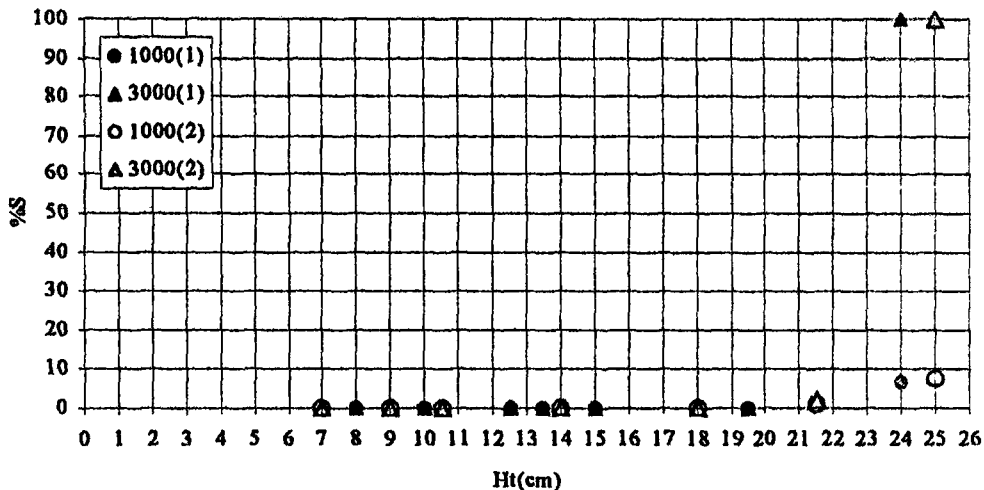
Accropode  $T=1.50\text{sn}$   $d=0.25\text{m}$ 

Şekil 5.2  $T=1.50\text{ sn}$ ,  $d=0.25\text{m}$  için düzenli (1) ve düzensiz (2) diziliş hallerinde 1000 ve 3000 dalga sonucu görülmüş hasarlar

Accropode  $T=1.65\text{sn}$   $d=0.20\text{m}$ 

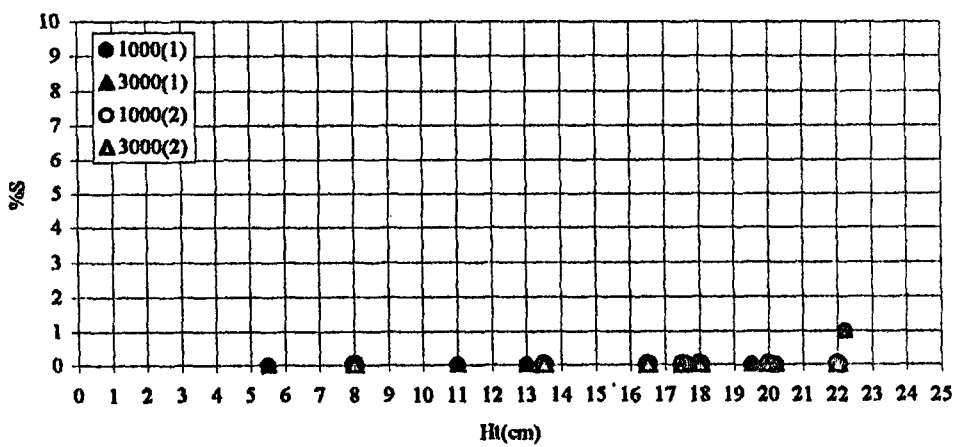
Şekil 5.3  $T=1.65\text{ sn}$ ,  $d=0.20\text{m}$  için düzenli (1) ve düzensiz (2) diziliş hallerinde 1000 ve 3000 dalga sonucu görülmüş hasarlar

**Accropode T=1.65sn d=0.25m**



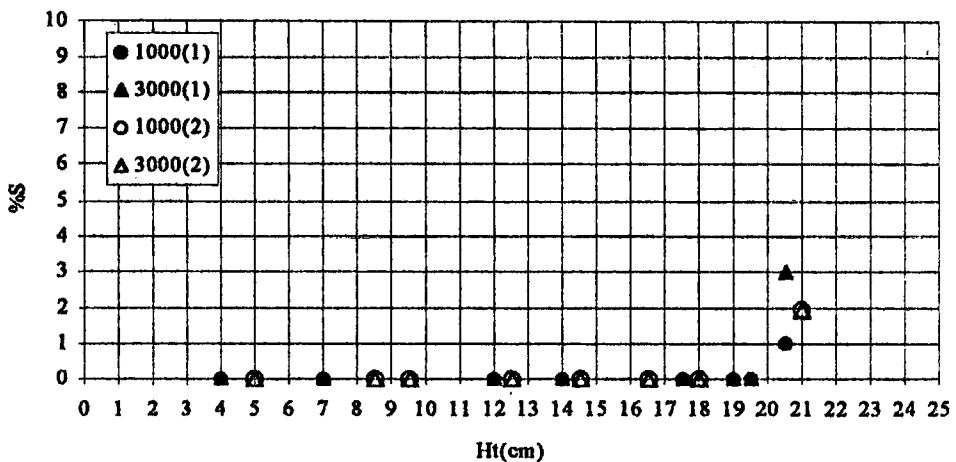
**Şekil 5.4 T=1.65 sn, d=0.25m için düzenli (1) ve düzensiz (2) diziliş hallerinde 1000 ve 3000 dalga sonucu görülmüş hasarlar**

**Core-loc T=1.35sn d=0.25m**



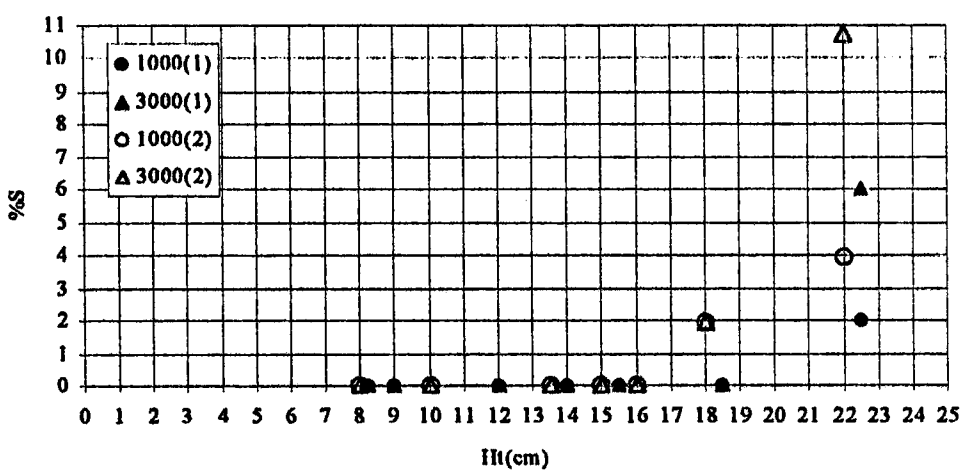
**Şekil 5.5 T=1.35 sn, d=0.25m için düzenli (1) ve düzensiz (2) diziliş hallerinde 1000 ve 3000 dalga sonucu görülmüş hasarlar**

**Core-loc  $T=1.50\text{sn}$   $d=0.20\text{m}$**



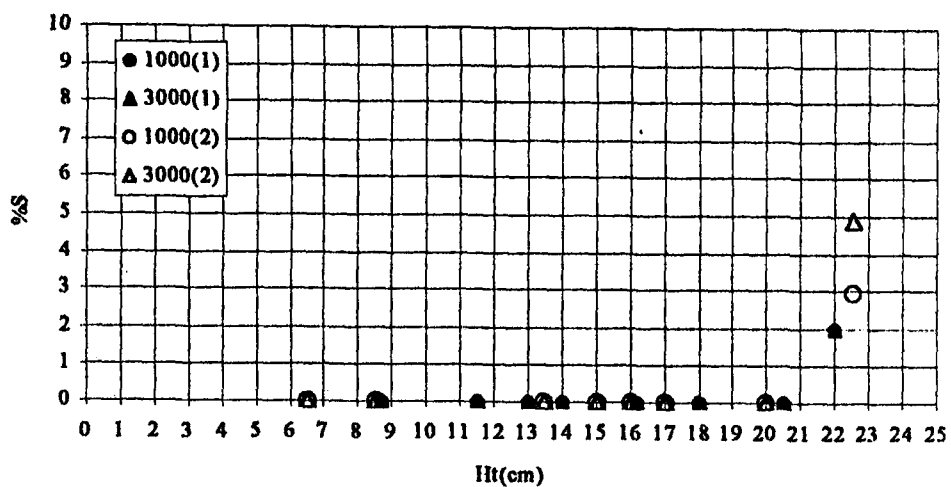
**Şekil 5.6  $T=1.50 \text{ sn}$ ,  $d=0.20\text{m}$  için düzenli (1) ve düzensiz (2) diziliş hallerinde 1000 ve 3000 dalga sonucu görülmüş hasarlar**

**Core-loc  $T=1.50\text{sn}$   $d=0.25\text{m}$**



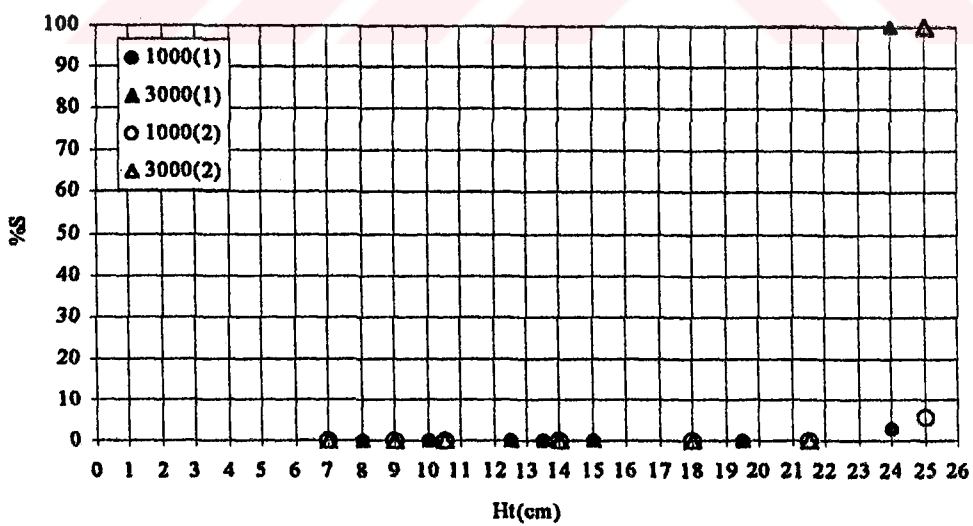
**Şekil 5.7  $T=1.50 \text{ sn}$ ,  $d=0.25\text{m}$  için düzenli (1) ve düzensiz (2) diziliş hallerinde 1000 ve 3000 dalga sonucu görülmüş hasarlar**

Core-loc T=1.65sn d=0.20m



Şekil 5.8 T=1.65 sn, d=0.20m için düzenli (1) ve düzensiz (2) diziliş hallerinde 1000 ve 3000 dalga sonucu görülmüş hasarlar

Core-loc T=1.65sn d=0.25m



Şekil 5.9 T=1.65 sn, d=0.25m için düzenli (1) ve düzensiz (2) diziliş hallerinde 1000 ve 3000 dalga sonucu görülmüş hasarlar

Şekillerden de görüldüğü gibi yüksek dalga periyotlarına kadar yapıda hasar oluşturmaktadır. Hatta 0.15 m topuk su derinliği için hiç hasar meydana gelmemiştir. Su yüksekliği ve periyotun artışıyla doğal olarak hasar artmaktadır. Her iki blok için de tam hasar durumu en büyük dalga yüksekliğinde oluşmaktadır. Bloklar arasında hasar olarak çok büyük bir fark göze çarpmamaktadır. Dizilişler arasında fark ise düzenli dizilişte hasarın düzensiz dizilişe göre biraz daha küçük dalga yüksekliklerinde başlamasıdır.

*Bu şekillerden Accropode bloklar için aşağıdaki sonuçlara ulaşılabilmektedir:*

Düzenli yerleşimde hasar dalga yüksekliği dikkate alındığında düzensiz yerleşime göre daha erken başlamaktadır.

Düzenli halde kırılan dalga şartlarında hasar yüzdesinin (%S) düzensiz yerleşime göre daha küçük olduğu ancak  $T=1.50$  sn dalga periyodunda görüldüğü gibi tam hasara daha küçük dalga yüksekliğinde ulaşılmaktadır.

Bu tip blokta tam hasara çok anı ulaşmaktadır. Ancak bu çalışmadaki deney koşullarında kırılan dalga koşullarında dahi, 1.10sn ve 1.65sn arasındaki periyotlu dalgalarda 0.15m topuk su derinliği için hasar gözlenmemiştir.

Düzenli diziliş durumunda dahi dalga etkisinde sallanma ve hasar oluşumları ile birlikte bloklar dönerek düzensiz görünüm almaktadır.

Bu tip bloklarda sakin su seviyesinde bloklarda oturma ile üst bloklardan tipik bir ayrılma hattı görünümü ortaya çıkmaktadır. Bu durum uygulamada tek sıra bloklar için filtre tabakasının ortaya çıkması açısından dikkat edilmesi gereken önemli bir özelliklektir.

Bu tip blokların sallanma ve yerinden çıkma olaylarının meydana gelmesi ile birlikte bloklar birbirine kilitlenerek stabilitelerini artırmaktadırlar.

*Yine bu şekillerden Core-Loc bloklar için aşağıdaki sonuçlara ulaşılabilmektedir:*

Düzenli yerleşimde hasar, dalga yüksekliği dikkate alındığında düzensiz yerleşime göre daha erken başlamaktadır.

Aynı periyot (1.65sn) ve aynı topuk su derinliğinde tam hasar düzenli yerleşimde daha önce meydana gelmektedir. Kırılan dalga koşullarında hasar yüzdelerinin birbirine yakın meydana geldiği görülmüştür.

Bu tip blokta tam hasara çok ani ulaşmaktadır.

1.10sn-1.65sn arasındaki periyoda sahip dalgalarda topuk su derinliğinin 0.15m olması durumunda hasar gözlenmemektedir.

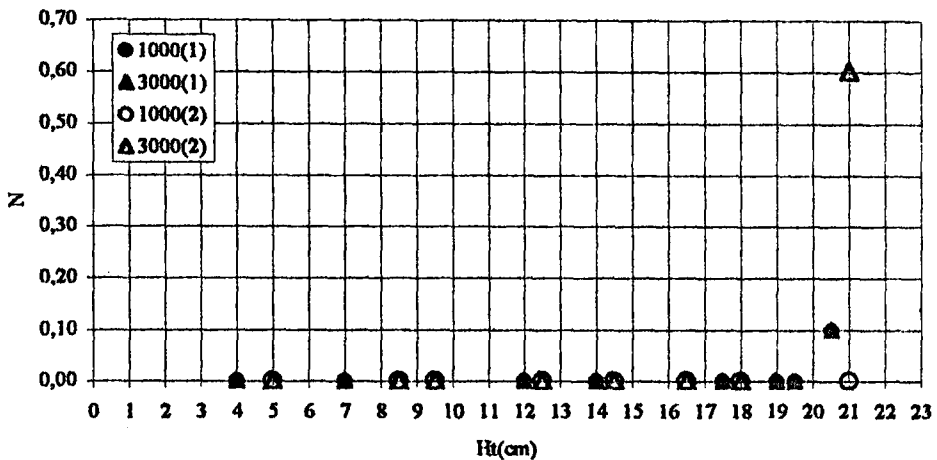
Düzenli diziliş dalga etkisinde sallanma ve hasar oluşumları ile bloklar dönerek düzensiz görünüm almaktadır.

Bu tip bloklarda da sakin su seviyesinde bloklarda oturma ile üst bloklardan tipik bir ayrılma hattı görünümü ortaya çıkmaktadır.

Bu tip bloklarda da sallanma ve yerinden çıkma olaylarının meydana gelmesi ile birlikte bloklar birbirine kilitlenerek stabilitelerini artırmaktadırlar.

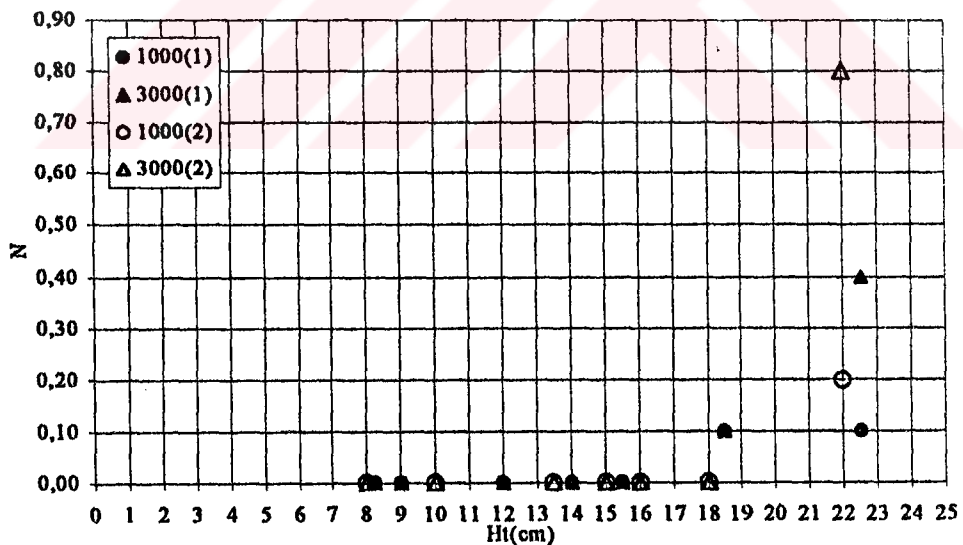
Şekil 5.10'dan Şekil 5.18'e kadar ise Van Der Meer'in (1988b) de vermiş olduğu hasar tanımlama yöntemi kullanılarak elde edilmiş olan hasarın (N) (bkz bölüm 4.5, ekx), topuktaki dalga yüksekliği ile değişimine ait değerler görülmektedir. Yine yukarıdaki şekillerde olduğu gibi hasarın meydana geldiği deneylere ait şekiller aşağıda verilmiştir, hasar olmama durumuna ait şekiller ise Ek 12 ve Ek 13'de gösterilmektedir. Bu şekillerle (%S) grafikleri davranış olarak aynıdır.

Accropode  $T=1.50\text{sn}$   $d=0.20\text{m}$

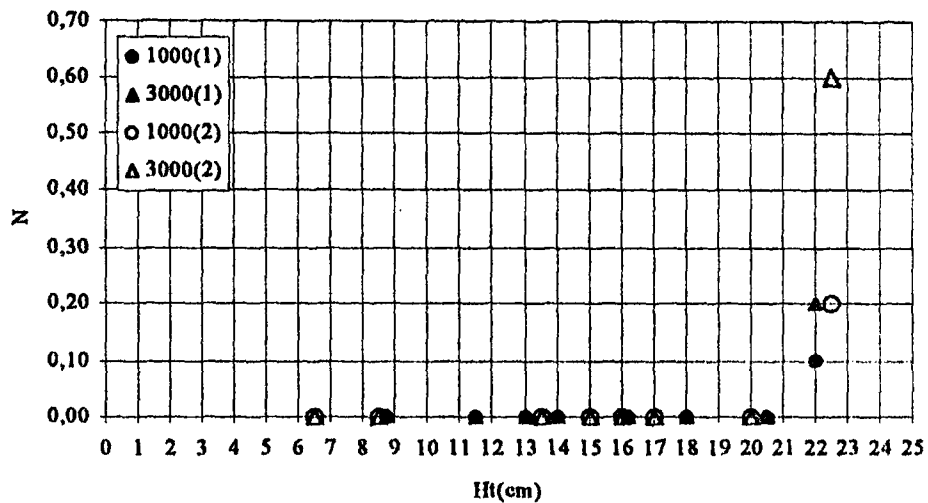


Şekil 5.10  $T=1.50 \text{ sn}$ ,  $d=0.20\text{m}$  için düzenli (1) ve düzensiz (2) diziliş hallerinde Van der Meer hasar parametresinin topuktaki dalga yüksekliği ile değişimi

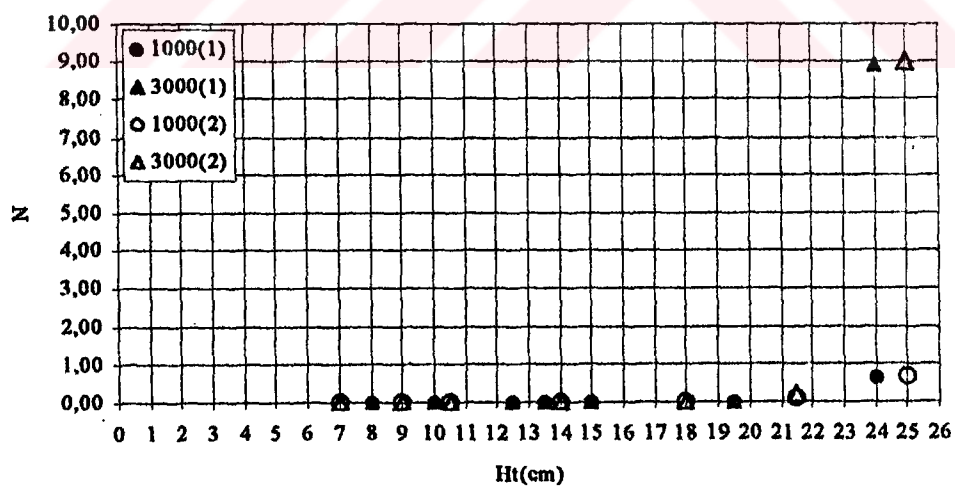
Accropode  $T=1.50\text{sn}$   $d=0.25\text{m}$



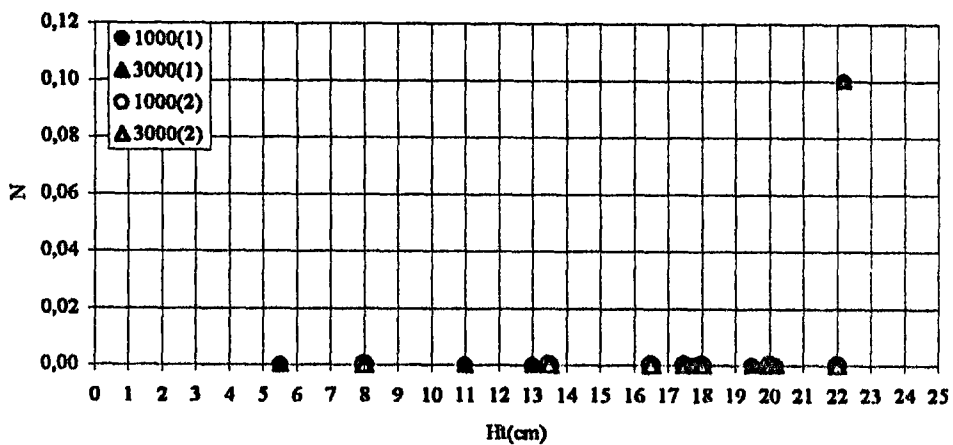
Şekil 5.11  $T=1.50 \text{ sn}$ ,  $d=0.25\text{m}$  için düzenli (1) ve düzensiz (2) diziliş hallerinde Van der Meer hasar parametresinin topuktaki dalga yüksekliği ile değişimi

Accropode  $T=1.65\text{sn}$   $d=0.20\text{m}$ 

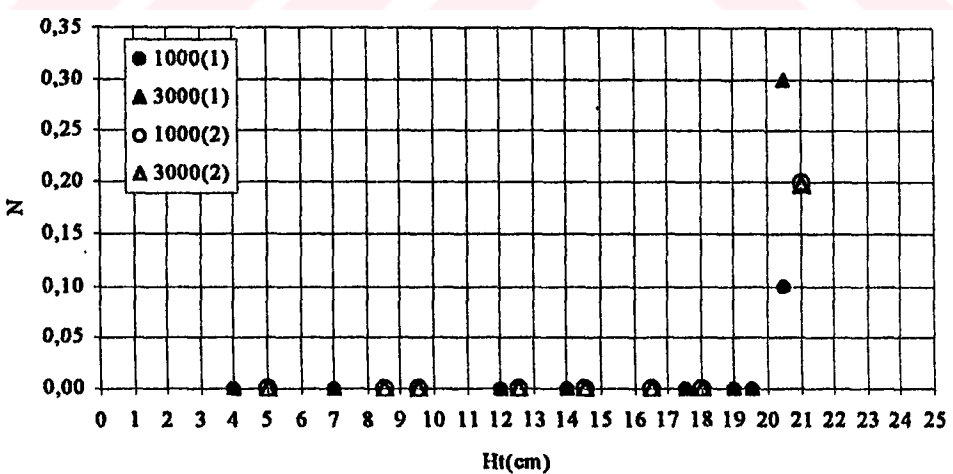
Şekil 5.12  $T=1.65\text{ sn}$ ,  $d=0.20\text{m}$  için düzenli (1) ve düzensiz (2) diziliş hallerinde Van der Meer hasar parametresinin topuktaki dalga yüksekliği ile değişimi

Accropode  $T=1.65\text{sn}$   $d=0.25\text{m}$ 

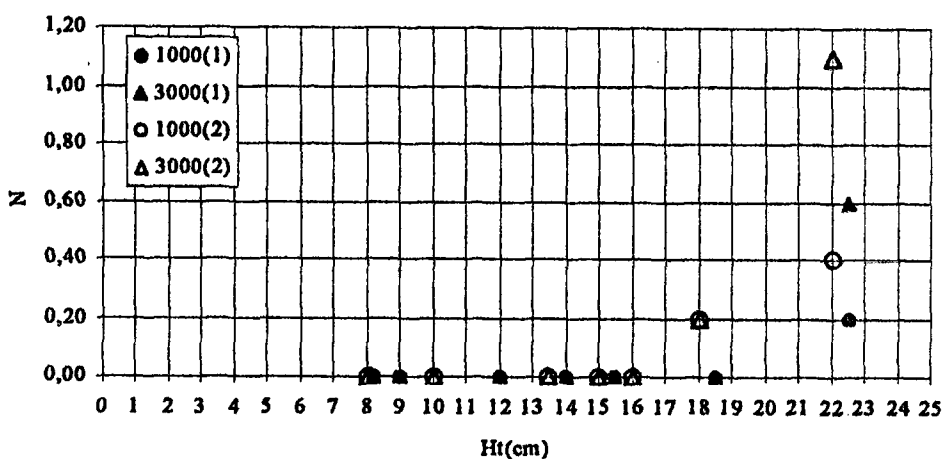
Şekil 5.13  $T=1.65\text{ sn}$ ,  $d=0.25\text{m}$  için düzenli (1) ve düzensiz (2) diziliş hallerinde Van der Meer hasar parametresinin topuktaki dalga yüksekliği ile değişimi

Core-loc  $T=1.35\text{sn}$   $d=0.25\text{m}$ 

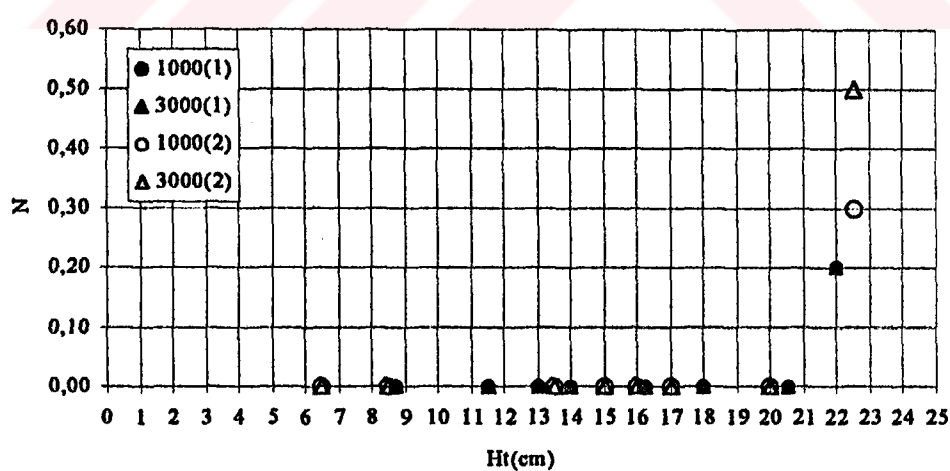
Şekil 5.14  $T=1.35$  sn,  $d=0.25\text{m}$  için düzenli (1) ve düzensiz (2) diziliş hallerinde Van der Meer hasar parametresinin topuktaki dalga yüksekliği ile değişimi

Core-loc  $T=1.50\text{sn}$   $d=0.20\text{m}$ 

Şekil 5.15  $T=1.50$  sn,  $d=0.20\text{m}$  için düzenli (1) ve düzensiz (2) diziliş hallerinde Van der Meer hasar parametresinin topuktaki dalga yüksekliği ile değişimi

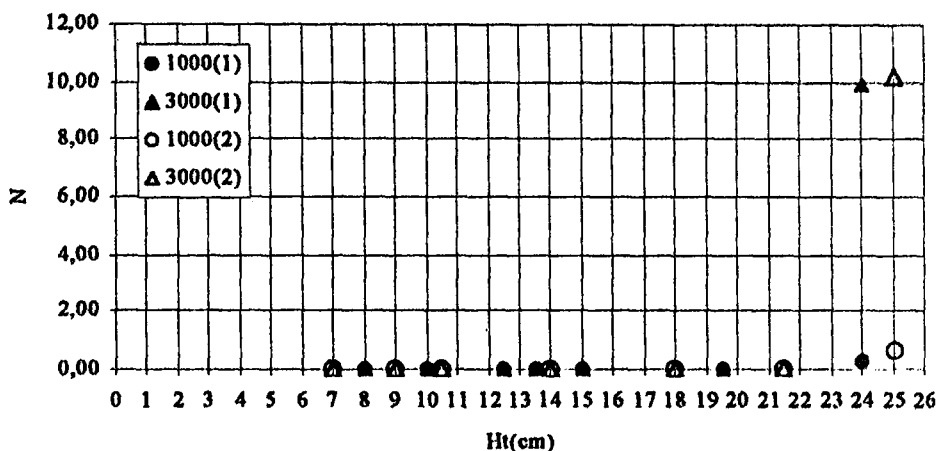
Core-loc  $T=1.50\text{sn}$   $d=0.25\text{m}$ 

Şekil 5.16  $T=1.50$  sn,  $d=0.25\text{m}$  için düzenli (1) ve düzensiz (2) diziliş hallerinde Van der Meer hasar parametresinin topuktaki dalga yüksekliği ile değişimi

Core-loc  $T=1.65\text{sn}$   $d=0.20\text{m}$ 

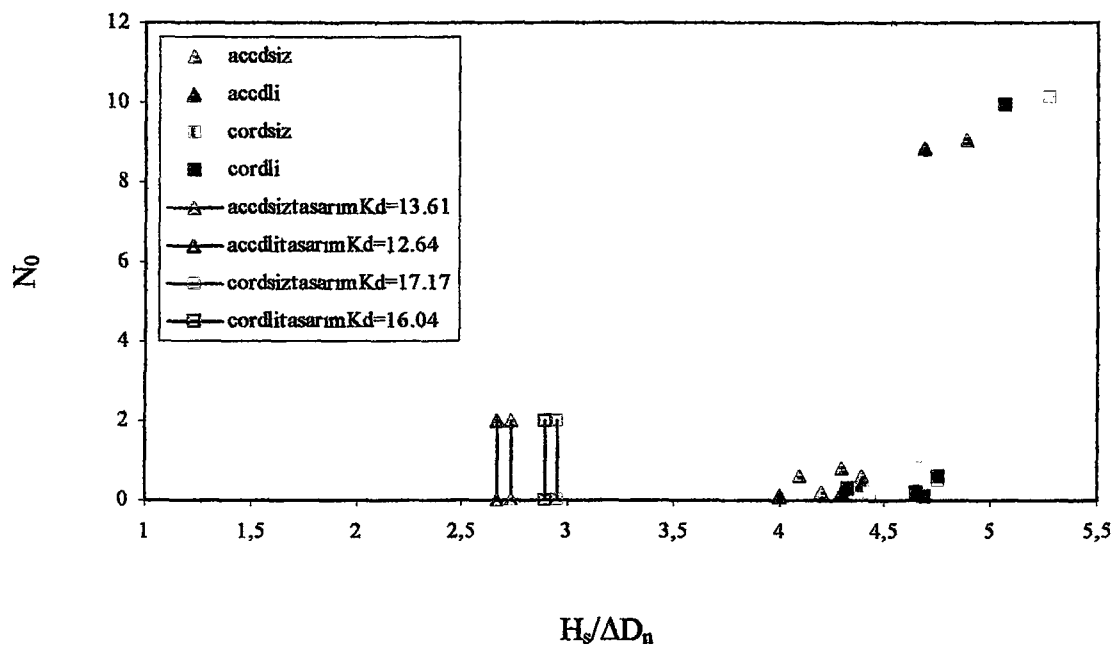
Şekil 5.17  $T=1.65$  sn,  $d=0.20\text{m}$  için düzenli (1) ve düzensiz (2) diziliş hallerinde Van der Meer hasar parametresinin topuktaki dalga yüksekliği ile değişimi

Core-loc T=1.65sn d=0.25m



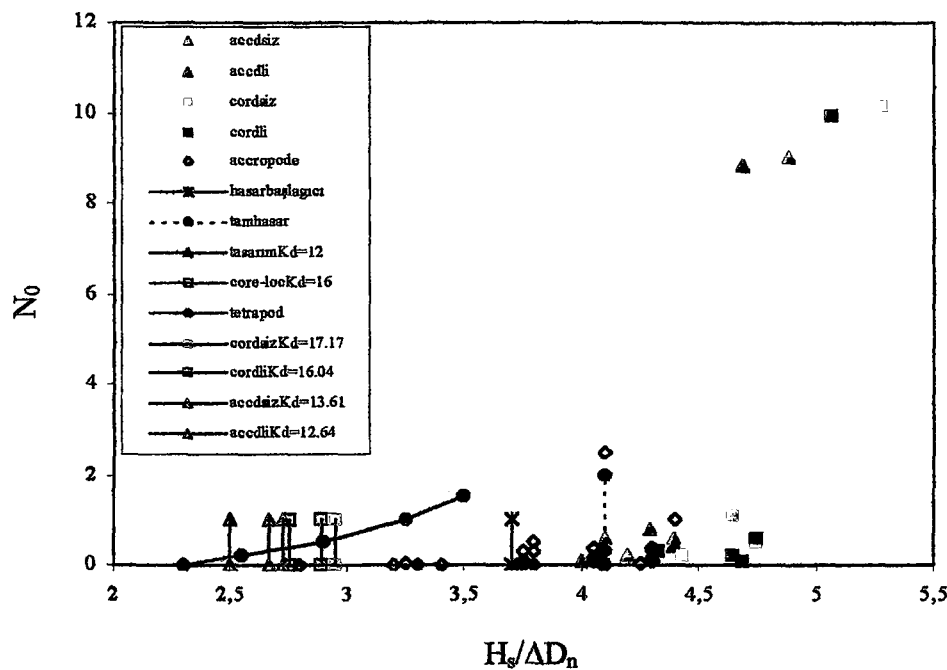
Şekil 5.18 T=1.65 sn, d=0.25m için düzenli (1) ve düzensiz (2) diziliş hallerinde Van der Meer hasar parametresinin topuktaki dalga yüksekliği ile değişimi

Bu hasar parametreleri Van der Meer'in verdiği Şekil 3.13'e benzer şekilde çizildiğinde Şekil 5.19 elde edilmektedir. Şekil 5.19'da  $K_D$ 'ler hesaplanırken Van der Meer'in kullandığı yol kullanılmıştır. Bu yol kısaca hasarın başlangıcı ( $N_0=0$ ) olan (Van der Meer,1999)  $H_s/\Delta D_n$  seçilip güvenlik katsayısı olan 1.5'a bölünmesi prensibine dayanmaktadır. Sonra bu  $H_s/\Delta D_n$  ifadesinde yerine konulmaktadır (Bkz Ek 14 ve Ek 15). Şekil 5.19'da farklı dizilişler için görülen son değerler tam hasara karşılık gelen değerlerdir.



Şekil 5.19 Accropode ve Core-Loc için her iki diziliş için de stabilité grafiği  
(tasarım değeri hasar başlangıcına karşılık gelmektedir.)

Şekil 5.20'de; Şekil 3.13 ve Şekil 5.19 biraraya getirilerek çizilmiş dolayısı ile Van der Meer ile bu çalışmaya ait veriler aynı şekilde gösterilmiştir.



Şekil 5.20 Accropode ve Core-Loc için Van der Meer ve bu çalışma için stabilité grafiği

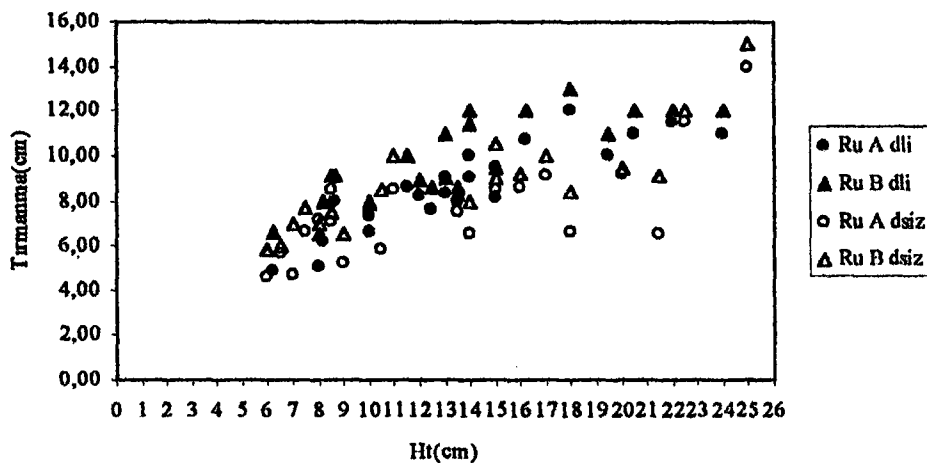
Şekil 5.20'den Core-Loc'un Accropode'ye göre daha stabil olduğu görülmektedir. Aynı zamanda düzensiz dizilişin düzenli dizilişe göre daha stabil olduğu da şeilden görülmektedir. Van der Meer'in hasar başlangıcı ( $N_0=0$ ) için bulduğu  $H_s/\Delta D_n$  değerleri yapılan çalışmadan daha düşük olduğu görülmektedir ki hatta Van der Meer'in Core-Loc için bulduğu  $H_s/\Delta D_n=2.78$  değeri, deneyler sonucu Accropode için hasar başlangıcı ( $N_0=0$ ) için bulunan  $H_s/\Delta D_n=2.73$  değerine çok yakındır. Ancak her iki çalışmadaki eğim farkından dolayıdır zira van der Meer çalışmalarında 1:1.33 eğimi kullanmıştır oysa bu çalışmada eğim 1:1.5 seçilmiştir. Dolayısı ile şekilde aynı gibi görülen değerlerle hesaplanan  $K_D$ 'ler farklıdır. Bu şekil için bütün  $K_D$  hesapları Ek14 ve Ek15'de verilmiştir.  $K_D$  katsayıları Çizelge 5.1'de görülmektedir.

**Çizelge 5.1 Kırılan dalga şartları için  $K_D$  değerleri**

Koruyucu tabaka	Diziliş	$K_D$	Eğim	Açıklama
Accropode	Düzenli	12.64	1:1.5	Bu çalışmada
	Düzensiz	13.61	1:1.5	Bu çalışmada
		12.00	1:1.33	Van der Meer, 1999
Core-Loc	Düzenli	16.04	1:1.5	Bu çalışmada
	Düzensiz	17.17	1:1.5	Bu çalışmada
		16	1:1.33	Van der Meer, 1999

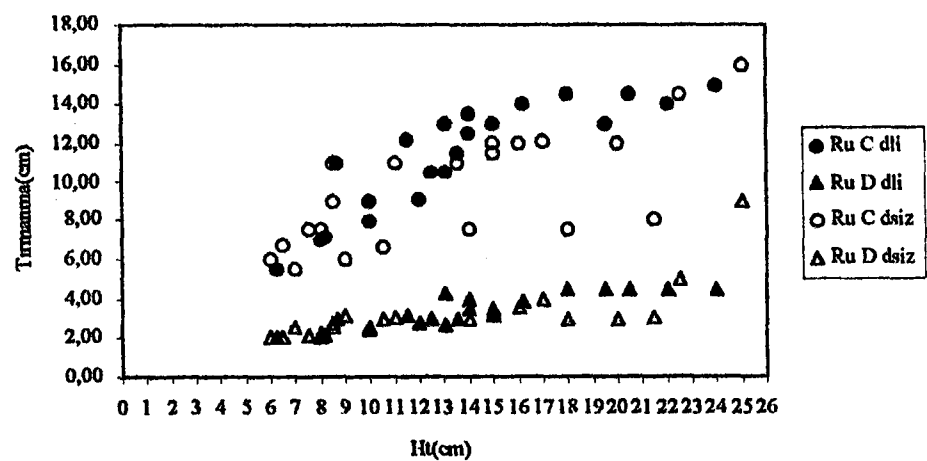
Deneylede ayrıca iki farklı yerlestirmenin sebep olabileceği tırmanma ve geri çekilme farklılıklarının belirlenebilmesi için dalgakıran kesiti üzerinde dört noktada tırmanma ve geri çekilme miktarları ölçülümuştur. İlk nokta (A) olarak koruyucu tabakadaki blokların üzerinde, ikinci nokta (B) olarak koruyucu tabaka ile filtre tabakası arasında, üçüncü nokta (C) olarak filtre tabakası ile çekirdek tabakası arasında ve dördüncü nokta (D) olarak ise üçüncü noktadan itibaren 2  $H_d$  çekirdek içinde olmak üzere belirlenmiştir (Şekil 3.13). Bu noktalarda tırmanma ve geri çekilme ölçümleri yapılmıştır. Bu ölçümlere ait veriler Ek 8 ve Ek 9'da verilmiştir. Şekil 5.21'den Şekil 5.24'e kadar Accropode üzerinde  $T=1.65$  sn için tırmanma ve geri çekilme değerleri, Şekil 5.25'den Şekil 5.28'e kadar ise Core-Loc  $T=1.65$  sn için tırmanma ve geri çekilme değerleri gösterilmiştir. Geri kalan periyotlar için tırmanma ve geri çekilme grafikleri Accropode bloklar için Ek 10'da, Core-Loc bloklar için ise Ek 11'de görülmektedir.

Accropode Üzerinde Tırmanma(cm) T=1.65sn



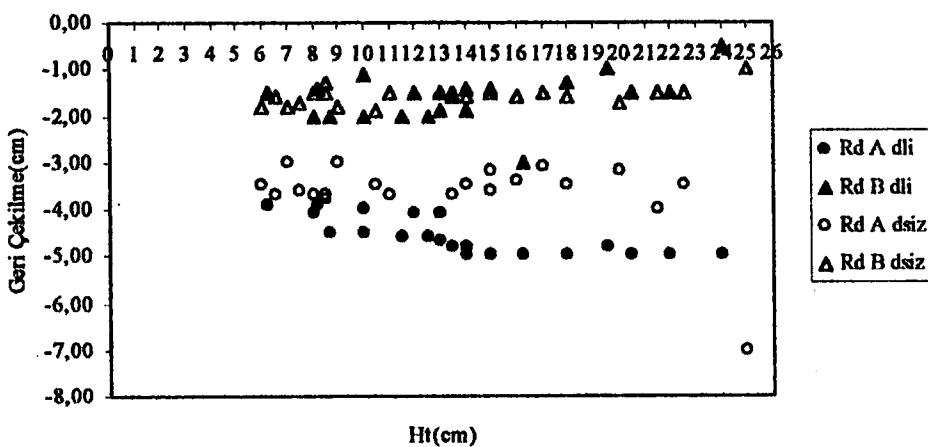
Şekil 5.21 T=1.65 s periyodu için Accropode üzerinde tırmanma grafiği

Accropode Üzerinde Tırmanma(cm) T=1.65sn



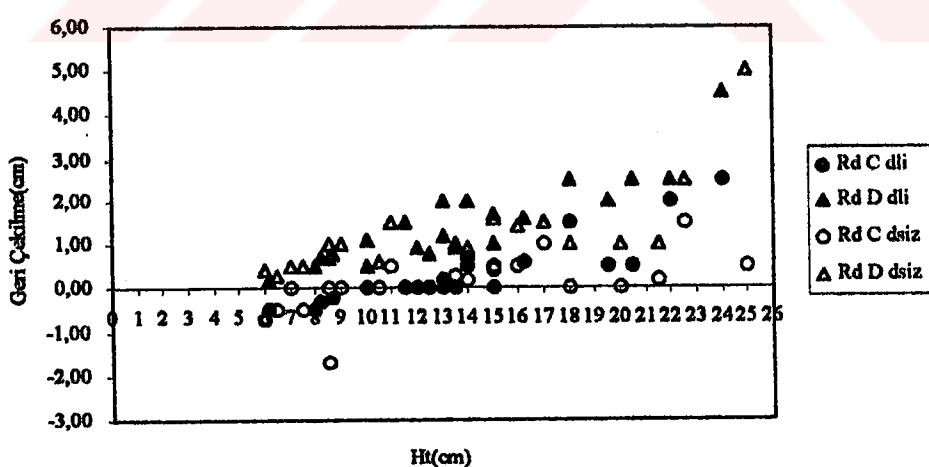
Şekil 5.22 T=1.65 s periyodu için Accropode üzerinde tırmanma grafiği

Accropode Üzerinde Geri Çekilme(cm) T=1.65sn



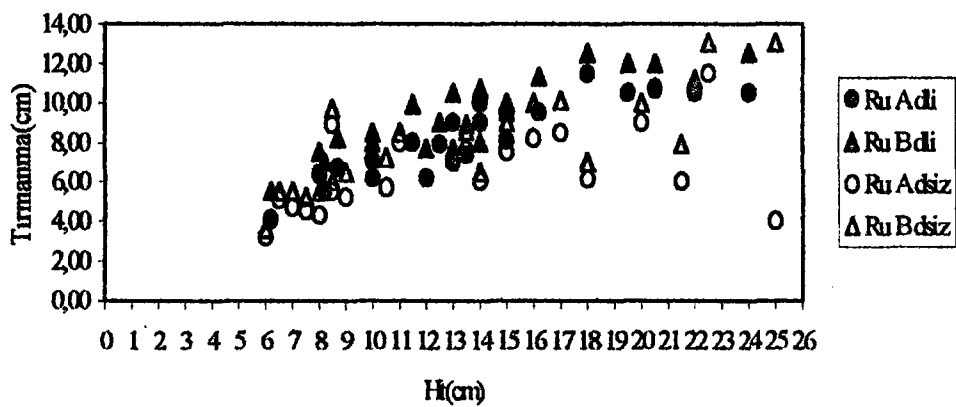
Şekil 5.23 T=1.65 s periyodu için Accropode üzerinde geri çekilme grafiği

Accropode Üzerinde Geri Çekilme(cm) T=1.65sn



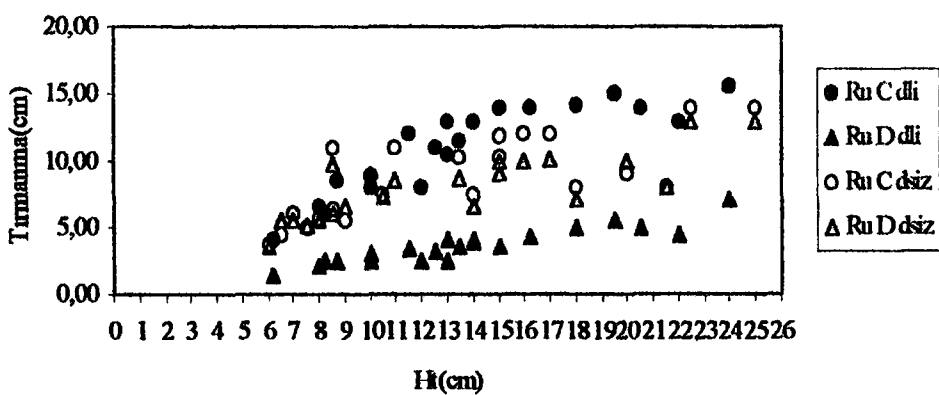
Şekil 5.24 T=1.65 s periyodu için Accropode üzerinde geri çekilme grafiği

Core-Loc Üzerinde Tırmanma(cm) T=1.65sn

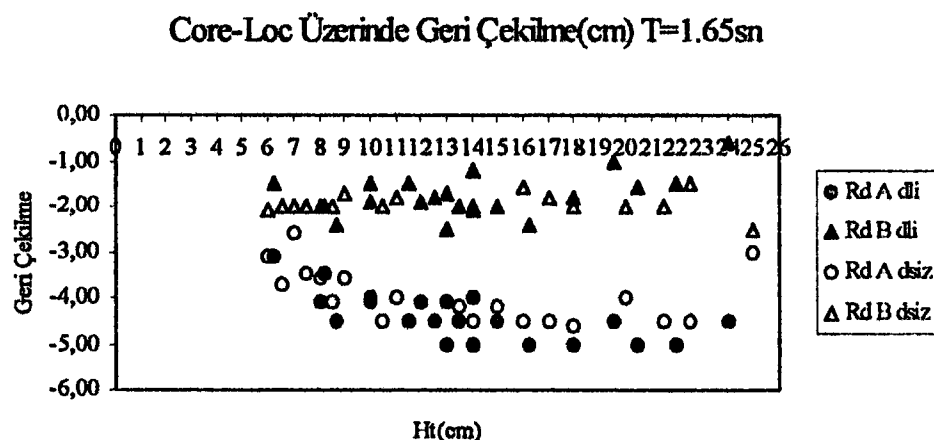


Şekil 5.25 T=1.65 s periyodu için Core-Loc üzerinde tırmanma grafiği

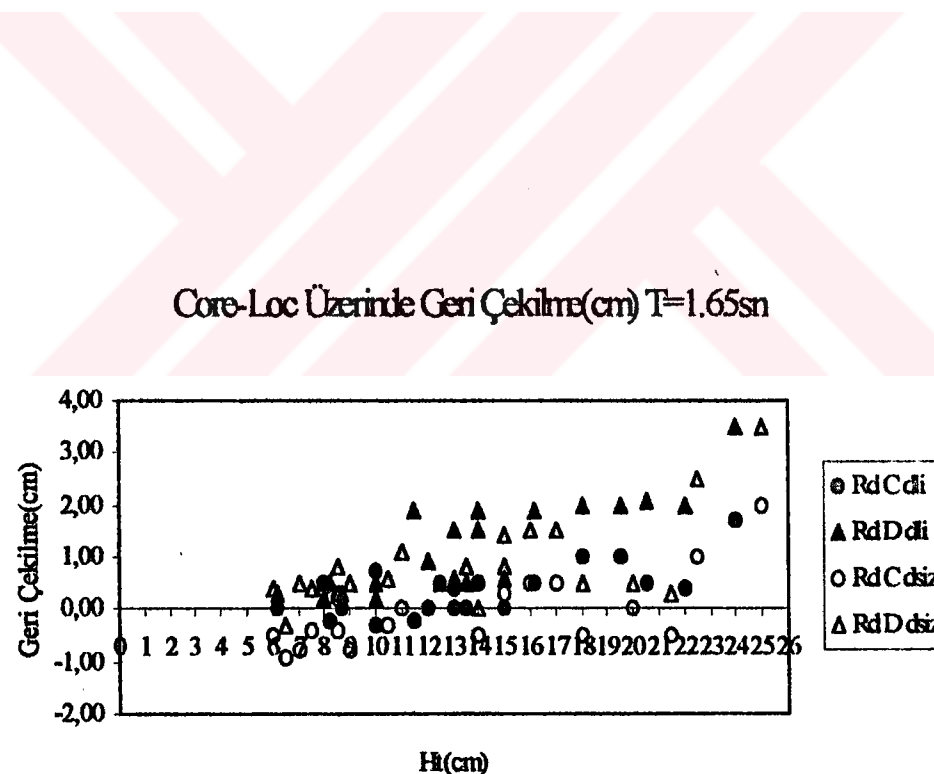
Core-Loc Üzerinde Tırmanma(cm) T=1.65sn



Şekil 5.26 T=1.65 s periyodu için Core-Loc üzerinde tırmanma grafiği



Şekil 5.27 T=1.65 s periyodu için Core-Loc üzerinde geri çekilme grafiği



Şekil 5.28 T=1.65 s periyodu için Core-Loc üzerinde geri çekilme grafiği

Şekil 5.21'den Şekil 5.28'e kadar olan tırmanma grafikleri ile Ek 10 ve Ek 11 incelendiğinde; her iki blokta da tırmanma miktarı periyot ve dalga yüksekliğinin artmasıyla artmaktadır yine her iki blokta da düzenli ve düzensiz yerleşimler karşılaştırıldığında şekillerden de görülebileceği gibi periyotlara göre değişiklikler göstermektedir. Ancak deney sırasında her iki blokta düzenli dizilişlerde tırmanma ve geri çekilme değerleri biraz daha fazla ayrıca Accropode bloklarda gözlenen tırmanma ve geri çekilme Core-Loc bloklara göre daha büyük olduğu gözlemlenmiştir.



## **6.SONUÇLAR ve ÖNERİLER**

### **6.1 Sonuçlar**

Dalgakıranların koruyucu tabakasında taş bloklar yerine Accropode ve Core-Loc beton elemanları kullanıldığından, bu elemanlar şev üzerine tek sıra olmak üzere, düzenli ve düzensiz olmak üzere iki farklı şekilde yerleştirilebilmektedir. Şekil 1.2'de ve Şekil 1.4'te bu dizilişler görülmektedir.

Bu çalışmada; iki farklı yerleştirme şeklinin, dalgakıran üzerinde kırılan ve kırılmayan dalga şartlarında davranışları incelenmeye çalışılmıştır. Bu amaçla üç farklı topuk su derinliğinde ( $d=0.15, 0.20$  ve  $0.25$  m), beş periyotta ( $T=1.10, 1.20, 1.35, 1.50, 1.65$  sn) ve 1000 ve 3000 dalga süresi kadar iki farklı fırtına süresi için toplam 214 adet deney yapılmıştır. İki farklı yerleştirme sonucunda elde edilen poroziteler; düzenli diziliş için Accropode % 58 ve Core-Loc %61 iken, düzensiz dizilişte ise Accropode % 60 ve Core-Loc %63 olarak bulunmuştur.

*Accropode bloklar için aşağıdaki sonuçlara ulaşılmıştır:*

Düzenli yerleşimde hasar dalga yüksekliği dikkate alındığında düzensiz yerleşime göre daha erken başlamaktadır.

Düzenli halde kırılan dalga şartlarında hasar yüzdesinin (%S) düzensiz yerleşime göre daha küçük olduğu ancak  $T=1.65$  sn dalga periyodunda görüldüğü gibi tam hasara daha küçük dalga yüksekliğinde ulaşmaktadır.

Bu tip blokta tam hasara çok ani ulaşmaktadır. Ancak bu çalışmada deney koşullarında kırılan dalga koşullarında dahi, 1.10sn ve 1.65sn arasındaki periyotlu dalgalarda 0.15m topuk su derinliği için hasar gözlenmemiştir.

Düzenli diziliş dalga etkisinde sallanma ve hasar oluşumları ile birlikte bloklar dönerek düzensiz görünüm almaktadır.

Bu tip bloklarda sakin su seviyesinde bloklarda oturma ile üst bloklardan tipik bir ayrılma hattı görünümü ortaya çıkmaktadır. Bu durum uygulamada tek sıra bloklar için filtre tabakasının ortaya çıkması açısından dikkat edilmesi gereken önemli bir özelliktir.

Bu tip blokların sallanma ve yerinden çıkma olaylarının meydana gelmesi ile birlikte bloklar birbirine kilitlenerek stabilitelerini arttırmaktadır.

Bu tip blokta tırmanma yüksekliği; düzenli dizilişte düzensiz dizilişekinden fazla gözlenmiştir.

*Core-Loc bloklar için aşağıdaki sonuçlara ulaşılabilmektedir:*

Düzenli yerleşimde hasar dalga yüksekliği dikkate alındığında düzensiz yerleşime göre daha erken başlamaktadır..

Aynı periyot (1.65sn) ve aynı topuk su derinliğinde tam hasar düzenli yerleşimde daha önce meydana gelmektedir. Kırılan dalga koşullarında hasar yüzdelerinin birbirine yakın meydana geldiği görülmüştür.

Bu tip blokta tam hasara çok ani ulaşmaktadır.

1.10sn-1.65sn arasındaki periyoda sahip dalgalarda topuk su derinliğinin 0.15m olması durumunda hasar gözlenmemiştir.

Düzenli diziliş dalga etkisinde sallanma ve hasar oluşumları ile bloklar dönerek düzensiz görünüm almaktadır.

Bu tip bloklarda da sakin su seviyesinde bloklarda oturma ile üst bloklardan tipik bir ayrılma hattı görünümü ortaya çıkmaktadır.

Bu tip bloklarda da sallanma ve yerinden çıkma olaylarının meydana gelmesi ile birlikte bloklar birbirine kilitlenerek stabilitelerini artırmaktadır.

Bu tip blokta tırmanma yüksekliği; düzenli dizilişte düzensiz dizilişekinden fazla gözlenmiştir.

*Accropode bloklar ve Core-Loc bloklar karşılaştırıldığında aşağıdaki sonuçlar elde edilmektedir:*

Hasar başlangıcı olarak her iki blok da birbirine yakın özellikler göstermekle beraber, Core-Loc bloklarda hasar biraz daha erken başlamakla beraber, Accropode bloklarda tam hasara daha önce ulaşılmaktadır (Core-Loc'a göre daha küçük dalga yüksekliklerinde). Buna göre deneyler Core-Loc blokların Accropode'a göre daha stabil olduğunu göstermektedir. Benzeri sonuç Van der Meer (1999) tarafından da belirlenmiştir.

Yapılan bu çalışmada düzenli dizilişte; Accropode bloklar için  $K_d=12.64$  ve Core-Loc bloklar için  $K_d=16.04$  ve düzensiz dizilişte de; Accropode bloklar için  $K_d=13.61$  ve Core-Loc bloklar için  $K_d=17.17$  olarak hesaplanmıştır.  $K_d$  değerlerinden de görüldüğü gibi düzensiz diziliş düzenli dizilişe göre daha stabbildir. Yine  $K_d$  değerlerinden Core-Loc blokların Accropode bloklara göre daha stabil olduğu görülmektedir

Core-Loc bloklarda kilitlenme Accropode bloklara nazaran daha fazla görülmektedir.

Tırmanma ve geri çekilme yüksekliklerinin Accropode bloklarda Core-Loc bloklardan daha fazla olduğu gözlemlenmiştir.

Aynı şev düşünüldüğünde; Core-Loc bloklar Accropode bloklara göre daha az hacim kaplamaktadır. Düzenli dizilişte Core-Loc bloklar Accropode bloklara göre %12 beton tasarrufu sağlarken, düzensiz dizilişte Core-Loc bloklar Accropode bloklara göre %11 tsarruf sağlamıştır.

Yine aynı şev düşünüldüğünde; Core-Loc blokların toplam ağırlığı Accropode bloklara göre daha azdır. Düzenli dizilişte Accropode bloklar Core-Loc bloklara göre %18 ağırlarken, düzensiz dizilişte Accropode bloklar Core-Loc bloklara göre %17 ağırdır.

## 5.2. Öneriler

1. Bu çalışmada iki farklı yerleştirme şekli dalgakıranın gövde kesiti için araştırılmıştır. Ancak dalgakıranın kafa kesiti içinde çalışılabilir.
2. Deneyler düzenli dalga şartlarında yapılmıştır. Düzensiz dalga şartları için de blokların davranışları araştırılabilir.
3. Core-Loc blokların tamir için kullanılmasına dair deneyler yapılabilir.
4. Bu çalışmada 1:20 taban eğimi ve 1:1.5 şev eğimi kullanılmıştır. Bu eğimlerin değişik değerlerinde oluşacak durumlar araştırılabilir.
5. Deneyler sabit dalga atak açısı ile yürütülmüştür ve dalga cepheleri dalgakırana paralel alınmıştır. Ancak farklı atak açılarının etkileri de incelenebilir.

TC. İLMIYE VE TEKNOLOJİ DANIŞMANLIĞI  
YÖNETİM MÜDÜRLÜĞÜ

## KAYNAKLAR

- Ahrens, J. P., (1975), 'Large Wave Tank Tests of Riprap Stability', CERC, Technical Memorandum No. 51, USA
- Basco, D. R., Yamashita, T., (1988), 'On the Partition of Horizontal Momentum between Velocity and Pressure Components Through the Transition Region of Breaking Waves', Proc. 21<sup>st</sup> Coastal Eng. Conf., 1:682-697.
- Broderick, L. L., (1984), 'Riprap Stability Versus Monochromatic and Irregular Waves', M. Thesis, George Washington University, USA
- Bruun, P. ve Günbak, A. R., (1976), 'New Design Principles for Rubble Mounds, Proceedings of the 15<sup>th</sup> International Conference on Coastal Engineering', Honolulu, Hawaii.
- CERC (Coastal Engineering Research Center), (1984), 'Shore Protection Manual' US Army Coastal Engineering Research Center.
- Godaa, Y., (1970), 'Numerical Experiments on Wave Statistics with Spectral Simulation Rept.', Port and Harbour Research Institute, Vol. 9, No. 3, Japan.
- Galvin, C. J., (1968), 'Breaker Type Classification on Three Laboratory Beaches', Journal of Geophysical Research, Vol. 73, No. 12.,
- Günbak, A. R., (1979), 'Rubble Mound Breakwaters', Report No:1, Division of Port Ocean Engineering, The University of Trondheim, Trondheim, Norway.
- Gürer S., (2000), 'Tetrapod Dalgakırınlarının Stabilitesinin İncelenmesi' Yüksek Lisans Tezi, Yıldız Teknik Üniversitesi, İstanbul, Türkiye.
- Hedar, P. A., (1960), 'Stability of Rock-Fill Breakwaters' Doctoral Thesis, University of Goteborg, Sweden.
- Hedar, P. A., (1986), 'Armor Layer Stability of Rubble Mound Breakwaters' Journal of Waterway, Port, Coastal and Ocean Eng., Vol. 112, No. 3.
- Hudson, R. Y., (1959), 'Laboratory Investigations of Rubble Mound Breakwaters', WES, Research Report No. 2-2, USA
- Ivano Melito ve Jeffrey A. Melby., (2002), 'Wave runup, transmission, and reflection for structures armored with Core-Loc' US Army Engineer Research and Development Center, USA.
- Losada, M. A. ve Gimenez-Curto, I. A., (1979), 'The Joint Effect of Wave Height and Period in The Stability of Rubble Mound Breakwaters Using Irribaren's Number.', Coastal Eng., Vol.3, 77-96
- Losada, M. A., Desire J. M., (1986), 'Stability of Blocks As Breakwater Armor Units', Journal of Structural Eng., Vol.112, No. 11.

- Nadaoka, K., Kondoh, T., (1982), 'Laboratory Measurements of Velocity Field Structure in the Surf Zone by LDV', Coastal Eng. in Japan, Vol. 25, pp. 125-145.
- Sandström, A., (1974), 'Wave Forces on Blocks of Rubble Mound Breakwaters', Bulletin No. 83, Hydraulics Lab., Royal Inst. Of Tech., Stockholm, Sweden.
- Sawaragi, T., Iwata K., ve Kobayashi, N., (1982), 'Condition and Probability of Occurrence of Resonance on Steep Slopes of Coastal Structures.', Coastal Eng. In Japan, Vol. 25
- Sawaragi, T., Ryu, C., ve Iwata, K., (1983), 'Considerations of the Destruction Mechanism of Rubble Mound Breakwaters due to the Resonance Phenomenon.', 8<sup>th</sup> Int. Harbor Congress, Antwerp, Belgium, 3197-3208.
- Sigurdson, G., (1962), 'Wave Forces on Breakwaters Capstones', Proceedings of the Am. Soc. Of Civ. Eng.: Journal of the Waterways and Harbours Division, Vol. 88, WW3.
- Sogreah Laboratory Manuel', (1998), 'Sogreah Laboratory Manuel', France
- Thompson, D. M., ve Shuttler, R. M., (1975), 'Riprap Design for Wind Wave Attact. A Laboratory Study in Random Waves.', HRS, Wallingford, Report EX 707, UK
- Tümer D., (2001), 'Kirilan Dalga Şartlarında Tetrapod Dalgakırınlarının Stabilitelerinin İncelenmesi' Yüksek Lisans Tezi, Yıldız Teknik Üniversitesi, İstanbul, Türkiye.
- Van Der Meer, J. W., (1988 a), 'Rock Slopes and Gravel Beaches under Wave Attact', Doctorate Thesis, Delft Technical University, Netherlands.
- Van Der Meer, J. W., (1988 b), 'Stability of Cubes, Tetrapods and Accropode', ICE, Design of Breakwaters, Proc. Cnf. Breakwaters'88, Thomas Telford, London, Ch. 6: 59-68.
- Van Der Meer, J. W., (1999), 'Design of Concrete Armour Layers', Coastal Structures 1999, Vol. 1, 213-221.
- Yüksel, Y., Çevik, E. ve Çelikoğlu, Y., (1998), 'Kıyı ve Liman Mühendisliği', İnşaat Mühendisleri Odası, Ankara, Türkiye
- Yüksel, Y. and Narayanan, R., (1994a), 'Breaking Wave Forces on Horizontal Cylinders Close to the Sea Bed', Coastal Eng., Vol.23, pp. 115-148

**EKLER**

- Ek 1 Accropode blokların Özellikleri ve Tasarım dalgasının hesaplanması**
- Ek 2 Core-Loc blokların Özellikleri ve Tasarım dalgasının hesaplanması**
- Ek 3 Hasarın hesaplanması**
- Ek 4 Accropode için porozitenin hesaplanması**
- Ek 5 Core-Loc için porozitenin hesaplanması**
- Ek 6 Accropode için dalga şartları**
- Ek 7 Core-Loc için dalga şartları**
- Ek 8 Accropode için tırmanma ve geri çekilme değerleri**
- Ek 9 Core-Loc için tırmanma ve geri çekilme değerleri**
- Ek 10 Accropode için tırmanma ve geri çekilme grafikleri**
- Ek 11 Core-Loc için tırmanma ve geri çekilme grafikleri**
- Ek 12 Accropode için hasar grafikleri**
- Ek 13 Core-Loc için hasar grafikleri**
- Ek 14 Accropode için  $K_d$  hesaplamaları**
- Ek 15 Core-Loc için  $K_d$  hesaplamaları**
- Ek 16 Accropode için  $H_0/d$  ve  $\xi$  tabloları**
- Ek 17 Core-Loc için  $H_0/d$  ve  $\xi$  tabloları**
- Ek 18 Accropode ve Core-Loc'un hacimsel karşılaştırılması**
- Ek 19 Accropode ve Core-Loc'un ağırlık olarak karşılaştırılması**

### **Ek 1 Accropode Blokların Özellikleri ve Tasarım Dalgasının Hesaplanması**

Accropode yüksekliği	: h=7.1 cm
Nominal çap	: $D_n = 0.7h = 4.97 \text{ cm}$
Suya doygun ağırlığı	: $W = 245.63 \text{ gr}$
Özgül ağırlığı	: $\gamma_r = 2.03 \text{ gr/cm}^3$

Hudson Formülü:

$$W = \frac{\gamma_r H_d^3}{K_D \left( \frac{\gamma_r}{\gamma_w} - 1 \right)^3 \cot \alpha}$$

$K_D = 12$  alınarak (Van der Meer, 1999)

$$245.63 = \frac{2.03 H_d^3}{12 \times \left( \frac{2.03}{1} - 1 \right)^3 \times 1.5}$$

$H_d = 13.35 \text{ cm}$

## Ek 2 Core-Loc Blokların Özellikleri ve Tasarım Dalgasının Hesaplanması

Accropode yüksekliği	: h=7.2 cm
Nominal çap	: D <sub>n</sub> =0.7h=5.04 cm
Suya doygun ağırlığı	: W=184.14 gr
Özgül ağırlığı	: γ <sub>r</sub> =1.94 gr/cm <sup>3</sup>

Hudson Formülü:

$$W = \frac{\gamma_r H_d^3}{K_D \left( \frac{\gamma_r}{\gamma_w} - 1 \right)^3 \cot \alpha}$$

K<sub>D</sub>=16 alınarak (Van der Meer, 1999)

$$184.14 = \frac{1.94 H_d^3}{16 \times \left( \frac{1.94}{1} - 1 \right)^3 \times 1.5}$$

H<sub>d</sub>=15.43 cm

### Ek 3 Hasarın hesaplanması

Dalgakıran kesitinde ortaya çıkan hasar hem klasik olarak çok fazla tercih edilen hasarın toplam blok adedine yüzdesi olan yüzde hasar ile, hem de Van der Meer' in önerdiği hasar parametresi yöntemiyle hesaplanıp grafikleri çizilmiştir.

Dalgakıranın koruyucu tabakasında, kırılan dalganın etkisi altında kalan Accropode sayısı düzensiz yerleştirme için 90 adettir. Örnek olarak yapılan herhangi bir deney sonunda bu bölgedeki toplam yerlerinden ayrılmış olan Accropode adedi 6 olursa; bu koşul için hasar her iki yöntemle de şöyle belirlenir;

**Yüzde Hasar:**

$$\%S = \frac{6}{90} \times 100 = 6.67$$

**Van der Meer' in önerdiği yöntem:**

$$Dn = 4.97 \text{ cm}$$

Dalgakıran şevine yerleştirilen Accropode adedi: 90

Accropode'nin yerleştirildiği şev genişliği : 46 cm

$$\text{Dn genişliği içine sığacak Accropode adedi} = \frac{4.97 \times 90}{46} = 9.729$$

Örnek; yerinden çıkan Accropode sayısı 6 ise hasar parametresi;

$$N_0 = \frac{9.729 \times 6}{90} = 0.65$$

olur.

#### Ek 4 Accropode için porozitenin Hesaplanması

Düzenli diziliş için kesitin Accropode için  $46-7.1=38.9$  cm genişliğinde, 80 cm uzunluğundaki bölgede bulunan Accropode sayısı hesaplanmıştır. Porozitenin daha kolay hesaplanabilmesi için üst sıradaki  $1 \times 5 = 5$  adet Accropode hesaba katılmamıştır. Bu Accropodeların hesaba katılmamasındaki tek sebep porozite için bilinmesi gereken alanın dolayısıyla hacmin daha kolay hesaplanabilmesi içindir. Bu alan ise sınırlarda bulunan Accropodeların eksenleri arasındaki mesafelerin çarpımından bulunur ve hacme; tabaka yüksekliğinin, bulunan alan ile çarpılması ile ulaşılır. Bu hacim içinde kenarda bulunan alt sıradaki Accropodeların yarı hacimlerinin porozite hesabına girmesi gereği unutulmamalıdır.

Şev genişliği	: 38.9 cm (46-2×7.1/2) (İki yan yüzeyde kalan boşlıklar hesaba katılmadı )
Şev uzunluğu	: 80 cm
Accropodeların oturdukları alan	: $80 \times 38.9 = 3112 \text{ cm}^2$ (şev alanı)
Accropode'un yüksekliği	: 7.1 cm (*)
Accropode'un yerleşeceği alanının boş hacmi	: $3112 \times 7.1 = 22095.2 \text{ cm}^3$ (brüt hacim)
Bir Accropode'un hacmi	: 121 $\text{cm}^3$
Hacim içindeki Accropode adedi	: Toplam $82-5=75$
Hacim içindeki toplam Accropode hacmi	: $75 \times 121 = 9075 \text{ cm}^3$
Porozite	: $1 - \frac{9075}{22095.2} = 0.58$

Düzensiz diziliş için ise porozitenin hesaplanabilmesi için toplam 90 adet Accropode kullanılmıştır. Yine yukarıdaki sebepler yüzünden en üst sıradaki 6 adet Accropode hesaba katılmamıştır.

Accropodeların oturdukları alan	: $80 \times 46 = 3680 \text{ cm}^2$ (şev alanı)
Accropode'un yüksekliği	: 7.0 cm (*)
Accropode'un yerleşeceği alanının boş hacmi	: $3680 \times 7.0 = 25760 \text{ cm}^3$ (brüt hacim)
Bir Accropode hacmi	: 121 $\text{cm}^3$
Hacim içindeki Accropode adedi	: Toplam $90-6=84$
Hacim içindeki toplam Accropode hacmi	: $84 \times 121 = 10164 \text{ cm}^3$
Porozite	: $1 - \frac{10164}{25760} = 0.60$

(\*)Not: Her ne kadar Accropode yüksekliği 7.1 cm ise de şev üzerine yerleştirildiğinde aldığı konumdan dolayı yükseklik değişmektedir. Bu nedenle Accropode yüksekliği şev üzerinde ölçülerek bulunmuştur. Ölçümlerde çok sayıda Accropode'nin yüksekliği ölçülerek ortalaması alınmış ve düzenli diziliş için 7.1 cm düzensiz diziliş için 7.0 cm olarak belirlenmiştir. Porozite hesaplarında bu değerler dikkate alınmıştır.

### Ek 5 Core-Loc için porozitenin Hesaplanması

Düzenli diziliş için kesitin Core-Loc için  $(46-7,2)=38.8\text{cm}$  genişliğinde,  $80\text{ cm}$  uzunluğundaki bölgede bulunan Core-Loc sayısı hesaplanmıştır. Porozitenin daha kolay hesaplanabilmesi için üst sıradaki  $1\times 5=5$  adet Core-Loc hesaba katılmamıştır. Bu Core-Locların hesaba katılmamasındaki tek sebep porozite için bilinmesi gereken alanın dolayısıyla hacmin daha kolay hesaplanabilmesi içindir. Bu alan ise sınırlarda bulunan Core-Locların eksenleri arasındaki mesafelerin çarpımından bulunur ve hacme; tabaka yüksekliğinin, bulunan alan ile çarpılması ile ulaşılır. Bu hacim içinde kenarda bulunan alt sıradaki Core-Locların yarı hacimlerinin porozite hesabına girmesi gerektiği unutulmamalıdır.

Core-Locların oturdukları alan	$: 80 \times 38.8 = 3104 \text{ cm}^2$ (şev alanı)
Core-Loc'un yüksekliği	$: 6.9 \text{ cm (*)}$
Core-Loc'un yerleşeceği alanının boş hacmi	$: 3104 \times 6.9 = 21107.2 \text{ cm}^3$ (brüt hacim)
Bir Core-Loc'un hacmi	$: 95 \text{ cm}^3$
Hacim içindeki Core-Loc adedi	$: \text{Toplam } 90-5=85$
Hacim içindeki toplam Core-Loc hacmi	$: 85 \times 95 = 8075 \text{ cm}^3$
Porozite	$: 1 - \frac{8075}{21107.2} = 0.61$

Düzensiz diziliş için ise porozitenin hesaplanabilmesi için toplam 102 adet Core-Loc kullanılmıştır. Yine yukarıdaki sebepler yüzünden en üst sıradaki 6 adet Core-Loc hesaba katılmamıştır.

Core-Locların oturdukları alan	$: 80 \times 46 = 3680 \text{ cm}^2$ (şev alanı)
Core-Loc'un yüksekliği	$: 6.8 \text{ cm (*)}$
Core-Loc'un yerleşeceği alanının boş hacmi	$: 3680 \times 6.8 = 25024 \text{ cm}^3$ (brüt hacim)
Bir Core-Loc hacmi	$: 95 \text{ cm}^3$
Hacim içindeki Core-Loc adedi	$: \text{Toplam } 102-6=96$
Hacim içindeki toplam Core-Loc hacmi	$: 96 \times 95 = 9120 \text{ cm}^3$
Porozite	$: 1 - \frac{9120}{25024} = 0.63$

(\*)Not: Her ne kadar Core-Loc yüksekliği  $7.2\text{ cm}$  ise de şev üzerine yerleştirildiğinde aldığı konumdan dolayı yükseklik değişmektedir. Bu nedenle Core-Loc yüksekliği şev üzerinde ölçülerek bulunmuştur. Ölçümlerde çok sayıda Core-Loc'un yüksekliği ölçülerek ortalaması alınmış ve düzenli diziliş için  $6.9\text{ cm}$  düzensiz diziliş için  $6.8\text{ cm}$  olarak belirlenmiştir. Porozite hesaplarında bu değerler dikkate alınmıştır.

**Ek 6 Accropode İçin Dalga Şartları**  
**Çizelge 6.1 Düzenli diziliş için dalga şartları**

ACCROPODE (Düzenli diziliş)									
T(sn)	d(m)	H <sub>i</sub> (cm)	L(m)	H <sub>b</sub> (cm)	H <sub>b</sub> (cm)	H <sub>o</sub> (cm)	L <sub>o</sub> (m)	H <sub>o</sub> /L <sub>o</sub> (-)	$\zeta$ (-)
1,10	0,15	5,027	1,810	4,000	-	5,362	1,888	0,028	3,956
		6,254		5,500	-	6,670		0,035	3,547
		6,988		7,500	-	7,453		0,039	3,355
		8,183		9,000	-	8,728		0,046	3,101
		9,284		11,000	10,754	9,902		0,052	2,911
	0,20	6,141	1,810	5,200	-	6,488	1,888	0,034	3,596
		7,103		6,000	-	7,504		0,040	3,344
		8,547		7,000	-	9,030		0,048	3,048
		9,200		8,200	-	9,720		0,051	2,938
		10,742		10,000	-	11,349		0,060	2,719
		12,013		12,500	13,263	12,692		0,067	2,571
1,20	0,25	6,643	1,820	6,500	-	6,956	2,246	0,037	3,473
		7,845		9,000	-	8,215		0,044	3,196
		10,380		10,000	-	10,869		0,058	2,779
		12,595		12,500	-	13,188		0,070	2,522
		13,655		15,000	14,298	14,298		0,076	2,423
	0,15	4,079	2,070	6,000	-	4,415	2,246	0,020	4,755
		5,762		7,000	-	6,237		0,028	4,001
		7,276		8,700	-	7,875		0,035	3,560
		8,016		10,000	-	8,676		0,039	3,392
		8,877		12,000	-	9,608		0,043	3,223
	0,20	9,154	2,120	12,700	-	9,908	2,246	0,044	3,174
		11,959		14,000	13,785	12,944		0,058	2,777
		5,315		4,000	-	5,711		0,025	4,181
		6,681		7,000	-	7,178		0,032	3,729
		7,607		7,500	-	8,173		0,036	3,495
	0,25	9,109	2,100	11,500	-	9,787	2,246	0,044	3,194
		9,971		12,000	-	10,713		0,048	3,052
		11,300		13,500	-	12,141		0,054	2,867
		13,880		15,000	-	14,914		0,066	2,587
		14,430		17,000	16,155	15,504		0,069	2,537
	0,25	6,136	2,100	7,000	-	6,542	2,246	0,029	3,906
		7,509		8,200	-	8,005		0,036	3,531
		7,530		9,000	-	8,028		0,036	3,526
		9,128		10,000	-	9,731		0,043	3,203
		11,343		12,500	-	12,093		0,054	2,873
	0,25	12,085		14,500	-	12,884	2,246	0,057	2,784
		14,020		18,000	-	14,947		0,067	2,584
		14,870		20,000	-	15,853		0,071	2,509

Çizelge 6.1 Devam

ACCROPODE (Düzenli diziliş)									
T(sn)	d(m)	H <sub>i</sub> (cm)	L(m)	H <sub>t</sub> (cm)	H <sub>b</sub> (cm)	H <sub>o</sub> (cm)	L <sub>o</sub> (m)	H <sub>o</sub> /L <sub>o</sub> (-)	$\zeta(-)$
1,20	0,25	15,180	2,100	20,500	16,733	16,183	2,246	0,072	2,484
		2,089	2,400	7,000	-	2,286	2,843	0,008	7,435
		3,262		8,000	-	3,569		0,013	5,950
		5,560		8,700	-	6,083		0,021	4,558
		6,042		10,200	-	6,611		0,023	4,372
		6,804		10,700	-	7,444		0,026	4,120
		7,768		11,500	-	8,499		0,030	3,856
		8,272		12,500	-	9,050		0,032	3,737
		8,902		14,500	11,766	9,740		0,034	3,602
		6,416		9,000	-	6,998		0,025	4,249
1,35	0,20	7,958	2,540	12,000	-	8,680	3,510	0,031	3,815
		8,894		13,000	-	9,701		0,034	3,609
		10,771		14,000	-	11,748		0,041	3,279
		11,422		15,700	-	12,459		0,044	3,185
		12,416		17,000	-	13,543		0,048	3,055
		12,790		18,700	-	13,951		0,049	3,010
		13,195		20,000	-	14,392		0,051	2,963
		13,405		21,000	15,982	14,622		0,051	2,940
		4,940	2,570	5,500	-	5,365		0,019	4,853
		6,605		11,000	-	7,173		0,025	4,197
1,50	0,25	8,847		13,000	-	9,608		0,034	3,626
		11,588		17,700	-	12,585		0,044	3,169
		12,084		19,500	-	13,123		0,046	3,103
		15,415		20,200	-	16,741		0,059	2,747
		17,390		22,200	19,415	18,886		0,066	2,587
		5,003	2,860	8,000	-	5,472	3,510	0,016	5,339
		6,742		8,700	-	7,374		0,021	4,600
		7,132		9,000	-	7,801		0,022	4,472
		7,942		10,000	-	8,686		0,025	4,238
1,50	0,15	9,320		11,500	-	10,194		0,029	3,912
		9,659		12,000	-	10,564		0,030	3,843
		9,771		13,500	13,058	10,687		0,030	3,821
		6,853	2,870	4,000	-	7,505		0,021	4,559
		7,313		7,000	-	8,009		0,023	4,413
		7,538		12,000	-	8,255		0,024	4,347
		9,017		14,000	-	9,875		0,028	3,975
1,50	0,20	11,483		17,500	-	12,576		0,036	3,522
		13,210		19,000	-	14,467		0,041	3,284
		14,075		19,500	-	15,415		0,044	3,181

## Çizelge 6.1 Devam

ACCROPODE (Düzenli diziliş)									
T(sn)	d(m)	H <sub>i</sub> (cm)	L(m)	H <sub>b</sub> (cm)	H <sub>b</sub> (cm)	H <sub>o</sub> (cm)	L <sub>o</sub> (m)	H <sub>o</sub> /L <sub>o</sub> (-)	$\zeta$ (-)
1,50	0,25	0,20	15,635	2,870	20,500	19,263	17,123	3,510	0,049 3,018
			6,239		8,200	-	6,830		0,019 4,779
			8,220		9,000	-	8,998		0,026 4,164
			10,250		12,000	-	11,221		0,032 3,729
			12,310	3,000	14,000	-	13,476		0,038 3,402
			14,225		15,500	-	15,572		0,044 3,165
			16,725		18,500	-	18,309		0,052 2,919
			18,910		22,500	22,060	20,701		0,059 2,745
1,65	0,20	0,15	4,949		6,200	-	5,370	4,247	0,013 5,929
			6,753		8,200	-	7,327		0,017 5,075
			7,660	3,160	10,000	-	8,312		0,020 4,765
			8,151		12,000	-	8,844		0,021 4,620
			10,070		13,000	-	10,927		0,026 4,156
			10,463		14,000	14,373	11,353		0,027 4,077
			8,635		8,700	-	9,416		0,022 4,477
			10,735		11,500	-	11,705		0,028 4,016
	0,25	0,20	12,117		13,000	-	13,212		0,031 3,780
			12,774	3,300	14,000	-	13,929		0,033 3,681
			13,729		16,200	-	14,970		0,035 3,551
			14,115		18,000	-	15,391		0,036 3,502
			15,894		20,500	-	17,331		0,041 3,300
			16,970		22,000	20,990	18,504		0,044 3,194
			6,917		8,000	-	7,565		0,018 4,995
			10,068		10,000	-	11,010		0,026 4,140
	0,25	0,20	13,403		12,500	-	14,658		0,035 3,589
			14,068	3,430	13,500	-	15,385		0,036 3,503
			15,180		15,000	-	16,601		0,039 3,372
			17,185		19,500	-	18,794		0,044 3,169
			19,910		24,000	23,815	21,774		0,051 2,944

Çizelge 6.2 Düzensiz diziliş için dalga şartları

ACCROPODE (Düzensiz diziliş)									
T(sn)	d(m)	H <sub>i</sub> (cm)	L(m)	H <sub>i</sub> (cm)	H <sub>b</sub> (cm)	H <sub>o</sub> (cm)	L <sub>o</sub> (m)	H <sub>o</sub> /L <sub>o</sub> (-)	$\zeta$ (-)
1,10	0,15	5,697	1,810	4,500	-	6,076	1,888	0,032	3,716
		7,677		5,000	-	8,188		0,043	3,201
		8,150		8,000	-	8,692		0,046	3,107
		9,376		8,500	-	10,000		0,053	2,897
		9,953		11,500	11,444	10,615		0,056	2,812
	0,20	5,314	1,810	5,000	-	5,614		0,030	3,866
		8,144		6,500	-	8,604		0,046	3,123
		8,923		7,500	-	9,427		0,050	2,983
		9,213		8,000	-	9,734		0,052	2,936
		11,195		10,500	-	11,828		0,063	2,664
		12,015		13,500	13,289	12,694		0,067	2,571
1,20	0,25	5,728	1,820	6,000	-	5,998	2,246	0,032	3,740
		7,849		8,000	-	8,219		0,044	3,195
		10,568		10,500	-	11,066		0,059	2,754
		12,645		12,000	-	13,241		0,070	2,517
		13,700		15,500	14,346	14,346		0,076	2,419
	0,15	3,993	2,070	5,000	-	4,322		0,019	4,806
		5,173		6,500	-	5,599		0,025	4,222
		7,104		8,500	-	7,689		0,034	3,603
		8,896		11,000	-	9,629		0,043	3,220
		9,795		11,500	-	10,602		0,047	3,068
	0,20	10,742	2,120	12,500	-	11,627		0,052	2,930
		11,610		14,500	13,420	12,566		0,056	2,818
		4,632	2,100	3,500	-	4,977		0,022	4,479
		6,888		5,500	-	7,401		0,033	3,673
		7,937		6,500	-	8,528		0,038	3,421
		8,315		8,500	-	8,934		0,040	3,343
		9,471		9,500	-	10,176		0,045	3,132
		10,510		10,500	-	11,293		0,050	2,973
	0,25	11,749		12,000	-	12,624		0,056	2,812
		12,715		16,000	14,523	13,662		0,061	2,703
		6,452	2,100	8,000	-	6,878	2,246	0,031	3,809
		7,781		8,500	-	8,295		0,037	3,469
		9,544		12,000	-	10,175		0,045	3,132
		10,752		13,500	-	11,463		0,051	2,951
		11,352		14,500	-	12,102		0,054	2,872
		11,733		14,000	-	12,509		0,056	2,825
		13,442		15,000	-	14,330		0,064	2,639
		14,670		16,500	-	15,640		0,070	2,526

## Çizelge 6.2 Devam

ACCROPODE (Düzensiz diziliş)									
T(sn)	d(m)	H <sub>i</sub> (cm)	L(m)	H <sub>r</sub> (cm)	H <sub>b</sub> (cm)	H <sub>o</sub> (cm)	L <sub>o</sub> (m)	H <sub>o</sub> /L <sub>o</sub> (-)	$\zeta(-)$
1,20	0,25	14,815	2,100	18,500	16,457	15,794	2,246	0,070	2,514
		2,190	2,400	4,000	-	2,396	2,843	0,008	7,262
		3,160		5,500	-	3,457		0,012	6,045
		4,887		8,500	-	5,347		0,019	4,861
		5,830		9,500	-	6,379		0,022	4,451
		7,009		10,000	-	7,668		0,027	4,059
		7,757		10,500	-	8,487		0,030	3,859
		8,583		11,000	-	9,391		0,033	3,668
		9,213		13,000	12,159	10,080		0,035	3,541
1,35	0,15	5,938	2,540	9,500	-	6,477	3,510	0,023	4,417
		6,897		12,500	-	7,523		0,026	4,098
		7,580		13,500	-	8,268		0,029	3,909
		8,046		14,500	-	8,776		0,031	3,794
		9,167		15,000	-	9,999		0,035	3,555
		10,390		15,500	-	11,333		0,040	3,339
		11,409		16,500	-	12,444		0,044	3,186
		12,160		18,500	-	13,264		0,047	3,087
		13,200		21,500	15,766	14,398		0,051	2,962
1,50	0,20	5,520	2,570	8,000	-	5,995	3,510	0,021	4,591
		6,899		13,500	-	7,492		0,026	4,107
		9,383		16,500	-	10,190		0,036	3,521
		13,630		17,500	-	14,802		0,052	2,922
		14,510		18,000	-	15,758		0,055	2,832
		15,665		20,000	-	17,012		0,060	2,725
		17,900		22,000	20,314	19,440		0,068	2,549
		4,968	2,860	5,500	-	5,434		0,015	5,358
		6,845		8,500	-	7,487		0,021	4,565
1,65	0,15	7,340		9,500	-	8,028		0,023	4,408
		8,309		10,000	-	9,088		0,026	4,143
		8,726		10,500	-	9,544		0,027	4,043
		9,520		11,000	-	10,412		0,030	3,871
		10,510		14,500	14,024	11,495		0,033	3,684
		5,921	2,870	5,000	-	6,485	3,510	0,018	4,905
		7,802		8,500	-	8,545		0,024	4,273
		8,850		9,500	-	9,692		0,028	4,012
		10,190		12,500	-	11,160		0,032	3,739
1,80	0,20	11,940		14,500	-	13,076		0,037	3,454
		13,430		16,500	-	14,708		0,042	3,257
		14,530		18,000	-	15,913		0,045	3,131

## Çizelge 6.2 Devam

ACCROPODE (Düzensiz diziliş)										
T(sn)	d(m)	H <sub>i</sub> (cm)	L(m)	H <sub>f</sub> (cm)	H <sub>b</sub> (cm)	H <sub>o</sub> (cm)	L <sub>o</sub> (m)	H <sub>o</sub> /L <sub>o</sub> (-)	$\zeta(-)$	
1,50	0,25	0,20	15,960	2,870	21,000	19,664	17,479	3,510	0,050	2,987
			5,275		8,000	-	5,774		0,016	5,198
			9,980		10,000	-	10,925		0,031	3,779
			12,245		13,500	-	13,404		0,038	3,411
			13,895	3,000	15,000	-	15,211		0,043	3,202
			15,620		16,000	-	17,099		0,049	3,020
			16,745		18,000	-	18,331		0,052	2,917
			17,690		22,000	20,875	19,365		0,055	2,838
1,65	0,15		4,938		6,000	-	5,358	4,247	0,013	5,935
			6,233		7,500	-	6,763		0,016	5,283
			7,195	3,160	8,000	-	7,807		0,018	4,917
			7,393		8,500	-	8,022		0,019	4,851
			9,628		11,000	-	10,447		0,025	4,251
			10,100		15,000	13,907	10,959		0,026	4,150
			7,127		6,500	-	7,771		0,018	4,928
	0,20		8,862		8,500	-	9,663	4,247	0,023	4,420
			10,440	3,300	13,500	-	11,384		0,027	4,072
			11,600		15,000	-	12,649		0,030	3,863
			12,355		16,000	-	13,472		0,032	3,743
			14,500		17,000	-	15,811		0,037	3,455
			15,728		20,000	-	17,150		0,040	3,318
			17,082		22,500	21,103	18,626		0,044	3,183
0,25	0,25		5,728		7,000	-	6,264	4,247	0,015	5,489
			7,886		9,000	-	8,624		0,020	4,678
			10,300		10,500	-	11,264		0,027	4,094
			12,579	3,430	14,000	-	13,757		0,032	3,704
			14,896		18,000	-	16,290		0,038	3,404
			17,233		21,500	-	18,846		0,044	3,165
			20,094		25,000	24,041	21,975		0,052	2,931

**Ek 7 Core-Loc İçin Dalga Şartları**  
**Çizelge 7.1 Düzenli diziliş için dalga şartları**

<b>CORE-LOC (Düzenli diziliş)</b>									
T(sn)	d(m)	H <sub>i</sub> (cm)	L(m)	H <sub>a</sub> (cm)	H <sub>b</sub> (cm)	H <sub>o</sub> (cm)	L <sub>o</sub> (m)	H <sub>o</sub> /L <sub>o</sub> (-)	$\zeta(-)$
1,10	0,15	5,027	1,810	4,000	-	5,362	1,888	0,028	3,956
		6,254		5,500	-	6,670		0,035	3,547
		6,988		7,500	-	7,453		0,039	3,355
		8,183		9,000	-	8,728		0,046	3,101
		9,284		11,000	10,754	9,902		0,052	2,911
	0,20	6,141	1,810	5,200	-	6,488	1,888	0,034	3,596
		7,103		6,000	-	7,504		0,040	3,344
		8,547		7,000	-	9,030		0,048	3,048
		9,200		8,200	-	9,720		0,051	2,938
		10,742		10,000	-	11,349		0,060	2,719
		12,013		12,500	13,263	12,692		0,067	2,571
1,20	0,25	6,643	1,820	6,500	-	6,956	2,246	0,037	3,473
		7,845		9,000	-	8,215		0,044	3,196
		10,380		10,000	-	10,869		0,058	2,779
		12,595		12,500	-	13,188		0,070	2,522
		13,655		15,000	14,298	14,298		0,076	2,423
	0,15	4,079	2,070	6,000	-	4,415	2,246	0,020	4,755
		5,762		7,000	-	6,237		0,028	4,001
		7,276		8,700	-	7,875		0,035	3,560
		8,016		10,000	-	8,676		0,039	3,392
		8,877		12,000	-	9,608		0,043	3,223
	0,20	9,154	2,120	12,700	-	9,908	2,246	0,044	3,174
		11,959		14,000	13,785	12,944		0,058	2,777
		5,315		4,000	-	5,711		0,025	4,181
		6,681		7,000	-	7,178		0,032	3,729
		7,607		7,500	-	8,173		0,036	3,495
		9,109		11,500	-	9,787		0,044	3,194
		9,971		12,000	-	10,713		0,048	3,052
		11,300		13,500	-	12,141		0,054	2,867
		13,880		15,000	-	14,914		0,066	2,587
		14,430		17,000	16,155	15,504		0,069	2,537
	0,25	6,136	2,100	7,000	-	6,542	2,246	0,029	3,906
		7,509		8,200	-	8,005		0,036	3,531
		7,530		9,000	-	8,028		0,036	3,526
		9,128		10,000	-	9,731		0,043	3,203
		11,343		12,500	-	12,093		0,054	2,873
		12,085		14,500	-	12,884		0,057	2,784
		14,020		18,000	-	14,947		0,067	2,584
		14,870		20,000	-	15,853		0,071	2,509

Çizelge 7.1 Devam

CORE-LOC (Düzenli diziliş)									
T(sn)	d(m)	H <sub>i</sub> (cm)	L(m)	H <sub>i</sub> (cm)	H <sub>b</sub> (cm)	H <sub>o</sub> (cm)	L <sub>o</sub> (m)	H <sub>o</sub> /L <sub>o</sub> (-)	$\zeta(-)$
1,20	0,25	15,180	2,100	20,500	16,733	16,183	2,246	0,072	2,484
		2,089	2,400	7,000	-	2,286	2,843	0,008	7,435
		3,262		8,000	-	3,569		0,013	5,950
		5,560		8,700	-	6,083		0,021	4,558
		6,042		10,200	-	6,611		0,023	4,372
		6,804		10,700	-	7,444		0,026	4,120
		7,768		11,500	-	8,499		0,030	3,856
		8,272		12,500	-	9,050		0,032	3,737
	0,15	8,902		14,500	11,766	9,740		0,034	3,602
1,35		6,416	2,540	9,000	-	6,998	3,510	0,025	4,249
0,20	7,958	12,000		-	8,680	0,031		3,815	
	8,894	13,000		-	9,701	0,034		3,609	
	10,771	14,000		-	11,748	0,041		3,279	
	11,422	15,700		-	12,459	0,044		3,185	
	12,416	17,000		-	13,543	0,048		3,055	
	12,790	18,700		-	13,951	0,049		3,010	
	13,195	20,000		-	14,392	0,051		2,963	
	13,405	21,000		15,982	14,622	0,051		2,940	
1,50	0,25	4,940	2,570	5,500	-	5,365	3,510	0,019	4,853
		6,605		11,000	-	7,173		0,025	4,197
		8,847		13,000	-	9,608		0,034	3,626
		11,588		17,700	-	12,585		0,044	3,169
		12,084		19,500	-	13,123		0,046	3,103
		15,415		20,200	-	16,741		0,059	2,747
		17,390		22,200	19,415	18,886		0,066	2,587
	0,15	5,003	2,860	8,000	-	5,472	3,510	0,016	5,339
		6,742		8,700	-	7,374		0,021	4,600
1,65	0,20	7,132	2,870	9,000	-	7,801	3,510	0,022	4,472
		7,942		10,000	-	8,686		0,025	4,238
		9,320		11,500	-	10,194		0,029	3,912
		9,659		12,000	-	10,564		0,030	3,843
		9,771		13,500	13,058	10,687		0,030	3,821
		6,853		4,000	-	7,505		0,021	4,559
		7,313		7,000	-	8,009		0,023	4,413
		7,538		12,000	-	8,255		0,024	4,347
	0,15	9,017		14,000	-	9,875		0,028	3,975
		11,483		17,500	-	12,576		0,036	3,522
	0,20	13,210		19,000	-	14,467		0,041	3,284
		14,075		19,500	-	15,415		0,044	3,181

## Çizelge 7.1 Devam

Çizelge 7.2 Düzensiz diziliş için dalga şartları

CORE-LOC (Düzensiz diziliş)									
T(sn)	d(m)	H <sub>i</sub> (cm)	L(m)	H <sub>e</sub> (cm)	H <sub>b</sub> (cm)	H <sub>o</sub> (cm)	L <sub>o</sub> (m)	H <sub>o</sub> /L <sub>o</sub> (-)	$\zeta$ (-)
1,10	0,15	5,697	1,810	4,500	-	6,076	1,888	0,032	3,716
		7,677		5,000	-	8,188		0,043	3,201
		8,150		8,000	-	8,692		0,046	3,107
		9,376		8,500	-	10,000		0,053	2,897
		9,953		11,500	11,444	10,615		0,056	2,812
	0,20	5,314	1,810	5,000	-	5,614		0,030	3,866
		8,144		6,500	-	8,604		0,046	3,123
		8,923		7,500	-	9,427		0,050	2,983
		9,213		8,000	-	9,734		0,052	2,936
		11,195		10,500	-	11,828		0,063	2,664
		12,015		13,500	13,289	12,694		0,067	2,571
	0,25	5,728	1,820	6,000	-	5,998	2,246	0,032	3,740
		7,849		8,000	-	8,219		0,044	3,195
		10,568		10,500	-	11,066		0,059	2,754
		12,645		12,000	-	13,241		0,070	2,517
		13,700		15,500	14,346	14,346		0,076	2,419
1,20	0,15	3,993	2,070	5,000	-	4,322	2,246	0,019	4,806
		5,173		6,500	-	5,599		0,025	4,222
		7,104		8,500	-	7,689		0,034	3,603
		8,896		11,000	-	9,629		0,043	3,220
		9,795		11,500	-	10,602		0,047	3,068
		10,742		12,500	-	11,627		0,052	2,930
		11,610		14,500	13,420	12,566		0,056	2,818
	0,20	4,632	2,120	3,500	-	4,977		0,022	4,479
		6,888		5,500	-	7,401		0,033	3,673
		7,937		6,500	-	8,528		0,038	3,421
		8,315		8,500	-	8,934		0,040	3,343
		9,471		9,500	-	10,176		0,045	3,132
		10,510		10,500	-	11,293		0,050	2,973
		11,749		12,000	-	12,624		0,056	2,812
		12,715		16,000	14,523	13,662		0,061	2,703
	0,25	6,452	2,100	8,000	-	6,878	2,246	0,031	3,809
		7,781		8,500	-	8,295		0,037	3,469
		9,544		12,000	-	10,175		0,045	3,132
		10,752		13,500	-	11,463		0,051	2,951
		11,352		14,500	-	12,102		0,054	2,872
		11,733		14,000	-	12,509		0,056	2,825
		13,442		15,000	-	14,330		0,064	2,639
		14,670		16,500	-	15,640		0,070	2,526

## Çizelge 7.2 Devam

CORE-LOC (Düzensiz diziliş)									
T(sn)	d(m)	H <sub>i</sub> (cm)	L(m)	H <sub>t</sub> (cm)	H <sub>b</sub> (cm)	H <sub>o</sub> (cm)	L <sub>o</sub> (m)	H <sub>o</sub> /L <sub>o</sub> (-)	$\zeta(-)$
1,20	0,25	14,815	2,100	18,500	16,457	15,794	2,246	0,070	2,514
1,35	0,15	2,190	2,400	4,000	-	2,396	2,843	0,008	7,262
		3,160		5,500	-	3,457		0,012	6,045
		4,887		8,500	-	5,347		0,019	4,861
		5,830		9,500	-	6,379		0,022	4,451
		7,009		10,000	-	7,668		0,027	4,059
		7,757		10,500	-	8,487		0,030	3,859
		8,583		11,000	-	9,391		0,033	3,668
		9,213		13,000	12,159	10,080		0,035	3,541
		5,938		9,500	-	6,477		0,023	4,417
1,35	0,20	6,897	2,540	12,500	-	7,523	2,843	0,026	4,098
		7,580		13,500	-	8,268		0,029	3,909
		8,046		14,500	-	8,776		0,031	3,794
		9,167		15,000	-	9,999		0,035	3,555
		10,390		15,500	-	11,333		0,040	3,339
		11,409		16,500	-	12,444		0,044	3,186
		12,160		18,500	-	13,264		0,047	3,087
		13,200		21,500	15,766	14,398		0,051	2,962
		5,520	2,570	8,000	-	5,995	3,510	0,021	4,591
		6,899		13,500	-	7,492		0,026	4,107
1,50	0,25	9,383		16,500	-	10,190		0,036	3,521
		13,630		17,500	-	14,802		0,052	2,922
		14,510		18,000	-	15,758		0,055	2,832
		15,665		20,000	-	17,012		0,060	2,725
		17,900		22,000	20,314	19,440		0,068	2,549
		4,968	2,860	5,500	-	5,434	3,510	0,015	5,358
		6,845		8,500	-	7,487		0,021	4,565
		7,340		9,500	-	8,028		0,023	4,408
		8,309		10,000	-	9,088		0,026	4,143
		8,726		10,500	-	9,544		0,027	4,043
		9,520		11,000	-	10,412		0,030	3,871
		10,510		14,500	14,024	11,495		0,033	3,684
1,50	0,20	5,921	2,870	5,000	-	6,485	3,510	0,018	4,905
		7,802		8,500	-	8,545		0,024	4,273
		8,850		9,500	-	9,692		0,028	4,012
		10,190		12,500	-	11,160		0,032	3,739
		11,940		14,500	-	13,076		0,037	3,454
		13,430		16,500	-	14,708		0,042	3,257
		14,530		18,000	-	15,913		0,045	3,131

## Çizelge 7.2 Devam

CORE-LOC (Düzensiz diziliş)										
T(sn)	d(m)	H <sub>i</sub> (cm)	L(m)	H <sub>b</sub> (cm)	H <sub>b</sub> (cm)	H <sub>o</sub> (cm)	L <sub>o</sub> (m)	H <sub>o</sub> /L <sub>o</sub> (-)	$\xi$ (-)	
1,50	0,25	0,20	15,960	2,870	21,000	19,664	17,479	3,510	0,050	2,987
		5,275	3,000	8,000	-	5,774	0,016	5,198		
		9,980		10,000	-	10,925	0,031	3,779		
		12,245		13,500	-	13,404	0,038	3,411		
		13,895		15,000	-	15,211	0,043	3,202		
		15,620		16,000	-	17,099	0,049	3,020		
		16,745		18,000	-	18,331	0,052	2,917		
		17,690		22,000	20,875	19,365	0,055	2,838		
1,65	0,15	4,938	3,160	6,000	-	5,358	4,247	0,013	5,935	
		6,233		7,500	-	6,763		0,016	5,283	
		7,195		8,000	-	7,807		0,018	4,917	
		7,393		8,500	-	8,022		0,019	4,851	
		9,628		11,000	-	10,447		0,025	4,251	
		10,100		15,000	13,907	10,959		0,026	4,150	
		7,127	3,300	6,500	-	7,771		0,018	4,928	
		8,862		8,500	-	9,663		0,023	4,420	
1,65	0,20	10,440		13,500	-	11,384		0,027	4,072	
		11,600		15,000	-	12,649		0,030	3,863	
		12,355		16,000	-	13,472		0,032	3,743	
		14,500		17,000	-	15,811		0,037	3,455	
		15,728		20,000	-	17,150		0,040	3,318	
		17,082		22,500	21,103	18,626		0,044	3,183	
		5,728	3,430	7,000	-	6,264		0,015	5,489	
		7,886		9,000	-	8,624		0,020	4,678	
1,65	0,25	10,300		10,500	-	11,264		0,027	4,094	
		12,579		14,000	-	13,757		0,032	3,704	
		14,896		18,000	-	16,290		0,038	3,404	
		17,233		21,500	-	18,846		0,044	3,165	
		20,094		25,000	24,041	21,975		0,052	2,931	

**Ek 8 Accropode İçin Tırmanma ve Geri Çekilme değerleri**  
**Çizelge 8.1 Düzensiz diziliş için Tırmanma ve Geri Çekilme değerleri**

DUZENSİZ DİZİLİŞ										
Accropode										
T (sn)	d (m)	Ht (cm)	A		B		C		D	
			geri çekilme (cm)	tırmanma (cm)	geri çekilme (cm)	tırmanma (cm)	geri çekilme (cm)	tırmanma (cm)	geri çekilme (cm)	tırmanma (cm)
1,10	0,15	4,50	-2,00	3,00	-1,30	4,00	0,00	4,00	0,50	1,60
		5,00	-2,00	5,50	-1,00	5,70	-0,30	6,00	1,40	2,60
		8,00	-2,00	6,00	-0,50	6,50	0,50	7,00	1,40	2,70
		8,50	-2,00	7,00	-1,00	7,50	1,00	8,00	2,20	9,00
		11,50	-2,00	7,50	-1,50	8,00	1,50	9,50	1,70	3,00
	0,20	5,00	-3,50	4,00	-2,00	4,50	-0,50	4,50	0,30	1,50
		6,50	-3,50	4,50	-1,60	5,40	0,00	5,00	0,50	1,50
		7,50	-3,50	6,00	-1,00	8,00	1,00	9,50	1,50	2,00
		8,00	-4,00	4,50	-1,50	5,50	0,20	5,50	1,00	2,00
		10,50	-4,00	7,00	-1,50	8,00	1,00	9,00	1,40	2,50
	0,25	13,50	-4,00	8,50	-1,00	9,50	2,00	10,50	3,00	4,00
		6,00	-2,50	4,00	-1,50	5,50	0,00	4,50	1,00	1,50
		8,00	-2,50	6,50	-1,50	7,50	1,00	7,00	1,50	2,50
		10,50	-2,50	8,00	-1,00	10,00	1,50	10,50	3,50	6,00
		12,00	-2,50	8,50	1,00	9,50	2,00	11,00	3,00	4,00
1,20	0,15	15,50	-4,00	10,00	1,00	11,00	3,50	15,00	4,00	6,00
		5,00	-1,50	5,00	-1,00	6,00	0,00	7,50	0,60	2,00
		6,50	-0,50	5,50	-1,50	4,50	0,00	4,50	1,00	2,00
		8,50	-1,00	8,00	-0,50	7,50	2,00	10,50	2,00	3,50
		11,00	-1,00	6,50	0,00	7,00	1,00	8,50	2,50	3,50
		11,50	-1,00	6,00	0,00	7,50	1,00	8,50	2,00	3,50
		12,50	-1,00	6,00	0,00	8,50	1,50	9,50	2,00	3,50
	0,20	14,50	-1,00	6,00	0,00	8,00	2,00	11,50	4,00	5,00
		3,50	-2,50	3,00	-1,50	3,50	0,30	3,00	0,50	1,50
		5,50	-3,50	7,00	-1,50	7,50	1,00	8,00	1,00	3,00
		6,50	-3,50	5,50	-1,50	7,00	0,50	7,00	1,00	2,50
		8,50	-4,00	8,50	-1,50	10,00	1,50	11,00	2,00	4,00
		9,50	-3,00	8,50	-1,00	9,50	2,00	9,50	2,50	4,50
		10,50	-3,00	7,50	-1,00	8,50	1,00	10,00	1,50	3,50
		12,00	-3,50	9,00	0,00	10,50	1,00	11,00	3,00	5,00
	0,25	16,00	-3,00	9,00	0,00	10,50	2,00	12,00	3,50	5,00
		8,00	-3,00	4,50	-1,00	5,50	-0,30	6,00	1,00	2,00
		8,50	-3,00	4,50	-1,00	6,00	0,00	6,00	1,00	2,40
		12,00	-4,00	7,00	-1,00	7,50	1,00	10,00	1,50	4,00
		13,50	-4,00	7,50	0,00	9,00	1,00	11,00	2,50	4,00
		14,50	-4,00	8,00	-0,50	9,50	1,00	10,50	2,00	4,50
		12,00	-4,00	8,50	0,00	10,00	1,50	11,00	2,50	5,50
		15,00	-3,50	9,50	0,00	11,00	2,00	12,00	3,50	4,50
1,35	0,15	16,50	-4,00	10,00	0,00	11,00	2,50	13,00	4,00	8,00
		18,50	-4,00	10,00	1,00	11,00	3,00	14,00	4,00	8,00
		4,00	-2,00	2,00	-1,00	2,20	0,00	2,40	0,50	1,50
		5,50	-2,20	3,20	-1,00	4,00	-0,50	3,00	0,30	1,50
		8,50	-3,50	5,50	-1,00	6,70	0,00	6,00	1,00	2,00
		9,50	-4,00	7,50	-1,00	9,00	0,00	11,00	1,00	2,90
		10,00	-3,50	7,50	-1,00	8,50	0,20	11,50	1,00	2,50

## Çizelge 8.1 Devam

DUZENSİZ DİZİLİŞ											
Accropode											
			A		B		C		D		
T (sn)	d (m)	Hs (cm)	geri çekilme (cm)	turmanma (cm)	geri çekilme (cm)	turmanma (cm)	geri çekilme (cm)	turmanma (cm)	geri çekilme (cm)	turmanma (cm)	
1,35	0,15	10,50	-4,00	7,00	-1,00	8,50	0,80	11,00	2,00	4,70	
		13,00	-4,00	7,00	-1,20	8,00	-0,50	10,50	1,50	4,00	
	0,20	9,50	-3,70	5,50	-1,30	7,00	0,00	6,80	0,40	2,00	
		12,50	-4,00	7,50	-1,00	8,00	0,60	9,00	1,00	3,00	
		13,50	-4,00	8,50	-1,00	9,50	2,00	11,00	2,00	4,00	
		14,50	-3,50	9,00	-0,60	10,50	1,50	12,00	2,30	4,10	
		15,00	-4,00	9,00	-0,50	10,50	1,90	12,50	2,00	5,00	
		15,50	-4,00	9,10	-0,50	10,70	2,00	12,50	3,00	5,00	
		16,50	-5,00	8,50	-1,00	10,50	1,50	13,00	2,00	5,00	
		18,50	-4,00	9,50	0,00	5,50	2,50	13,50	3,00	4,50	
		21,50	-4,00	9,00	-1,00	10,50	2,00	12,00	3,00	5,50	
		8,00	-2,30	3,30	-0,80	3,30	0,00	4,50	1,00	2,50	
1,50	0,25	13,50	-2,50	5,50	-0,50	7,00	0,30	7,20	0,90	3,20	
		16,50	-3,10	7,00	-0,30	8,80	0,60	8,50	1,80	3,80	
		17,50	-4,00	9,50	0,30	11,50	2,00	13,50	4,00	6,00	
		18,00	-4,00	10,00	0,20	12,00	3,00	14,00	5,00	7,00	
		20,00	-2,70	11,50	0,50	13,50	4,00	17,00	5,50	10,50	
		22,00	-4,00	11,00	0,00	12,50	3,00	7,00	4,00	8,00	
		5,50	-3,40	5,30	-1,20	6,50	-0,40	6,00	0,80	2,00	
		8,50	-3,50	7,50	-1,00	8,00	0,00	9,10	1,30	2,80	
		9,50	-3,60	8,10	-1,20	8,70	0,00	9,50	1,00	3,40	
		10,00	-3,50	8,10	-1,20	8,60	0,00	9,50	1,10	3,10	
1,65	0,15	10,50	-3,50	8,30	-1,00	8,90	0,00	9,70	1,00	3,20	
		11,00	-3,60	8,80	-0,60	9,00	0,00	10,20	1,10	3,20	
		14,50	-3,50	9,20	-1,10	9,60	0,40	11,50	2,00	3,50	
		5,00	-3,10	5,70	-1,20	6,10	-0,20	6,50	0,00	1,80	
		8,50	-3,80	7,50	-1,00	8,60	0,20	9,20	0,60	2,50	
		9,50	-4,00	9,50	-0,30	10,60	1,00	12,00	1,70	3,10	
		12,50	-3,60	8,90	-0,20	9,50	1,00	11,00	1,10	2,90	
		14,50	-3,40	7,60	-1,00	9,50	1,00	11,50	1,10	3,00	
		16,50	-3,50	8,70	-1,00	10,20	1,00	11,80	1,50	3,00	
		18,00	-3,50	10,00	-0,30	11,50	1,00	12,00	2,00	3,60	
0,20	0,25	21,00	-3,00	11,50	0,50	12,00	3,00	13,50	4,00	5,50	
		8,00	-2,50	4,40	-2,00	5,40	-0,50	5,60	0,80	2,30	
		10,00	-3,20	7,60	-2,00	9,00	0,50	11,00	1,50	3,50	
		13,50	-2,50	10,50	-1,30	12,00	1,50	14,00	2,00	4,00	
		15,00	-3,00	11,20	-1,50	14,00	2,00	15,50	3,50	5,00	
		16,00	-3,00	12,00	-0,80	13,50	2,00	14,50	4,00	5,30	
		18,00	-3,50	11,50	-1,00	13,50	2,00	15,50	4,00	6,00	
		22,00	-3,00	12,00	0,50	13,20	3,00	15,00	4,00	7,50	
1,65	0,15	6,00	-3,50	4,60	-1,80	5,80	-0,70	6,00	0,40	2,00	
		7,50	-3,60	6,60	-1,70	7,70	-0,50	7,50	0,50	2,10	
		8,00	-3,70	7,20	-1,50	7,00	-0,50	7,50	0,50	2,00	
		8,50	-3,70	7,10	-1,50	7,50	-1,70	9,00	0,70	2,50	
		11,00	-3,70	8,50	-1,50	10,00	0,50	11,00	1,50	3,10	

## Çizelge 8.1 Devam

DUZENSİZ DİZİLİŞ											
Accropode											
			A		B		C		D		
T (sn)	d (m)	Hs (cm)	geri çekilme (cm)	tırmanma (cm)	geri çekilme (cm)	tırmanma (cm)	geri çekilme (cm)	tırmanma (cm)	geri çekilme (cm)	tırmanma (cm)	
1,65	0,15	15,00	-3,20	9,50	-1,50	10,50	0,40	12,00	1,70	3,50	
		6,50	-3,70	5,70	-1,60	6,00	-0,50	6,70	0,30	2,00	
		15,00	-3,60	8,50	-1,50	9,00	0,50	11,50	1,60	3,30	
		16,00	-3,40	8,60	-1,60	9,20	0,50	12,00	1,40	3,60	
		17,00	-3,10	9,10	-1,50	10,00	1,00	12,10	1,50	4,00	
		20,00	-3,20	9,20	-1,70	9,50	0,00	12,00	1,00	3,00	
		22,50	-3,50	11,50	-1,50	12,00	1,50	14,50	2,50	5,00	
	0,25	7,00	-3,00	4,70	-1,80	7,00	0,00	5,50	0,50	2,50	
		9,00	-3,00	5,20	-1,80	6,50	0,00	6,00	1,00	3,20	
		10,50	-3,50	5,80	-1,90	8,50	0,00	6,60	0,60	3,00	
		14,00	-3,50	6,50	-1,60	8,00	0,20	7,50	0,90	3,00	
		18,00	-3,50	6,60	-1,60	8,40	0,00	7,50	1,00	3,00	
		21,50	-4,00	6,50	-1,50	9,10	0,20	8,00	1,00	3,10	
		25,00	-7,00	14,00	-1,00	15,00	0,50	16,00	5,00	9,00	

## Çizelge 8.2 Düzenli diziliş için Tırmanma ve Geri Çekilme değerleri

DUZENLİ DİZİLİŞ											
Accropode											
			A		B		C		D		
T (sn)	d (m)	Hs (cm)	geri çekilme (cm)	tırmanma (cm)	geri çekilme (cm)	tırmanma (cm)	geri çekilme (cm)	tırmanma (cm)	geri çekilme (cm)	tırmanma (cm)	
1,10	0,15	4,00	-2,00	4,00	-1,50	4,50	0,00	5,00	1,00	2,00	
		5,50	-2,00	5,50	-1,50	5,70	0,20	6,00	1,30	2,50	
		7,50	-2,50	7,50	-1,00	7,50	0,50	6,50	2,00	2,50	
		9,00	-2,00	8,00	-1,00	8,40	2,00	8,50	3,00	3,50	
		11,00	-2,00	7,00	-1,00	7,30	1,80	7,50	2,80	3,50	
	0,20	5,20	-3,00	3,50	-1,00	4,50	0,30	3,50	0,50	1,80	
		6,00	-2,00	5,50	-1,50	5,50	2,00	7,50	1,00	2,00	
		7,00	-1,50	4,30	-2,00	5,30	0,50	1,20	0,50	1,00	
		8,20	-4,50	5,50	-1,60	6,50	1,50	9,00	1,50	2,00	
		10,00	-5,00	6,00	-2,00	6,50	1,00	8,50	1,50	2,50	
		12,50	-1,50	7,50	-1,00	8,00	1,00	9,00	2,00	3,50	
1,20	0,15	6,50	-2,50	4,70	-1,00	5,00	1,00	4,50	1,20	2,00	
		9,00	-2,50	6,50	-1,00	7,50	0,40	8,50	1,50	2,50	
		10,00	-3,00	5,90	-2,00	7,00	0,20	8,00	1,20	2,50	
		12,50	-3,50	6,50	-1,00	7,00	0,50	6,50	2,00	3,50	
		15,00	-2,50	6,00	-0,50	8,00	1,50	7,50	2,50	3,50	
		6,00	-2,50	3,10	-1,50	5,00	0,00	3,50	1,00	2,00	
		7,00	-3,00	5,00	-1,00	6,00	0,00	5,00	1,50	2,50	
		8,70	-3,00	8,50	-1,00	9,50	2,00	10,50	2,50	4,00	
		10,00	-3,00	8,50	-1,00	9,50	1,40	11,00	3,00	4,00	
		12,00	-3,00	7,00	-1,20	8,00	1,00	9,50	2,00	3,50	
		12,70	-3,00	8,50	-1,00	9,50	2,00	11,00	3,00	4,00	

## Çizelge 8.2 Devam

DUZENLİ DİZİLİŞ											
Accropode											
			A		B		C		D		
T (sn)	d (m)	Hs (cm)	geri çekilme (cm)	turmanma (cm)	geri çekilme (cm)	turmanma (cm)	geri çekilme (cm)	turmanma (cm)	geri çekilme (cm)	turmanma (cm)	
1,20	0,15	0,15	14,00	-2,00	8,50	-0,50	9,50	1,50	11,00	3,50	6,50
		4,00	-4,00	4,50	-2,00	6,50	0,20	6,00	0,50	2,00	
		7,00	-4,50	6,50	-1,80	8,00	1,40	10,00	1,20	3,20	
		13,50	-4,00	8,50	-1,50	9,50	2,00	11,00	2,10	4,00	
		15,00	-4,00	10,50	-1,00	11,00	2,00	12,00	3,50	4,50	
		17,00	-4,50	7,00	-1,00	9,00	2,00	11,00	3,00	6,50	
	0,25	7,00	-3,50	4,00	-0,50	6,00	0,70	4,50	1,50	3,00	
		8,20	-4,00	5,50	-0,50	7,00	1,00	8,00	1,50	3,50	
		9,00	-4,20	6,10	-0,50	7,80	1,00	7,90	2,00	3,70	
		10,00	-4,50	6,80	-0,50	8,00	1,00	10,00	2,50	4,00	
		12,50	-4,70	10,50	0,00	11,50	3,50	12,50	4,00	6,50	
		14,50	-4,00	9,50	0,00	10,50	2,50	12,00	3,50	6,50	
1,35	0,15	18,00	-4,00	10,00	-1,00	11,00	3,50	13,00	4,00	8,00	
		20,00	-4,50	11,00	0,30	12,50	4,00	13,50	5,00	9,00	
		20,50	-4,00	12,50	0,00	14,00	4,00	15,00	5,50	10,00	
		7,00	-2,20	2,20	-1,00	2,10	-0,20	2,10	0,30	1,20	
		8,00	-2,50	2,70	-1,00	4,00	0,20	2,50	0,30	1,50	
		8,70	-3,30	5,40	-1,00	7,00	-0,20	2,50	0,30	1,50	
		10,20	-3,10	7,50	-1,00	7,60	0,00	9,00	1,20	2,40	
		10,70	-3,50	7,50	-0,80	8,00	0,00	9,50	1,30	2,80	
	0,20	11,50	-3,50	7,20	-1,00	8,50	0,00	8,00	1,00	2,60	
		12,50	-3,50	7,00	0,00	7,50	0,30	9,00	1,40	3,00	
		14,50	-4,00	9,50	-0,10	9,70	1,50	10,00	2,00	3,70	
		9,00	-4,10	5,50	-1,00	7,10	0,50	8,50	1,00	2,50	
		12,00	-4,20	7,30	-1,00	8,50	1,00	11,00	1,20	3,50	
		13,00	-4,20	8,50	-1,00	9,20	1,50	11,50	1,50	3,30	
1,50	0,20	14,00	-4,50	9,70	0,00	10,90	1,50	12,00	2,50	4,00	
		15,70	-4,50	10,00	-0,10	11,50	1,50	13,00	2,60	4,10	
		17,00	-4,60	10,00	0,00	11,50	2,00	14,00	3,00	5,00	
		18,70	-4,50	10,70	-0,50	11,50	1,70	13,50	3,00	4,50	
		20,00	-5,00	10,50	0,00	11,50	2,00	13,50	3,50	5,00	
		21,00	-5,00	9,00	0,00	10,00	2,00	13,00	3,60	5,60	
		5,50	-3,10	4,20	-2,00	6,00	0,00	4,50	1,00	2,80	
		11,00	-4,30	6,40	-1,50	7,50	0,30	8,00	1,20	3,10	
	0,25	13,00	-4,50	6,70	-1,70	7,80	0,00	8,50	1,30	3,10	
		17,70	-4,60	9,50	-1,50	10,50	1,00	12,30	2,00	4,60	
		19,50	-4,80	9,20	-1,10	11,00	1,00	13,00	2,20	4,50	
		20,20	-4,50	10,00	-1,00	10,50	2,00	13,00	3,00	5,50	
		22,20	-5,10	11,00	-1,00	12,50	2,00	14,00	4,50	7,00	
		8,00	-3,50	4,90	-1,20	6,20	-0,60	4,50	0,30	1,90	
1,50	0,15	8,70	-4,10	7,50	-1,20	8,50	-0,20	11,00	1,30	2,70	
		9,00	-4,00	8,00	-1,50	9,50	0,00	11,00	1,50	3,50	
		10,00	-4,00	8,00	-1,50	9,00	0,00	11,50	1,50	3,20	
		11,50	-4,00	8,00	-1,50	9,40	0,00	11,50	1,30	3,10	
		12,00	-4,00	7,20	-1,50	8,50	0,00	10,00	1,40	3,10	
		13,50	-4,00	8,50	-1,50	9,00	-0,10	11,00	1,50	3,00	

## Çizelge 8.2 Devam

		DUZENLİ DİZİLİŞ									
		Accropode									
		A		B		C		D			
T (sn)	d (m)	Hs (cm)	geri (cm)	türmanma (cm)	geri (cm)	türmanma (cm)	geri (cm)	türmanma (cm)	geri (cm)	türmanma (cm)	
1,50	0,20	4,00	-3,50	5,30	-1,50	6,50	-0,40	5,00	0,10	2,00	
		12,00	-4,50	7,50	-1,60	9,00	-0,10	10,30	0,50	3,00	
		14,00	-4,60	9,20	-1,50	10,20	0,00	11,50	1,00	2,70	
		17,50	-5,50	12,00	-1,00	13,00	1,50	14,50	3,00	5,50	
		19,00	-4,50	10,00	-1,50	11,00	0,70	13,00	1,50	3,20	
		19,50	-5,50	10,00	-1,50	11,00	1,00	11,50	2,00	4,20	
		20,50	-5,50	10,00	-1,00	11,00	2,00	13,00	3,50	6,50	
	0,25	8,20	-4,60	4,60	-2,00	6,50	-0,70	5,10	0,50	2,50	
		9,00	-5,00	7,20	-2,00	8,70	-0,50	9,50	1,00	3,50	
		12,00	-5,20	9,70	-2,00	11,40	0,50	13,10	1,60	3,60	
		14,00	-5,20	11,00	-1,50	12,30	0,50	14,00	3,00	5,50	
		15,50	-5,00	11,00	-1,00	12,20	2,00	15,00	3,50	6,00	
		18,50	-5,00	11,20	-1,60	12,50	2,00	15,00	3,50	6,00	
		22,50	-5,10	11,20	1,80	12,50	2,00	15,10	3,60	6,10	
1,65	0,15	6,20	-3,90	4,90	-1,50	6,60	-0,50	5,50	0,20	2,00	
		8,20	-3,90	6,20	-1,40	8,00	-0,30	7,10	0,70	2,10	
		10,00	-4,00	6,60	-1,10	8,00	0,00	7,90	1,10	2,50	
		12,00	-4,10	8,20	-1,50	8,90	0,00	9,10	0,90	2,70	
		13,00	-4,10	8,30	-1,50	9,00	0,00	10,50	1,20	2,60	
		14,00	-5,00	9,00	-1,40	11,40	0,50	12,50	2,00	3,50	
	0,20	8,70	-4,50	8,00	-2,00	9,10	-0,20	11,00	0,80	3,00	
		11,50	-4,60	8,60	-2,00	10,00	0,00	12,20	1,50	3,20	
		13,00	-4,70	9,00	-1,90	11,00	0,20	13,00	2,00	4,30	
		14,00	-4,80	10,00	-1,90	12,00	0,70	13,50	2,00	4,00	
		16,20	-5,00	10,70	-3,00	12,00	0,60	14,00	1,60	3,90	
		18,00	-5,00	12,00	-1,30	13,00	1,50	14,50	2,50	4,50	
		20,50	-5,00	11,00	-1,50	12,00	0,50	14,50	2,50	4,50	
		22,00	-5,00	11,50	-1,50	12,00	2,00	14,00	2,50	4,50	
	0,25	8,00	-4,10	5,00	-2,00	6,50	-0,50	7,00	0,50	2,20	
		10,00	-4,50	7,30	-2,00	7,90	0,00	9,00	0,50	2,40	
		12,50	-4,60	7,60	-2,00	8,60	0,00	10,50	0,80	2,90	
		13,50	-4,80	8,00	-1,60	8,30	0,00	11,50	0,90	3,00	
		15,00	-5,00	8,10	-1,40	9,50	0,00	13,00	1,00	3,20	
		19,50	-4,80	10,00	-1,00	11,00	0,50	13,00	2,00	4,50	
		24,00	-5,00	11,00	-0,50	12,00	2,50	15,00	4,50	4,50	

**Ek 9 Core-Loc İçin Tırmanma ve Geri Çekilme değerleri**  
**Çizelge 9.1 Düzensiz diziliş için Tırmanma ve Geri Çekilme değerleri**

DUZENSİZ DİZİLİŞ											
Core-Loc											
			A		B		C		D		
T (sn)	d (m)	Ht (cm)	geri çekilme (cm)	tırmanma (cm)	geri çekilme (cm)	tırmanma (cm)	geri çekilme (cm)	tırmanma (cm)	geri çekilme (cm)	tırmanma (cm)	
1,10	0,15	4,50	-2,50	5,00	-1,00	5,50	0,00	4,40	0,80	1,90	
		5,00	-2,50	7,00	-0,40	7,00	0,50	7,50	1,00	2,40	
		8,00	-2,50	7,00	-0,40	8,00	0,50	8,50	1,20	2,90	
		8,50	-3,00	8,00	0,00	8,50	2,00	10,00	1,50	3,50	
		11,50	-2,50	6,50	-0,50	7,00	1,00	8,00	1,50	3,00	
	0,20	5,00	-2,50	2,50	-1,50	3,50	-1,00	1,50	-0,20	1,00	
		6,50	-3,00	3,50	-1,50	4,50	-0,50	4,00	-0,20	1,20	
		7,50	-2,00	5,50	-1,00	8,00	-0,50	6,00	1,00	2,50	
		8,00	-4,50	5,50	-1,00	6,50	0,50	6,50	0,40	2,00	
		10,50	-3,50	7,50	-0,50	8,50	1,00	10,00	1,50	2,50	
		13,50	-2,00	7,50	-0,50	8,00	1,00	9,00	2,00	3,00	
1,20	0,15	6,00	-2,50	3,50	-1,00	3,00	-0,50	3,50	0,50	1,00	
		8,00	-3,00	-3,50	-1,00	3,00	-0,50	3,50	0,50	1,50	
		10,50	-2,50	5,50	-1,00	6,00	0,50	6,50	1,50	2,50	
		12,00	-3,00	9,50	0,00	9,00	1,50	11,50	3,00	3,50	
		15,50	-2,50	9,50	0,00	9,00	1,50	11,00	2,00	5,00	
		5,00	-1,50	3,50	-1,00	4,50	0,00	2,50	0,50	1,00	
		6,50	-2,00	3,50	-1,00	4,50	0,00	2,50	0,50	1,50	
	0,20	8,50	-2,50	7,50	0,00	7,50	1,50	8,50	2,00	3,00	
		11,00	-1,50	8,50	0,00	9,00	1,00	9,00	2,00	3,00	
		11,50	-1,50	7,50	0,00	8,00	1,50	9,50	2,50	3,00	
		12,50	-1,50	7,00	0,00	7,50	1,00	9,00	1,50	3,00	
		14,50	-1,50	6,00	0,00	8,50	1,00	10,00	2,00	3,00	
		3,50	-2,00	2,50	-1,00	3,00	0,00	2,50	-0,50	1,50	
		5,50	-2,00	6,00	-1,00	7,00	0,50	7,50	0,70	3,00	
		6,50	-2,50	5,50	-1,00	6,50	0,50	5,50	0,50	2,50	
		8,50	-1,50	8,00	-0,50	9,50	1,00	10,00	2,00	3,50	
		9,50	-2,00	9,00	0,00	10,00	1,00	11,00	2,00	4,50	
		10,50	-2,00	7,00	-1,00	8,50	1,00	10,00	1,00	3,50	
		12,00	-2,00	8,00	-0,50	9,00	1,00	10,00	1,50	4,00	
		16,00	-2,00	9,50	0,00	10,50	1,60	11,50	2,50	5,00	
1,35	0,15	8,00	-3,50	4,50	-1,50	6,00	-0,40	4,50	-0,30	2,00	
		8,50	-3,00	5,00	-1,50	6,00	-0,30	5,00	0,00	2,00	
		12,00	-3,00	5,00	-1,50	6,00	-0,50	5,00	0,00	2,20	
		13,50	-3,50	7,80	-1,00	8,50	0,50	9,50	1,50	5,00	
		14,50	-3,50	7,50	-1,50	9,00	0,50	10,00	1,00	5,00	
		12,00	-3,50	7,60	-1,00	8,50	1,00	10,00	1,40	4,50	
		15,00	-3,50	9,00	-1,00	10,00	1,50	12,00	3,00	3,50	
		16,50	-3,00	8,50	-1,00	10,50	3,00	12,00	3,00	6,50	
		18,50	-3,00	9,50	0,00	10,00	2,00	13,00	4,00	8,00	
		4,00	-1,40	1,80	-1,00	2,00	0,00	1,60	0,50	1,50	
		5,50	-1,90	2,70	-1,00	3,80	0,00	2,50	-0,10	1,50	
		8,50	-3,00	4,00	-1,50	4,50	0,00	5,00	0,00	1,90	
		9,50	-3,10	7,30	-1,00	7,50	0,20	10,50	0,50	2,50	
		10,00	-3,10	7,20	-1,30	8,00	0,20	11,56	0,70	3,50	
		10,50	-3,00	7,00	-0,50	7,50	0,60	11,00	1,50	4,50	

## Çizelge 9.1 Devam

		DUZENSİZ DİZİLİŞ									
		Core-Loc									
T (sn)	d (m)	Hs (cm)	A		B		C		D		
			geri çekilme (cm)	turmanma (cm)	geri çekilme (cm)	turmanma (cm)	geri çekilme (cm)	turmanma (cm)	geri çekilme (cm)	turmanma (cm)	
1,35	0,15	11,00	-2,50	6,50	-1,00	6,00	0,20	7,00	1,00	3,00	
		13,00	-2,50	6,50	-1,00	7,00	0,50	8,50	1,00	3,00	
	0,20	-3,20	-1,50	6,90	-0,60	5,00	0,00	1,80	0,40	2,00	
		-3,10	-2,00	7,50	0,00	8,00	0,20	3,00	1,00	3,00	
		-3,50	-1,60	8,50	0,90	10,00	1,50	4,00	2,00	4,00	
		-4,00	-0,50	10,50	1,90	12,50	2,00	5,00	2,30	4,10	
		-3,50	-1,50	8,50	1,00	12,00	1,90	4,00	2,00	5,00	
		-3,50	-1,40	10,50	1,50	12,90	3,00	6,00	3,00	5,00	
		-4,00	-0,50	10,00	1,00	13,00	1,50	5,00	2,00	5,00	
		-3,00	-0,20	10,50	2,00	13,00	2,50	5,00	3,00	4,50	
		-3,50	-0,50	9,50	2,00	12,00	2,50	5,00	3,00	5,50	
0,25	0,25	-2,90	-1,30	3,40	0,00	4,70	0,00	2,00	1,00	2,50	
		-3,50	-1,50	5,70	0,30	7,50	0,50	3,00	0,90	3,20	
		-3,80	-0,70	6,60	0,10	10,50	0,80	3,80	1,80	3,80	
		-4,00	-0,20	12,00	1,60	13,50	3,00	5,50	4,00	6,00	
		-4,00	0,00	12,50	2,00	15,00	4,00	7,00	5,00	7,00	
		-3,80	0,00	11,50	3,00	14,50	4,80	10,00	5,50	10,50	
		-4,00	0,50	12,00	2,00	13,50	4,00	7,50	4,00	8,00	
		5,50	-2,50	4,20	-2,00	6,00	-0,30	4,00	0,50	2,20	
		8,50	-3,60	6,20	-2,00	7,80	0,00	7,00	0,70	2,20	
	0,15	9,50	-3,20	6,50	-2,00	7,60	-0,20	8,00	0,80	2,50	
		10,00	-3,50	6,00	-2,00	7,70	0,00	7,00	0,60	2,60	
		10,50	-3,50	6,50	-2,00	8,00	0,00	8,70	0,90	2,70	
		11,00	-3,80	6,90	-2,00	8,40	0,00	9,00	1,00	3,00	
		14,50	4,00	7,50	-2,00	9,20	0,00	10,50	1,90	4,00	
		5,00	-3,50	3,50	-2,00	4,00	-1,00	3,00	-0,30	1,70	
		8,50	-4,20	5,60	-2,00	6,20	-1,00	4,80	0,40	1,90	
		9,50	-4,50	7,00	-2,00	7,50	0,00	8,10	0,00	2,10	
		12,50	-4,50	6,00	-2,00	7,50	-0,20	8,00	0,00	2,50	
1,50	0,20	14,50	-4,50	6,70	-2,50	8,10	0,50	9,30	0,40	2,70	
		16,50	-4,50	8,50	-1,50	8,70	0,00	9,70	0,40	3,00	
		18,00	-3,50	7,00	-1,00	8,70	0,50	10,00	1,50	3,50	
		21,00	-4,50	10,90	-1,00	11,50	1,00	14,00	3,00	6,00	
		8,00	-3,40	4,50	-1,90	5,20	-0,80	5,40	0,30	2,10	
		10,00	-4,60	8,20	-1,00	9,10	0,00	9,50	1,20	3,60	
		13,50	-4,50	10,50	-0,60	11,40	0,50	13,20	1,60	4,50	
		15,00	-4,50	11,50	-0,50	13,50	1,20	14,50	2,50	5,50	
		16,00	-4,70	12,00	0,00	13,70	2,00	15,50	3,50	5,50	
	0,25	18,00	-4,30	11,50	0,00	13,50	2,00	15,50	3,50	6,50	
		22,00	-3,50	11,50	-1,00	14,50	1,50	15,50	4,00	8,00	
		8,00	-3,40	4,50	-1,90	5,20	-0,80	5,40	0,30	2,10	
		10,00	-4,60	8,20	-1,00	9,10	0,00	9,50	1,20	3,60	
		13,50	-4,50	10,50	-0,60	11,40	0,50	13,20	1,60	4,50	
		15,00	-4,50	11,50	-0,50	13,50	1,20	14,50	2,50	5,50	
		16,00	-4,70	12,00	0,00	13,70	2,00	15,50	3,50	5,50	
		18,00	-4,30	11,50	0,00	13,50	2,00	15,50	3,50	6,50	
		22,00	-3,50	11,50	-1,00	14,50	1,50	15,50	4,00	8,00	
1,65	0,15	6,00	-3,10	3,20	-2,10	3,60	-0,50	3,70	0,40	1,60	
		7,50	-3,50	4,50	-2,00	5,20	-0,40	5,00	0,40	1,70	
		8,00	-3,60	4,30	-2,00	5,50	0,40	5,70	0,20	1,80	
		8,50	-4,10	5,50	-2,00	6,00	-0,40	6,30	0,30	2,00	
		11,00	4,00	8,00	-1,80	8,50	0,00	11,00	1,10	2,70	
	0,20	15,00	-4,20	9,50	-2,00	10,00	0,00	11,80	1,40	3,30	

Çizelge 9.1 Devam

DUZENSİZ DİZİLİŞ										
Core-Loc										
			A		B		C		D	
T (sn)	d (m)	Hs (cm)	geri çekilme (cm)	tırmanma (cm)	geri çekilme (cm)	tırmanma (cm)	geri çekilme (cm)	tırmanma (cm)	geri çekilme (cm)	tırmanma (cm)
1,65	0,20	8,50	-4,10	8,90	-2,00	9,70	0,20	11,00	0,80	3,70
		13,50	-4,20	7,60	-2,00	8,60	0,00	10,20	0,80	3,50
		15,00	-4,50	7,50	-2,00	9,00	0,30	10,20	0,80	3,50
		16,00	-4,50	8,20	-1,60	10,00	0,50	12,00	1,50	4,20
		17,00	-4,50	8,50	-1,80	10,10	0,50	12,10	1,50	4,40
		20,00	-4,00	9,00	-2,00	10,00	0,00	9,00	0,50	3,20
		22,50	-4,50	11,50	-1,50	13,00	1,00	14,00	2,50	5,00
	0,25	7,00	-2,60	4,70	-2,00	5,50	-0,80	6,10	0,50	2,10
		9,00	-3,60	5,20	-1,70	6,50	-0,80	5,50	0,50	2,50
		10,50	-4,50	5,70	-2,00	7,20	-0,30	7,50	0,60	3,00
		14,00	-4,50	6,00	-2,00	6,50	-0,50	7,50	0,00	3,50
		18,00	-4,60	6,10	-2,00	7,00	-0,50	8,00	0,50	3,00
		21,50	-4,50	6,00	-2,00	7,90	-0,50	8,00	0,30	3,50
		25,00	-3,00	4,00	10,00	13,00	2,00	14,00	3,50	7,00

Çizelge 9.2 Düzenli diziliş için Tırmanma ve Geri Çekilme değerleri

DUZENLİ DİZİLİŞ										
Core-Loc										
			A		B		C		D	
T (sn)	d (m)	Hs (cm)	geri çekilme (cm)	tırmanma (cm)	geri çekilme (cm)	tırmanma (cm)	geri çekilme (cm)	tırmanma (cm)	geri çekilme (cm)	tırmanma (cm)
1,10	0,15	4,00	-1,50	3,00	-1,00	2,50	0,00	2,00	0,50	1,50
		5,50	-2,00	3,50	-0,50	4,00	0,00	2,70	0,50	2,00
		7,50	-1,50	3,50	-0,50	4,50	0,50	3,50	1,50	2,50
		9,00	-4,00	7,50	-0,50	7,80	1,00	3,50	1,70	3,30
		11,00	-2,00	8,00	-0,50	10,00	2,50	11,50	2,50	4,00
	0,20	5,20	-3,00	3,20	-1,40	4,00	-0,50	3,50	-0,20	1,00
		6,00	-4,00	3,80	-2,00	4,50	-0,80	5,00	0,10	2,00
		7,00	-4,50	4,50	-2,00	3,50	0,00	2,50	-0,50	1,50
		8,20	-4,00	6,00	-1,50	8,00	1,00	9,00	1,50	2,00
		10,00	-4,50	7,00	-2,00	8,50	1,00	10,00	0,50	2,30
		12,50	-2,50	8,50	-1,00	10,00	1,00	10,50	2,50	4,00
1,20	0,15	6,50	-4,50	5,00	-1,50	6,50	-0,50	5,00	0,50	2,00
		9,00	-3,50	6,00	-1,50	7,00	-0,50	4,00	0,00	1,50
		10,00	-5,00	6,00	-2,00	8,50	0,00	9,50	0,50	2,50
		12,50	-4,50	8,50	-1,50	10,50	1,00	12,00	2,00	4,00
		15,00	-4,50	10,00	-0,50	10,50	1,50	11,50	3,50	4,50
	0,20	6,00	-2,00	3,00	-1,00	4,00	0,00	3,00	0,60	1,90
		7,00	-2,50	4,10	-0,50	5,50	0,00	5,50	0,60	2,10
		8,70	-2,50	8,50	-1,00	9,00	1,50	10,50	2,00	3,50
		10,00	-2,00	8,50	-0,60	9,50	1,20	10,50	2,50	4,00
		12,00	-2,00	8,00	-1,00	8,50	1,00	10,00	1,60	3,40
		12,70	-2,00	8,50	-1,00	9,00	1,30	10,50	2,00	3,50
		14,00	-2,00	8,00	-0,40	8,50	2,00	11,00	3,00	6,50

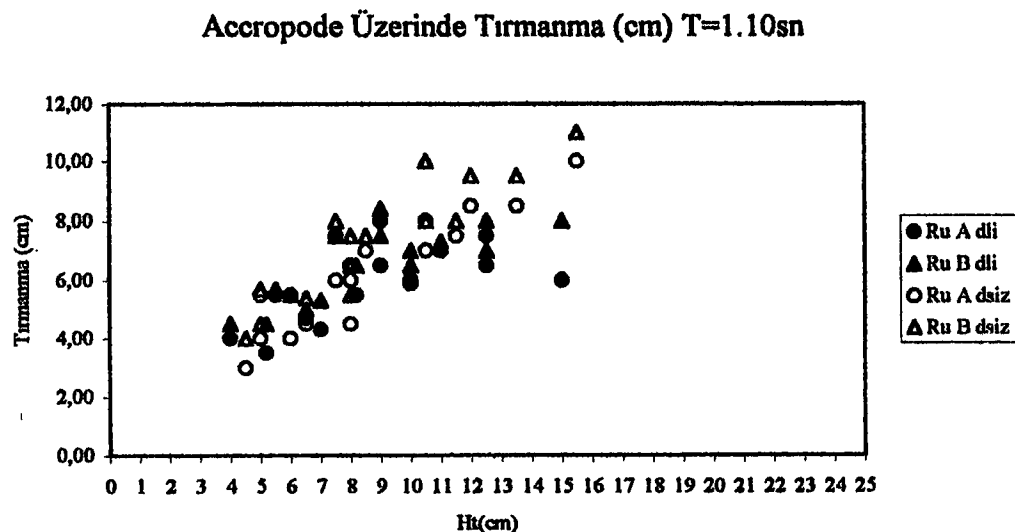
## Çizelge 9.2 Devam

DUZENLİ DİZİLİŞ										
Core-Loc										
T (sn)	d (m)	Hs (cm)	A		B		C		D	
			geri çekilme (cm)	turmanma (cm)	geri çekilme (cm)	turmanma (cm)	geri çekilme (cm)	turmanma (cm)	geri çekilme (cm)	turmanma (cm)
1,20	0,20	7,00	-4,00	7,00	-1,00	8,00	0,50	10,00	0,40	3,00
		11,50	-4,50	7,50	-1,00	8,50	1,00	10,00	1,00	3,70
		12,00	-4,50	8,50	0,00	9,00	1,00	11,00	1,50	3,70
		13,50	-4,50	9,50	-1,00	10,00	2,00	11,50	2,00	4,00
		15,00	-4,00	9,50	-1,00	11,00	1,50	11,50	2,00	5,00
		17,00	-4,50	9,00	0,00	10,00	2,00	11,00	3,50	7,00
1,35	0,15	7,00	-4,00	4,20	-1,50	5,50	0,00	5,00	1,00	2,00
		8,20	-3,50	5,50	-1,50	6,50	0,50	8,00	0,50	2,60
		9,00	-4,00	5,60	-1,50	6,90	0,00	8,00	0,40	2,50
		10,00	-4,00	6,40	-1,50	8,00	0,50	10,00	0,90	4,00
		12,50	-4,50	11,00	0,00	12,00	2,00	13,00	3,00	7,00
		14,50	-4,50	10,00	-0,40	11,00	2,00	12,50	3,00	6,50
		18,00	-4,50	10,00	-0,50	11,00	3,00	12,50	3,50	8,00
	0,20	20,00	-4,20	11,00	0,00	12,50	2,50	13,00	4,00	7,00
		20,50	-2,00	12,00	0,00	13,00	3,00	14,00	4,00	9,00
		7,00	-1,80	1,80	-0,20	2,40	0,00	1,50	0,20	1,00
		8,00	-2,40	2,60	-1,00	3,60	-0,10	2,10	0,00	1,40
		8,70	-2,40	2,60	-1,00	3,60	-0,10	2,10	0,00	1,40
		10,20	-3,50	5,50	-1,50	7,30	0,00	5,50	0,60	2,00
		10,70	-4,00	6,00	-1,50	7,00	0,00	8,50	1,00	2,50
	0,25	11,50	-3,50	6,00	-1,00	6,70	0,00	6,00	1,00	2,50
		12,50	-3,50	7,00	-1,00	7,50	0,00	9,00	1,00	2,70
		14,50	-3,50	7,50	-1,00	7,00	0,40	10,50	1,50	3,00
		9,00	-4,10	5,40	-1,40	6,60	0,50	6,00	0,30	2,50
		12,00	-4,20	6,50	-1,30	7,80	0,50	9,50	0,80	2,50
		13,00	-4,10	7,00	-1,20	8,50	0,50	10,50	1,00	3,10
		14,00	-4,10	8,50	-0,50	10,50	1,00	12,00	2,00	4,00
	0,15	15,70	-4,50	8,50	-0,50	10,50	0,90	12,10	1,70	4,50
		17,00	-4,00	9,50	0,50	10,00	1,50	12,50	2,50	5,00
		18,70	-4,50	11,00	0,00	11,50	2,00	13,00	2,50	5,50
		20,00	-5,00	10,50	0,00	10,00	2,00	13,20	3,00	6,00
		21,00	-5,00	9,50	0,00	10,00	2,00	12,00	3,00	6,10
		5,50	-3,30	4,30	-2,50	5,00	-0,30	4,60	0,10	2,50
		11,00	-4,00	6,00	-2,50	6,80	0,00	7,20	0,50	3,20
	0,25	13,00	-4,00	5,70	-2,20	6,50	0,40	6,00	0,10	3,40
		17,70	-4,10	8,50	-2,00	9,10	0,50	10,50	1,00	4,50
		19,50	-4,30	8,50	-2,00	9,50	0,50	11,20	1,30	4,00
		20,20	-5,00	10,50	-1,20	12,00	1,40	13,00	2,70	5,30
		22,20	-4,70	11,00	-1,00	12,00	2,00	13,50	3,50	7,00
		8,00	-3,10	4,20	-1,80	6,50	-0,30	4,50	0,30	1,70
		8,70	-4,50	8,00	-1,50	8,50	0,00	10,80	1,00	3,20
1,50	0,15	9,00	-4,50	7,50	-1,60	8,70	0,00	10,50	1,00	3,00
		10,00	-4,50	7,00	-1,60	8,30	0,00	10,00	1,20	3,00
		11,50	-4,10	7,00	-1,50	8,10	0,00	10,50	1,20	2,50
		12,00	-4,10	6,90	-1,50	7,40	0,00	9,50	1,00	2,80

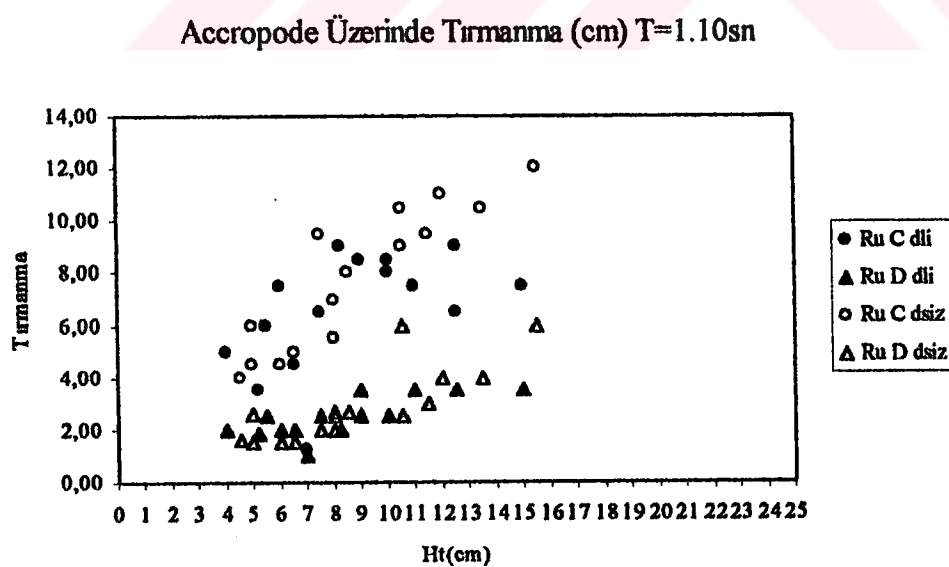
## Çizelge 9.2 Devam

		DUZENLİ DİZİLİŞ									
		Core-Loc									
T (sn)	d (m)	Hs (cm)	A		B		C		D		
			geri çekilme (cm)	turmanma (cm)	geri çekilme (cm)	turmanma (cm)	geri çekilme (cm)	turmanma (cm)	geri çekilme (cm)	turmanma (cm)	
1,50	0,15	13,50	-4,50	7,00	-1,50	8,50	0,00	10,50	1,00	3,10	
		4,00	-3,20	3,20	-2,00	3,50	-0,60	3,00	0,50	1,70	
		14,00	-4,50	7,00	-2,00	8,50	0,20	10,00	0,00	3,10	
		17,50	-5,00	10,50	-1,50	11,00	0,50	13,00	2,50	5,20	
		19,00	-5,00	8,50	-2,50	10,00	0,30	10,50	1,00	3,20	
		19,50	-5,00	8,50	-2,00	9,50	0,50	10,00	1,00	3,20	
	0,20	20,50	-5,00	10,00	-1,50	12,00	1,00	13,20	3,10	6,00	
		8,20	-4,10	4,40	-2,00	5,90	-1,00	4,50	-0,50	1,80	
		9,00	-4,90	6,70	-2,00	8,10	0,60	7,00	0,50	3,80	
		12,00	-4,10	8,10	-2,00	9,50	0,20	11,00	1,00	4,50	
1,65	0,15	14,00	-5,00	10,30	-1,50	11,50	0,60	14,00	2,00	5,00	
		15,50	-4,50	11,00	-1,00	12,00	1,50	14,00	3,00	6,50	
		18,50	-5,00	10,00	-1,00	10,50	1,00	13,00	2,00	6,00	
		22,50	-4,50	11,00	-0,50	12,50	2,00	15,00	3,50	6,50	
	0,20	6,20	-3,10	4,10	-1,50	5,50	0,00	4,10	0,30	1,50	
		8,20	-3,50	5,60	-2,00	7,00	-0,20	6,00	0,50	2,50	
		10,00	-4,00	6,20	-1,50	8,00	-0,30	7,90	0,50	3,00	
		12,00	-4,10	6,20	-1,90	7,70	0,00	8,00	0,90	2,40	
		13,00	-4,10	7,00	-1,70	7,70	0,00	10,50	0,60	2,50	
		14,00	-4,00	10,00	-1,20	8,00	0,50	13,00	1,90	3,90	
	0,25	8,70	-4,50	6,70	-2,40	8,20	0,00	8,50	0,30	2,50	
		11,50	-4,50	8,00	-1,50	9,90	-0,20	12,00	1,90	3,40	
		13,00	-5,00	9,00	-2,50	10,50	0,40	13,00	1,50	4,00	
		14,00	-5,00	9,00	-2,10	10,70	0,50	13,00	1,50	4,00	
		16,20	-5,00	9,50	-2,40	11,30	0,50	14,00	1,90	4,20	
		18,00	-5,00	11,50	-1,80	12,50	1,00	14,20	2,00	5,00	
		20,50	-5,00	10,70	-1,60	12,00	0,50	14,00	2,10	5,00	
		22,00	-5,00	10,50	-1,50	11,20	0,40	13,00	2,00	4,50	
	0,25	8,00	-4,10	6,40	-2,00	7,50	0,50	6,50	0,20	2,20	
		10,00	-4,10	7,10	-1,90	8,50	0,70	8,90	0,20	2,50	
		12,50	-4,50	7,90	-1,80	9,00	0,50	11,00	0,50	3,10	
		13,50	-4,50	7,40	-2,00	8,90	0,00	11,50	0,50	3,50	
		15,00	-4,50	8,10	-2,00	9,50	0,00	14,00	0,60	3,60	
		19,50	-4,50	10,50	-1,00	12,00	1,00	15,00	2,00	5,50	
		24,00	-4,50	10,50	-0,60	12,50	1,70	15,50	3,50	7,00	

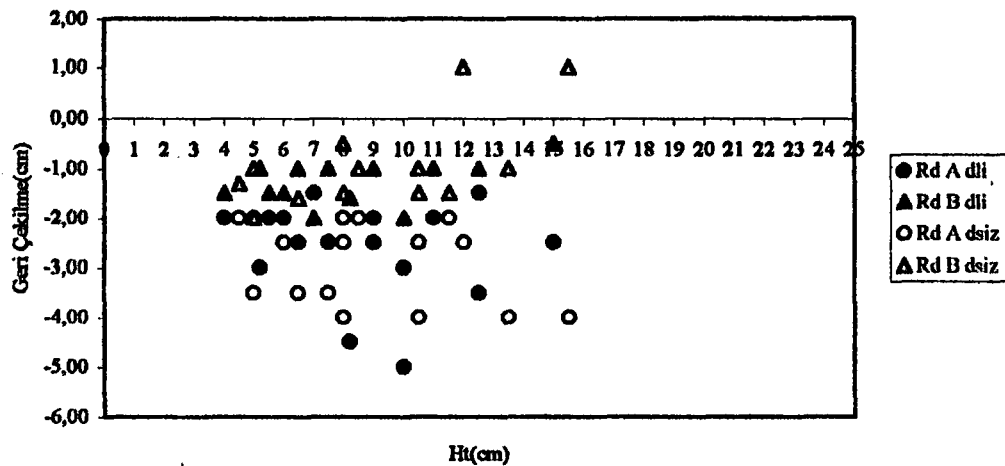
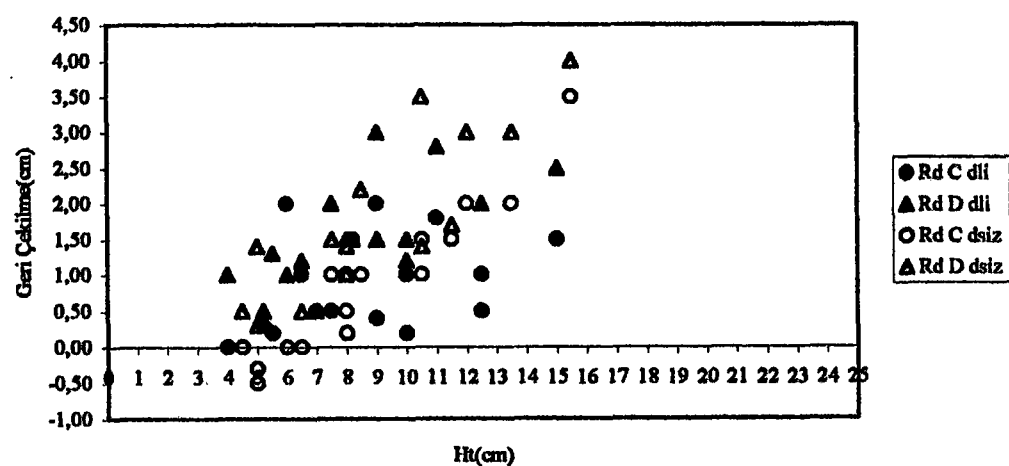
**Ek 10 Accropode için tırmanma ve geri çekilme grafikleri**



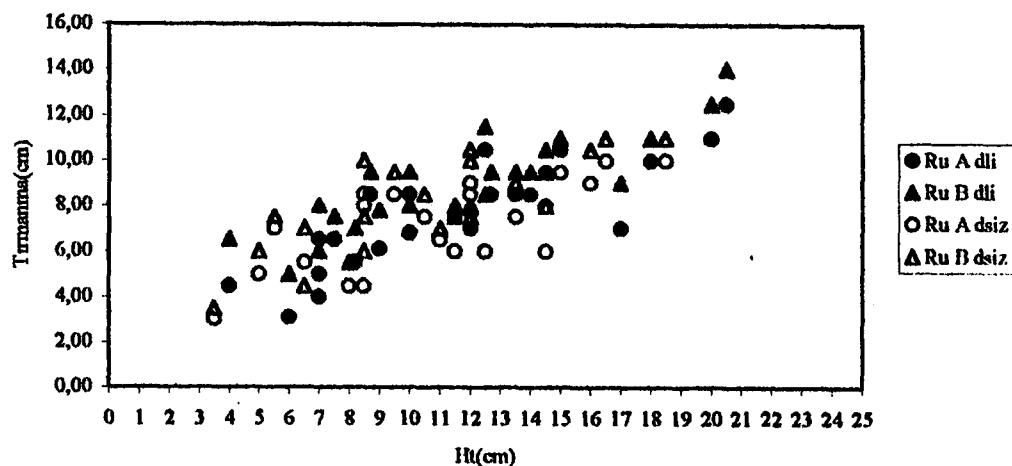
Şekil 10.1 T=1.10 sn için Accropode üzerinde tırmanma grafiği



Şekil 10.2 T=1.10 sn için Accropode üzerinde tırmanma grafiği

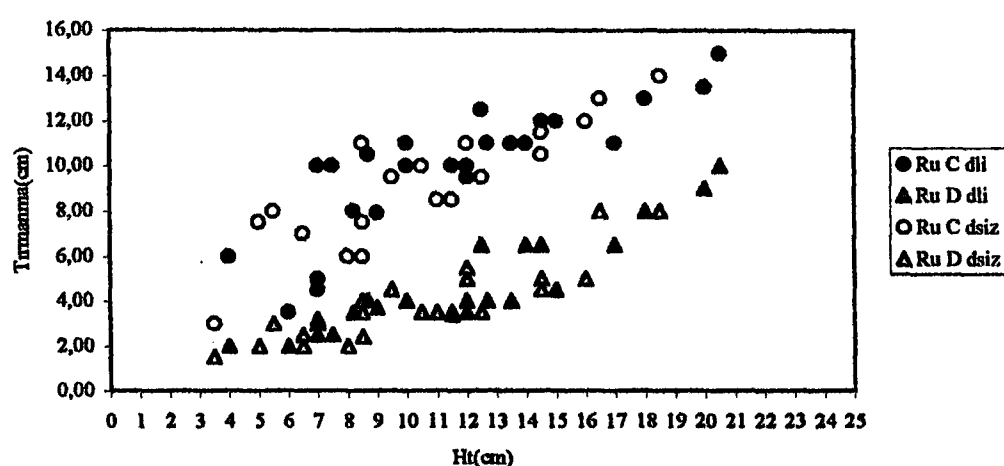
**Accropode Üzerinde Geri Çekilme (cm) T=1.10sn****Şekil 10.3 T=1.10 sn için Accropode üzerinde geri çekilme grafiği****Accropode Üzerinde Geri Çekilme (cm) T=1.10sn****Şekil 10.4 T=1.10 sn için Accropode üzerinde geri çekilme grafiği**

**Accropode Üzerinde Tırmanma (cm) T=1.20sn**



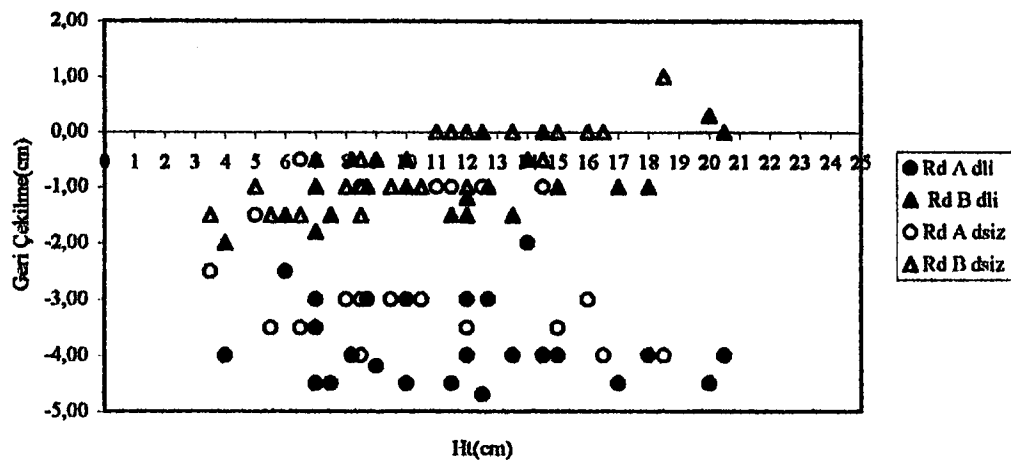
**Şekil 10.5 T=1.20 sn için Accropode üzerinde tırmanma grafiği**

**Accropode Üzerinde Tırmanma(cm) T=1.20sn**



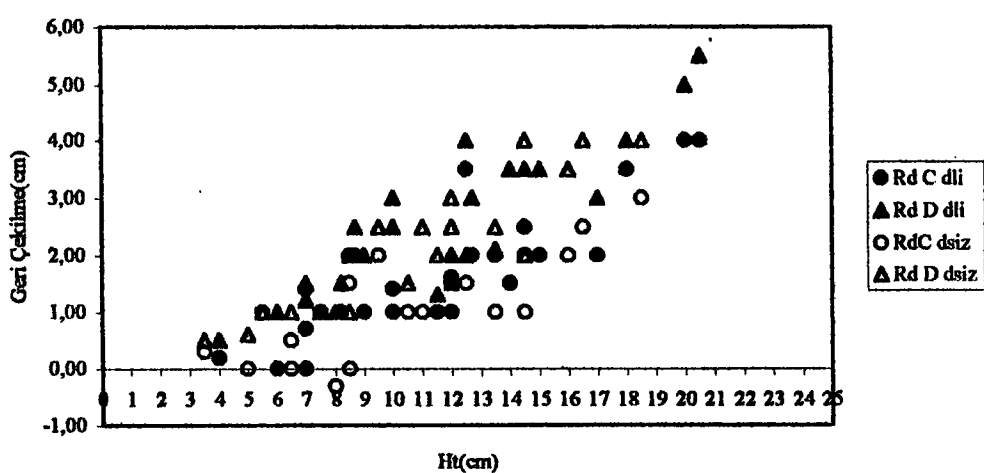
**Şekil 10.6 T=1.20 sn için Accropode üzerinde tırmanma grafiği**

Accropode Üzerinde Geri Çekilme(cm) T=1.20sn



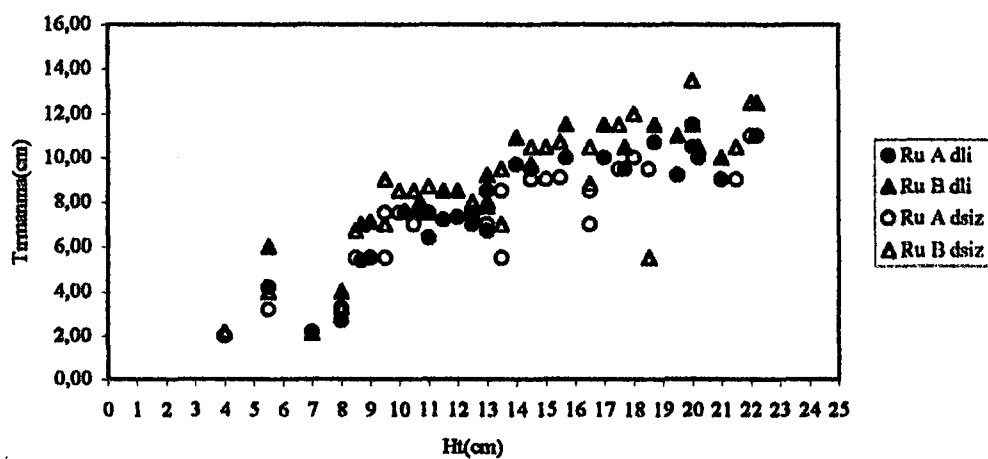
Şekil 10.7 T=1.20 sn için Accropode üzerinde geri çekilme grafiği

Accropode Üzerinde Geri Çekilme(cm) T=1.20sn



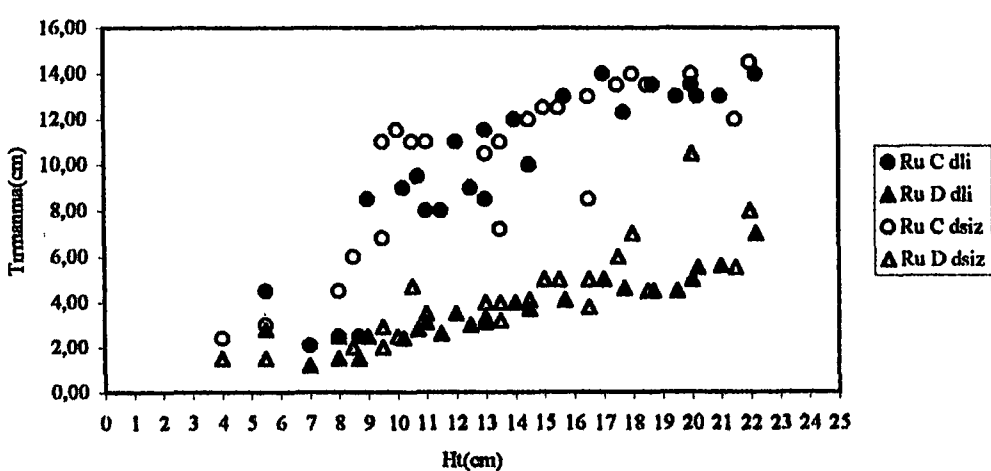
Şekil 10.8 T=120 sn için Accropode üzerinde geri çekilme grafiği

Accropode Üzerinde Tırmanma(cm) T=1.35sn



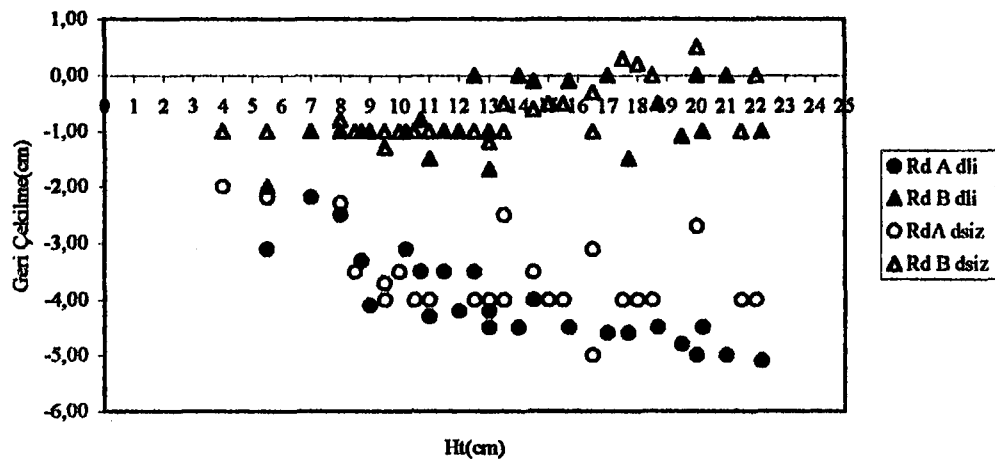
Şekil 10.9 T=1.35 sn için Accropode üzerinde tırmanma grafiği

Accropode Üzerinde Tırmanma(cm) T=1.35sn



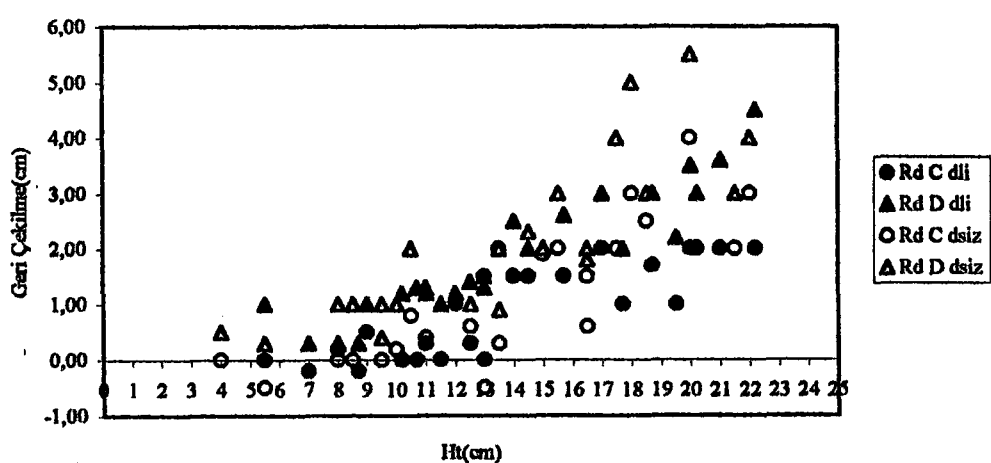
Şekil 10.10 T=1.35 sn için Accropode üzerinde tırmanma grafiği

Accropode Üzerinde Geri Çekilme(cm) T=1.35sn



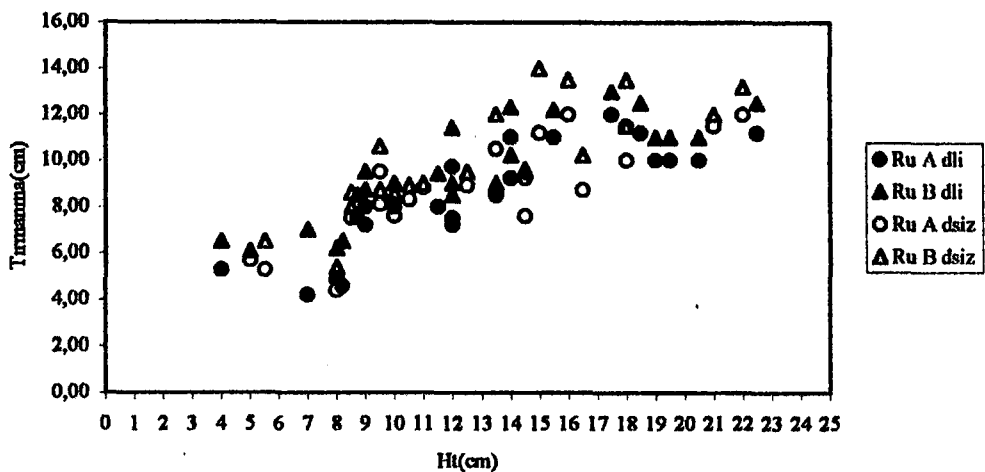
Şekil 10.11 T=1.35 sn için Accropode üzerinde geri çekilme grafiği

Accropode Üzerinde Geri Çekilme(cm) T=1.35sn



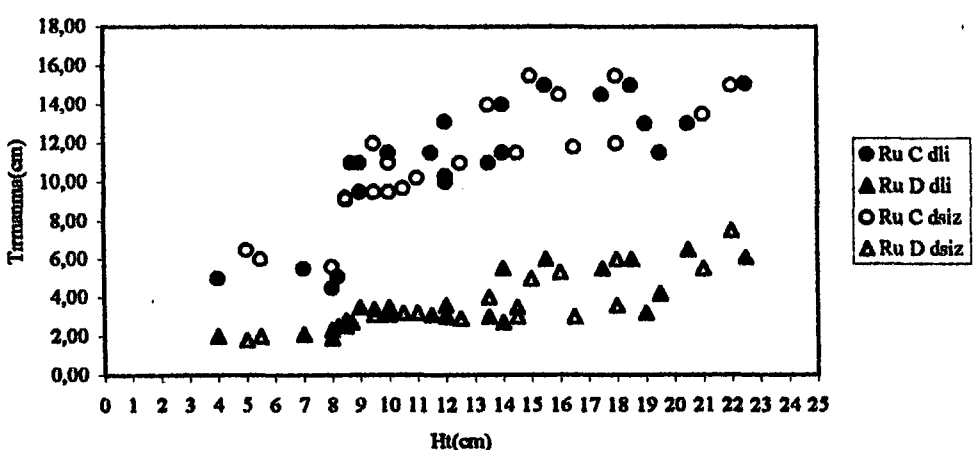
Şekil 10.12 T=1.35 sn için Accropode üzerinde geri çekilme grafiği

Accropode Üzerinde Tırmanma(cm) T=1.50sn



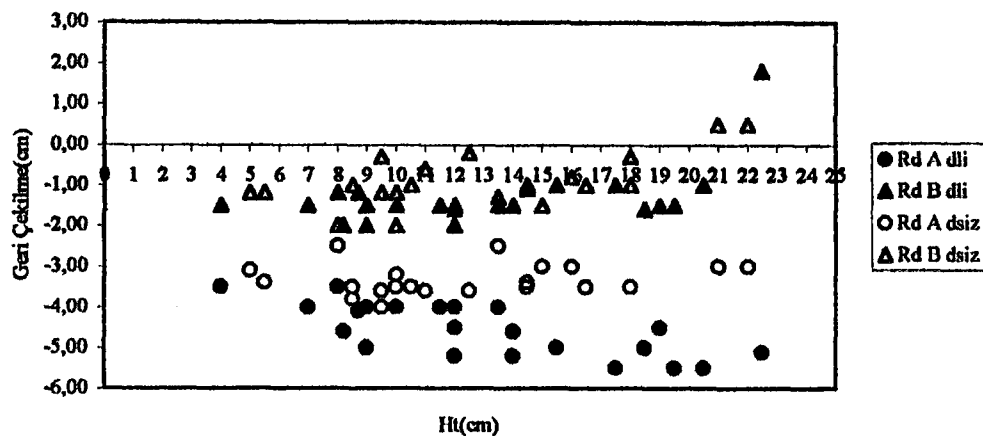
Şekil 10.13 T=1.50 sn için Accropode üzerinde tırmanma grafiği

Accropode Üzerinde Tırmanma(cm) T=1.50sn



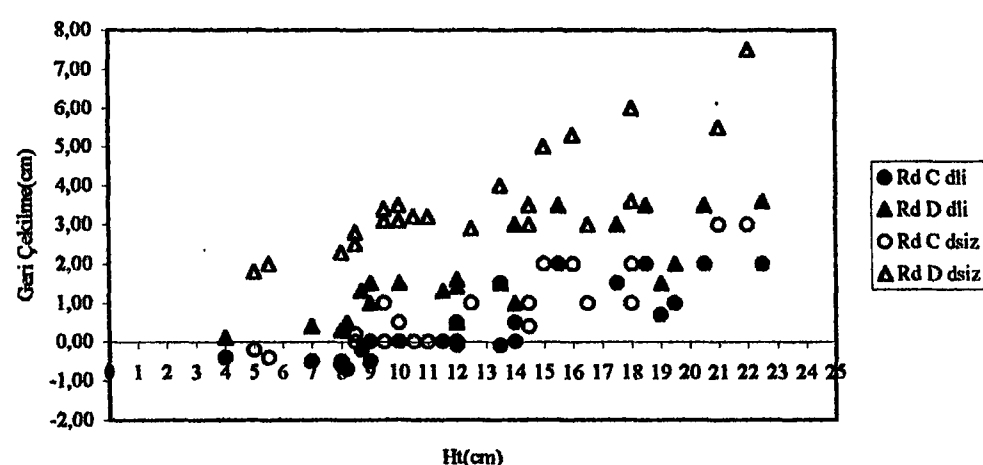
Şekil 10.14 T=1.50 sn için Accropode üzerinde tırmanma grafiği

**Accropode Üzerinde Geri Çekilme(cm) T=1.50sn**



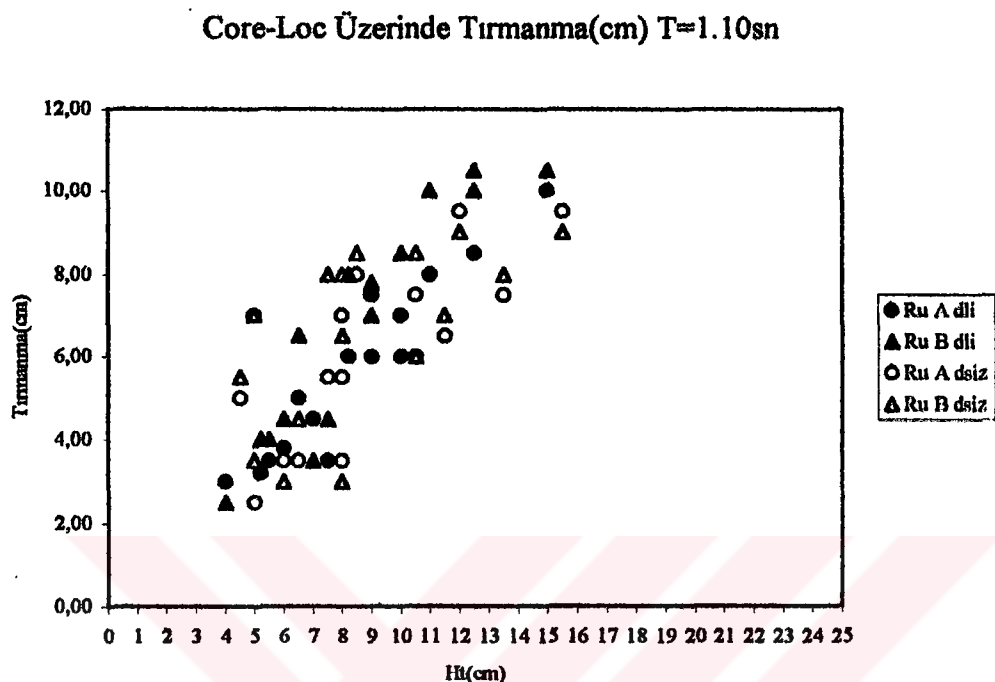
**Şekil 10.15 T=1.50 sn için Accropode üzerinde geri çekilme grafiği**

**Accropode Üzerinde Geri Çekilme(cm) T=1.50sn**

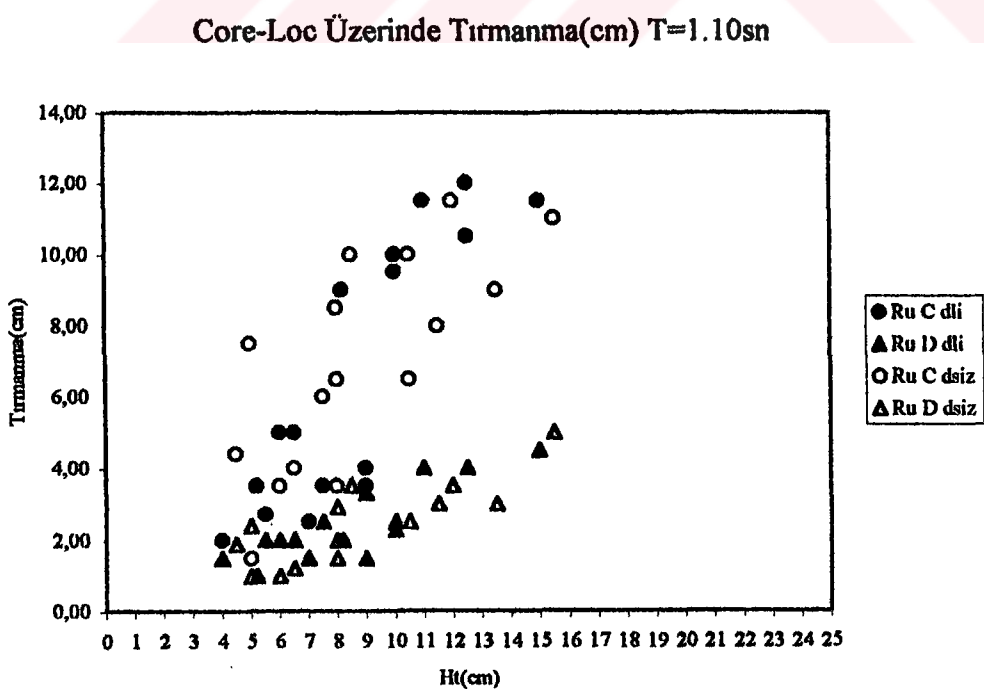


**Şekil 10.16 T=1.50 sn için Accropode üzerinde geri çekilme grafiği**

### Ek 11 Core-Loc için tırmanma ve geri çekilme grafikleri

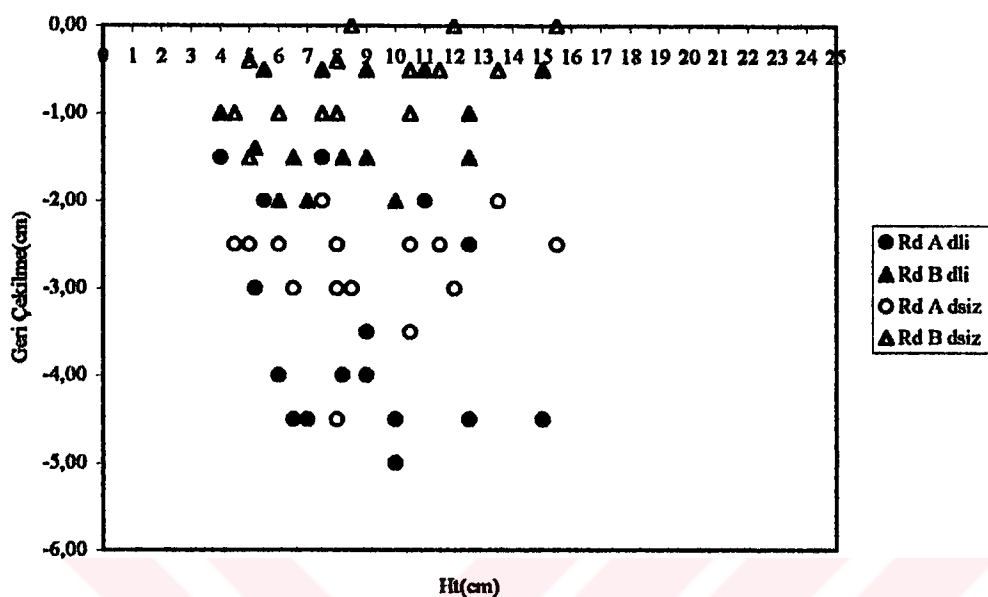


Şekil 11.1 T=1.10 sn için Core-Loc üzerinde tırmanma grafiği



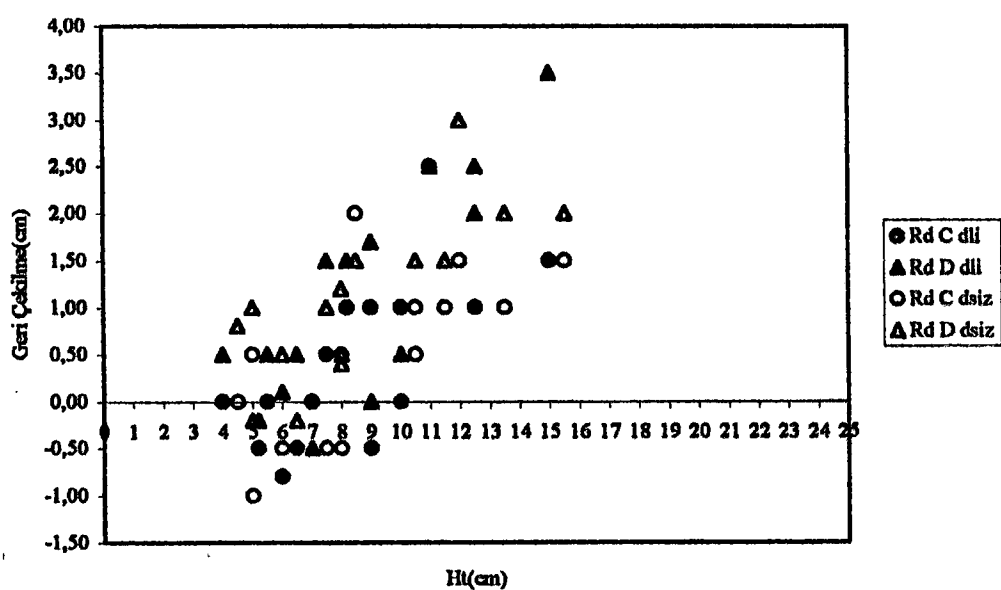
Şekil 11.2 T=1.10 sn için Core-Loc üzerinde tırmanma grafiği

### Core-Loc Üzerinde Geri Çekilme(cm) T=1.10sn



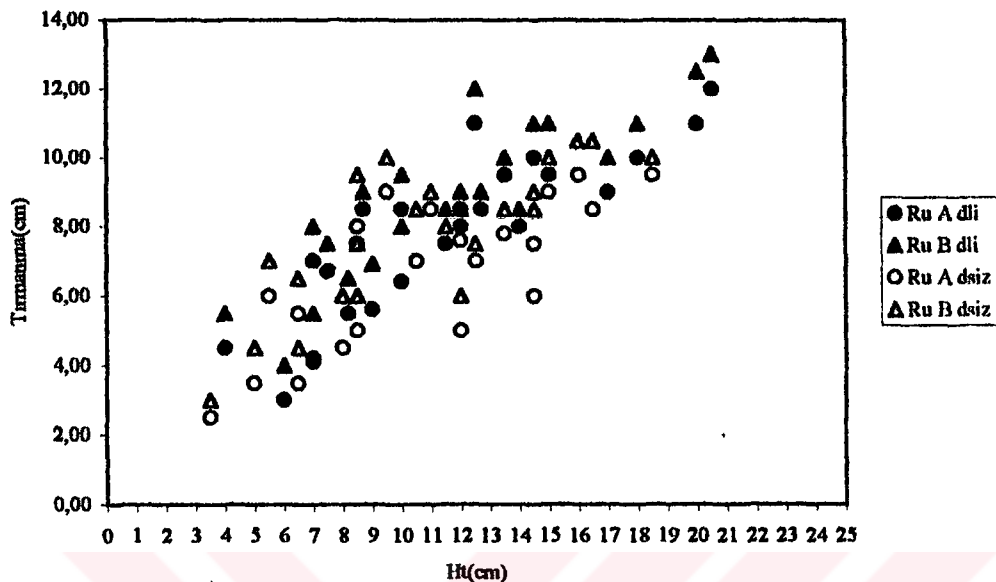
Şekil 11.3 T=1.10 sn için Core-Loc üzerinde geri çekilme grafiği

### Core-Loc Üzerinde Geri Çekilme(cm) T=1.10sn



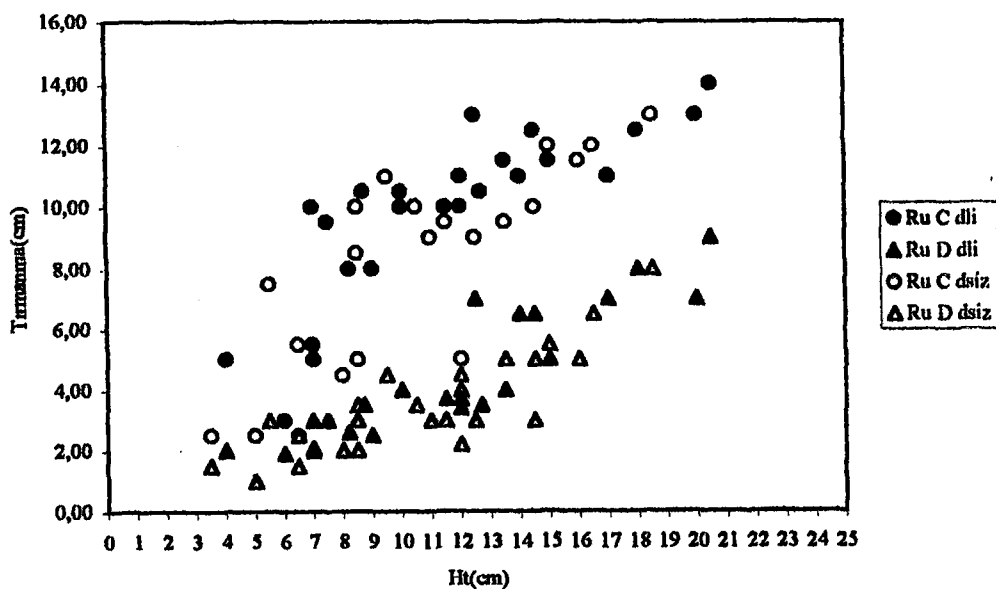
Şekil 11.4 T=1.10 sn için Core-Loc üzerinde geri çekilme grafiği

Core-Loc Üzerinde Tırmanma(cm) T=1.20sn



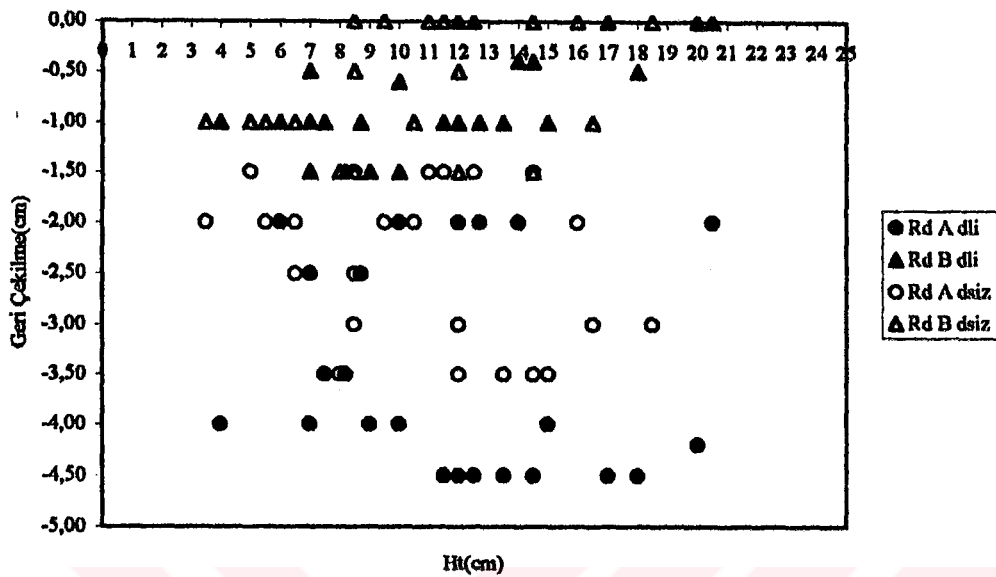
Şekil 11.5 T=1.20 sn için Core-Loc üzerinde tırmanma grafiği

Core-Loc Üzerinde Tırmanma(cm) T=1.20sn



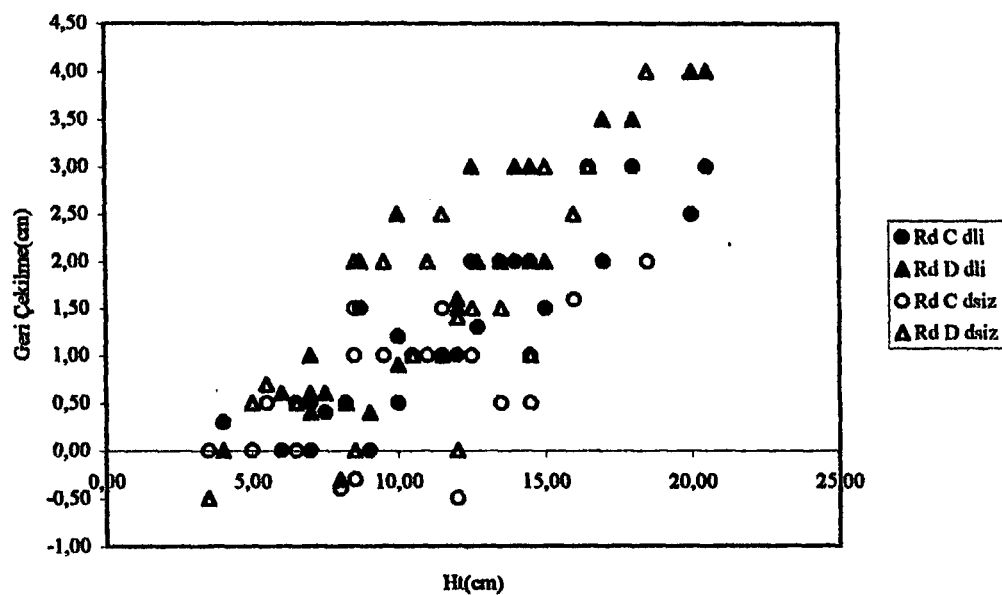
Şekil 11.6 T=1.20 sn için Core-Loc üzerinde tırmanma grafiği

Core-loc Üzerinde Geri Çekilme(cm) T=1.20sn



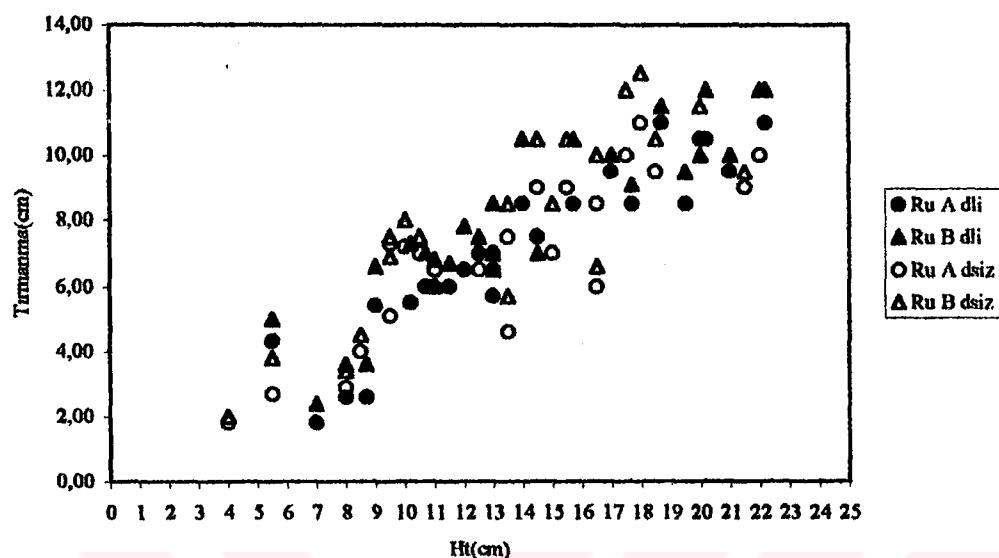
Şekil 11.7 T=1.20 sn için Core-Loc üzerinde geri çekilme grafiği

Core-Loc Üzerinde Geri Çekilme(cm) T=1.20sn



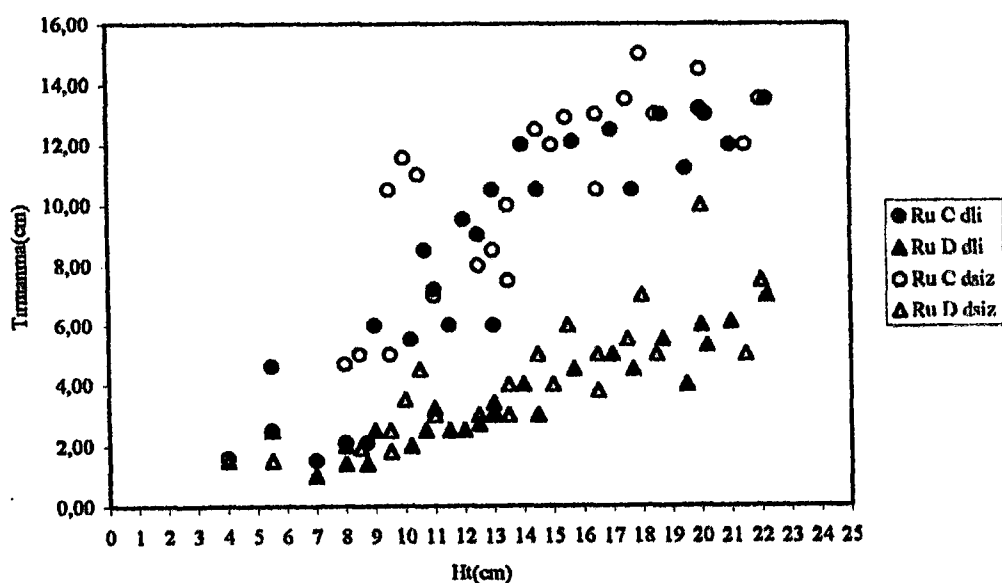
Şekil 11.8 T=120 sn için Core-Loc üzerinde geri çekilme grafiği

### Core-loc Üzerinde Tırmanma(cm) T=1.35sn



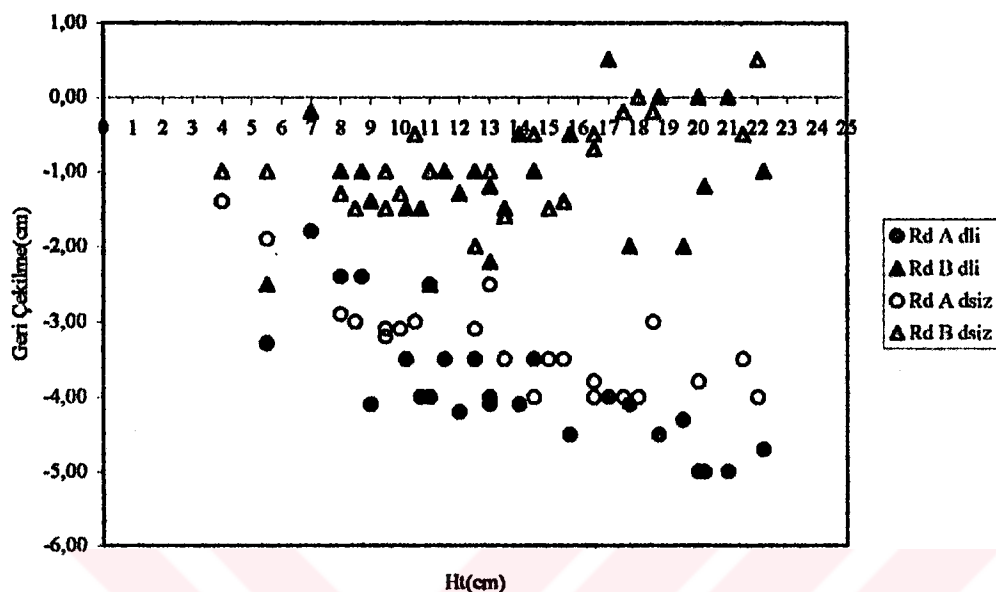
Şekil 11.9 T=1.35 sn için Core-Loc üzerinde tırmanma grafiği

### Core-Loc Üzerinde Tırmanma(cm) T=1.35sn



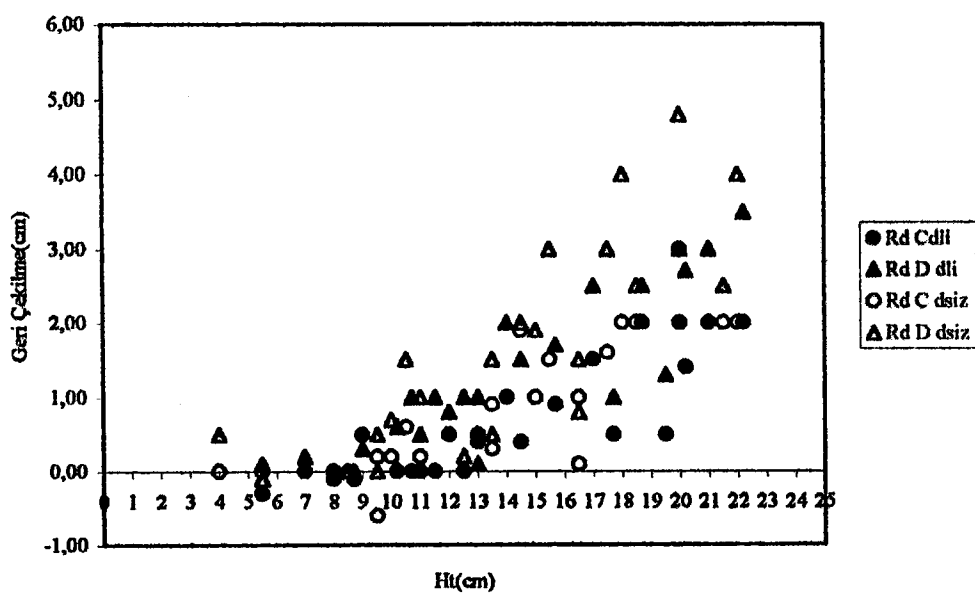
Şekil 11.10 T=1.35 sn için Core-Loc üzerinde tırmanma grafiği

Core-Loc Üzerinde Geri Çekilme(cm) T=1.35sn



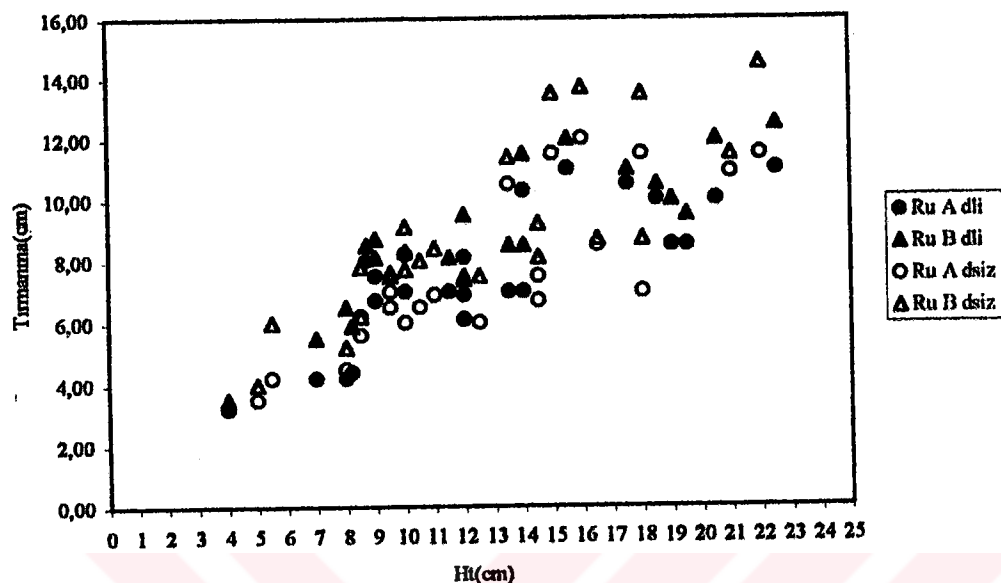
Şekil 11.11 T=1.35 sn için Core-Loc üzerinde geri çekilme grafiği

Core-Loc Üzerinde Geri Çekilme(cm) T=1.35sn



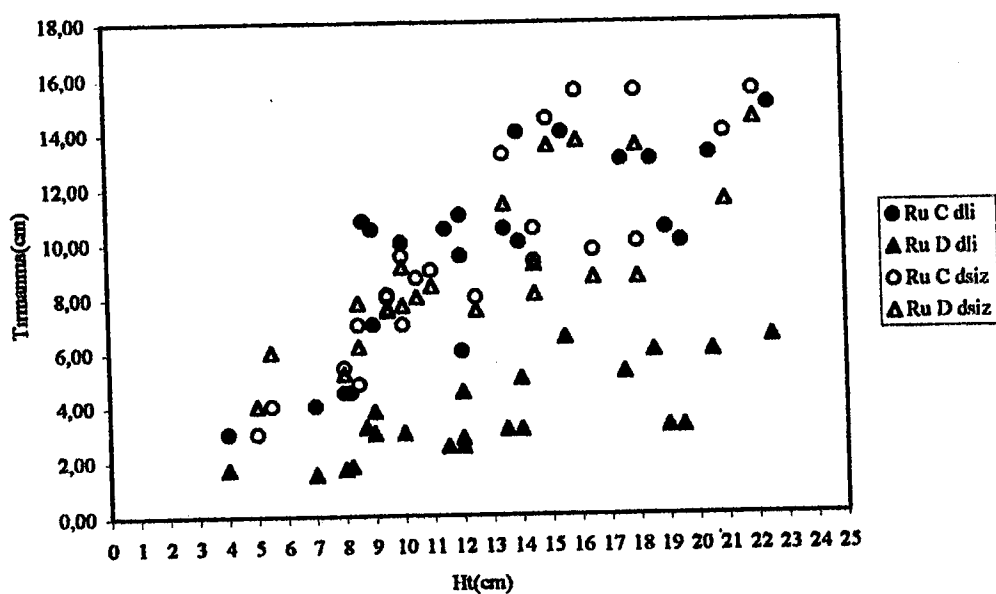
Şekil 11.12 T=1.35 sn için Core-Loc üzerinde geri çekilme grafiği

Core-Loc Üzerinde Tırmanma(cm) T=1.50sn



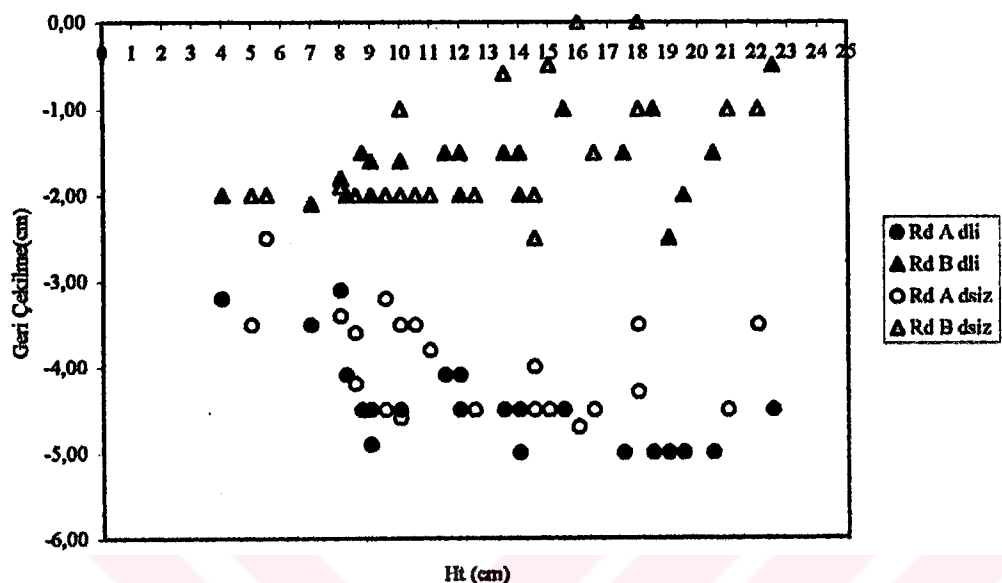
Şekil 11.13 T=1.50 sn için Core-Loc üzerinde tırmanma grafiği

Core-loc Üzerinde Tırmanma(cm) T=1.50sn



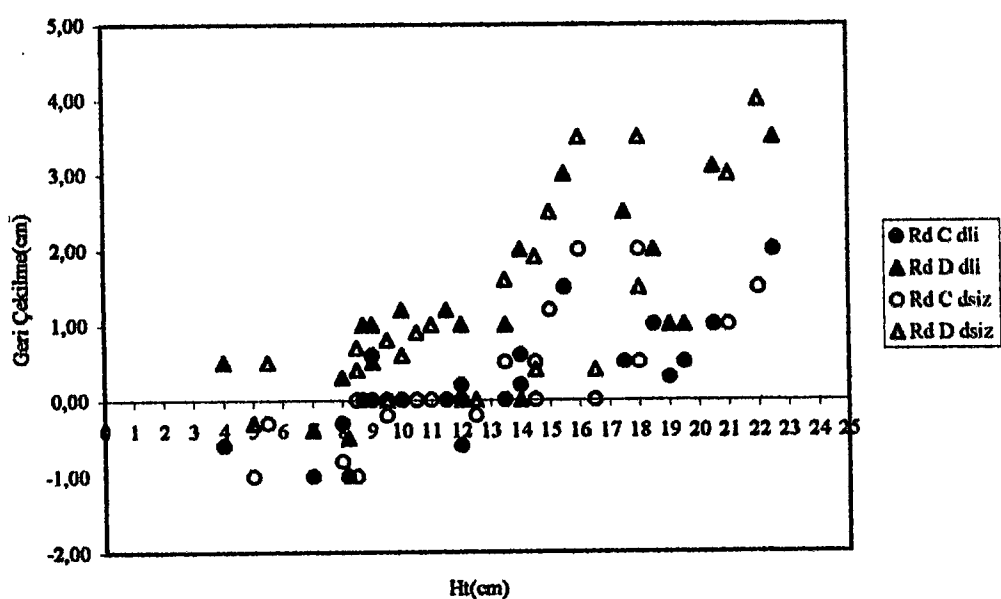
Şekil 11.14 T=1.50 sn için Core-Loc üzerinde tırmanma grafiği

Core-Loc Üzerinde Geri Çekilme(cm) T=1.50sn



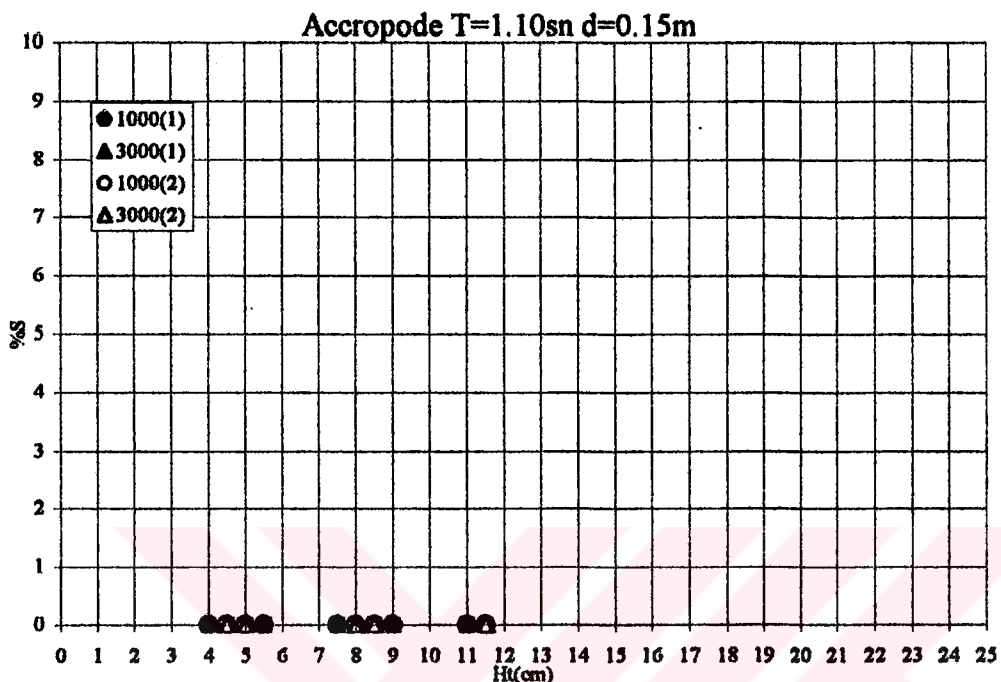
Şekil 11.15 T=1.50 sn için Core-Loc üzerinde geri çekilme grafiği

Core-Loc Üzerinde Geri Çekilme(cm) T=1.50sn

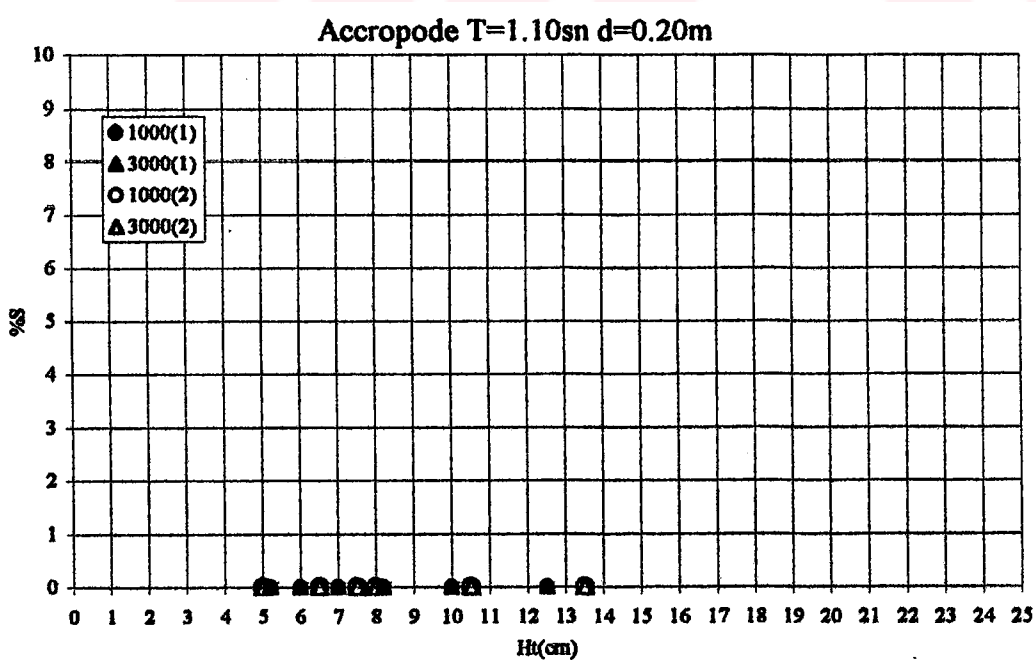


Şekil 11.16 T=1.50 sn için Core-Loc üzerinde geri çekilme grafiği

**Ek 12 Accropode için hasar grafikleri**  
**Çizelge 12.1 Hasar grafikleri**

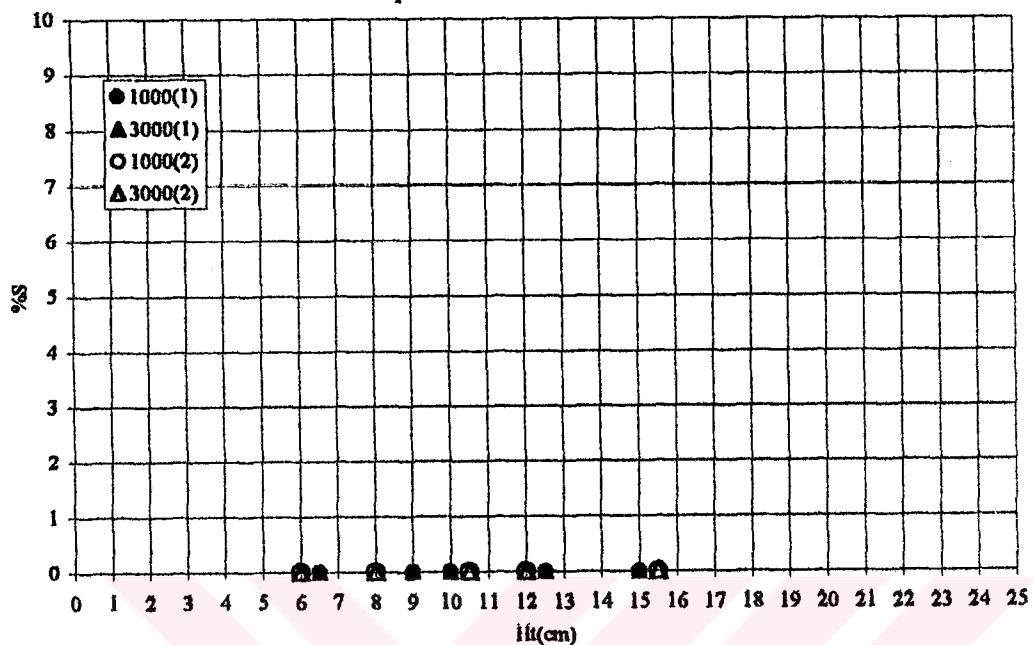


Şekil 12.1.1 T=1.10sn, d=0.15m için düzenli (1) ve düzensiz (2) yerleştirmelerde 1000 ve 3000 dalga sonucu görülmüş hasarlar



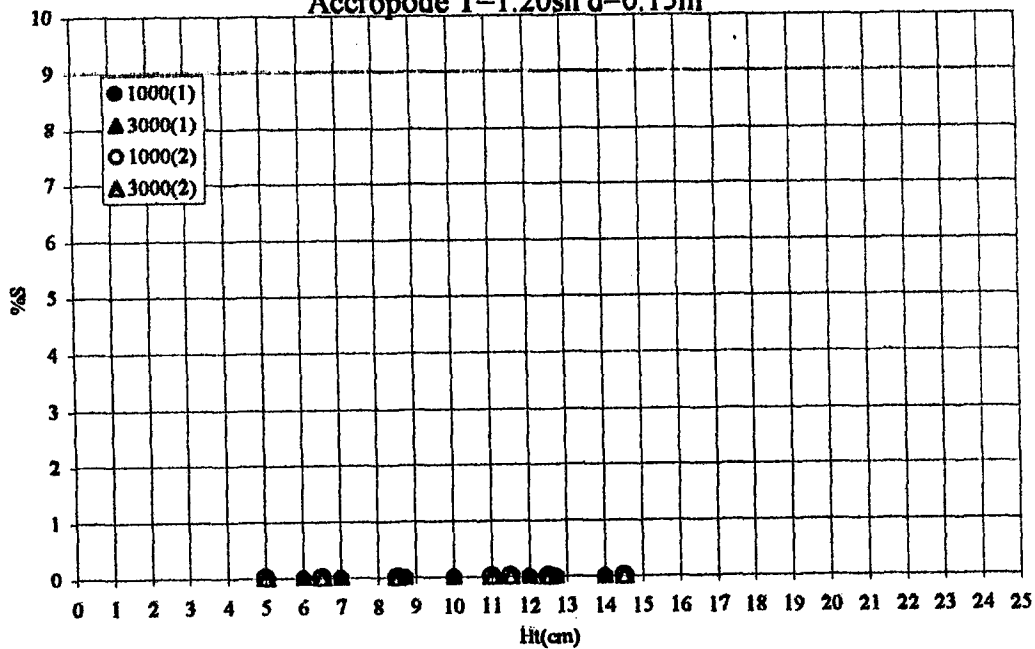
Şekil 12.1.2 T=1.10sn, d=0.20m için düzenli (1) ve düzensiz (2) yerleştirmelerde 1000 ve 3000 dalga sonucu görülmüş hasarlar

Accropode T=1.10sn d=0.25m

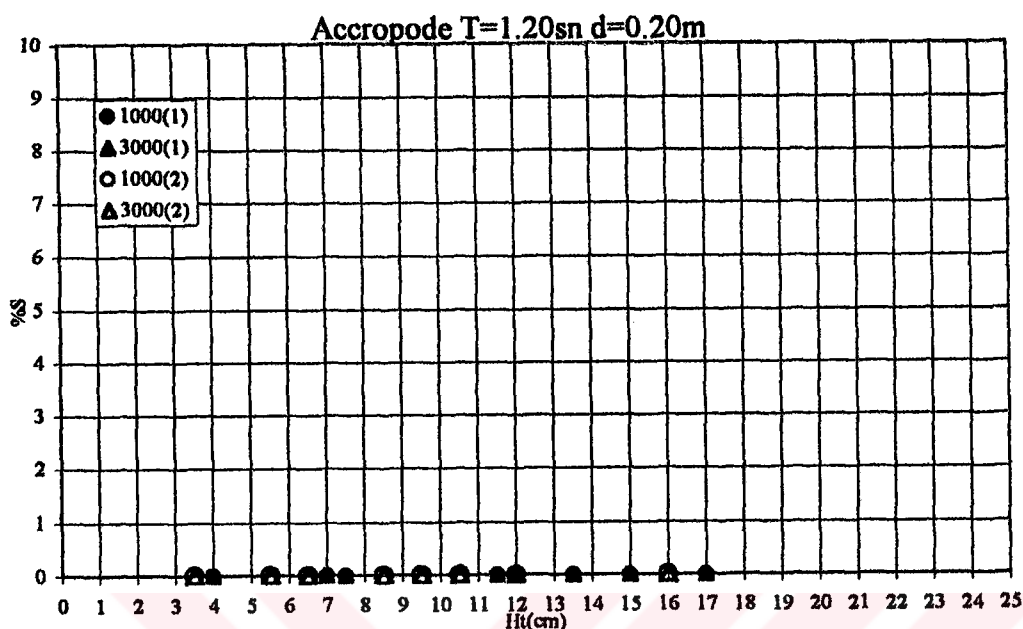


Şekil 12.1.3 T=1.10sn, d=0.25m için düzenli (1) ve düzensiz (2) yerleştirmelerde 1000 ve 3000 dalga sonucu görülmüş hasarlar

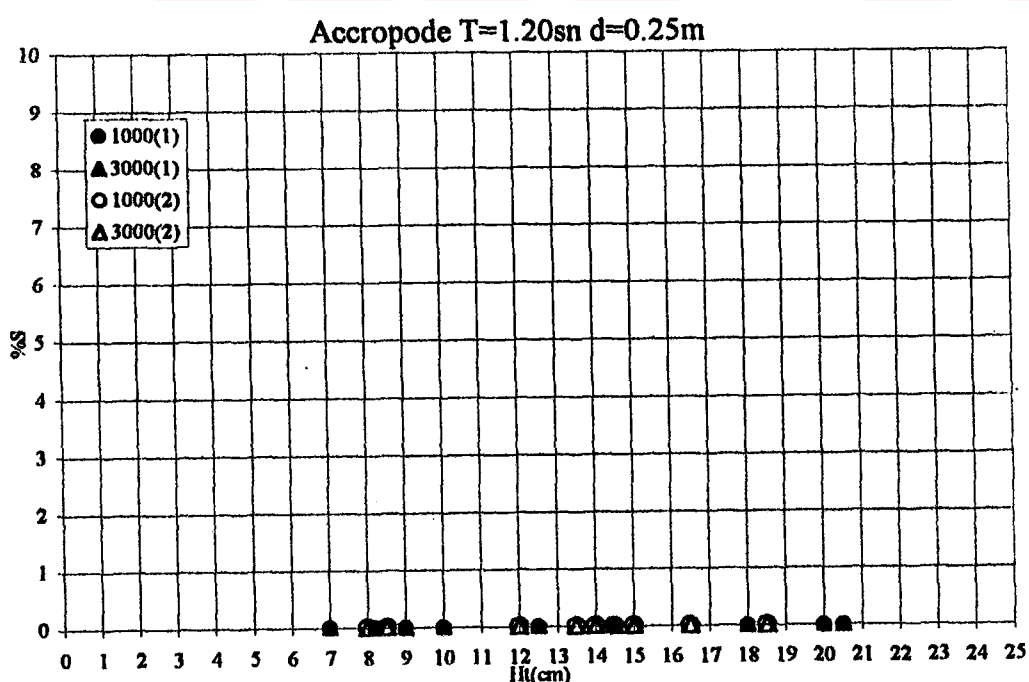
Accropode T=1.20sn d=0.15m



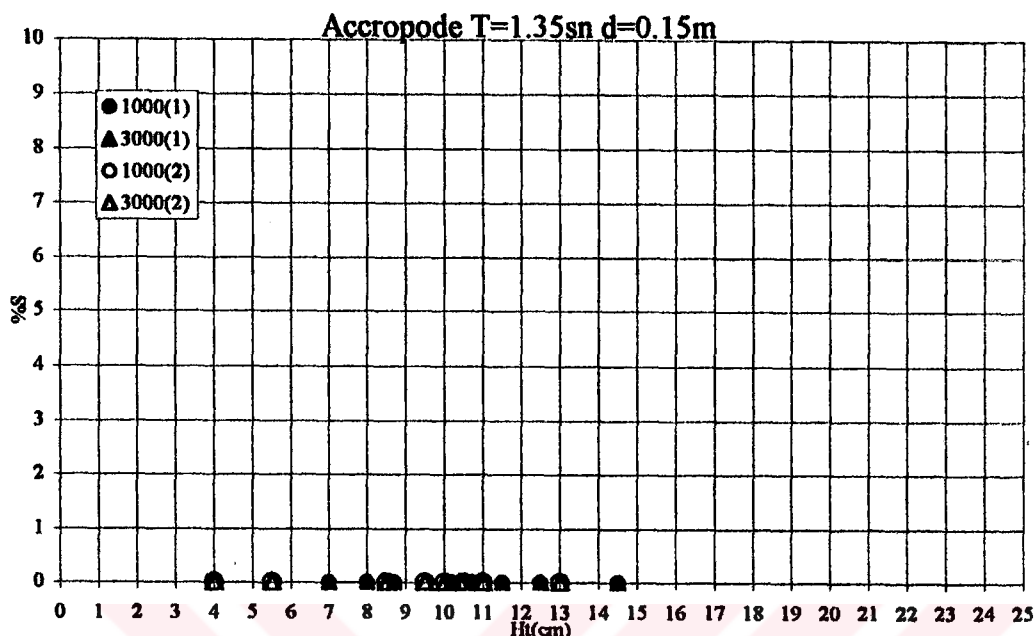
Şekil 12.1.4 T=1.20sn, d=0.15m için düzenli (1) ve düzensiz (2) yerleştirmelerde 1000 ve 3000 dalga sonucu görülmüş hasarlar



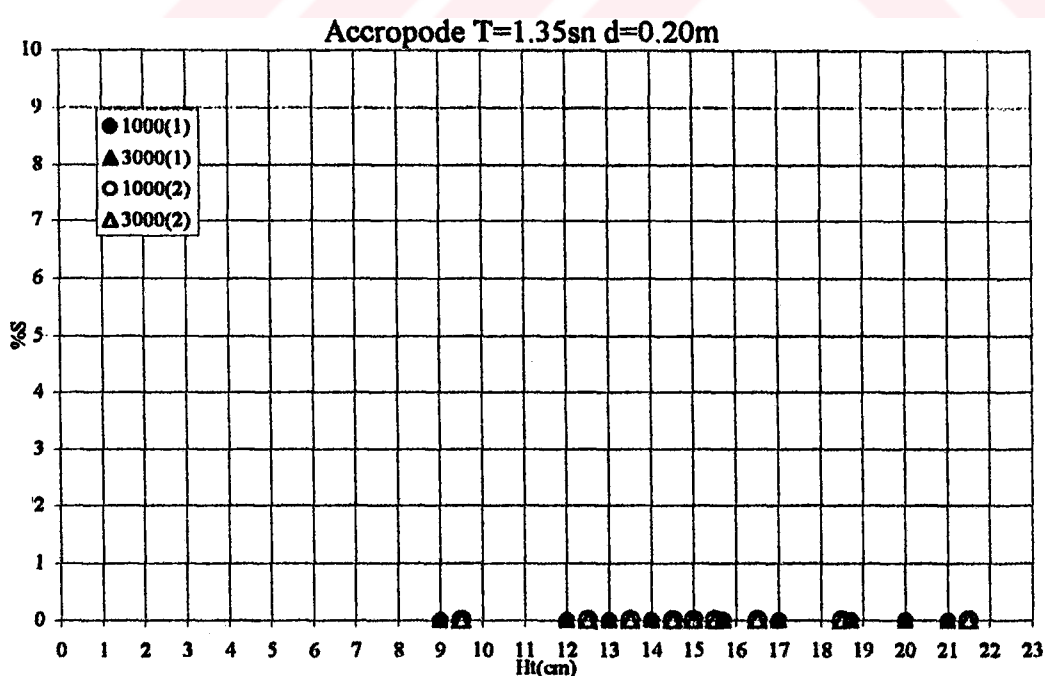
Şekil 12.1.5 T=1.20sn, d=0.20m için düzenli (1) ve düzensiz (2) yerleştirmelerde 1000 ve 3000 dalga sonucu görülmüş hasarlar



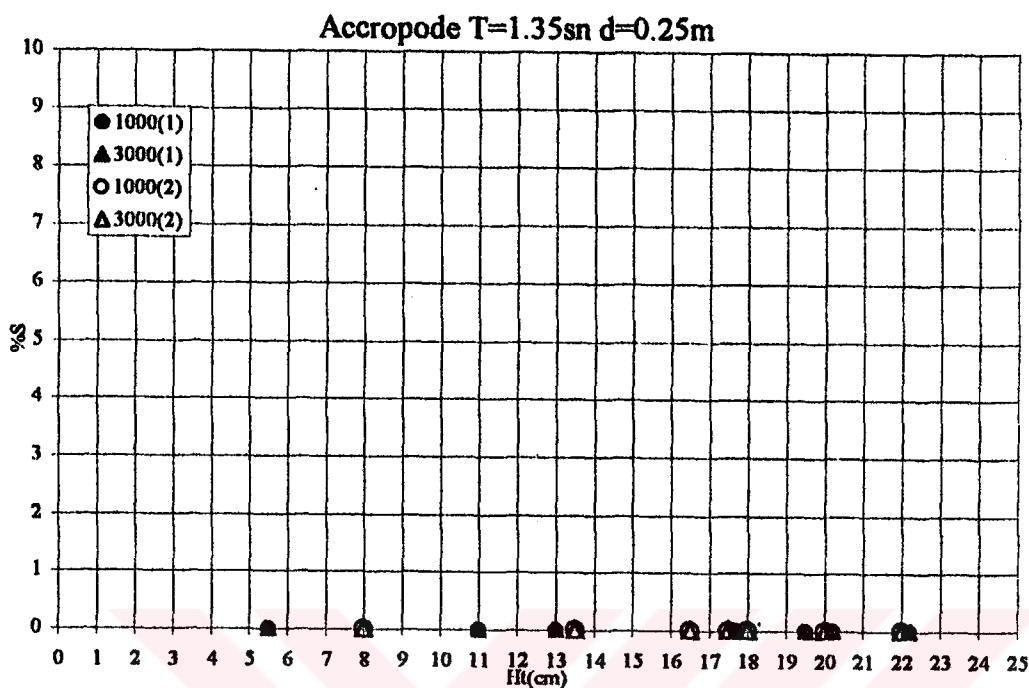
Şekil 12.1.6 T=1.20sn, d=0.25m için düzenli (1) ve düzensiz (2) yerleştirmelerde 1000 ve 3000 dalga sonucu görülmüş hasarlar



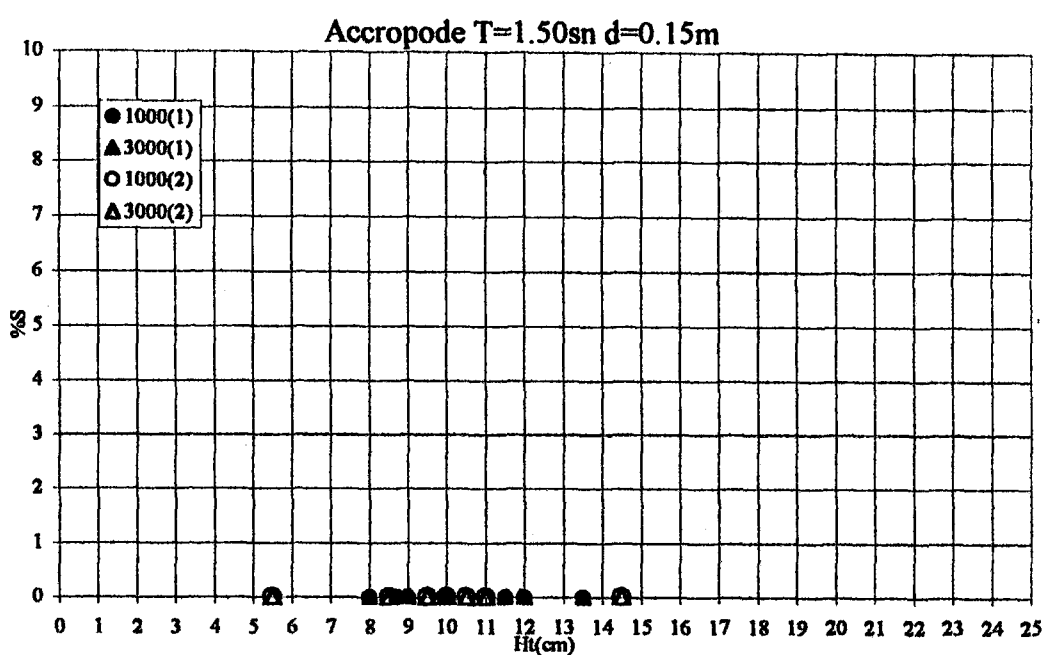
Şekil 12.1.7 T=1.35sn, d=0.15m için düzenli (1) ve düzensiz (2) yerleştirmelerde 1000 ve 3000 dalga sonucu görülmüş hasarlar



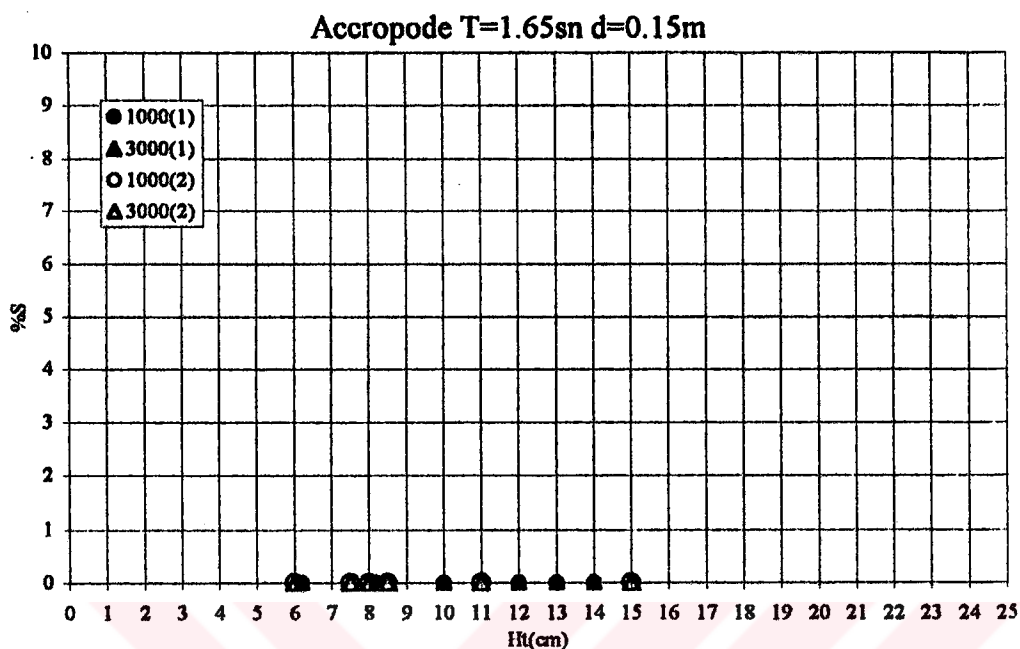
Şekil 12.1.8 T=1.35sn, d=0.20m için düzenli (1) ve düzensiz (2) yerleştirmelerde 1000 ve 3000 dalga sonucu görülmüş hasarlar



Şekil 12.1.9  $T=1.35\text{sn}$ ,  $d=0.25\text{m}$  için düzenli (1) ve düzensiz (2) yerleştirmelerde 1000 ve 3000 dalga sonucu görülmüş hasarlar

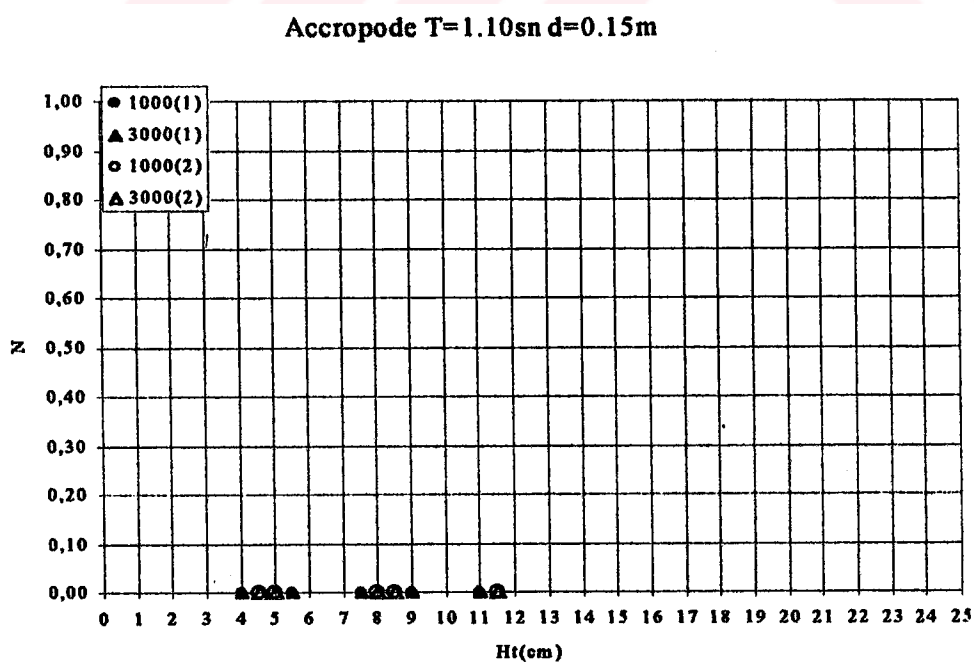


Şekil 12.1.10  $T=1.50\text{sn}$ ,  $d=0.15\text{m}$  için düzenli (1) ve düzensiz (2) yerleştirmelerde 1000 ve 3000 dalga sonucu görülmüş hasarlar



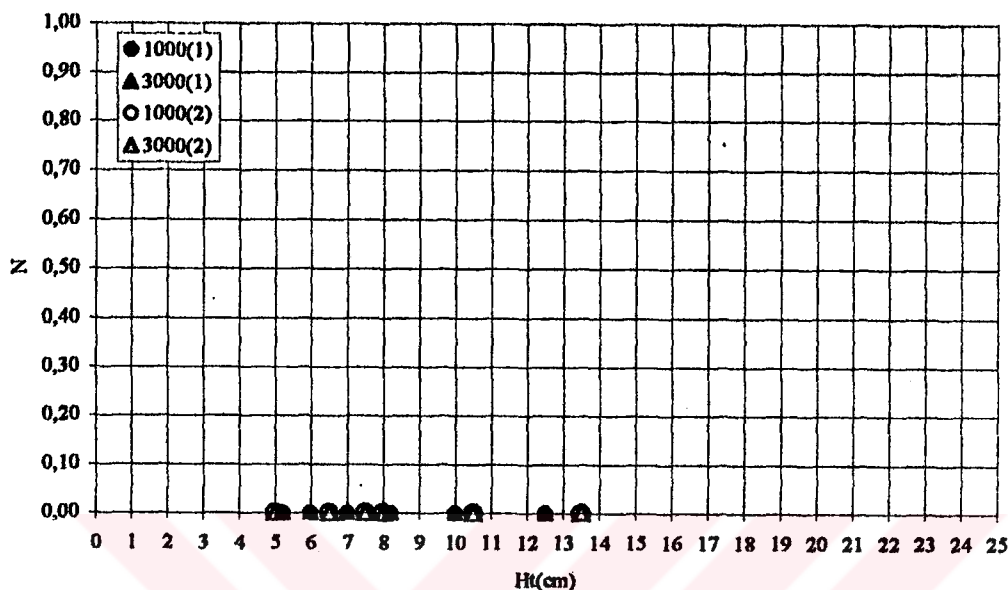
Şekil 12.1.11 T=1.65sn, d=0.15m için düzenli (1) ve düzensiz (2) yerleştirmelerde 1000 ve 3000 dalga sonucu görülmüş hasarlar

#### Çizelge 12.2 Van der Meer hasar parametresi değişimi grafikleri



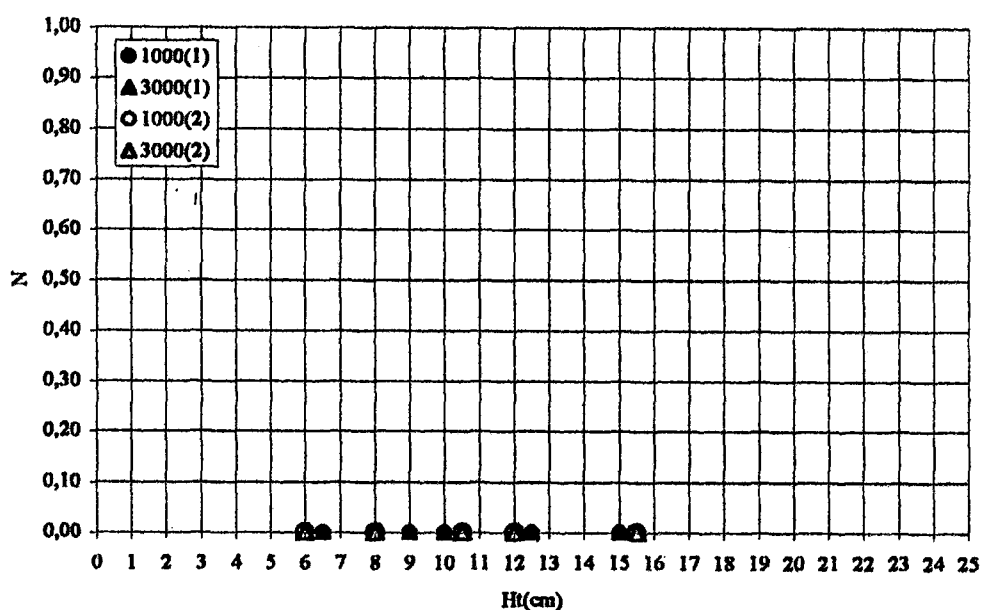
Şekil 12.2.1 Van der Meer hasar parametresinin dalga yüksekliği ile değişimi d=0.15m

Accropode T=1.10sn d=0.20m



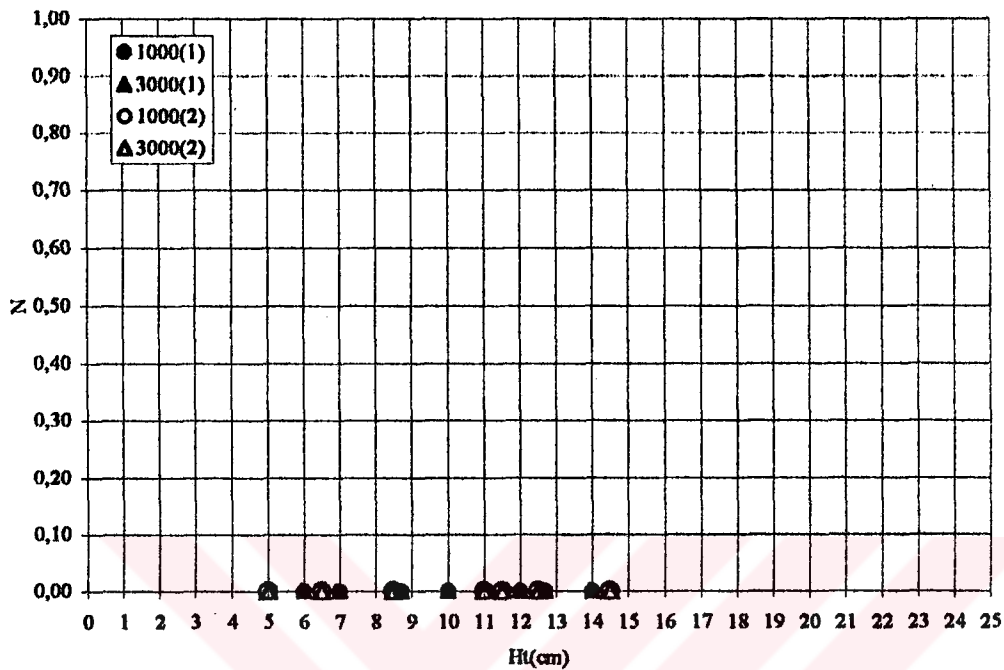
Şekil 12.2.2 Van der Meer hasar parametresinin dalga yüksekliği ile değişimi  
d=0,20m

Accropode T=1.10sn d=0.25m



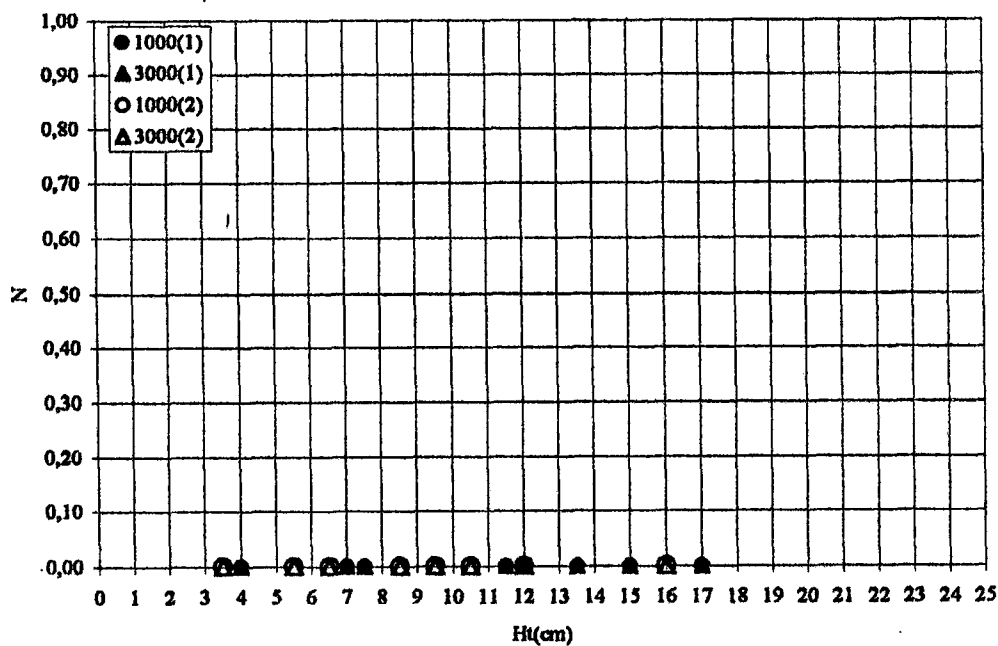
Şekil 12.2.3 Van der Meer hasar parametresinin dalga yüksekliği ile değişimi  
d=0,25m

**Accropode T=1.20sn d=0.15m**



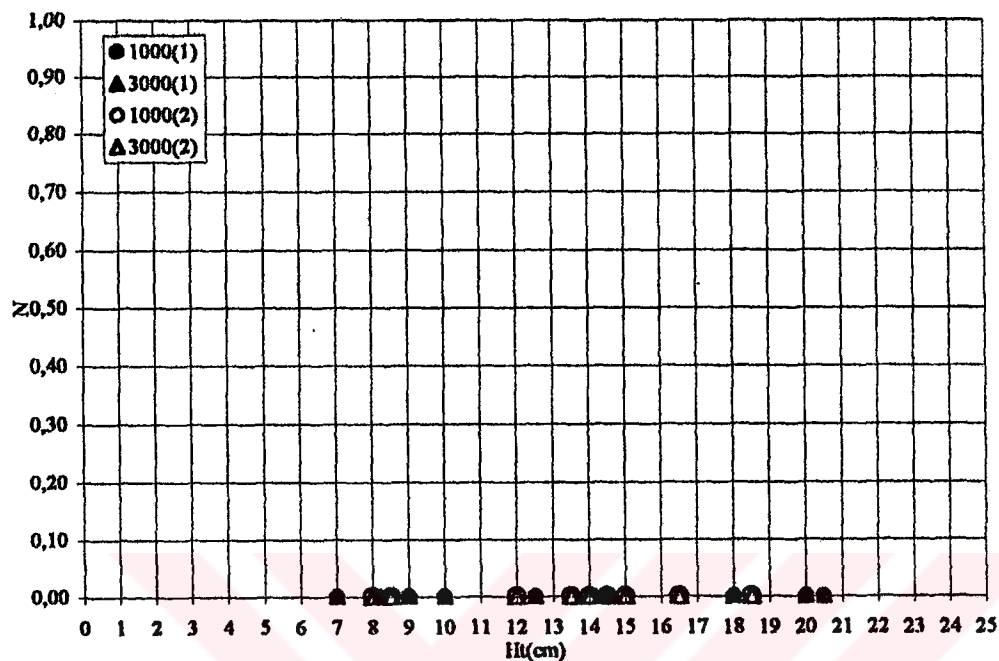
**Şekil 12.2.4 Van der Meer hasar parametresinin dalga yüksekliği ile değişimi  
d=0.15m**

**Accropode T=1.20sn d=0.20m**



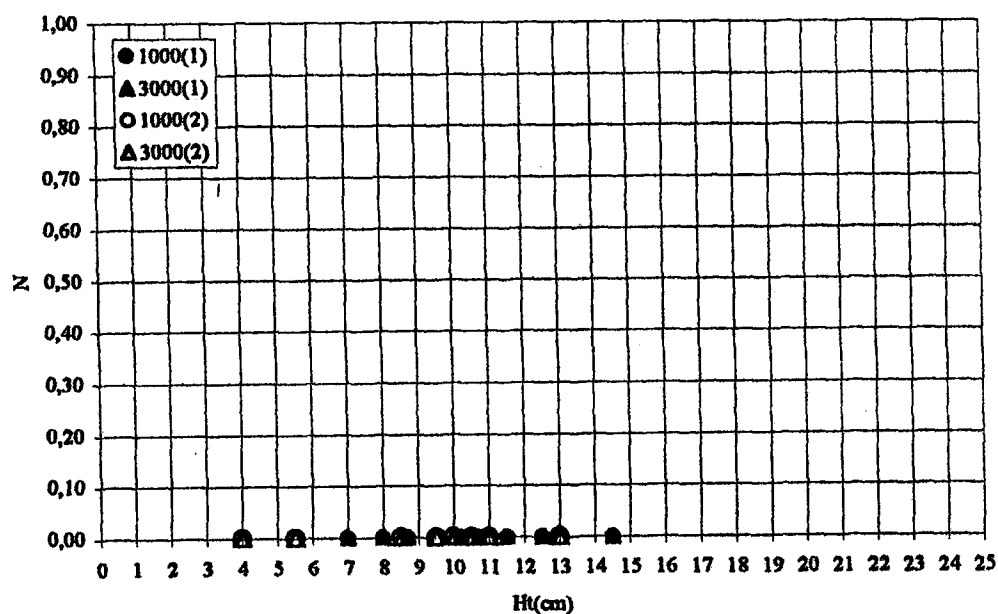
**Şekil 12.2.5 Van der Meer hasar parametresinin dalga yüksekliği ile değişimi  
d=0.20m**

Accropode T=1.20sn d=0.25m



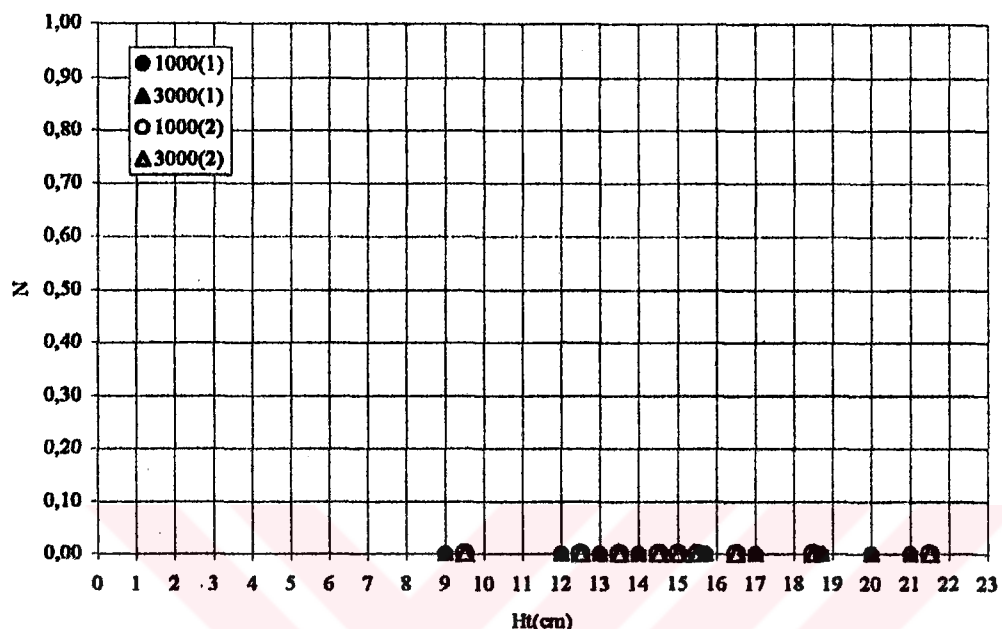
Şekil 12.2.6 Van der Meer hasar parametresinin dalga yüksekliği ile değişimi  
d=0,25m

Accropode T=1.35sn d=0.15m

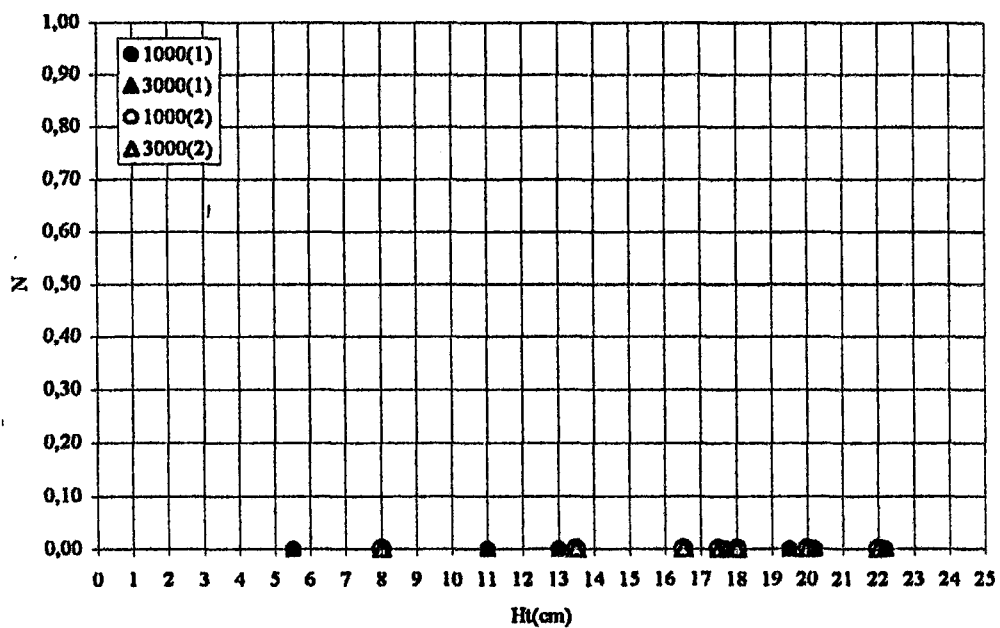


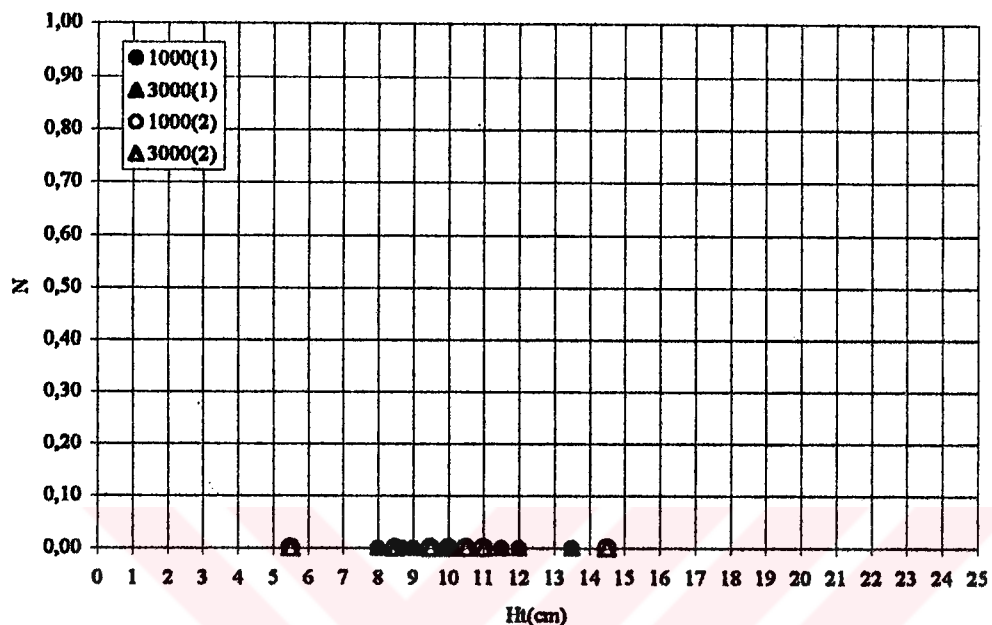
Şekil 12.2.7 Van der Meer hasar parametresinin dalga yüksekliği ile değişimi  
d=0,15m

Accropode T=1.35sn d=0.20m

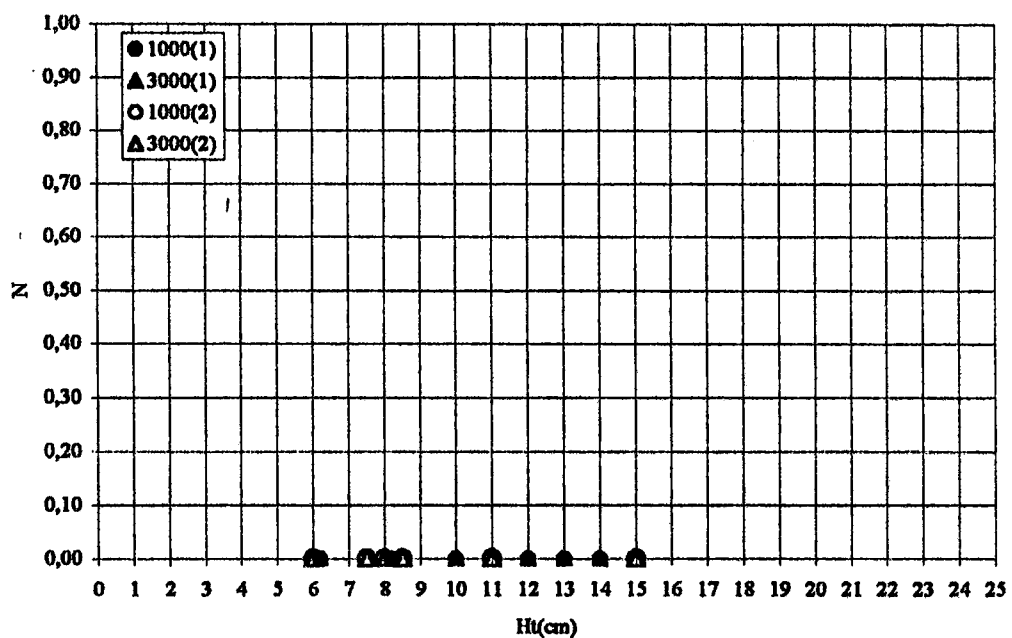
Şekil 12.2.8 Van der Meer hasar parametresinin dalga yüksekliği ile değişimi  
d=0.20m

Accropode T=1.35sn d=0.25m

Şekil 12.2.9 Van der Meer hasar parametresinin dalga yüksekliği ile değişimi  
d=0.25m

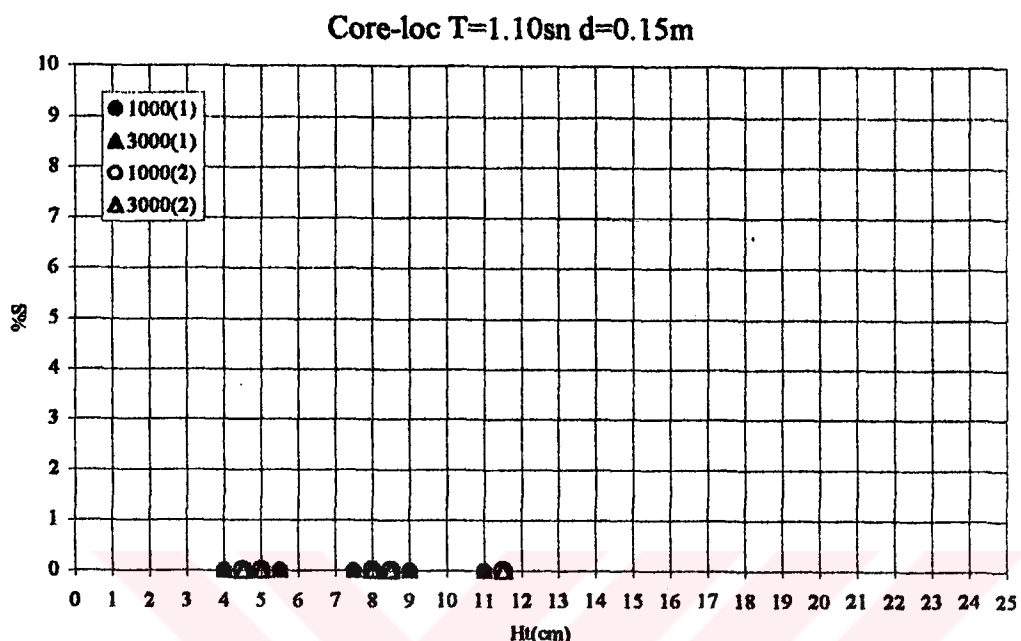
**Accropode T=1.50sn d=0.15m**

Şekil 12.2.10 Van der Meer hasar parametresinin dalga yüksekliği ile değişimi  
d=0,15m

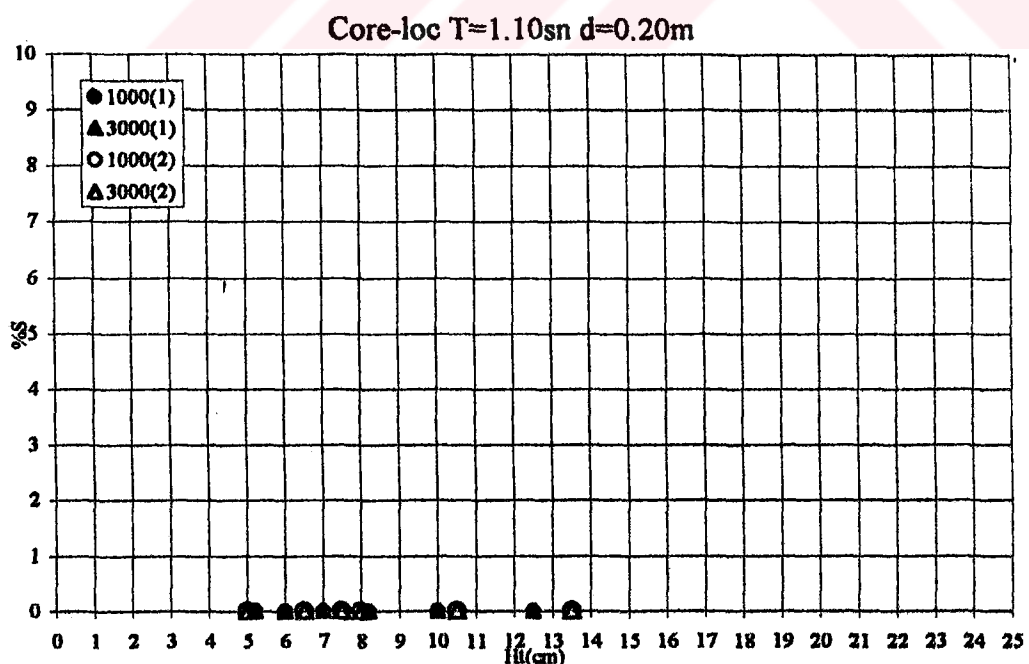
**Accropode T=1.65sn d=0.15m**

Şekil 12.2.11 Van der Meer hasar parametresinin dalga yüksekliği ile değişimi  
d=0,15m

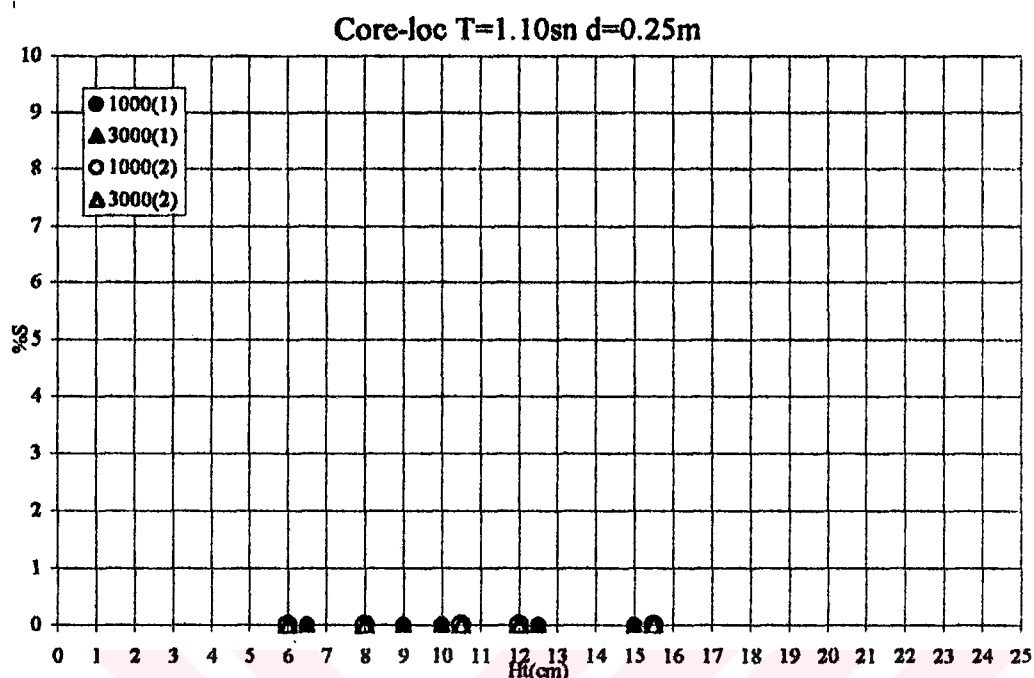
**Ek 13 Core-Loc için hasar grafikleri**  
**Çizelge 13.1 Hasar grafikleri**



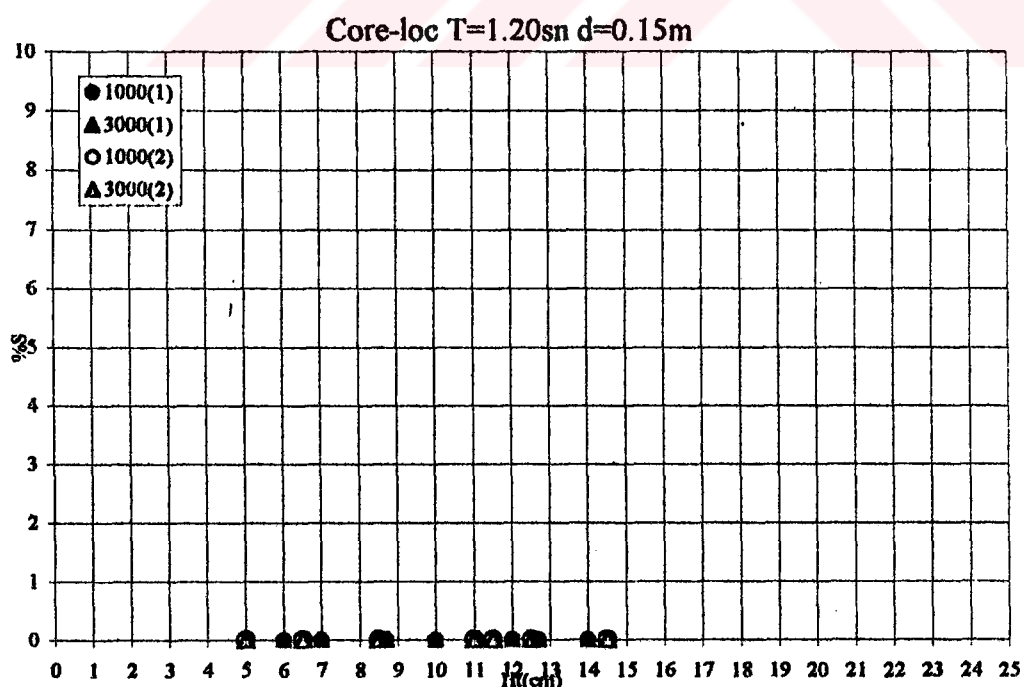
Şekil 13.1.1 T=1.10sn, d=0.15m için düzenli (1) ve düzensiz (2) yerleştirmelerde 1000 ve 3000 dalga sonucu görülmüş hasarlar



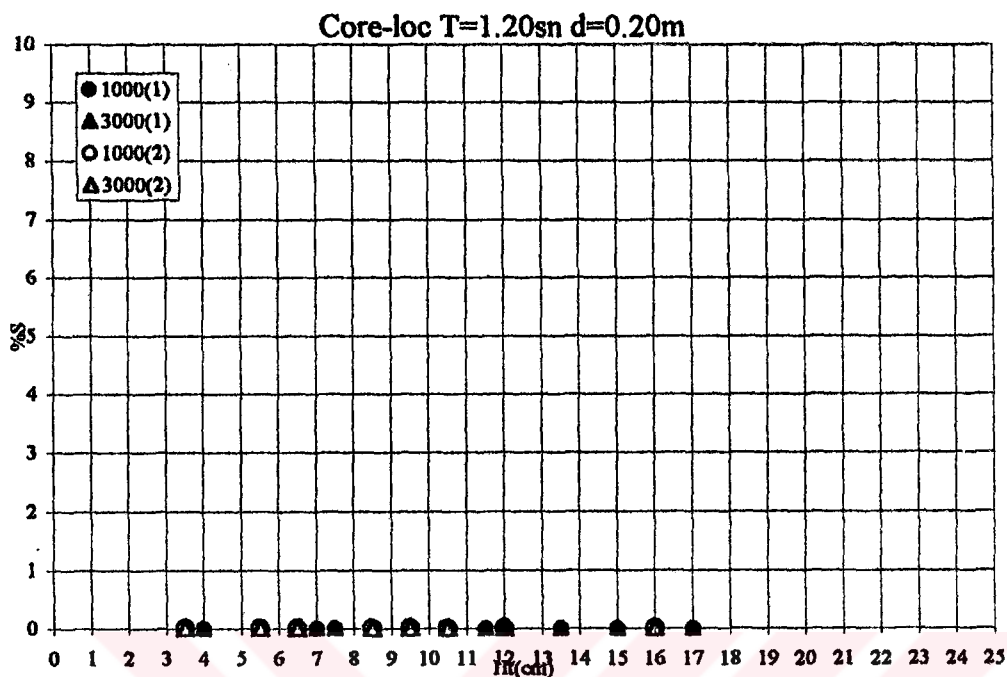
Şekil 13.1.2 T=1.10sn, d=0.20m için düzenli (1) ve düzensiz (2) yerleştirmelerde 1000 ve 3000 dalga sonucu görülmüş hasarlar



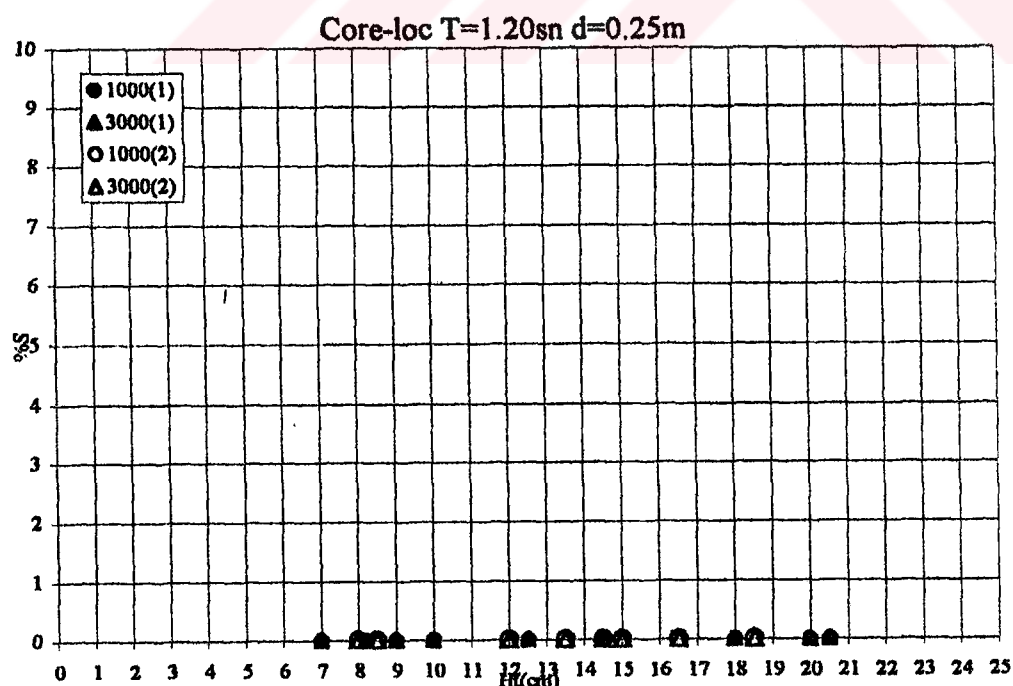
Şekil 13.1.3 T=1.10sn, d=0.25m için düzenli (1) ve düzensiz (2) yerleştirmelerde 1000 ve 3000 dalga sonucu görülmüş hasarlar



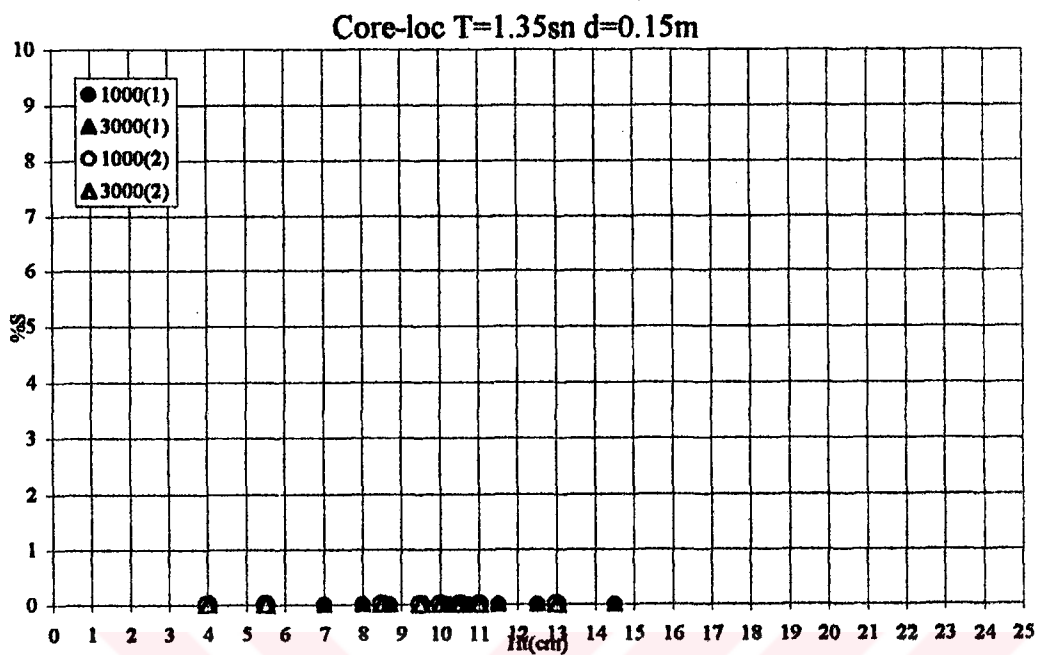
Şekil 13.1.4 T=1.20sn, d=0.15m için düzenli (1) ve düzensiz (2) yerleştirmelerde 1000 ve 3000 dalga sonucu görülmüş hasarlar



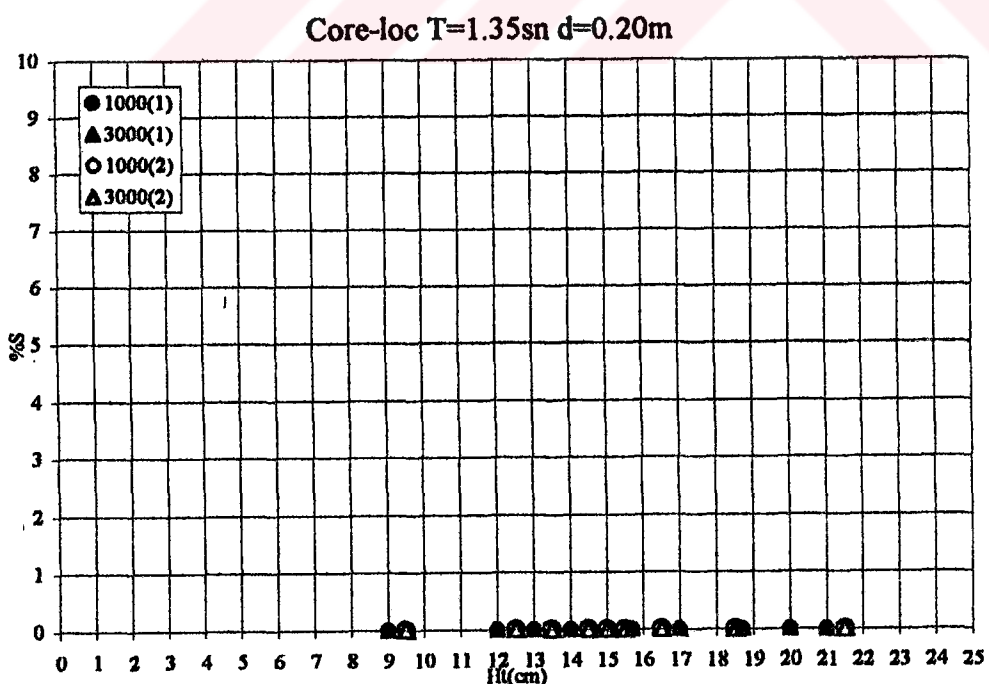
Şekil 13.1.5  $T=1.20\text{sn}$ ,  $d=0.20\text{m}$  için düzenli (1) ve düzensiz (2) yerleştirmelerde 1000 ve 3000 dalga sonucu görülmüş hasarlar



Şekil 13.1.6  $T=1.20\text{sn}$ ,  $d=0.25\text{m}$  için düzenli (1) ve düzensiz (2) yerleştirmelerde 1000 ve 3000 dalga sonucu görülmüş hasarlar

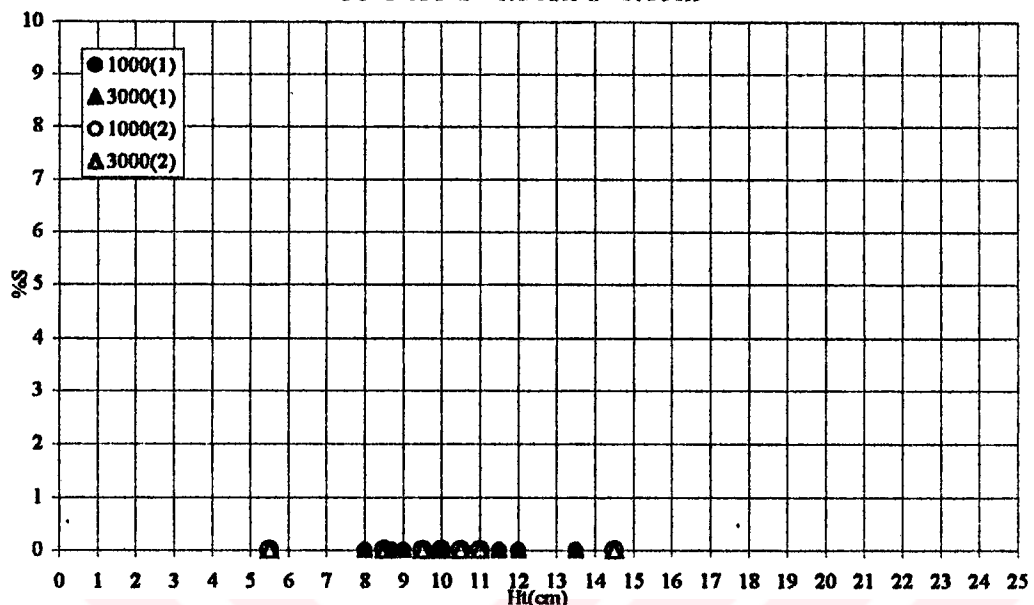


Şekil 13.1.7 T=1.35sn, d=0.15m için düzenli (1) ve düzensiz (2) yerleştirmelerde 1000 ve 3000 dalga sonucu görülmüş hasarlar



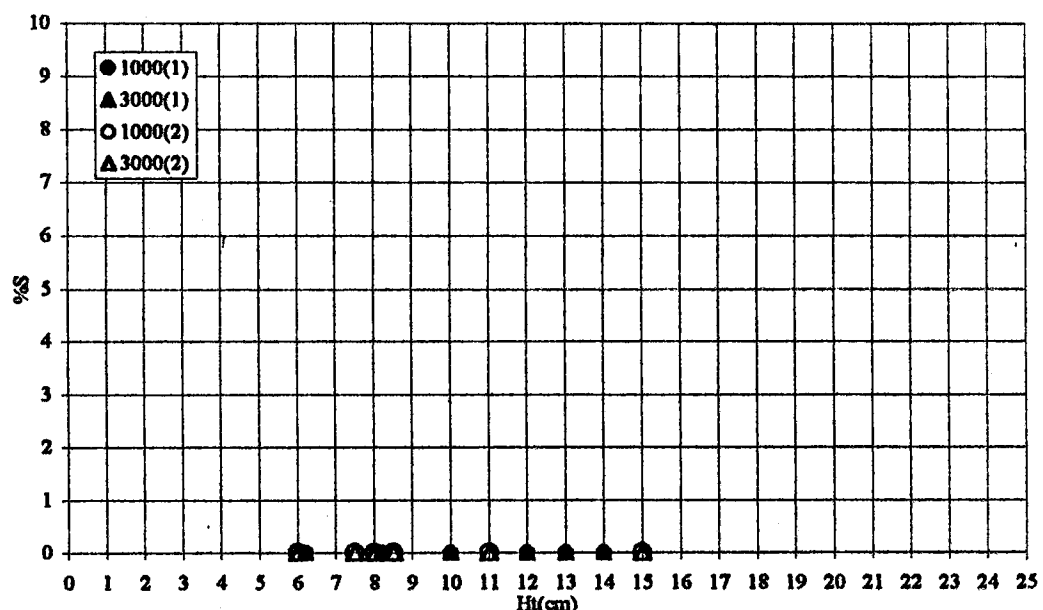
Şekil 13.1.8 T=1.35sn, d=0.20m için düzenli (1) ve düzensiz (2) yerleştirmelerde 1000 ve 3000 dalga sonucu görülmüş hasarlar

Core-loc T=1.50sn d=0.15m



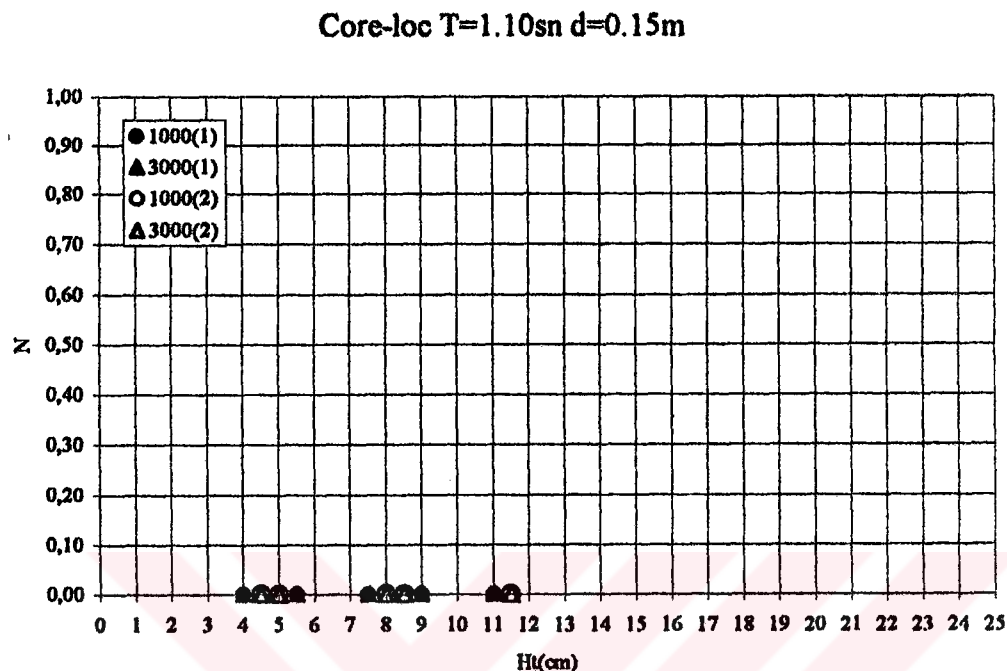
Şekil 13.1.9 T=1.50sn, d=0.15m için düzenli (1) ve düzensiz (2) yerleştirmelerde 1000 ve 3000 dalga sonucu görülmüş hasarlar

Core-loc T=1.65sn d=0.15m

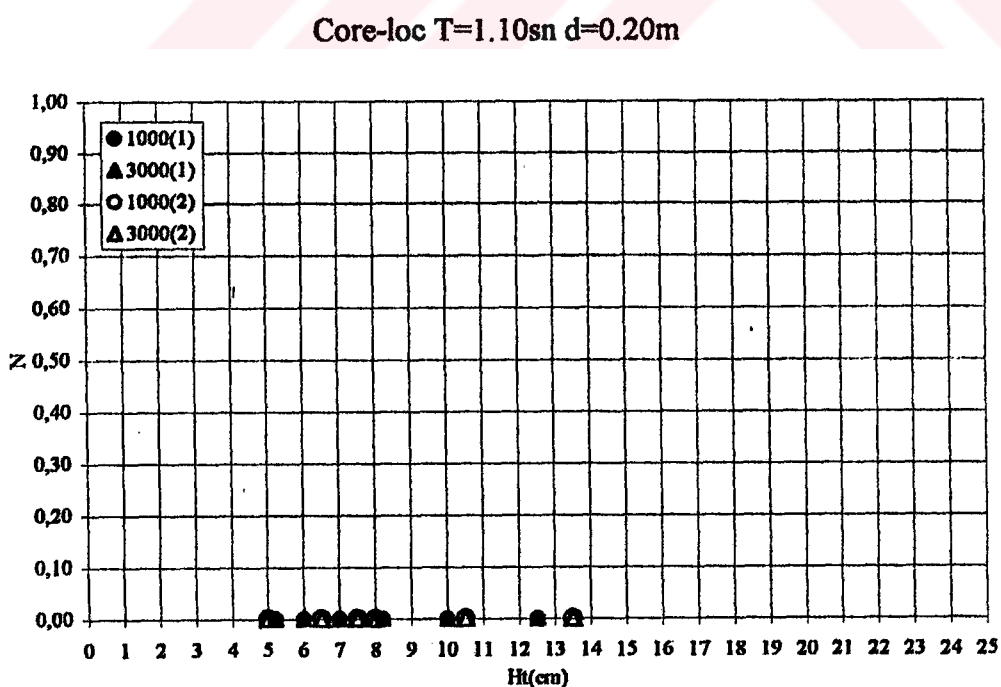


Şekil 13.1.10 T=1.65sn, d=0.15m için düzenli (1) ve düzensiz (2) yerleştirmelerde 1000 ve 3000 dalga sonucu görülmüş hasarlar

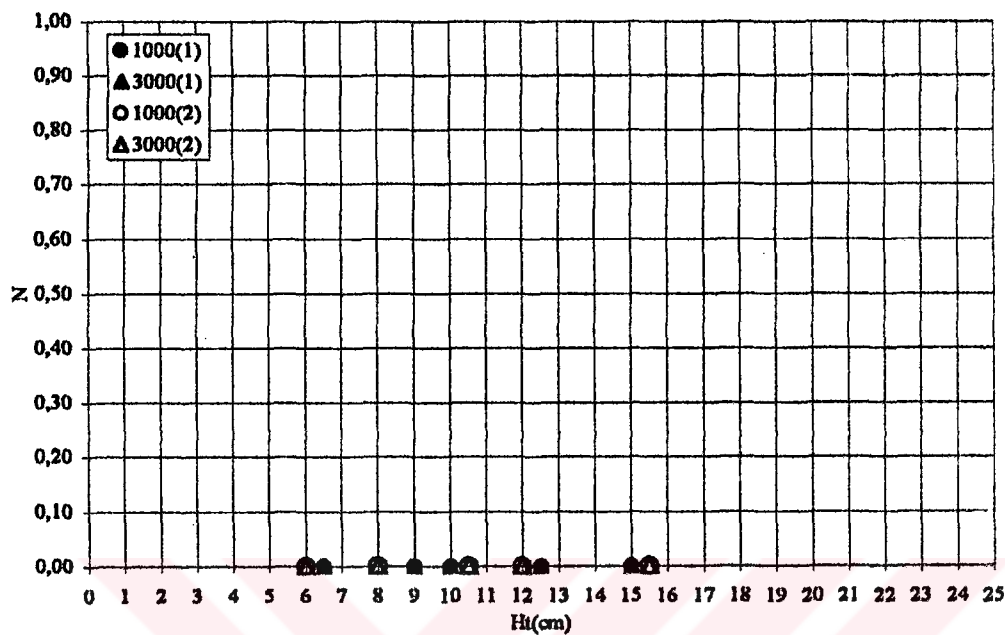
**Çizelge 13.2 Van der Meer hasar parametresi değişimi grafikleri**



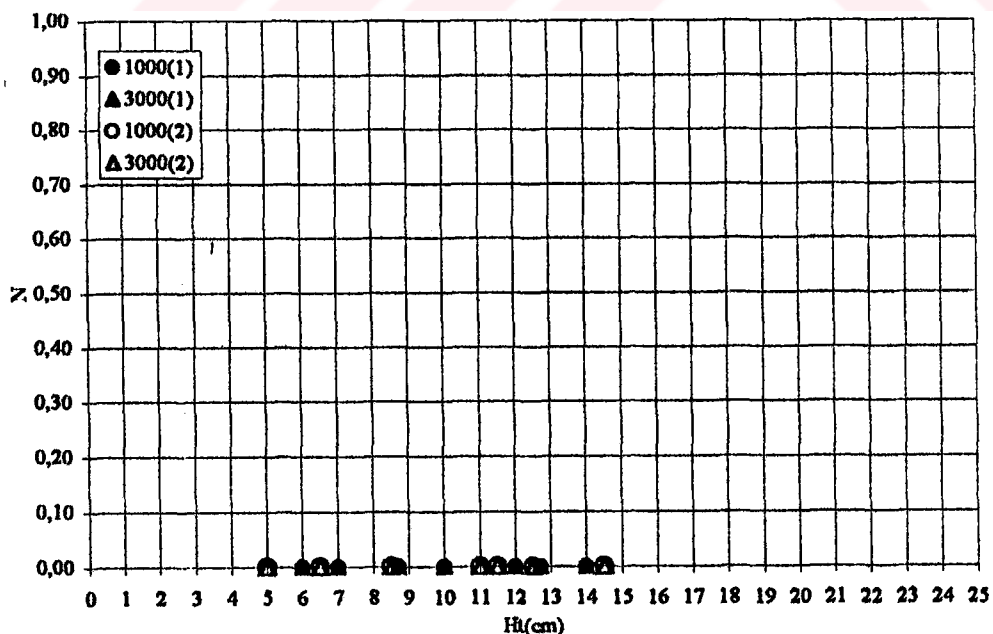
**Şekil 13.2.1 Van der Meer hasar parametresinin dalga yüksekliği ile değişimi  
d=0.15m**



**Şekil 13.2.2 Van der Meer hasar parametresinin dalga yüksekliği ile değişimi  
d=0.20m**

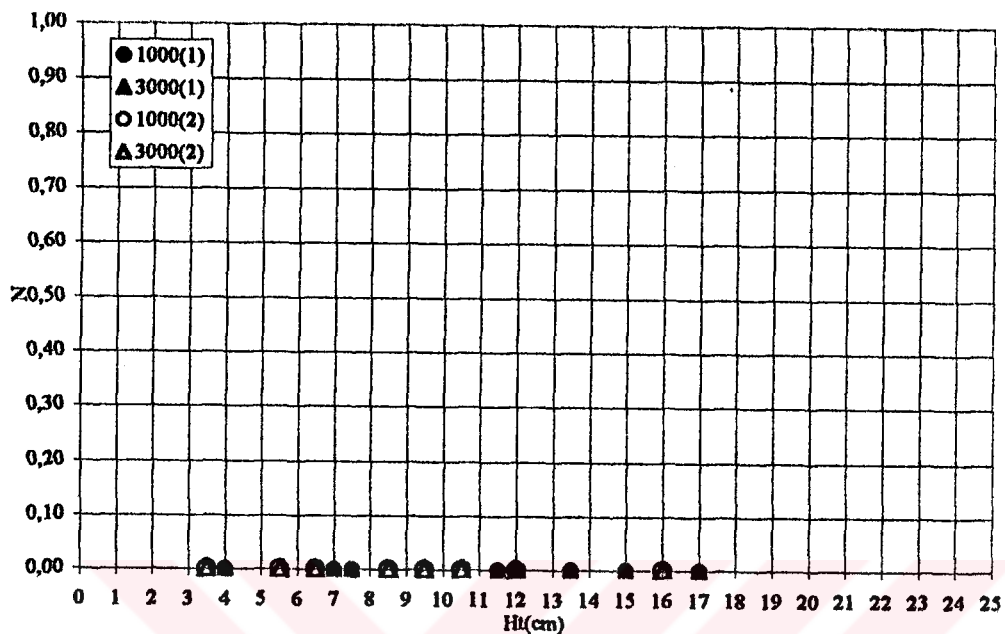
Core-loc  $T=1.10\text{sn}$   $d=0.25\text{m}$ 

Şekil 13.2.3 Van der Meer hasar parametresinin dalga yüksekliği ile değişimi  
 $d=0.25\text{m}$

Core-loc  $T=1.20\text{sn}$   $d=0.15\text{m}$ 

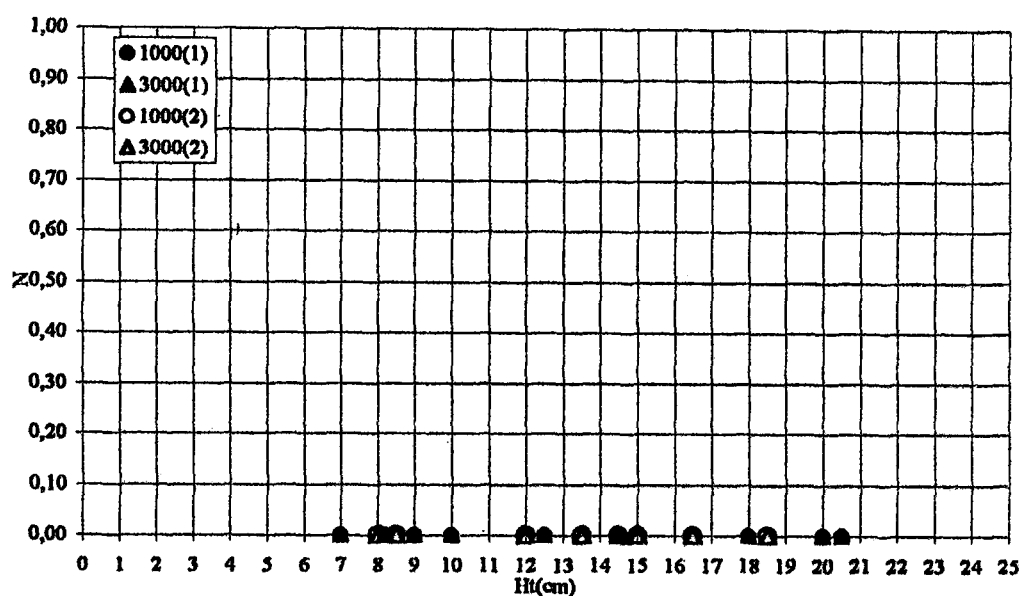
Şekil 13.2.4 Van der Meer hasar parametresinin dalga yüksekliği ile değişimi  
 $d=0.15\text{m}$

Core-loc T=1.20sn d=0.20m

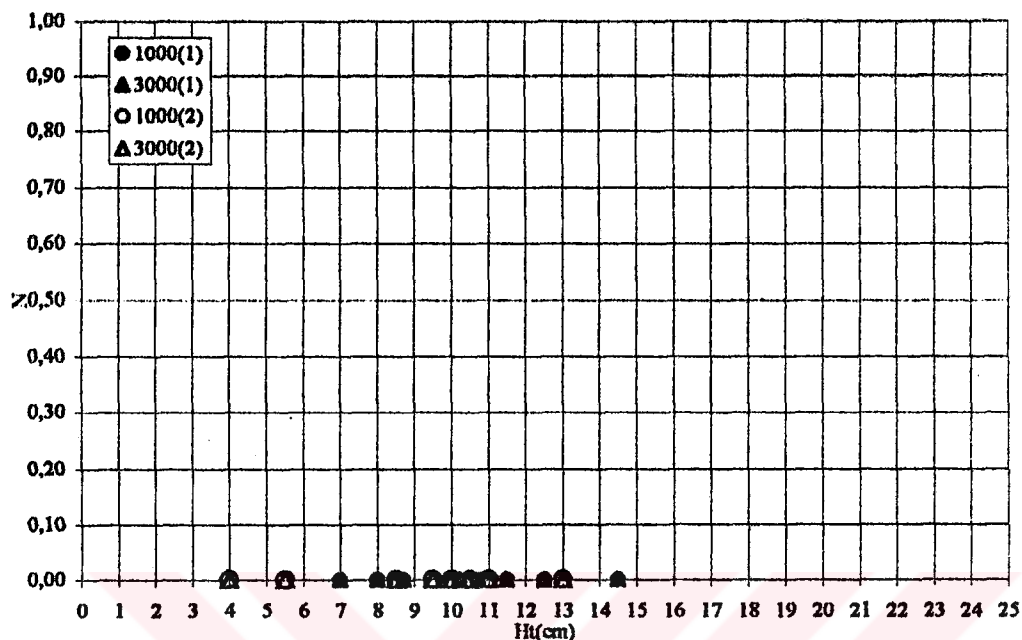
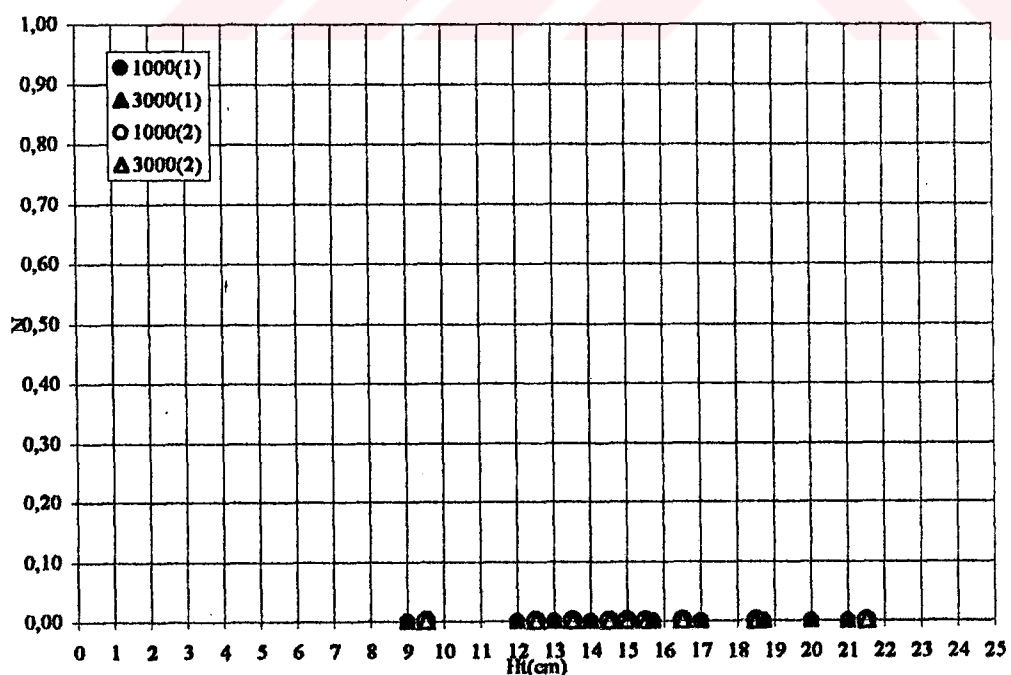


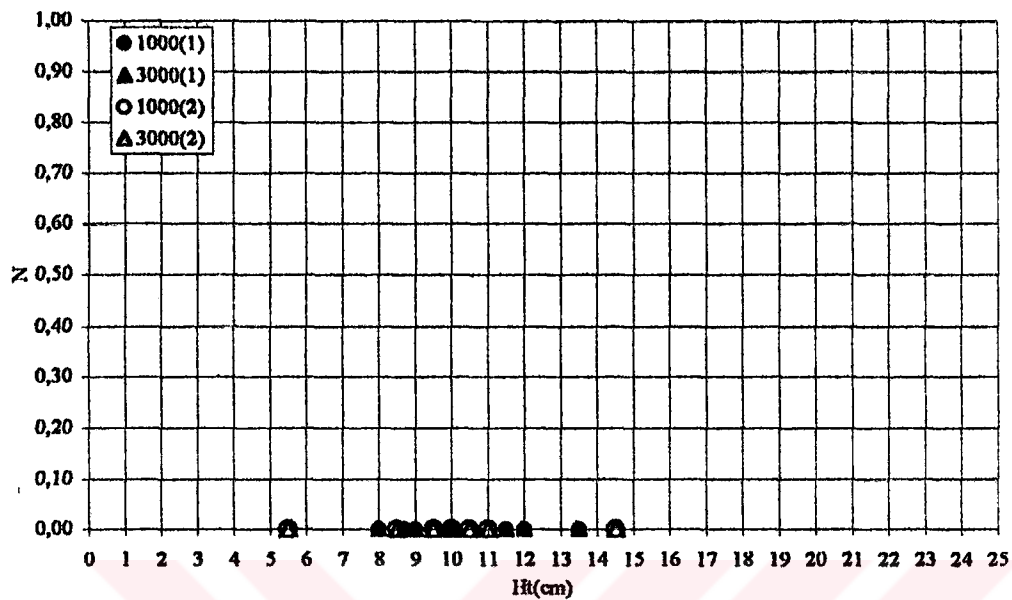
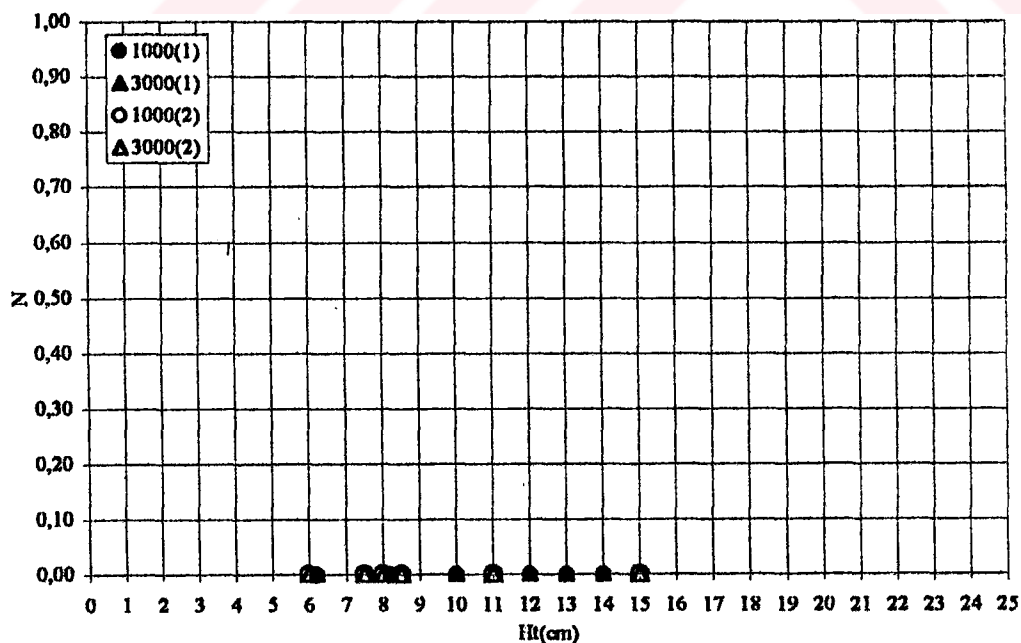
Şekil 13.2.5 Van der Meer hasar parametresinin dalga yüksekliği ile değişimi  
d=0.20m

Core-loc T=1.20sn d=0.25sn



Şekil 13.2.6 Van der Meer hasar parametresinin dalga yüksekliği ile değişimi  
d=0.25m

Core-loc  $T=1.35\text{sn}$   $d=0.15\text{m}$ Şekil 13.2.7 Van der Meer hasar parametresinin dalga yüksekliği ile değişimi  
 $d=0.15\text{m}$ Core-loc  $T=1.35\text{sn}$   $d=0.20\text{m}$ Şekil 13.2.8 Van der Meer hasar parametresinin dalga yüksekliği ile değişimi  
 $d=0.20\text{m}$

Core-loc  $T=1.50\text{sn}$   $d=0.15\text{m}$ Şekil 13.2.9 Van der Meer hasar parametresinin dalga yüksekliği ile değişimi  
 $d=0.15\text{m}$ Core-loc  $T=1.65\text{sn}$   $d=0.15\text{m}$ Şekil 13.2.10 Van der Meer hasar parametresinin dalga yüksekliği ile değişimi  
 $d=0.15\text{m}$

#### **Ek 14 Accropode Bloklar için $K_d$ hesaplanması**

Şekil 5.19'dan Accropode bloklarda hasar başlangıcı için bu çalışmada;

$$\text{Düzensiz dizilişte} \Rightarrow H_s/\Delta D_n = 4.10 \Rightarrow \text{Güvenlik katsayısı} = 1.5 \Rightarrow 4.10/1.5 = 2.73 \Rightarrow \\ H_s/\Delta D_n = (K_d \cot \alpha)^{1/3} \Rightarrow 2.73 = (K_d 1.5)^{1/3} \Rightarrow K_d = 13.61$$

$$\text{Düzenli dizilişte} \Rightarrow H_s/\Delta D_n = 4.00 \Rightarrow \text{Güvenlik katsayısı} = 1.5 \Rightarrow 4.00/1.5 = 2.67 \Rightarrow \\ H_s/\Delta D_n = (K_d \cot \alpha)^{1/3} \Rightarrow 2.67 = (K_d 1.5)^{1/3} \Rightarrow K_d = 12.64 \\ \text{şeklinde hesaplanmıştır.}$$

Van der Meer (1999)'in yaptığı çalışmaya ait Şekil 3.13'den Accropode bloklarda hasar başlangıcı için;

$$\text{Düzensiz dizilişte} \Rightarrow H_s/\Delta D_n = 3.70 \Rightarrow \text{Güvenlik katsayısı} = 1.5 \Rightarrow 3.70/1.5 = 2.50 \Rightarrow \\ H_s/\Delta D_n = (K_d \cot \alpha)^{1/3} \Rightarrow 2.50 = (K_d 1.33)^{1/3} \Rightarrow K_d = 12 \\ \text{şeklinde hesaplanmıştır.}$$

### Ek 15 Core-Loc Bloklar için $K_d$ hesaplanması

Şekil 5.19'dan Core-Loc bloklarda hasar başlangıcı için bu çalışmada;

$$\text{Düzensiz dizilişte} \Rightarrow H_s/\Delta D_n = 4.43 \Rightarrow \text{Güvenlik katsayısı} = 1.5 \Rightarrow 4.43/1.5 = 2.95 \Rightarrow \\ H_s/\Delta D_n = (K_d \cot \alpha)^{1/3} \Rightarrow 2.95 = (K_d 1.5)^{1/3} \Rightarrow K_d = 17.17$$

$$\text{Düzenli dizilişte} \Rightarrow H_s/\Delta D_n = 4.33 \Rightarrow \text{Güvenlik katsayısı} = 1.5 \Rightarrow 4.33/1.5 = 2.89 \Rightarrow \\ H_s/\Delta D_n = (K_d \cot \alpha)^{1/3} \Rightarrow 2.89 = (K_d 1.5)^{1/3} \Rightarrow K_d = 16.04 \\ \text{şeklinde hesaplanmıştır.}$$

Van der Meer (1999)'in yaptığı çalışmaya ait Şekil 3.13'den Core-Loc bloklarda hasar başlangıcı için;

$$\text{Düzensiz dizilişte} \Rightarrow H_s/\Delta D_n = 4.17 \Rightarrow \text{Güvenlik katsayısı} = 1.5 \Rightarrow 4.17/1.5 = 2.78 \Rightarrow \\ H_s/\Delta D_n = (K_d \cot \alpha)^{1/3} \Rightarrow 2.78 = (K_d 1.33)^{1/3} \Rightarrow K_d = 16 \\ \text{şeklinde hesaplanmıştır.}$$

**Ek 16 Accropode için Ho/d ve surf parametresi tabloları**  
**Çizelge 16.1 Düzenli diziliş için Ho/d ve surf parametresi tabloları**

<b>ACCROPODE (Düzenli diziliş)</b>							
T(sn)	d(m)	Ho(cm)	$\zeta(-)$	Hb(cm)	Ho/d	$\zeta_b(-)$	Açıklama
1,10	0,15	5,362	3,956	-	0,357	-	hasar yok
		6,670	3,547	-	0,445	-	hasar yok
		7,453	3,355	-	0,497	-	hasar yok
		8,728	3,101	-	0,582	-	hasar yok
		9,902	2,911	10,754	0,660	2,793	hasar yok
	0,20	6,488	3,596	-	0,324	-	hasar yok
		7,504	3,344	-	0,375	-	hasar yok
		9,030	3,048	-	0,452	-	hasar yok
		9,720	2,938	-	0,486	-	hasar yok
		11,349	2,719	-	0,567	-	hasar yok
		12,692	2,571	13,263	0,635	2,515	hasar yok
	0,25	6,956	3,473	-	0,278	-	hasar yok
		8,215	3,196	-	0,329	-	hasar yok
		10,869	2,779	-	0,435	-	hasar yok
		13,188	2,522	-	0,528	-	hasar yok
		14,298	2,423	14,298	0,572	2,423	hasar yok
1,20	0,15	4,415	4,755	-	0,294	-	hasar yok
		6,237	4,001	-	0,416	-	hasar yok
		7,875	3,560	-	0,525	-	hasar yok
		8,676	3,392	-	0,578	-	hasar yok
		9,608	3,223	-	0,641	-	hasar yok
		9,908	3,174	-	0,661	-	hasar yok
		12,944	2,777	13,785	0,863	2,691	hasar yok
	0,20	5,711	4,181	-	0,286	-	hasar yok
		7,178	3,729	-	0,359	-	hasar yok
		8,173	3,495	-	0,409	-	hasar yok
		9,787	3,194	-	0,489	-	hasar yok
		10,713	3,052	-	0,536	-	hasar yok
		12,141	2,867	-	0,607	-	hasar yok
		14,914	2,587	-	0,746	-	hasar yok
		15,504	2,537	16,155	0,775	2,486	hasar yok
	0,25	6,542	3,906	-	0,262	-	hasar yok
		8,005	3,531	-	0,320	-	hasar yok
		8,028	3,526	-	0,321	-	hasar yok
		9,731	3,203	-	0,389	-	hasar yok
		12,093	2,873	-	0,484	-	hasar yok

## Çizelge 16.1 Devam

ACCROPODE (Düzenli diziliş)							
T(sn)	d(m)	H <sub>0</sub> (cm)	$\zeta(-)$	H <sub>b</sub> (cm)	H <sub>0</sub> /d	$\zeta_b(-)$	Açıklama
1,20	0,25	12,884	2,784	-	0,515	-	hasar yok
		14,947	2,584	-	0,598	-	hasar yok
		15,853	2,509	-	0,634	-	hasar yok
		16,183	2,484	16,733	0,647	2,442	hasar yok
1,35	0,15	2,286	7,435	-	0,152	-	hasar yok
		3,569	5,950	-	0,238	-	hasar yok
		6,083	4,558	-	0,406	-	hasar yok
		6,611	4,372	-	0,441	-	hasar yok
		7,444	4,120	-	0,496	-	hasar yok
		8,499	3,856	-	0,567	-	hasar yok
		9,050	3,737	-	0,603	-	hasar yok
		9,740	3,602	11,766	0,649	3,277	hasar yok
	0,20	6,998	4,249	-	0,350	-	hasar yok
		8,680	3,815	-	0,434	-	hasar yok
		9,701	3,609	-	0,485	-	hasar yok
		11,748	3,279	-	0,587	-	hasar yok
		12,459	3,185	-	0,623	-	hasar yok
		13,543	3,055	-	0,677	-	hasar yok
		13,951	3,010	-	0,698	-	hasar yok
		14,392	2,963	-	0,720	-	hasar yok
1,50	0,15	14,622	2,940	15,982	0,731	2,812	hasar yok
		5,365	4,853	-	0,215	-	hasar yok
		7,173	4,197	-	0,287	-	hasar yok
		9,608	3,626	-	0,384	-	hasar yok
		12,585	3,169	-	0,503	-	hasar yok
		13,123	3,103	-	0,525	-	hasar yok
		16,741	2,747	-	0,670	-	hasar yok
		18,886	2,587	19,415	0,755	2,551	hasar yok
1,50	0,20	5,472	5,339	-	0,365	-	hasar yok
		7,374	4,600	-	0,492	-	hasar yok
		7,801	4,472	-	0,520	-	hasar yok
		8,686	4,238	-	0,579	-	hasar yok
		10,194	3,912	-	0,680	-	hasar yok
		10,564	3,843	-	0,704	-	hasar yok
		10,687	3,821	13,058	0,712	3,456	hasar yok
		7,505	4,559	-	0,375	-	hasar yok
		8,009	4,413	-	0,400	-	hasar yok

## Çizelge 16.1 Devam

ACCROPODE (Düzenli diziliş)							
T(sn)	d(m)	H <sub>0</sub> (cm)	$\zeta(-)$	H <sub>b</sub> (cm)	H <sub>0</sub> /d	$\zeta_b(-)$	Açıklama
1,50	0,20	8,255	4,347	-	0,413	-	hasar yok
		9,875	3,975	-	0,494	-	hasar yok
		12,576	3,522	-	0,629	-	hasar yok
		14,467	3,284	-	0,723	-	hasar yok
		15,415	3,181	-	0,771	-	hasar yok
		17,123	3,018	19,263	0,856	2,846	hasar var
	0,25	6,830	4,779	-	0,273	-	hasar yok
		8,998	4,164	-	0,360	-	hasar yok
		11,221	3,729	-	0,449	-	hasar yok
		13,476	3,402	-	0,539	-	hasar yok
		15,572	3,165	-	0,623	-	hasar yok
		18,309	2,919	-	0,732	-	hasar var
1,65	0,15	20,701	2,745	22,060	0,828	2,659	hasar var
		5,370	5,929	-	0,358	-	hasar yok
		7,327	5,075	-	0,488	-	hasar yok
		8,312	4,765	-	0,554	-	hasar yok
		8,844	4,620	-	0,590	-	hasar yok
		10,927	4,156	-	0,728	-	hasar yok
	0,20	11,353	4,077	14,373	0,757	3,624	hasar yok
		9,416	4,477	-	0,471	-	hasar yok
		11,705	4,016	-	0,585	-	hasar yok
		13,212	3,780	-	0,661	-	hasar yok
		13,929	3,681	-	0,696	-	hasar yok
		14,970	3,551	-	0,749	-	hasar yok
	0,25	15,391	3,502	-	0,770	-	hasar yok
		17,331	3,300	-	0,867	-	hasar yok
		18,504	3,194	20,990	0,925	2,999	hasar var
		7,565	4,995	-	0,303	-	hasar yok
		11,010	4,140	-	0,440	-	hasar yok
		14,658	3,589	-	0,586	-	hasar yok
		15,385	3,503	-	0,615	-	hasar yok
		16,601	3,372	-	0,664	-	hasar yok
		18,794	3,169	-	0,752	-	hasar yok
		21,774	2,944	23,815	0,871	2,815	tam hasar

Çizelge 16.2 Düzensiz diziliş için  $H_0/d$  ve surf parametresi tabloları

ACCROPODE (Düzensiz diziliş)							
T(sn)	d(m)	$H_0(\text{cm})$	$\xi(-)$	$H_b(\text{cm})$	$H_0/d$	$\xi_b(-)$	Açıklama
1,10	0,15	6,076	3,716	-	0,405	-	hasar yok
		8,188	3,201	-	0,546	-	hasar yok
		8,692	3,107	-	0,579	-	hasar yok
		10,000	2,897	-	0,667	-	hasar yok
		10,615	2,812	11,444	0,708	2,708	hasar yok
	0,20	5,614	3,866	-	0,281	-	hasar yok
		8,604	3,123	-	0,430	-	hasar yok
		9,427	2,983	-	0,471	-	hasar yok
		9,734	2,936	-	0,487	-	hasar yok
		11,828	2,664	-	0,591	-	hasar yok
		12,694	2,571	13,289	0,635	2,513	hasar yok
1,20	0,15	5,998	3,740	-	0,240	-	hasar yok
		8,219	3,195	-	0,329	-	hasar yok
		11,066	2,754	-	0,443	-	hasar yok
		13,241	2,517	-	0,530	-	hasar yok
		14,346	2,419	14,346	0,574	2,418	hasar yok
	0,20	4,322	4,806	-	0,288	-	hasar yok
		5,599	4,222	-	0,373	-	hasar yok
		7,689	3,603	-	0,513	-	hasar yok
		9,629	3,220	-	0,642	-	hasar yok
		10,602	3,068	-	0,707	-	hasar yok
		11,627	2,930	-	0,775	-	hasar yok
		12,566	2,818	13,420	0,838	2,727	hasar yok
	0,25	4,977	4,479	-	0,249	-	hasar yok
		7,401	3,673	-	0,370	-	hasar yok
		8,528	3,421	-	0,426	-	hasar yok
		8,934	3,343	-	0,447	-	hasar yok
		10,176	3,132	-	0,509	-	hasar yok
		11,293	2,973	-	0,565	-	hasar yok
		12,624	2,812	-	0,631	-	hasar yok
		13,662	2,703	14,523	0,683	2,622	hasar yok
	0,25	6,878	3,809	-	0,275	-	hasar yok
		8,295	3,469	-	0,332	-	hasar yok
		10,175	3,132	-	0,407	-	hasar yok
		11,463	2,951	-	0,459	-	hasar yok
		12,102	2,872	-	0,484	-	hasar yok
		12,509	2,825	-	0,500	-	hasar yok

Çizelge 16.2 Devam

ACCROPODE (Düzensiz diziliş)							
T(sn)	d(m)	H <sub>0</sub> (cm)	$\zeta(-)$	H <sub>b</sub> (cm)	H <sub>0</sub> /d	$\zeta_b(-)$	Açıklama
1,20	0,25	14,330	2,639	-	0,573	-	hasar yok
		15,640	2,526	-	0,626	-	hasar yok
		15,794	2,514	16,457	0,632	2,463	hasar yok
1,35	0,15	2,396	7,262	-	0,160	-	hasar yok
		3,457	6,045	-	0,230	-	hasar yok
		5,347	4,861	-	0,356	-	hasar yok
		6,379	4,451	-	0,425	-	hasar yok
		7,668	4,059	-	0,511	-	hasar yok
		8,487	3,859	-	0,566	-	hasar yok
		9,391	3,668	-	0,626	-	hasar yok
		10,080	3,541	12,159	0,672	3,224	hasar yok
	0,20	6,477	4,417	-	0,324	-	hasar yok
		7,523	4,098	-	0,376	-	hasar yok
		8,268	3,909	-	0,413	-	hasar yok
		8,776	3,794	-	0,439	-	hasar yok
		9,999	3,555	-	0,500	-	hasar yok
		11,333	3,339	-	0,567	-	hasar yok
		12,444	3,186	-	0,622	-	hasar yok
		13,264	3,087	-	0,663	-	hasar yok
1,50	0,25	14,398	2,962	15,766	0,720	2,831	hasar yok
		5,995	4,591	-	0,240	-	hasar yok
		7,492	4,107	-	0,300	-	hasar yok
		10,190	3,521	-	0,408	-	hasar yok
		14,802	2,922	-	0,592	-	hasar yok
		15,758	2,832	-	0,630	-	hasar yok
		17,012	2,725	-	0,680	-	hasar yok
	0,15	19,440	2,549	20,314	0,778	2,494	hasar yok
		5,434	5,358	-	0,362	-	hasar yok
		7,487	4,565	-	0,499	-	hasar yok
1,60	0,20	8,028	4,408	-	0,535	-	hasar yok
		9,088	4,143	-	0,606	-	hasar yok
		9,544	4,043	-	0,636	-	hasar yok
		10,412	3,871	-	0,694	-	hasar yok
		11,495	3,684	14,024	0,766	3,335	hasar yok
		6,485	4,905	-	0,324	-	hasar yok
		8,545	4,273	-	0,427	-	hasar yok
		9,692	4,012	-	0,485	-	hasar yok

Çizelge 16.2 Devam

ACCROPODE (Düzensiz diziliş)							
T(sn)	d(m)	H <sub>0</sub> (cm)	$\zeta(-)$	H <sub>b</sub> (cm)	H <sub>0</sub> /d	$\zeta_b(-)$	Açıklama
1,50	0,20	11,160	3,739	-	0,558	-	hasar yok
		13,076	3,454	-	0,654	-	hasar yok
		14,708	3,257	-	0,735	-	hasar yok
		15,913	3,131	-	0,796	-	hasar yok
		17,479	2,987	19,664	0,874	2,817	hasar var
	0,25	5,774	5,198	-	0,231	-	hasar yok
		10,925	3,779	-	0,437	-	hasar yok
		13,404	3,411	-	0,536	-	hasar yok
		15,211	3,202	-	0,608	-	hasar yok
		17,099	3,020	-	0,684	-	hasar yok
		18,331	2,917	-	0,733	-	hasar yok
		19,365	2,838	20,875	0,775	2,734	hasar var
1,65	0,15	5,358	5,935	-	0,357	-	hasar yok
		6,763	5,283	-	0,451	-	hasar yok
		7,807	4,917	-	0,520	-	hasar yok
		8,022	4,851	-	0,535	-	hasar yok
		10,447	4,251	-	0,696	-	hasar yok
		10,959	4,150	13,907	0,731	3,684	hasar yok
	0,20	7,771	4,928	-	0,389	-	hasar yok
		9,663	4,420	-	0,483	-	hasar yok
		11,384	4,072	-	0,569	-	hasar yok
		12,649	3,863	-	0,632	-	hasar yok
		13,472	3,743	-	0,674	-	hasar yok
		15,811	3,455	-	0,791	-	hasar yok
		17,150	3,318	-	0,857	-	hasar yok
		18,626	3,183	21,103	0,931	2,991	hasar var
	0,25	6,264	5,489	-	0,251	-	hasar yok
		8,624	4,678	-	0,345	-	hasar yok
		11,264	4,094	-	0,451	-	hasar yok
		13,757	3,704	-	0,550	-	hasar yok
		16,290	3,404	-	0,652	-	hasar yok
		18,846	3,165	-	0,754	-	hasar var
		21,975	2,931	24,041	0,879	2,802	tam hasar

**Ek 17 Core-Loc için  $H_0/d$  ve surf parametresi tabloları**  
**Çizelge 17.1 Düzenli diziliş için  $H_0/d$  ve surf parametresi tabloları**

<b>Core-Loc (Düzenli diziliş)</b>							
T(sn)	d(m)	$H_0(cm)$	$\zeta(-)$	$H_b(cm)$	$H_0/d$	$\xi_b(-)$	Açıklama
1,10	0,15	5,362	3,956	-	0,357	-	hasar yok
		6,670	3,547	-	0,445	-	hasar yok
		7,453	3,355	-	0,497	-	hasar yok
		8,728	3,101	-	0,582	-	hasar yok
		9,902	2,911	10,754	0,660	2,793	hasar yok
	0,20	6,488	3,596	-	0,324	-	hasar yok
		7,504	3,344	-	0,375	-	hasar yok
		9,030	3,048	-	0,452	-	hasar yok
		9,720	2,938	-	0,486	-	hasar yok
		11,349	2,719	-	0,567	-	hasar yok
		12,692	2,571	13,263	0,635	2,515	hasar yok
	0,25	6,956	3,473	-	0,278	-	hasar yok
		8,215	3,196	-	0,329	-	hasar yok
		10,869	2,779	-	0,435	-	hasar yok
		13,188	2,522	-	0,528	-	hasar yok
		14,298	2,423	14,298	0,572	2,423	hasar yok
1,20	0,15	4,415	4,755	-	0,294	-	hasar yok
		6,237	4,001	-	0,416	-	hasar yok
		7,875	3,560	-	0,525	-	hasar yok
		8,676	3,392	-	0,578	-	hasar yok
		9,608	3,223	-	0,641	-	hasar yok
		9,908	3,174	-	0,661	-	hasar yok
		12,944	2,777	13,785	0,863	2,691	hasar yok
	0,20	5,711	4,181	-	0,286	-	hasar yok
		7,178	3,729	-	0,359	-	hasar yok
		8,173	3,495	-	0,409	-	hasar yok
		9,787	3,194	-	0,489	-	hasar yok
		10,713	3,052	-	0,536	-	hasar yok
		12,141	2,867	-	0,607	-	hasar yok
		14,914	2,587	-	0,746	-	hasar yok
		15,504	2,537	16,155	0,775	2,486	hasar yok
	0,25	6,542	3,906	-	0,262	-	hasar yok
		8,005	3,531	-	0,320	-	hasar yok
		8,028	3,526	-	0,321	-	hasar yok
		9,731	3,203	-	0,389	-	hasar yok
		12,093	2,873	-	0,484	-	hasar yok
		12,884	2,784	-	0,515	-	hasar yok

## Çizelge 17.1 Devam

Core-Loc (Düzenli diziliş)							
T(sn)	d(m)	H <sub>0</sub> (cm)	$\zeta(-)$	H <sub>b</sub> (cm)	H <sub>0</sub> /d	$\xi_b(-)$	Açıklama
1,20	0,25	14,947	2,584	-	0,598	-	hasar yok
		15,853	2,509	-	0,634	-	hasar yok
		16,183	2,484	16,733	0,647	2,442	hasar yok
	0,15	2,286	7,435	-	0,152	-	hasar yok
		3,569	5,950	-	0,238	-	hasar yok
		6,083	4,558	-	0,406	-	hasar yok
		6,611	4,372	-	0,441	-	hasar yok
		7,444	4,120	-	0,496	-	hasar yok
		8,499	3,856	-	0,567	-	hasar yok
		9,050	3,737	-	0,603	-	hasar yok
		9,740	3,602	11,766	0,649	3,277	hasar yok
		6,998	4,249	-	0,350	-	hasar yok
1,35	0,20	8,680	3,815	-	0,434	-	hasar yok
		9,701	3,609	-	0,485	-	hasar yok
		11,748	3,279	-	0,587	-	hasar yok
		12,459	3,185	-	0,623	-	hasar yok
		13,543	3,055	-	0,677	-	hasar yok
		13,951	3,010	-	0,698	-	hasar yok
		14,392	2,963	-	0,720	-	hasar yok
	0,25	14,622	2,940	15,982	0,731	2,812	hasar yok
		5,365	4,853	-	0,215	-	hasar yok
		7,173	4,197	-	0,287	-	hasar yok
		9,608	3,626	-	0,384	-	hasar yok
		12,585	3,169	-	0,503	-	hasar yok
		13,123	3,103	-	0,525	-	hasar yok
		16,741	2,747	-	0,670	-	hasar yok
1,50	0,15	18,886	2,587	19,415	0,755	2,551	hasar var
		5,472	5,339	-	0,365	-	hasar yok
		7,374	4,600	-	0,492	-	hasar yok
		7,801	4,472	-	0,520	-	hasar yok
		8,686	4,238	-	0,579	-	hasar yok
		10,194	3,912	-	0,680	-	hasar yok
		10,564	3,843	-	0,704	-	hasar yok
	0,20	10,687	3,821	13,058	0,712	3,456	hasar yok
		7,505	4,559	-	0,375	-	hasar yok
		8,009	4,413	-	0,400	-	hasar yok
		8,255	4,347	-	0,413	-	hasar yok
		9,875	3,975	-	0,494	-	hasar yok
		12,576	3,522	-	0,629	-	hasar yok

Çizelge 17.1 Devam

Core-Loc (Düzenli diziliş)							
T(sn)	d(m)	H <sub>o</sub> (cm)	ζ(-)	H <sub>b</sub> (cm)	H <sub>o</sub> /d	ξ <sub>b</sub> (-)	Açıklama
1,50	0,20	14,467	3,284	-	0,723	-	hasar yok
		15,415	3,181	-	0,771	-	hasar yok
		17,123	3,018	19,263	0,856	2,846	hasar var
	0,25	6,830	4,779	-	0,273	-	hasar yok
		8,998	4,164	-	0,360	-	hasar yok
		11,221	3,729	-	0,449	-	hasar yok
		13,476	3,402	-	0,539	-	hasar yok
		15,572	3,165	-	0,623	-	hasar yok
		18,309	2,919	-	0,732	-	hasar yok
		20,701	2,745	22,060	0,828	2,659	hasar var
		5,370	5,929	-	0,358	-	hasar yok
1,65	0,15	7,327	5,075	-	0,488	-	hasar yok
		8,312	4,765	-	0,554	-	hasar yok
		8,844	4,620	-	0,590	-	hasar yok
		10,927	4,156	-	0,728	-	hasar yok
		11,353	4,077	14,373	0,757	3,624	hasar yok
		9,416	4,477	-	0,471	-	hasar yok
	0,20	11,705	4,016	-	0,585	-	hasar yok
		13,212	3,780	-	0,661	-	hasar yok
		13,929	3,681	-	0,696	-	hasar yok
		14,970	3,551	-	0,749	-	hasar yok
		15,391	3,502	-	0,770	-	hasar yok
		17,331	3,300	-	0,867	-	hasar yok
		18,504	3,194	20,990	0,925	2,999	hasar var
		7,565	4,995	-	0,303	-	hasar yok
		11,010	4,140	-	0,440	-	hasar yok
		14,658	3,589	-	0,586	-	hasar yok
		15,385	3,503	-	0,615	-	hasar yok
1,75	0,25	16,601	3,372	-	0,664	-	hasar yok
		18,794	3,169	-	0,752	-	hasar yok
		21,774	2,944	23,815	0,871	2,815	tam hasar

Çizelge 17.2 Düzensiz diziliş için dalga şartları

Core-Loc (Düzensiz diziliş)							
T(sn)	d(m)	H <sub>0</sub> (cm)	$\xi(-)$	H <sub>b</sub> (cm)	H <sub>0</sub> /d	$\xi_b(-)$	Açıklama
1,10	0,15	6,076	3,716	-	0,405	-	hasar yok
		8,188	3,201	-	0,546	-	hasar yok
		8,692	3,107	-	0,579	-	hasar yok
		10,000	2,897	-	0,667	-	hasar yok
		10,615	2,812	11,444	0,708	2,708	hasar yok
	0,20	5,614	3,866	-	0,281	-	hasar yok
		8,604	3,123	-	0,430	-	hasar yok
		9,427	2,983	-	0,471	-	hasar yok
		9,734	2,936	-	0,487	-	hasar yok
		11,828	2,664	-	0,591	-	hasar yok
		12,694	2,571	13,289	0,635	2,513	hasar yok
	0,25	5,998	3,740	-	0,240	-	hasar yok
		8,219	3,195	-	0,329	-	hasar yok
		11,066	2,754	-	0,443	-	hasar yok
		13,241	2,517	-	0,530	-	hasar yok
		14,346	2,419	14,346	0,574	2,418	hasar yok
1,20	0,15	4,322	4,806	-	0,288	-	hasar yok
		5,599	4,222	-	0,373	-	hasar yok
		7,689	3,603	-	0,513	-	hasar yok
		9,629	3,220	-	0,642	-	hasar yok
		10,602	3,068	-	0,707	-	hasar yok
		11,627	2,930	-	0,775	-	hasar yok
		12,566	2,818	13,420	0,838	2,727	hasar yok
	0,20	4,977	4,479	-	0,249	-	hasar yok
		7,401	3,673	-	0,370	-	hasar yok
		8,528	3,421	-	0,426	-	hasar yok
		8,934	3,343	-	0,447	-	hasar yok
		10,176	3,132	-	0,509	-	hasar yok
		11,293	2,973	-	0,565	-	hasar yok
		12,624	2,812	-	0,631	-	hasar yok
		13,662	2,703	14,523	0,683	2,622	hasar yok
	0,25	6,878	3,809	-	0,275	-	hasar yok
		8,295	3,469	-	0,332	-	hasar yok
		10,175	3,132	-	0,407	-	hasar yok
		11,463	2,951	-	0,459	-	hasar yok
		12,102	2,872	-	0,484	-	hasar yok
		12,509	2,825	-	0,500	-	hasar yok
		14,330	2,639	-	0,573	-	hasar yok
		15,640	2,526	-	0,626	-	hasar yok

## Çizelge 17.2 Devam

Core-Loc (Düzensiz diziliş)							
T(sn)	d(m)	H <sub>0</sub> (cm)	$\zeta(-)$	H <sub>b</sub> (cm)	H <sub>0</sub> /d	$\xi_b(-)$	Açıklama
1,20	0,25	15,794	2,514	16,457	0,632	2,463	hasar yok
		2,396	7,262	-	0,160	-	hasar yok
		3,457	6,045	-	0,230	-	hasar yok
		5,347	4,861	-	0,356	-	hasar yok
		6,379	4,451	-	0,425	-	hasar yok
		7,668	4,059	-	0,511	-	hasar yok
		8,487	3,859	-	0,566	-	hasar yok
		9,391	3,668	-	0,626	-	hasar yok
		10,080	3,541	12,159	0,672	3,224	hasar yok
		6,477	4,417	-	0,324	-	hasar yok
1,35	0,20	7,523	4,098	-	0,376	-	hasar yok
		8,268	3,909	-	0,413	-	hasar yok
		8,776	3,794	-	0,439	-	hasar yok
		9,999	3,555	-	0,500	-	hasar yok
		11,333	3,339	-	0,567	-	hasar yok
		12,444	3,186	-	0,622	-	hasar yok
		13,264	3,087	-	0,663	-	hasar yok
		14,398	2,962	15,766	0,720	2,831	hasar yok
		5,995	4,591	-	0,240	-	hasar yok
		7,492	4,107	-	0,300	-	hasar yok
1,50	0,25	10,190	3,521	-	0,408	-	hasar yok
		14,802	2,922	-	0,592	-	hasar yok
		15,758	2,832	-	0,630	-	hasar yok
		17,012	2,725	-	0,680	-	hasar yok
		19,440	2,549	20,314	0,778	2,494	hasar yok
		5,434	5,358	-	0,362	-	hasar yok
		7,487	4,565	-	0,499	-	hasar yok
		8,028	4,408	-	0,535	-	hasar yok
		9,088	4,143	-	0,606	-	hasar yok
		9,544	4,043	-	0,636	-	hasar yok
	0,20	10,412	3,871	-	0,694	-	hasar yok
		11,495	3,684	14,024	0,766	3,335	hasar yok
		6,485	4,905	-	0,324	-	hasar yok
		8,545	4,273	-	0,427	-	hasar yok
		9,692	4,012	-	0,485	-	hasar yok
		11,160	3,739	-	0,558	-	hasar yok
		13,076	3,454	-	0,654	-	hasar yok
		14,708	3,257	-	0,735	-	hasar yok
		15,913	3,131	-	0,796	-	hasar yok

## Çizelge 17.2 Devam

Core-Loc (Düzensiz diziliş)							
T(sn)	d(m)	H <sub>o</sub> (cm)	$\zeta(-)$	H <sub>b</sub> (cm)	H <sub>o</sub> /d	$\xi_b(-)$	Açıklama
1,50	0,25	0,20	17,479	2,987	19,664	0,874	2,817 hasar var
			5,774	5,198	-	0,231	- hasar yok
			10,925	3,779	-	0,437	- hasar var
			13,404	3,411	-	0,536	- hasar yok
			15,211	3,202	-	0,608	- hasar yok
			17,099	3,020	-	0,684	- hasar yok
			18,331	2,917	-	0,733	- hasar var
			19,365	2,838	20,875	0,775	2,734 hasar var
1,65	0,15		5,358	5,935	-	0,357	- hasar yok
			6,763	5,283	-	0,451	- hasar yok
			7,807	4,917	-	0,520	- hasar yok
			8,022	4,851	-	0,535	- hasar yok
			10,447	4,251	-	0,696	- hasar yok
			10,959	4,150	13,907	0,731	3,684 hasar yok
			7,771	4,928	-	0,389	- hasar yok
	0,20		9,663	4,420	-	0,483	- hasar yok
			11,384	4,072	-	0,569	- hasar var
			12,649	3,863	-	0,632	- hasar yok
			13,472	3,743	-	0,674	- hasar yok
			15,811	3,455	-	0,791	- hasar yok
			17,150	3,318	-	0,857	- hasar yok
			18,626	3,183	21,103	0,931	2,991 hasar var
	0,25		6,264	5,489	-	0,251	- hasar yok
			8,624	4,678	-	0,345	- hasar yok
			11,264	4,094	-	0,451	- hasar yok
			13,757	3,704	-	0,550	- hasar yok
			16,290	3,404	-	0,652	- hasar yok
			18,846	3,165	-	0,754	- hasar yok
			21,975	2,931	24,041	0,879	2,802 tam hasar

### **Ek 18 Accropode ve Core-Loc'un hacimsel karşılaştırılması**

Her iki diziliş için kullanılan Accropode ve Core-Loc hacimlerini karşılaştırırsak aşağıdaki sonuçlara ulaşılabilir

Düzenli diziliş için:

Kullanılan Accropode adedi:  $82-5=75$  adet (En üst sırada hesaba katılmamıştır.)  
 Bir Accropode'un hacmi :  $121 \text{ cm}^3$   
 Toplam Accropode hacmi :  $75 \times 121 = 9075 \text{ cm}^3$

Kullanılan Core-Loc adedi:  $90-5=85$  adet (En üst sırada hesaba katılmamıştır.)  
 Bir Core-Loc'un hacmi :  $95 \text{ cm}^3$   
 Toplam Core-Loc hacmi :  $85 \times 95 = 8075 \text{ cm}^3$

Bu hesaplamalara göre düzenli diziliş için Accropode bloklarda kullanılan hacim Core-Loc için kullanılan hacimden  $(9075-8075)=1000 \text{ cm}^3$  fazladır. Diğer bir deyişle Accropode için kullanılan beton hacmi, Core-Loc için kullanılan beton hacminden  $(1000/8075) \times 100 = \%12$  daha fazladır.

Düzensiz diziliş için:

Kullanılan Accropode adedi:  $90-6=84$  adet (En üst sırada hesaba katılmamıştır.)  
 Bir Accropode'un hacmi :  $121 \text{ cm}^3$   
 Toplam Accropode hacmi :  $84 \times 121 = 10164 \text{ cm}^3$

Kullanılan Core-Loc adedi:  $102-6=96$  adet (En üst sırada hesaba katılmamıştır.)  
 Bir Core-Loc'un hacmi :  $95 \text{ cm}^3$   
 Toplam Core-Loc hacmi :  $96 \times 95 = 9120 \text{ cm}^3$

Bu hesaplamalara göre düzensiz diziliş için Accropode bloklarda kullanılan hacim Core-Loc için kullanılan hacimden  $(10164-9120)=1044 \text{ cm}^3$  fazladır. Diğer bir deyişle Accropode için kullanılan beton hacmi, Core-Loc için kullanılan beton hacminden  $(1044/9120) \times 100 = \%11$  daha fazladır.

### **Ek 19 Accropode ve Core-Loc'un ağırlık olarak karşılaştırılması**

Her iki diziliş için kullanılan Accropode ve Core-Loc'u ağırlık olarak karşılaştırırsak aşağıdaki sonuçlara ulaşılabilir.

Düzenli diziliş için:

Kullanılan Accropode adedi:  $82-5=75$  adet (En üst sıra hesaba katılmamıştır.)

Bir Accropode'un ağırlığı : 245.63gr

Toplam Accropode ağırlığı :  $75 \times 245.63 = 18422.25$  gr

Kullanılan Core-Loc adedi:  $90-5=85$  adet (En üst sıra hesaba katılmamıştır.)

Bir Core-Loc'un ağırlığı : 184.14 gr

Toplam Core-Loc ağırlığı :  $85 \times 184.14 = 15651.90$  gr

Bu hesaplamalara göre düzenli diziliş için Accropode bloklarda kullanılan toplam blok ağırlığı Core-Loc bloklarda kullanılan toplam blok ağırlığından ( $18422.25 - 15651.90 = 2770.35$ ) gr fazladır. Diğer bir deyişle Accropode için kullanılan toplam beton ağırlığı, Core-Loc için toplam beton ağırlığından ( $2770.35 / 15651.90 \times 100 = \%18$ ) daha fazladır.

Düzensiz diziliş için:

Kullanılan Accropode adedi:  $90-6=84$  adet (En üst sıra hesaba katılmamıştır.)

Bir Accropode'un ağırlığı : 245.63gr

Toplam Accropode ağırlığı :  $84 \times 245.63 = 20632.92$  gr

Kullanılan Core-Loc adedi:  $102-6=96$  adet (En üst sıra hesaba katılmamıştır.)

Bir Core-Loc'un ağırlığı : 184.14 gr

Toplam Core-Loc ağırlığı :  $96 \times 184.14 = 17677.44$  gr

Bu hesaplamalara göre düzensiz diziliş için Accropode bloklarda kullanılan toplam blok ağırlığı Core-Loc bloklarda kullanılan toplam blok ağırlığından ( $20632.92 - 17677.44 = 2955.48$ ) gr fazladır. Diğer bir deyişle Accropode için kullanılan toplam beton ağırlığı, Core-Loc için toplam beton ağırlığından ( $2955.48 / 17677.44 \times 100 = \%17$ ) daha fazladır.

**ÖZGEÇMİŞ**

Doğum tarihi	09.06.1975
Doğum yeri	Eskişehir
Lise	1986-1989 1989-1991 1991-1993
Lisans	1994-1998
Çalıştığı kurumlar	1996-1997 Toprak Sanayi ve Ticaret Ltd. Şti.

ÜZÜNTÜSÜZ İLACLA  
DÜŞMANLARINI  
YÖRENDİ